(12) 特許協力条約に基づいて公開された国際出願

(19) 世界知的所有権機関
国際事務局

(43) 国際公開日
2023年1月12日(12.01.2023)

WIPO | PCT

(10) 国際公開番号
WO 2023/281353 A1

(51) 国際特許分類:
H01L 29/786 (2006.01) *H01L 27/06* (2006.01)
H01L 21/336 (2006.01) *H01L 27/088* (2006.01)
H01L 21/8234 (2006.01) *H01L 27/108* (2006.01)
H01L 21/8242 (2006.01) *H01L 27/1156* (2017.01)

(21) 国際出願番号： PCT/IB2022/055967

(22) 国際出願日： 2022年6月28日(28.06.2022)

(25) 国際出願の言語： 日本語

(26) 国際公開の言語： 日本語

(30) 優先権データ：
特願 2021-114510 2021年7月9日(09.07.2021) JP

(71) 出願人: 株式会社半導体エネルギー研究所 **(SEMICONDUCTOR ENERGY LABORATORY CO., LTD.)** [JP/JP]; 〒2430036 神奈川県厚木市長谷398 Kanagawa (JP).

(72) 発明者: 山崎 舜平 **(YAMAZAKI, Shunpei)**; 〒2430036 神奈川県厚木市長谷398株式会社半導体エネルギー研究所内 Kanagawa (JP). 國武寛司 **(KUNITAKE, Hitoshi)**; 〒2430036 神奈川県厚木市長谷398株式会社半導体エネルギー研究所内 Kanagawa (JP). 奥野直樹 **(OKUNO, Naoki)**; 〒2430036 神奈川県厚木市長谷398株式会社半導体エネルギー研究所内 Kanagawa (JP). 神保安弘 **(JINBO, Yasuhiro)**; 〒2430036 神奈川県厚木市長谷398株式会社半導体エネルギー研究所内 Kanagawa (JP). 大野敏和 **(OHNO, Toshikazu)**; 〒2430036 神奈川県厚木市長谷398株式会社半導体エネルギー研究所内 Kanagawa (JP). 大貫達也 **(ONUKI, Tatsuya)**; 〒2430036 神奈川県厚木市長谷398株式会社半導体エネルギー研究所内 Kanagawa (JP).

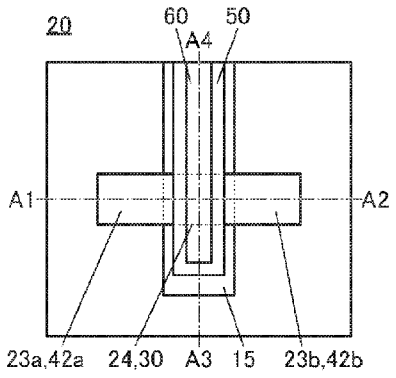
(81) 指定国(表示のない限り、全ての種類の国内保護が可能): AE, AG, AL, AM, AO, AT, AU, AZ, BA, BB, BG, BH, BN, BR, BW, BY, BZ, CA, CH, CL, CN, CO, CR, CU, CZ, DE, DJ, DK, DM, DO, DZ, EC, EE, EG, ES, FI, GB, GD, GE, GH, GM, GT, HN, HR, HU, ID, IL, IN, IQ, IR, IS, IT, JM, JO, JP, KE, KG, KH, KN, KP, KR, KW, KZ, LA, LC, LK, LR, LS, LU, LY, MA, MD, ME, MG, MK, MN, MW, MX, MY, MZ, NA, NG, NI, NO, NZ, OM, PA, PE, PG, PH, PL, PT, QA, RO, RS, RU, RW, SA, SC, SD, SE, SG, SK, SL, ST, SV, SY, TH, TJ, TM, TN, TR, TT, TZ, UA, UG, US, UZ, VC, VN, WS, ZA, ZM, ZW.

(84) 指定国(表示のない限り、全ての種類の広域保護が可能): ARIPO (BW, GH, GM, KE, LR, LS, MW, MZ, NA, RW, SD, SL, ST, SZ, TZ, UG, ZM,

(54) **Title:** TRANSISTOR

(54) 発明の名称： トランジスタ

図1A



(57) **Abstract:** Provided is a transistor having little variation in electrical characteristics. The transistor has first to fourth conductors, first to tenth insulators, and an oxide. The third to fifth insulators are positioned on the second insulator, the sixth insulator has an area that is in contact with an upper surface of the first insulator, a side surface of the oxide, a side surface and an upper surface of the second conductor, and a side surface and an upper surface of the third conductor, the first conductor overlaps with the oxide and the fourth conductor, the third insulator overlaps with the oxide and the fourth conductor, the fourth insulator overlaps with the oxide and the second conductor, the fifth insulator overlaps with the oxide and the third conductor, the eighth insulator is in contact with each of a side surface of the third insulator, a side surface of the oxide, and a side surface of the seventh insulator, and an upper surface of the third insulator matches, or substantially matches, the heights of the upper surface of the fourth insulator and the upper surface of the fifth insulator.

WO 2023/281353 A1

[続葉有]

ZW), ユーラシア (AM, AZ, BY, KG, KZ, RU, TJ, TM), ヨーロッパ (AL, AT, BE, BG, CH, CY, CZ, DE, DK, EE, ES, FI, FR, GB, GR, HR, HU, IE, IS, IT, LT, LU, LV, MC, MK, MT, NL, NO, PL, PT, RO, RS, SE, SI, SK, SM, TR), OAPI (BF, BJ, CF, CG, CI, CM, GA, GN, GQ, GW, KM, ML, MR, NE, SN, TD, TG).

添付公開書類：

— 国際調査報告（条約第21条(3)）

— 白黒。出願原本にはカラー又はグレースケールの情報が含まれており、PATENTSCOPE からのダウンロードが可能。

(57) 要約：電気特性のばらつきが少ないトランジスタを提供する。 トランジスタは、第１乃至第４の導電体と、第１乃至第１０の絶縁体と、酸化物と、を有する。第３乃至第５の絶縁体は第２の絶縁体上に位置し、第６の絶縁体は、第１の絶縁体の上面、酸化物の側面、第２の導電体の側面及び上面、並びに、第３の導電体の側面及び上面と接する領域を有し、第１の導電体は酸化物及び第４の導電体と重なり、第３の絶縁体は酸化物及び第４の導電体と重なり、第４の絶縁体は酸化物及び第２の導電体と重なり、第５の絶縁体は酸化物及び第３の導電体と重なり、第８の絶縁体は、第３の絶縁体の側面、酸化物の側面、及び第７の絶縁体の側面のそれぞれと接し、第３の絶縁体の上面は、第４の絶縁体の上面及び第５の絶縁体の上面と高さが一致または概略一致する。

明細書

発明の名称

トランジスタ

技術分野

［０００１］

本発明の一態様は、トランジスタ、半導体装置、および電子機器に関する。または、本発明の一態様は、半導体装置の作製方法に関する。または、本発明の一態様は、半導体ウエハ、およびモジュールに関する。

［０００２］

なお、本明細書等において半導体装置とは、半導体特性を利用することで機能し得る装置全般を指す。トランジスタなどの半導体素子をはじめ、半導体回路、演算装置、記憶装置は、半導体装置の一態様である。表示装置（液晶表示装置、発光表示装置など）、投影装置、照明装置、電気光学装置、蓄電装置、記憶装置、半導体回路、撮像装置、電子機器などは、半導体装置を有すると言える場合がある。

［０００３］

なお、本発明の一態様は、上記の技術分野に限定されない。本明細書等で開示する発明の一態様は、物、方法、または、製造方法に関するものである。また、本発明の一態様は、プロセス、マシン、マニュファクチャ、または、組成物（コンポジション・オブ・マター）に関するものである。

背景技術

［０００４］

近年、半導体装置の開発が進められ、ＬＳＩ、ＣＰＵ、及びメモリなどに主に用いられている。ＣＰＵは、半導体ウエハを加工し、チップ化された半導体集積回路（少なくともトランジスタ及びメモリ）を有し、接続端子である電極が形成された半導体素子の集合体である。

［０００５］

ＬＳＩ、ＣＰＵ、及びメモリなどの半導体回路（ＩＣチップ）は、回路基板、例えばプリント配線基板に実装され、様々な電子機器の部品の一つとして用いられる。

［０００６］

また、絶縁表面を有する基板上に形成された半導体薄膜を用いてトランジスタを構成する技術が注目されている。該トランジスタは集積回路（ＩＣ）、及び画像表示装置（単に表示装置とも表記する）のような電子デバイスに広く応用されている。トランジスタに適用可能な半導体薄膜としてシリコン系半導体材料が広く知られているが、その他の材料として酸化物半導体が注目されている。

［０００７］

また、酸化物半導体を用いたトランジスタは、非導通状態において極めてリーク電流が小さいことが知られている。例えば、特許文献１には、酸化物半導体を用いたトランジスタのリーク電流が小さいという特性を応用した低消費電力のＣＰＵなどが開示されている。また、例えば、特許文献２には、酸化物半導体を用いたトランジスタのリーク電流が小さいという特性を応用して、長期にわたり記憶内容を保持することができる記憶装置などが、開示されている。

［０００８］

トランジスタに用いる酸化物半導体中の不純物及び欠陥は、当該トランジスタの電気特性に影響を与える。酸化物半導体中の欠陥の一つとして酸素欠損が挙げられる。そこで、トランジスタに用

いる酸化物半導体中の酸素欠損は少ない方がよいとされている。特許文献３および特許文献４には、酸化物半導体の下方に設けられる絶縁体から当該酸化物半導体に酸素を供給し、酸素欠損を補償する方法が開示されている。

［０００９］

また、近年では電子機器の小型化、軽量化に伴い、集積回路のさらなる高密度化への要求が高まっている。また、集積回路を含む半導体装置の生産性の向上が求められている。

［先行技術文献］

［特許文献］

［００１０］

［特許文献１］特開２０１２－２５７１８７号公報

［特許文献２］特開２０１１－１５１３８３号公報

［特許文献３］国際公開第２０１９／０４８９８３号

［特許文献４］国際公開第２０１９／１２３１０９号

発明の概要

発明が解決しようとする課題

［００１１］

本発明の一態様は、電気特性のばらつきが少ないトランジスタを提供することを課題の一つとする。または、本発明の一態様は、信頼性が良好なトランジスタを提供することを課題の一つとする。または、本発明の一態様は、良好な電気特性を有するトランジスタを提供することを課題の一つとする。または、本発明の一態様は、新規のトランジスタを提供することを課題の一つとする。

［００１２］

または、本発明の一態様は、トランジスタの電気特性のばらつきが少ない半導体装置を提供することを課題の一つとする。または、本発明の一態様は、信頼性が良好な半導体装置を提供することを課題の一つとする。または、本発明の一態様は、良好な電気特性を有する半導体装置を提供することを課題の一つとする。または、本発明の一態様は、オン電流が大きい半導体装置を提供することを課題の一つとする。または、本発明の一態様は、微細化または高集積化が可能な半導体装置を提供することを課題の一つとする。または、本発明の一態様は、低消費電力の半導体装置を提供することを課題の一つとする。

［００１３］

なお、これらの課題の記載は、他の課題の存在を妨げるものではない。なお、本発明の一態様は、これらの課題の全てを解決する必要はないものとする。なお、これら以外の課題は、明細書、図面、請求項などの記載から、自ずと明らかとなるものであり、明細書、図面、請求項などの記載から、これら以外の課題を抽出することが可能である。

課題を解決するための手段

［００１４］

本発明の一態様は、第１の導電体と、第１の導電体上の、第１の絶縁体と、第１の絶縁体上の、第２の絶縁体と、第２の絶縁体上の、第３の絶縁体、第４の絶縁体、及び第５の絶縁体と、第３の絶縁体上、第４の絶縁体上、及び第５の絶縁体上の、酸化物と、酸化物上の、第２の導電体、及び第３の導電体と、第２の導電体上、及び第３の導電体上の、第６の絶縁体と、第６の絶縁体上の、第７の絶縁体と、酸化物上の、第８の絶縁体と、第８の絶縁体上の、第９の絶縁体と、第９の絶縁

体上の、第４の導電体と、第７の絶縁体上、第８の絶縁体上、第９の絶縁体上、及び第４の導電体上の、第１０の絶縁体と、を有するトランジスタである。第６の絶縁体は、第１の絶縁体の上面、酸化物の側面、第２の導電体の側面及び上面、並びに、第３の導電体の側面及び上面と接する領域を有し、第１の導電体は、酸化物、および第４の導電体と重なるように配置され、第３の絶縁体は、酸化物、および第４の導電体と重なるように配置され、第４の絶縁体は、酸化物、および第２の導電体と重なるように配置され、第５の絶縁体は、酸化物、および第３の導電体と重なるように配置され、第８の絶縁体は、第３の絶縁体の側面、酸化物の側面、及び第７の絶縁体の側面のそれぞれと接し、第８の絶縁体は、第９の絶縁体より膜厚が薄い領域を有し、第３の絶縁体の上面は、第４の絶縁体の上面、及び第５の絶縁体の上面と高さが一致または概略一致する。

［００１５］

上記トランジスタにおいて、第４の導電体の上面は、第７の絶縁体の上面と高さが一致または概略一致する、ことが好ましい。

［００１６］

また、上記トランジスタにおいて、第４の導電体の上面は、第８の絶縁体の最上部、及び第９の絶縁体の最上部と高さが一致または概略一致する、ことが好ましい。

［００１７］

また、上記トランジスタにおいて、第８の絶縁体は、アルミニウムと、酸素と、を有し、第８の絶縁体は、膜厚が１．０ｎｍ以上３．０ｎｍ以下の領域を有する、ことが好ましい。

［００１８］

また、上記トランジスタにおいて、第１の絶縁体、および第６の絶縁体のそれぞれは、シリコンと、窒素と、を有し、第２の絶縁体、及び第１０の絶縁体のそれぞれは、アルミニウムと、酸素と、を有し、第３の絶縁体、第７の絶縁体、及び第９の絶縁体のそれぞれは、シリコンと、酸素と、を有する、ことが好ましい。

［００１９］

また、上記トランジスタにおいて、第１０の絶縁体上の、第１１の絶縁体を有し、第１１の絶縁体は、第１の絶縁体の上面、第６の絶縁体の側面、第７の絶縁体の側面、第１０の絶縁体の側面、及び第１０の絶縁体の上面と接し、第１１の絶縁体は、シリコンと、窒素と、を有する、ことが好ましい。

［００２０］

また、本発明の一態様は、第１の絶縁体と、第１の絶縁体上の、第２の絶縁体と、第２の絶縁体上の、第３の絶縁体、第４の絶縁体、及び第５の絶縁体と、第３の絶縁体上、第４の絶縁体上、及び第５の絶縁体上の、酸化物と、酸化物上の、第１の導電体、及び第２の導電体と、第１の導電体上、及び第２の導電体上の、第６の絶縁体と、第６の絶縁体上の、第７の絶縁体と、酸化物上の、第８の絶縁体と、第８の絶縁体上の、第３の導電体と、第７の絶縁体上、第８の絶縁体上、及び第３の導電体上の、第９の絶縁体と、を有するトランジスタである。第６の絶縁体は、第１の絶縁体の上面、酸化物の側面、第１の導電体の側面及び上面、並びに、第２の導電体の側面及び上面と接する領域を有し、第３の絶縁体は、酸化物、および第３の導電体と重なるように配置され、第４の絶縁体は、酸化物、および第１の導電体と重なるように配置され、第５の絶縁体は、酸化物、および第２の導電体と重なるように配置され、第８の絶縁体は、第３の絶縁体の側面、酸化物の側面、及び第７の絶縁体の側面のそれぞれと接し、第３の絶縁体の上面は、第４の絶縁体の上面、及び第

５の絶縁体の上面と高さが一致または概略一致する。

［００２１］

上記トランジスタにおいて、第３の導電体の上面は、第７の絶縁体の上面と高さが一致または概略一致する、ことが好ましい。

［００２２］

また、上記トランジスタにおいて、第３の導電体の上面は、第８の絶縁体の最上部と高さが一致または概略一致する、ことが好ましい。

［００２３］

また、上記トランジスタにおいて、第１の絶縁体、および第６の絶縁体のそれぞれは、シリコンと、窒素と、を有し、第２の絶縁体、及び第９の絶縁体のそれぞれは、アルミニウムと、酸素と、を有し、第３の絶縁体、第７の絶縁体、及び第８の絶縁体のそれぞれは、シリコンと、酸素と、を有する、ことが好ましい。

［００２４］

また、上記トランジスタにおいて、第９の絶縁体上の、第１０の絶縁体を有し、第１０の絶縁体は、第１の絶縁体の上面、第６の絶縁体の側面、第７の絶縁体の側面、第９の絶縁体の側面、及び第９の絶縁体の上面と接し、第１０の絶縁体は、シリコンと、窒素と、を有する、ことが好ましい。

［００２５］

また、上記トランジスタにおいて、酸化物、第４の絶縁体、及び第５の絶縁体のそれぞれは、インジウムと、ガリウムと、亜鉛と、酸素と、を有し、第４の絶縁体のインジウムに対するガリウムの原子数比は、酸化物のインジウムに対するガリウムの原子数比よりも大きい、ことが好ましい。

［００２６］

また、上記トランジスタにおいて、酸化物を二次イオン質量分析法にて測定した際に、酸化物中の水素濃度は、１×１０^{19}ａｔｏｍｓ／ｃｍ^{3}未満である領域を有する、ことが好ましい。

発明の効果

［００２７］

本発明の一態様により、電気特性のばらつきが少ないトランジスタを提供できる。または、本発明の一態様により、信頼性が良好なトランジスタを提供できる。または、本発明の一態様により、良好な電気特性を有するトランジスタを提供できる。または、本発明の一態様により、新規のトランジスタを提供できる。

［００２８］

または、本発明の一態様により、トランジスタの電気特性のばらつきが少ない半導体装置を提供できる。または、本発明の一態様により、信頼性が良好な半導体装置を提供できる。または、本発明の一態様により、良好な電気特性を有する半導体装置を提供できる。または、本発明の一態様により、オン電流が大きい半導体装置を提供できる。または、本発明の一態様により、微細化または高集積化が可能な半導体装置を提供できる。または、本発明の一態様により、低消費電力の半導体装置を提供できる。

［００２９］

なお、これらの効果の記載は、他の効果の存在を妨げるものではない。なお、本発明の一態様は、これらの効果の全てを有する必要はない。なお、これら以外の効果は、明細書、図面、請求項などの記載から、自ずと明らかとなるものであり、明細書、図面、請求項などの記載から、これら以外

の効果を抽出することが可能である。

図面の簡単な説明

［００３０］

図１Ａは本発明の一態様であるトランジスタの上面図である。図１Ｂ及び図１Ｃは本発明の一態様であるトランジスタの断面図である。

図２Ａ及び図２Ｂは本発明の一態様であるトランジスタの断面図である。

図３Ａ乃至図３Ｅは本発明の一態様であるトランジスタの断面図である。

図４Ａ乃至図４Ｊは本発明の一態様であるトランジスタの作製方法を示す断面図である。

図５Ａ乃至図５Ｈは本発明の一態様であるトランジスタの作製方法を示す断面図である。

図６Ａ乃至図６Ｆは本発明の一態様であるトランジスタの作製方法を示す断面図である。

図７は本発明の一態様に係るマイクロ波処理装置を説明する上面図である。

図８は本発明の一態様に係るマイクロ波処理装置を説明する断面模式図である。

図９は本発明の一態様に係るマイクロ波処理装置を説明する断面模式図である。

図１０は本発明の一態様に係るマイクロ波処理装置を説明する模式図である。

図１１Ａ乃至図１１Ｄは本発明の一態様であるトランジスタの断面図である。

図１２Ａ乃至図１２Ｄは本発明の一態様であるトランジスタの断面図である。

図１３Ａ乃至図１３Ｄは本発明の一態様であるトランジスタの断面図である。

図１４Ａは本発明の一態様である半導体装置の上面図である。図１４Ｂ乃至図１４Ｄは本発明の一態様である半導体装置の断面図である。

図１５Ａおよび図１５Ｂは本発明の一態様である半導体装置の断面図である。

図１６Ａは本発明の一態様である半導体装置の作製方法を示す上面図である。図１６Ｂ乃至図１６Ｄは本発明の一態様である半導体装置の作製方法を示す断面図である。

図１７Ａは本発明の一態様である半導体装置の作製方法を示す上面図である。図１７Ｂ乃至図１７Ｄは本発明の一態様である半導体装置の作製方法を示す断面図である。

図１８Ａは本発明の一態様である半導体装置の作製方法を示す上面図である。図１８Ｂ乃至図１８Ｄは本発明の一態様である半導体装置の作製方法を示す断面図である。

図１９Ａは本発明の一態様である半導体装置の作製方法を示す上面図である。図１９Ｂ乃至図１９Ｄは本発明の一態様である半導体装置の作製方法を示す断面図である。

図２０Ａは本発明の一態様である半導体装置の作製方法を示す上面図である。図２０Ｂ乃至図２０Ｄは本発明の一態様である半導体装置の作製方法を示す断面図である。

図２１Ａは本発明の一態様である半導体装置の作製方法を示す上面図である。図２１Ｂ乃至図２１Ｄは本発明の一態様である半導体装置の作製方法を示す断面図である。

図２２Ａは本発明の一態様である半導体装置の作製方法を示す上面図である。図２２Ｂ乃至図２２Ｄは本発明の一態様である半導体装置の作製方法を示す断面図である。

図２３Ａは本発明の一態様である半導体装置の作製方法を示す上面図である。図２３Ｂ乃至図２３Ｄは本発明の一態様である半導体装置の作製方法を示す断面図である。

図２４Ａは本発明の一態様である半導体装置の作製方法を示す上面図である。図２４Ｂ乃至図２４Ｄは本発明の一態様である半導体装置の作製方法を示す断面図である。

図２５Ａは本発明の一態様である半導体装置の作製方法を示す上面図である。図２５Ｂ乃至図２５Ｄは本発明の一態様である半導体装置の作製方法を示す断面図である。

図２６Ａは本発明の一態様である半導体装置の作製方法を示す上面図である。図２６Ｂ乃至図２６Ｄは本発明の一態様である半導体装置の作製方法を示す断面図である。

図２７Ａは本発明の一態様である半導体装置の作製方法を示す上面図である。図２７Ｂ乃至図２７Ｄは本発明の一態様である半導体装置の作製方法を示す断面図である。

図２８Ａは本発明の一態様である半導体装置の上面図である。図２８Ｂ乃至図２８Ｄは本発明の一態様である半導体装置の断面図である。

図２９Ａは本発明の一態様である半導体装置の上面図である。図２９Ｂ乃至図２９Ｄは本発明の一態様である半導体装置の断面図である。

図３０Ａは本発明の一態様である半導体装置の上面図である。図３０Ｂ乃至図３０Ｄは本発明の一態様である半導体装置の断面図である。

図３１Ａは本発明の一態様に係る半導体装置の上面図である。図３１Ｂおよび図３１Ｃは本発明の一態様である半導体装置の断面図である。

図３２は本発明の一態様に係る記憶装置の構成を示す断面図である。

図３３は本発明の一態様に係る記憶装置の構成を示す断面図である。

図３４は本発明の一態様に係る半導体装置の断面図である。

図３５Ａおよび図３５Ｂは本発明の一態様に係る半導体装置の断面図である。

図３６は本発明の一態様に係る半導体装置の断面図である。

図３７Ａは本発明の一態様に係る記憶装置の構成例を示すブロック図である。図３７Ｂは本発明の一態様に係る記憶装置の構成例を示す斜視図である。

図３８Ａ乃至図３８Ｈは本発明の一態様に係る記憶装置の構成例を示す回路図である。

図３９Ａおよび図３９Ｂは本発明の一態様に係る半導体装置の模式図である。

図４０は、ＣＰＵの構成例を説明する図である。

図４１Ａおよび図４１Ｂは、ＣＰＵの構成例を説明する図である。

図４２は、ＣＰＵのパワーゲーティングシーケンスを示す図である。

図４３Ａおよび図４３Ｂは電子部品の一例を説明する図である。

図４４Ａ乃至図４４Ｅは本発明の一態様に係る記憶装置の模式図である。

図４５Ａ乃至図４５Ｈは本発明の一態様に係る電子機器を示す図である。

発明を実施するための形態

［００３１］

以下、実施の形態について図面を参照しながら説明する。ただし、実施の形態は多くの異なる態様で実施することが可能であり、趣旨およびその範囲から逸脱することなくその形態および詳細を様々に変更し得ることは、当業者であれば容易に理解される。したがって、本発明は、以下の実施の形態の記載内容に限定して解釈されるものではない。

［００３２］

また、図面において、大きさ、層の厚さ、または領域は、明瞭化のために誇張されている場合がある。よって、必ずしもそのスケールに限定されない。なお、図面は、理想的な例を模式的に示したものであり、図面に示す形状または値などに限定されない。例えば、実際の製造工程において、エッチング処理により層、およびレジストマスクなどが意図せずに目減りすることがあるが、理解を容易とするため、図に反映しないことがある。また、図面において、同一部分または同様な機能を有する部分には同一の符号を異なる図面間で共通して用い、その繰り返しの説明は省略する場合

がある。また、同様の機能を指す場合には、ハッチングパターンを同じくし、特に符号を付さない場合がある。

［００３３］

また、特に上面図（「平面図」ともいう）、または斜視図などにおいて、発明の理解を容易とするため、一部の構成要素の記載を省略する場合がある。また、一部の隠れ線の記載を省略する場合がある。

［００３４］

また、本明細書等において、第１、第２等として付される序数詞は便宜上用いるものであり、工程順または積層順を示すものではない。そのため、例えば、「第１の」を「第２の」または「第３の」などと適宜置き換えて説明することができる。また、本明細書等に記載されている序数詞と、本発明の一態様を特定するために用いられる序数詞は一致しない場合がある。

［００３５］

また、本明細書等において、「上に」、または「下に」などの配置を示す語句は、構成同士の位置関係を、図面を参照して説明するために、便宜上用いている。また、構成同士の位置関係は、各構成を描写する方向に応じて適宜変化するものである。したがって、明細書で説明した語句に限定されず、状況に応じて適切に言い換えることができる。

［００３６］

例えば、本明細書等において、ＸとＹとが接続されている、と明示的に記載されている場合は、ＸとＹとが電気的に接続されている場合と、ＸとＹとが機能的に接続されている場合と、ＸとＹとが直接的に接続されている場合とが、本明細書等に開示されているものとする。したがって、所定の接続関係、例えば、図または文章に示された接続関係に限定されず、図または文章に示された接続関係以外のものも、図または文章に開示されているものとする。ここで、Ｘ、Ｙは、対象物（例えば、装置、素子、回路、配線、電極、端子、導電膜、または層、など）であるとする。

［００３７］

また、本明細書等において、トランジスタとは、ゲートと、ドレインと、ソースとを含む少なくとも三つの端子を有する素子である。そして、ドレイン（ドレイン端子、ドレイン領域またはドレイン電極）とソース（ソース端子、ソース領域またはソース電極）の間にチャネルが形成される領域（以下、チャネル形成領域ともいう）を有しており、チャネル形成領域を介して、ソースとドレインとの間に電流を流すことができるものである。なお、本明細書等において、チャネル形成領域とは、電流が主として流れる領域をいう。

［００３８］

また、ソース、またはドレインの機能は、異なる極性のトランジスタを採用する場合、または回路動作において電流の方向が変化する場合などには入れ替わることがある。このため、本明細書等においては、ソース、またはドレインの用語は、入れ替えて用いることができる場合がある。

［００３９］

なお、チャネル長とは、例えば、トランジスタの上面図において、半導体（またはトランジスタがオン状態のときに半導体の中で電流の流れる部分）とゲート電極とが互いに重なる領域、またはチャネル形成領域における、ソース（ソース領域またはソース電極）とドレイン（ドレイン領域またはドレイン電極）との間の距離をいう。なお、一つのトランジスタにおいて、チャネル長が全ての領域で同じ値をとるとは限らない。すなわち、一つのトランジスタのチャネル長は、一つの値に

定まらない場合がある。そのため、本明細書では、チャネル長は、チャネル形成領域における、いずれか一の値、最大値、最小値または平均値とする。

［００４０］

チャネル幅とは、例えば、トランジスタの上面図において、半導体（またはトランジスタがオン状態のときに半導体の中で電流の流れる部分）とゲート電極とが互いに重なる領域、またはチャネル形成領域における、チャネル長方向を基準として垂直方向のチャネル形成領域の長さをいう。なお、一つのトランジスタにおいて、チャネル幅がすべての領域で同じ値をとるとは限らない。すなわち、一つのトランジスタのチャネル幅は、一つの値に定まらない場合がある。そのため、本明細書では、チャネル幅は、チャネル形成領域における、いずれか一の値、最大値、最小値または平均値とする。

［００４１］

なお、本明細書等において、トランジスタの構造によっては、実際にチャネルの形成される領域におけるチャネル幅（以下、「実効的なチャネル幅」ともいう）と、トランジスタの上面図において示されるチャネル幅（以下、「見かけ上のチャネル幅」ともいう）と、が異なる場合がある。例えば、ゲート電極が半導体の側面を覆う場合、実効的なチャネル幅が、見かけ上のチャネル幅よりも大きくなり、その影響が無視できなくなる場合がある。例えば、微細かつゲート電極が半導体の側面を覆うトランジスタでは、半導体の側面に形成されるチャネル形成領域の割合が大きくなる場合がある。その場合は、見かけ上のチャネル幅よりも、実効的なチャネル幅の方が大きくなる。

［００４２］

このような場合、実効的なチャネル幅の、実測による見積もりが困難となる場合がある。例えば、設計値から実効的なチャネル幅を見積もるためには、半導体の形状が既知という仮定が必要である。したがって、半導体の形状が正確にわからない場合には、実効的なチャネル幅を正確に測定することは困難である。

［００４３］

本明細書では、単にチャネル幅と記載した場合には、見かけ上のチャネル幅を指す場合がある。または、本明細書では、単にチャネル幅と記載した場合には、実効的なチャネル幅を指す場合がある。なお、チャネル長、チャネル幅、実効的なチャネル幅、および見かけ上のチャネル幅などは、例えば、断面ＴＥＭ（Ｔｒａｎｓｍｉｓｓｉｏｎ　Ｅｌｅｃｔｒｏｎ　Ｍｉｃｒｏｓｃｏｐｅ）像を解析することによって、値を決定することができる。

［００４４］

なお、半導体の不純物とは、例えば、半導体を構成する主成分以外をいう。例えば、濃度が０．１原子％未満の元素は不純物と言える。不純物が含まれることにより、例えば、半導体の欠陥準位密度が高くなること、または結晶性が低下することなどが起こる場合がある。半導体が酸化物半導体である場合、半導体の特性を変化させる不純物としては、例えば、第１族元素、第２族元素、第１３族元素、第１４族元素、第１５族元素、および酸化物半導体の主成分以外の遷移金属などがあり、例えば、水素、リチウム、ナトリウム、シリコン、ホウ素、リン、炭素、および窒素などがある。なお、水も不純物として機能する場合がある。また、例えば不純物の混入によって、酸化物半導体に酸素欠損（V_O：ｏｘｙｇｅｎ　ｖａｃａｎｃｙともいう）が形成される場合がある。

［００４５］

なお、本明細書等において、酸化窒化シリコンとは、その組成として、窒素よりも酸素の含有量

が多いものである。また、窒化酸化シリコンとは、その組成として、酸素よりも窒素の含有量が多いものである。また、酸化窒化アルミニウムとは、その組成として、窒素よりも酸素の含有量が多いものである。また、窒化酸化アルミニウムとは、その組成として、酸素よりも窒素の含有量が多いものである。また、酸化窒化ハフニウムとは、その組成として、窒素よりも酸素の含有量が多いものである。また、窒化酸化ハフニウムとは、その組成として、酸素よりも窒素の含有量が多いものである。

［００４６］

また、本明細書等において、「絶縁体」という用語を、絶縁膜または絶縁層と言い換えることができる。また、「導電体」という用語を、導電膜または導電層と言い換えることができる。また、「半導体」という用語を、半導体膜または半導体層と言い換えることができる。

［００４７］

また、本明細書等において、「平行」とは、二つの直線が－１０度以上１０度以下の角度で配置されている状態をいう。したがって、－５度以上５度以下の場合も含まれる。また、「概略平行」とは、二つの直線が－３０度以上３０度以下の角度で配置されている状態をいう。また、「垂直」とは、二つの直線が８０度以上１００度以下の角度で配置されている状態をいう。したがって、８５度以上９５度以下の場合も含まれる。また、「概略垂直」とは、二つの直線が６０度以上１２０度以下の角度で配置されている状態をいう。

［００４８］

本明細書等において、金属酸化物（ｍｅｔａｌ　ｏｘｉｄｅ）とは、広い意味での金属の酸化物である。金属酸化物は、酸化物絶縁体、酸化物導電体（透明酸化物導電体を含む）、酸化物半導体（Ｏｘｉｄｅ　Ｓｅｍｉｃｏｎｄｕｃｔｏｒまたは単にＯＳともいう）などに分類される。例えば、トランジスタの半導体層に金属酸化物を用いた場合、当該金属酸化物を酸化物半導体と呼称する場合がある。つまり、ＯＳトランジスタと記載する場合においては、金属酸化物または酸化物半導体を有するトランジスタと換言することができる。

［００４９］

また、本明細書等において、ノーマリーオフとは、ゲートに電位を印加しない、またはゲートに接地電位を与えたときに、トランジスタに流れるチャネル幅１μｍあたりのドレイン電流が、室温において１×１０$^{-20}$Ａ以下、８５℃において１×１０$^{-18}$Ａ以下、または１２５℃において１×１０$^{-16}$Ａ以下であることをいう。

［００５０］

また、本明細書等において、「電圧」と「電位」は、適宜言い換えることができる。「電圧」は、基準となる電位からの電位差のことであり、例えば基準となる電位をグラウンド電位（接地電位）とすると、「電圧」を「電位」に言い換えることができる。なお、グラウンド電位は必ずしも０Ｖを意味するとは限らない。また、電位は相対的なものであり、基準となる電位が変わることによって、配線に与えられる電位、回路などに印加される電位、回路などから出力される電位なども変化する。

［００５１］

本明細書等において、複数の要素に同じ符号を用いる場合、特に、それらを区別する必要があるときには、符号に“＿１”、“［ｎ］”、または“［ｍ，ｎ］”等の識別用の符号を付記して記載する場合がある。

［００５２］

なお、本明細書等において、「高さが一致または概略一致」とは、断面視において、基準となる面（例えば、基板表面などの平坦な面）からの高さが等しい構成を示す。例えば、半導体装置の製造プロセスにおいて、平坦化処理（代表的にはＣＭＰ処理）を行うことで、単層または複数の層の表面を露出する場合がある。この場合、ＣＭＰ処理の被処理面は、基準となる面からの高さが等しい構成となる。ただし、ＣＭＰ処理の際の処理装置、処理方法、または被処理面の材料によって、複数の層の高さが異なる場合がある。本明細書等においては、この場合も「高さが一致または概略一致」として扱う。例えば、基準面に対して、２つの高さを有する層（ここでは第１の層と、第２の層とする）を有する場合、第１の層の上面の高さと、第２の層の上面の高さとの差が、２０ｎｍ以下である場合も、「高さが一致または概略一致」という。

［００５３］

なお、本明細書等において、「端部が一致または概略一致」とは、上面視において、積層した層と層との間で少なくとも輪郭の一部が重なることをいう。例えば、上層と下層とが、同一のマスクパターン、または一部が同一のマスクパターンにより加工された場合を含む。ただし、厳密には輪郭が重ならず、上層の輪郭が下層の輪郭より内側に位置すること、または、上層の輪郭が下層の輪郭より外側に位置することもあり、この場合も「端部が一致または概略一致」という。

［００５４］

（実施の形態１）

本実施の形態では、図１乃至図１３を用いて、本発明の一態様であるトランジスタの構成例、およびその作製方法について説明する。

［００５５］

＜構成例１＞

図１を用いて、本発明の一態様であるトランジスタの構成例を説明する。図１Ａ乃至図１Ｃは、トランジスタ２０の上面図および断面図である。図１Ａは、トランジスタ２０の上面図である。また、図１Ｂ及び図１Ｃは、トランジスタ２０の断面図である。ここで、図１Ｂは、図１ＡにＡ１－Ａ２の一点鎖線で示す部位の断面図であり、トランジスタ２０のチャネル長方向の断面図でもある。また、図１Ｃは、図１ＡにＡ３－Ａ４の一点鎖線で示す部位の断面図であり、トランジスタ２０のチャネル幅方向のチャネル形成領域およびその近傍の断面図でもある。なお、図１Ａの上面図では、図の明瞭化のために一部の要素を省いている。

［００５６］

トランジスタ２０は、基板（図示せず）上の導電体１５と、導電体１５上の絶縁体１４と、絶縁体１４上の絶縁体２２と、絶縁体２２上の、絶縁体２４、絶縁体２３ａ、及び絶縁体２３ｂと、絶縁体２４上、絶縁体２３ａ上、及び絶縁体２３ｂ上の酸化物３０と、酸化物３０上の、導電体４２ａ、導電体４２ｂ、及び絶縁体５０と、絶縁体５０上に位置し、酸化物３０の一部と重なる導電体６０と、絶縁体１４上、絶縁体２２上、絶縁体２４上、絶縁体２３ａ上、絶縁体２３ｂ上、酸化物３０上、導電体４２ａ上、及び導電体４２ｂ上に配置される絶縁体７５と、絶縁体７５上の絶縁体８０と、絶縁体８０上、絶縁体５０上、及び導電体６０上の絶縁体８２と、を有する。

［００５７］

なお、以下において、絶縁体２３ａと絶縁体２３ｂをまとめて絶縁体２３と呼ぶ場合がある。また、導電体４２ａと導電体４２ｂをまとめて導電体４２と呼ぶ場合がある。

［００５８］

絶縁体８０および絶縁体７５には、酸化物３０に達する開口が設けられる。当該開口内に、絶縁体５０、および導電体６０が配置されている。また、トランジスタ２０のチャネル長方向において、導電体４２ａと導電体４２ｂとの間に、絶縁体５０、および導電体６０が設けられている。

［００５９］

絶縁体５０は、導電体６０の側面と接する領域と、導電体６０の底面と接する領域と、を有する。また、絶縁体５０は、絶縁体１４の上面、絶縁体２２の側面、絶縁体２４の側面、酸化物３０の側面、酸化物３０の上面、導電体４２ａの側面、導電体４２ｂの側面、絶縁体７５の側面、及び絶縁体８０の側面のそれぞれと接する領域を有する。

［００６０］

導電体６０の上面は、絶縁体５０の最上部、および絶縁体８０の上面と高さが一致または概略一致するように配置される。

［００６１］

なお、図１Ｂにおいて、導電体６０等を埋め込む開口の側面が、酸化物３０の被形成面に対して概略垂直となっているが、本実施の形態はこれに限られるものではない。例えば、当該開口の底部が緩やかな曲面を有する、Ｕ字型の形状となってもよい。また、例えば、当該開口の側面が酸化物３０の被形成面に対して傾斜していてもよい。

［００６２］

絶縁体２４の上面は、絶縁体２３ａの上面、および絶縁体２３ｂの上面と高さが一致または概略一致するように配置される。

［００６３］

導電体６０は、第１のゲート（トップゲートともいう）電極として機能し、導電体１５は、第２のゲート（バックゲートともいう）電極として機能する。また、絶縁体５０は、第１のゲート絶縁体として機能し、絶縁体２２、及び絶縁体２４は第２のゲート絶縁体として機能する。なお、絶縁体２３は、第２のゲート絶縁体として機能する場合がある。また、導電体４２ａは、ソース電極またはドレイン電極の一方として機能し、導電体４２ｂは、ソース電極またはドレイン電極の他方として機能する。また、酸化物３０の導電体６０と重畳する領域の少なくとも一部はチャネル形成領域として機能する。

［００６４］

トランジスタ２０は、チャネル形成領域を含む酸化物３０に、半導体として機能する金属酸化物（以下、酸化物半導体ともいう）を用いることが好ましい。

［００６５］

半導体として機能する金属酸化物は、バンドギャップが２ｅＶ以上のものを用いることが好ましく、２．５ｅＶ以上のものを用いることがより好ましい。このように、バンドギャップの大きい金属酸化物を用いることで、トランジスタのオフ電流を低減できる。

［００６６］

酸化物３０として、例えば、インジウム、元素Mおよび亜鉛を有するＩｎ－Ｍ－Ｚｎ酸化物（元素Mは、アルミニウム、ガリウム、イットリウム、錫、銅、バナジウム、ベリリウム、ホウ素、チタン、鉄、ニッケル、ゲルマニウム、ジルコニウム、モリブデン、ランタン、セリウム、ネオジム、ハフニウム、タンタル、タングステン、またはマグネシウムなどから選ばれた一種、または複数種）

等の金属酸化物を用いるとよい。なお、元素Mがガリウムである上記金属酸化物を、Ｉｎ－Ｇａ－Ｚｎ酸化物と記す場合がある。また、酸化物３０として、Ｉｎ－Ｇａ酸化物、Ｉｎ－Ｚｎ酸化物、インジウム酸化物を用いてもよい。

［００６７］

酸化物３０は結晶性を有することが好ましい。特に、酸化物３０として、ＣＡＡＣ－ＯＳ（ｃ－ａｘｉｓ ａｌｉｇｎｅｄ ｃｒｙｓｔａｌｌｉｎｅ ｏｘｉｄｅ ｓｅｍｉｃｏｎｄｕｃｔｏｒ）を用いることが好ましい。

［００６８］

ＣＡＡＣ－ＯＳは、結晶性の高い、緻密な構造を有しており、不純物または欠陥（例えば、酸素欠損（V_O）、及び金属欠損など）が少ない金属酸化物である。特に、金属酸化物の形成後に、金属酸化物が多結晶化しない程度の温度（例えば、４００℃以上６００℃以下）で加熱処理することで、ＣＡＡＣ－ＯＳをより結晶性の高い、緻密な構造にすることができる。このようにして、ＣＡＡＣ－ＯＳの密度をより高めることで、当該ＣＡＡＣ－ＯＳ中の不純物または欠陥をより低減できる。

［００６９］

また、ＣＡＡＣ－ＯＳは、明確な結晶粒界を確認することが難しいため、結晶粒界に起因する電子移動度の低下が起こりにくいといえる。したがって、ＣＡＡＣ－ＯＳを有する金属酸化物は、物理的性質が安定する。そのため、ＣＡＡＣ－ＯＳを有する金属酸化物は熱に強く、信頼性が高い。

［００７０］

なお、図１Ｂ及び図１Ｃでは、酸化物３０を単層とする構成について示しているが、本発明はこれに限られず、２層以上の積層構造としてもよい。

［００７１］

なお、酸化物３０が２層以上の積層構造とする場合、後述する、領域３０ａ、領域３０ｂ、および領域３０ｃが、一部の層に形成されてもよいし、全ての層に形成されてもよい。

［００７２］

酸化物３０は、化学組成が異なる複数の酸化物層の積層構造を有してもよい。例えば、導電体６０側の酸化物層に用いる金属酸化物において、元素Mに対するＩｎの原子数比が、導電体１５側の酸化物層に用いる金属酸化物における、元素Mに対するＩｎの原子数比より大きいことが好ましい。当該構成することで、トランジスタ２０は大きいオン電流、および高い周波数特性を得ることができる。

［００７３］

また、複数の酸化物層が、酸素以外に共通の元素を主成分として有することで、酸化物層の界面における欠陥準位密度を低くすることができる。酸化物層の界面における欠陥準位密度を低くすることができるため、界面散乱によるキャリア伝導への影響が小さく、高いオン電流が得られる。

［００７４］

ここで、図１Ｂにおけるチャネル形成領域およびその近傍の拡大図を図２Ａに、図１Ｃにおけるチャネル形成領域およびその近傍の拡大図を図２Ｂに示す。図２Ａに示すように、酸化物３０は、領域３０ｃと、領域３０ｃを挟むように設けられる一対の領域３０ａおよび領域３０ｂと、を有する。領域３０ｃは、少なくとも一部が導電体６０と重畳している。言い換えると、領域３０ｃは、導電体４２ａと導電体４２ｂの間の領域に設けられている。領域３０ａは、導電体４２ａに重畳し

て設けられており、領域３０ｂは、導電体４２ｂに重畳して設けられている。

［００７５］

領域３０ｃは、トランジスタ２０のチャネル形成領域として機能する。また、領域３０ａは、トランジスタ２０のソース領域またはドレイン領域の一方として機能し、領域３０ｂは、トランジスタ２０のソース領域またはドレイン領域の他方として機能する。

［００７６］

チャネル形成領域として機能する領域３０ｃは、領域３０ａおよび領域３０ｂよりも、酸素欠損が少なく、または水素、窒素、金属元素などの不純物濃度が低いため、キャリア濃度が低い高抵抗領域である。例えば、領域３０ｃのキャリア濃度は、$1\times10^{18}cm^{-3}$以下であることが好ましく、$1\times10^{17}cm^{-3}$未満であることがより好ましく、$1\times10^{16}cm^{-3}$未満であることがさらに好ましく、$1\times10^{13}cm^{-3}$未満であることがさらに好ましく、$1\times10^{12}cm^{-3}$未満であることがさらに好ましい。なお、領域３０ｃのキャリア濃度の下限値については、特に限定は無いが、例えば、$1\times10^{-9}cm^{-3}$とすることができる。

［００７７］

また、例えば、酸化物３０を二次イオン質量分析法（ＳＩＭＳ：Ｓｅｃｏｎｄａｒｙ　Ｉｏｎ　Ｍａｓｓ　Ｓｐｅｃｔｒｏｍｅｔｒｙ）にて測定した際に、酸化物３０中の水素濃度は、$1\times10^{20}atoms/cm^3$未満、好ましくは$1\times10^{19}atoms/cm^3$未満、より好ましくは$5\times10^{18}atoms/cm^3$、さらに好ましくは$1\times10^{18}atoms/cm^3$未満である領域を有する。とくに、当該領域は、酸化物３０の領域３０ｃ内に位置することが好ましい。本明細書では、「層をＳＩＭＳにて測定した際の当該層中の不純物濃度」を、「ＳＩＭＳより得られる層中の不純物濃度」と表記することがある。

［００７８］

ソース領域またはドレイン領域として機能する領域３０ａおよび領域３０ｂは、酸素欠損が多く、または水素、窒素、金属元素などの不純物濃度が高い、ことでキャリア濃度が増加し、低抵抗化した領域である。すなわち、領域３０ａおよび領域３０ｂは、領域３０ｃと比較して、キャリア濃度が高く、低抵抗な領域である。例えば、領域３０ａおよび領域３０ｂそれぞれのキャリア濃度は、$1\times10^{17}cm^{-3}$以上であることが好ましく、$1\times10^{18}cm^{-3}$以上であることがより好ましく、$1\times10^{19}cm^{-3}$以上であることがさらに好ましい。なお、領域３０ａおよび領域３０ｂそれぞれのキャリア濃度の上限値については、特に限定は無いが、例えば、$1\times10^{21}cm^{-3}$とすることができる。

［００７９］

また、領域３０ｃと、領域３０ａまたは領域３０ｂとの間に、キャリア濃度が、領域３０ａおよび領域３０ｂのキャリア濃度と同等、またはそれよりも低く、領域３０ｃのキャリア濃度と同等、またはそれよりも高い、領域が形成される場合がある。つまり、当該領域は、領域３０ｃと、領域３０ａまたは領域３０ｂとの接合領域として機能する。当該接合領域は、水素濃度が、領域３０ａおよび領域３０ｂの水素濃度と同等、またはそれよりも低く、領域３０ｃの水素濃度と同等、またはそれよりも高くなる場合がある。また、当該接合領域は、酸素欠損が、領域３０ａおよび領域３０ｂの酸素欠損と同等、またはそれよりも少なく、領域３０ｃの酸素欠損と同等、またはそれよりも多くなる場合がある。

［００８０］

なお、酸化物３０において、各領域の境界を明確に検出することが困難な場合がある。各領域内で検出される金属元素、水素、および窒素などの不純物元素の濃度は、領域ごとの段階的な変化に限らず、各領域内でも連続的に変化していてもよい。つまり、チャネル形成領域に近い領域であるほど、金属元素、水素、および窒素などの不純物元素の濃度が減少していればよい。

［００８１］

酸化物半導体を用いたトランジスタは、酸化物半導体中のチャネル形成領域に不純物または酸素欠損が存在すると、電気特性が変動しやすく、信頼性が悪くなる場合がある。また、酸素欠損近傍の水素が、酸素欠損に水素が入った欠陥（以下、V_OHと呼ぶ場合がある）を形成し、キャリアとなる電子を生成する場合がある。このため、酸化物半導体中のチャネル形成領域に酸素欠損が含まれていると、トランジスタはノーマリーオン特性（ゲート電極に電圧を印加しなくてもチャネルが存在し、トランジスタに電流が流れる特性）となりやすい。したがって、酸化物半導体中のチャネル形成領域では、不純物、酸素欠損、およびV_OHはできる限り低減されていることが好ましい。言い換えると、酸化物半導体中のチャネル形成領域は、キャリア濃度が低減され、ｉ型（真性化）または実質的にｉ型であることが好ましい。

［００８２］

これに対して、酸化物半導体中のソース領域およびドレイン領域では、キャリア濃度が高く、ｎ型であることが好ましい。よって、酸化物半導体中のソース領域およびドレイン領域には、キャリアとなる電子を生成するV_OHが含まれることが好ましい。ただし、ソース領域およびドレイン領域に含まれるV_OHが、チャネル形成領域に拡散するのは、抑制しなければならない。このため、ソース領域およびドレイン領域に含まれるV_OHは安定であることが好ましい。特に、ソース領域およびドレイン領域に含まれるV_OHが基板面内でばらつくことで、トランジスタの電気特性にばらつきが出ることになる。

［００８３］

つまり、酸化物半導体中において、チャネル形成領域として機能する領域３０ｃは、キャリア濃度が低減され、ｉ型または実質的にｉ型であることが好ましい。一方、ソース領域またはドレイン領域として機能する領域３０ａおよび領域３０ｂは、キャリア濃度が高く、ｎ型であることが好ましい。そして、ｉ型または実質的にｉ型の領域３０ｃと、ｎ型の領域３０ａおよび領域３０ｂは安定であることが好ましい。

［００８４］

これに対して、酸化物半導体の近傍に、加熱により脱離する酸素（以下、過剰酸素と呼ぶ場合がある）を含む絶縁体を設け、熱処理を行うことで、当該絶縁体から酸化物半導体に酸素を供給し、酸素欠損、およびV_OHを低減できる。ただし、ソース領域またはドレイン領域に過剰な量の酸素が供給されると、トランジスタ２０のオン電流の低下、または電界効果移動度の低下を引き起こすおそれがある。さらに、ソース領域またはドレイン領域に供給される酸素の量が基板面内でばらつくことで、トランジスタの電気特性にばらつきが出ることになる。

［００８５］

よって、酸化物半導体中において、チャネル形成領域として機能する領域３０ｃは、キャリア濃度が低減され、ｉ型または実質的にｉ型であることが好ましいが、ソース領域またはドレイン領域として機能する領域３０ａおよび領域３０ｂは、キャリア濃度が高く、ｎ型であることが好ましい。つまり、酸化物半導体の領域３０ｃの酸素欠損、およびV_OHを低減し、領域３０ａおよび領域３

０ｂには過剰な量の酸素が供給されないようにすることが好ましい。

［００８６］

そこで、本実施の形態では、領域３０ｃの上面に接する絶縁体、及び領域３０ｃの下面に接する絶縁体として、過剰酸素を含む絶縁体を用い、領域３０ａの下面と接する絶縁体、及び領域３０ｂの下面と接する絶縁体として、酸素（例えば、酸素原子、及び酸素分子などの少なくとも一）の拡散を抑制する絶縁体を用いる。当該構成にすることで、領域３０ｃに効率よく酸素を供給することができ、チャネル形成領域を安定なｉ型の領域にすることができる。さらに、領域３０ａおよび領域３０ｂは、領域３０ｃと比較して供給される酸素量が少ないため、ソース領域及びドレイン領域のキャリア濃度が低下するのを防ぐことができる。

［００８７］

図１Ｂに示すトランジスタ２０において、絶縁体５０は領域３０ｃの上面に接する絶縁体であり、絶縁体２４は領域３０ｃの下面に接する絶縁体である。領域３０ｃは、導電体６０に重畳して設けられているため、絶縁体２４は、領域３０ｃを介して、導電体６０と重畳している。別言すると、絶縁体２４は、酸化物３０、および導電体６０と重なるように配置されている。

［００８８］

絶縁体５０及び絶縁体２４は、過剰酸素を含む絶縁体であることが好ましい。このとき、絶縁体５０及び絶縁体２４に含まれる酸素を、領域３０ｃに効率よく供給することができる。

［００８９］

なお、絶縁体５０に接する絶縁体が過剰酸素を含む場合、絶縁体５０は酸素を透過しやすい絶縁性材料を用いて形成してもよい。このとき、絶縁体５０に接する絶縁体に含まれる酸素を、絶縁体５０を介して領域３０ｃに供給することができる。図１Ｂ及び図１Ｃに示すトランジスタ２０において、絶縁体５０に接する絶縁体として、絶縁体８０が挙げられる。つまり、絶縁体８０は、過剰酸素を含む絶縁体であることが好ましい。このとき、絶縁体２４は、酸素を透過しやすい絶縁性材料を用いて形成してもよい。当該構成にすることで、絶縁体８０に含まれる酸素を、絶縁体５０及び絶縁体２４を介して領域３０ｃに供給することができる。

［００９０］

図２Ａに示す矢印は、絶縁体８０に含まれる酸素が絶縁体５０を介して領域３０ｃへ拡散する様子と、絶縁体２４に含まれる酸素が領域３０ｃへ拡散する様子と、を可視化したものである。また、図２Ｂに示す矢印は、絶縁体８０に含まれる酸素が絶縁体５０を介して領域３０ｃへ拡散する様子と、絶縁体８０に含まれる酸素が絶縁体５０及び絶縁体２４を介して領域３０ｃへ拡散する様子と、絶縁体２４に含まれる酸素が領域３０ｃへ拡散する様子と、を可視化したものである。

［００９１］

絶縁体５０、絶縁体２４、及び絶縁体８０として、例えば、酸化シリコン、酸化窒化シリコン、フッ素を添加した酸化シリコン、炭素を添加した酸化シリコン、炭素および窒素を添加した酸化シリコン、または空孔を有する酸化シリコンなどの絶縁性材料を用いることができる。特に、酸化シリコン、および酸化窒化シリコンは熱に対し安定であるため好ましい。この場合、絶縁体５０、絶縁体２４、及び絶縁体８０は、少なくとも酸素と、シリコンと、を有する絶縁体となる。上記絶縁性材料は、誘電率が低い材料でもある。絶縁体８０は層間膜としても機能するため、上記絶縁体材料を用いて絶縁体８０を形成することで、配線間に生じる寄生容量を低減できる。

［００９２］

絶縁体５０中、絶縁体２４中、及び絶縁体８０中のそれぞれの、水、及び水素などの不純物濃度が低減されていることが好ましい。絶縁体５０、絶縁体２４、及び絶縁体８０の少なくとも一つは、ＳＩＭＳにより得られる膜中の水素濃度が、２×１０^{20}ａｔｏｍｓ／ｃｍ^{3}未満、好ましくは１×１０^{20}ａｔｏｍｓ／ｃｍ^{3}未満、より好ましくは５×１０^{19}ａｔｏｍｓ／ｃｍ^{3}未満、さらに好ましくは１×１０^{19}ａｔｏｍｓ／ｃｍ^{3}未満である領域を有する。

［００９３］

絶縁体５０は、導電体６０とともに絶縁体８０などに形成された開口に設ける必要がある。トランジスタ２０の微細化を図るにあたって、絶縁体５０の膜厚は薄いことが好ましい。絶縁体５０の膜厚は、０．５ｎｍ以上２０ｎｍ以下とするのが好ましく、１．０ｎｍ以上１５．０ｎｍ以下とするのがより好ましい。この場合、絶縁体５０は、少なくとも一部において、上記のような膜厚の領域を有していればよい。

［００９４］

図１Ｂ及び図１Ｃでは、絶縁体５０を単層とする構成について示したが、本発明はこれに限られず、２層以上の積層構造としてもよい。例えば、絶縁体５０を２層の積層構造とする場合、下層は酸素を透過しやすい絶縁体を用いて形成し、上層は酸素の拡散を抑制する機能を有する絶縁体を用いて形成することが好ましい。当該構成にすることで、下層に含まれる酸素が、導電体６０へ拡散するのを抑制できる。つまり、酸化物３０へ供給する酸素量の減少を抑制できる。また、下層に含まれる酸素による導電体６０の酸化を抑制できる。例えば、下層は上述した絶縁体５０に用いることができる材料を用いて設け、上層はアルミニウムおよびハフニウムの一方または双方の酸化物を含む絶縁体を用いるとよい。当該絶縁体として、酸化アルミニウム、酸化ハフニウム、アルミニウムおよびハフニウムを含む酸化物（ハフニウムアルミネート）、ハフニウムおよびシリコンを含む酸化物（ハフニウムシリケート）などを用いることができる。例えば、上層として酸化ハフニウムを用いる場合、当該上層は、少なくとも酸素と、ハフニウムと、を有する絶縁体となる。

［００９５］

図１Ｂ及び図１Ｃに示すトランジスタ２０において、絶縁体２３ａは領域３０ａの下面に接する絶縁体である。領域３０ａは、導電体４２ａに重畳して設けられているため、絶縁体２３ａは、領域３０ａを介して、導電体４２ａと重畳している。別言すると、絶縁体２３ａは、酸化物３０、および導電体４２ａと重なるように配置されている。絶縁体２３ｂは領域３０ｂの下面に接する絶縁体である。領域３０ｂは、導電体４２ｂに重畳して設けられているため、絶縁体２３ｂは、領域３０ｂを介して、導電体４２ｂと重畳している。別言すると、絶縁体２３ｂは、酸化物３０、および導電体４２ｂと重なるように配置されている。

［００９６］

絶縁体２３ａ及び絶縁体２３ｂは、酸素の拡散を抑制する機能を有することが好ましい。酸素の拡散を抑制する機能を有する絶縁体として、例えば、酸化アルミニウム、酸化マグネシウム、酸化ハフニウム、ハフニウム及びシリコンを含む酸化物、ハフニウム及びアルミニウムを含む酸化物、ハフニウム及びジルコニウムを含む酸化物、酸化ガリウム、ガリウム及び亜鉛を含む酸化物、Ｉｎ－Ｇａ－Ｚｎ酸化物、窒化シリコン、窒化酸化シリコンなどを用いることができる。なお、絶縁体２３ａ及び絶縁体２３ｂは、酸素の拡散を抑制する機能を有すればよく、絶縁体２３ａ及び絶縁体２３ｂとして、絶縁性材料に限られず、半導体材料を用いてもよい。

［００９７］

さらに、絶縁体２３ａ及び絶縁体２３ｂは、圧縮応力を有することが好ましく、酸化物３０よりも圧縮応力が大きいことがより好ましい。例えば、絶縁体２３ａ及び絶縁体２３ｂに適用可能な窒化シリコンは、酸化物３０よりも圧縮応力が大きい。絶縁体２３ａ及び絶縁体２３ｂとして、圧縮応力を有する絶縁体、特に酸化物３０よりも圧縮応力が大きい絶縁体を用いることで、領域３０ａ及び領域３０ｂに引っ張り方向に拡張される歪（以下、引っ張り歪と呼ぶ場合がある）を形成することができる。引っ張り歪によってV_OHを安定に形成することで、領域３０ａ及び領域３０ｂを安定なｎ型領域にすることができる。なお、絶縁体が有する圧縮応力とは、当該絶縁体の圧縮形状を緩和しようとする応力であり、当該絶縁体の中央部から端部の方向のベクトルを有する応力である。

［００９８］

なお、上述したように、Ｉｎ－Ｇａ－Ｚｎ酸化物は、酸化物３０にも適用可能な金属酸化物である。Ｉｎ－Ｇａ－Ｚｎ酸化物をトランジスタのチャネル形成領域に用いる場合、ガリウムに対するインジウムの原子数比が大きいほど、当該トランジスタのオン電流および電界効果移動度が向上する傾向がある。また、Ｉｎ－Ｇａ－Ｚｎ酸化物において、インジウムに対するガリウムの原子数比が大きいほど、酸素の拡散がより抑制される傾向がある。したがって、酸化物３０ならびに絶縁体２３ａ及び絶縁体２３ｂにＩｎ－Ｇａ－Ｚｎ酸化物を用いる場合、酸化物３０に用いるＩｎ－Ｇａ－Ｚｎ酸化物において、ガリウムに対するインジウムの原子数比は、絶縁体２３ａ及び絶縁体２３ｂに用いるＩｎ－Ｇａ－Ｚｎ酸化物における、ガリウムに対するインジウムの原子数比より大きいことが好ましい。また、絶縁体２３ａ及び絶縁体２３ｂに用いるＩｎ－Ｇａ－Ｚｎ酸化物において、インジウムに対するガリウムの原子数比は、酸化物３０に用いるＩｎ－Ｇａ－Ｚｎ酸化物における、インジウムに対するガリウムの原子数比より大きいことが好ましい。

［００９９］

具体的には、絶縁体２３ａ及び絶縁体２３ｂとして、Ｉｎ：Ｍ：Ｚｎ＝１：３：４［原子数比］またはその近傍の組成の金属酸化物を用いればよい。また、酸化物３０として、Ｉｎ：Ｍ：Ｚｎ＝１：１：１［原子数比］もしくはその近傍の組成、Ｉｎ：Ｍ：Ｚｎ＝１：１：１．２［原子数比］もしくはその近傍の組成、Ｉｎ：Ｍ：Ｚｎ＝１：１：２［原子数比］もしくはその近傍の組成、またはＩｎ：Ｍ：Ｚｎ＝４：２：３［原子数比］もしくはその近傍の組成の金属酸化物を用いればよい。なお、近傍の組成とは、所望の原子数比の±３０％の範囲を含む。また、元素Ｍとして、ガリウムを用いることが好ましい。

［０１００］

なお、金属酸化物をスパッタリング法により成膜する場合、上記の原子数比は、成膜された金属酸化物の原子数比に限られず、金属酸化物の成膜に用いるスパッタリングターゲットの原子数比であってもよい。

［０１０１］

図２Ａには、絶縁体２３ａの導電体６０側の端部と領域３０ａの導電体６０側の端部とが一致または概略一致し、絶縁体２３ｂの導電体６０側の端部と領域３０ｂの導電体６０側の端部とが一致または概略一致する構成を示しているが、本発明はこれに限られない。絶縁体２３ａ及び絶縁体２３ｂの一方又は双方は、領域３０ｃと重なる領域を有してもよい。

［０１０２］

図１Ｂに示すトランジスタ２０の変形例を図３Ａに示す。図３Ａは、トランジスタ２０のチャネ

ル長方向の断面図である。なお、図３Ａに示すトランジスタ２０のチャネル幅方向の断面の構成については、図１Ｃに示すトランジスタ２０の断面と同様の構成とすることができる。図３Ａに示すトランジスタ２０において、絶縁体２３ａ及び絶縁体２３ｂは、酸化物３０のチャネル形成領域と重なる領域を有してもよい。このとき、トランジスタ２０のチャネル長方向において、絶縁体２４の幅は、チャネル形成領域の幅よりも狭くなる。ＣＡＡＣ－ＯＳに供給された酸素は、ｃ軸に対して垂直な方向に拡散しやすい傾向がある。よって、酸化物３０としてＣＡＡＣ－ＯＳを用いる場合、当該構成にすることでソース領域及びドレイン領域に過剰な量の酸素が供給されるのを抑制できると推定される。

［０１０３］

絶縁体８２として、絶縁体８０に酸素を添加することができる絶縁体を用いることが好ましい。例えば、絶縁体８２として、酸化アルミニウムを用いることが好ましい。この場合、絶縁体８２は、少なくとも酸素と、アルミニウムと、を有する絶縁体となる。また、絶縁体８２または絶縁体８２となる絶縁膜は、スパッタリング法を用いて成膜されることが好ましく、スパッタリング法を用いて酸素を含む雰囲気で成膜されることがより好ましい。スパッタリング法を用いて酸素を含む雰囲気で絶縁体８２または絶縁体８２となる絶縁膜を成膜することで、成膜しながら、絶縁体８０に酸素を添加することができる。これにより、絶縁体８０に過剰酸素を含ませることができる。

［０１０４］

また、絶縁体８２として、アモルファス構造を有する金属酸化物を用いることが好ましい。例えば、酸化アルミニウム、または酸化マグネシウムなどの金属酸化物を用いることが好ましい。アモルファス構造を有する金属酸化物は、ダングリングボンドを有する酸素原子が存在しており、当該ダングリングボンドで水素を捕獲または固着する性質を有する場合がある。このようなアモルファス構造を有する金属酸化物をトランジスタ２０の構成要素として用いる、またはトランジスタ２０の周囲に設けることで、トランジスタ２０に含まれる水素、またはトランジスタ２０の周囲に存在する水素を捕獲または固着することができる。特にトランジスタ２０のチャネル形成領域に含まれる水素を捕獲または固着することが好ましい。アモルファス構造を有する金属酸化物をトランジスタ２０の構成要素として用いる、またはトランジスタ２０の周囲に設けることで、良好な特性を有し、信頼性の高いトランジスタ２０を作製できる。

［０１０５］

また、絶縁体８２は、アモルファス構造であることが好ましいが、一部に多結晶構造の領域が形成されていてもよい。また、絶縁体８２は、アモルファス構造の層と、多結晶構造の層と、が積層された多層構造であってもよい。例えば、アモルファス構造の層の上に多結晶構造の層が形成された積層構造でもよい。

［０１０６］

絶縁体７５は、図１Ｂに示すように、絶縁体１４の上面の一部と接する構成となっている。したがって、酸化物３０は、絶縁体７５及び絶縁体１４で封止された領域内に配置されている。ここで、絶縁体７５及び絶縁体１４は、水、および水素などの不純物が、上記封止された領域内に拡散するのを抑制するバリア絶縁膜として機能することが好ましい。したがって、絶縁体１４、及び絶縁体７５は、水素原子、水素分子、および水分子などの不純物の拡散を抑制する機能を有する（上記不純物が透過しにくい）絶縁性材料を用いることが好ましい。当該構成にすることで、上記封止された領域外に含まれる水、及び水素などの不純物が、上記封止された領域内に混入するのを抑制でき

る。したがって、水、及び水素などの不純物が、酸化物３０に混入するのを抑制できる。

［０１０７］

なお、本明細書において、バリア絶縁膜とは、バリア性を有する絶縁膜のことを指す。本明細書において、バリア性とは、対応する物質の拡散を抑制する機能（透過性が低いともいう）とする。または、対応する物質を、捕獲、および固着する（ゲッタリングともいう）機能とする。

［０１０８］

絶縁体１４、及び絶縁体７５としては、水、及び水素などの不純物の拡散を抑制する機能を有する絶縁体を用いることが好ましく、例えば、酸化アルミニウム、酸化マグネシウム、酸化ハフニウム、酸化ガリウム、ガリウム及び亜鉛を含む酸化物、Ｉｎ－Ｇａ－Ｚｎ酸化物、窒化シリコン、及び窒化酸化シリコンから選ばれるいずれか一または複数の材料を用いることができる。例えば、絶縁体１４、及び絶縁体７５として、より水素バリア性が高い窒化シリコンを用いることが好ましい。この場合、絶縁体１４、及び絶縁体７５は、少なくとも窒素と、シリコンと、を有する絶縁体となる。なお、絶縁体１４、及び絶縁体７５は、それぞれ、上述の材料を組み合わせた積層構造（２層以上の積層構造）としてもよい。

［０１０９］

絶縁体２２は、絶縁体２３ａ及び絶縁体２３ｂとなる絶縁膜をエッチングして溝を形成する際のエッチングストッパ膜として機能する絶縁体を選択することが好ましい。例えば、上記溝を形成する絶縁膜に窒化シリコンを用いる場合、絶縁体２２は酸化アルミニウム、またはＩｎ－Ｇａ－Ｚｎ酸化物などを用いるとよい。このように、上記溝を形成する絶縁膜に用いられる材料に合わせて、絶縁体２２に用いる材料を適宜選択するとよい。

［０１１０］

また、絶縁体２２は、アモルファス構造を有する金属酸化物を用いてもよい。例えば、絶縁体２２として、絶縁体８２に用いることができる金属酸化物を適用するとよい。当該構成にすることで、絶縁体２４を介して絶縁体２２に拡散した、トランジスタ２０のチャネル形成領域に含まれる水素を捕獲または固着することができる。

［０１１１］

導電体６０は、絶縁体８０などに形成されている開口を埋めるように自己整合的に形成される。導電体６０をこのように形成することにより、導電体４２ａと導電体４２ｂとの間の領域に、導電体６０を位置合わせすることなく確実に配置することができる。

［０１１２］

導電体６０は、配線としても機能するため、導電性が高い導電体を用いることが好ましい。例えば、導電体６０は、タングステン、銅、またはアルミニウムを主成分とする導電性材料を用いることができる。

［０１１３］

なお、図１Ｂおよび図１Ｃでは、導電体６０は、単層構造として示しているが、２層以上の積層構造であってもよい。

［０１１４］

導電体６０を２層の積層構造とする場合、絶縁体５０側の層は、水素原子、水素分子、水分子、窒素原子、窒素分子、酸化窒素分子、銅原子などの不純物の拡散を抑制する機能を有する導電性材料を用いることが好ましい。または、酸素（例えば、酸素原子、及び酸素分子などの少なくとも一）

の拡散を抑制する機能を有する導電性材料を用いることが好ましい。

［０１１５］

また、絶縁体５０側の層が酸素の拡散を抑制する機能を持つことにより、絶縁体５０に含まれる酸素により、絶縁体５０側の層よりも内側に配置される層が酸化して導電率が低下することを抑制できる。酸素の拡散を抑制する機能を有する導電性材料としては、例えば、チタン、窒化チタン、タンタル、窒化タンタル、ルテニウム、酸化ルテニウムなどを用いることが好ましい。

［０１１６］

また、図１Ｃに示すように、トランジスタ２０のチャネル幅方向において、絶縁体１４の底面を基準としたときの、導電体６０の、導電体６０と酸化物３０とが重ならない領域の底面の高さは、酸化物３０の底面の高さより低いことが好ましい。ゲート電極として機能する導電体６０が、絶縁体５０を介して、酸化物３０のチャネル形成領域の側面および上面を覆う構成とすることで、導電体６０の電界を酸化物３０のチャネル形成領域全体に作用させやすくなる。よって、トランジスタ２０のオン電流を増大させ、周波数特性を向上させることができる。絶縁体１４の底面を基準としたときの、酸化物３０と、導電体６０とが、重ならない領域における導電体６０の底面の高さと、酸化物３０の底面の高さと、の差は、０ｎｍ以上１００ｎｍ以下、好ましくは、３ｎｍ以上５０ｎｍ以下、より好ましくは、５ｎｍ以上２０ｎｍ以下とする。

［０１１７］

導電体４２ａおよび導電体４２ｂは、酸化物３０の上面に接して設けられる。

［０１１８］

導電体４２としては、例えば、タンタルを含む窒化物、チタンを含む窒化物、モリブデンを含む窒化物、タングステンを含む窒化物、タンタルおよびアルミニウムを含む窒化物、または、チタンおよびアルミニウムを含む窒化物の中から選ばれるいずれか一または複数を用いることが好ましい。本発明の一態様においては、タンタルを含む窒化物が特に好ましい。また、例えば、酸化ルテニウム、窒化ルテニウム、ストロンチウムとルテニウムを含む酸化物、または、ランタンとニッケルを含む酸化物などを用いてもよい。これらの材料は、酸化しにくい導電性材料、または、酸素を吸収しても導電性を維持する材料であるため、好ましい。

［０１１９］

なお、図１Ｂでは、導電体４２を単層として設ける構成について示しているが、本発明はこれに限られるものではない。例えば、導電体４２を、２層以上の積層構造として設ける構成にしてもよい。このとき、上記の材料で形成される導電層を複数積層するとよい。または、上記の材料で形成される導電層を、組成を異ならせて複数積層するとよい。なお、導電体４２を積層構造とする場合、例えば、タンタルを含む窒化物と、当該タンタルを含む窒化物上のチタンを含む窒化物と、の積層構造を好適に用いることができる。

［０１２０］

なお、酸化物３０などに含まれる水素が、導電体４２ａまたは導電体４２ｂに拡散する場合がある。特に、導電体４２ａおよび導電体４２ｂに、タンタルを含む窒化物を用いることで、酸化物３０などに含まれる水素は、導電体４２ａまたは導電体４２ｂに拡散しやすく、拡散した水素は、導電体４２ａまたは導電体４２ｂが有する窒素と結合することがある。つまり、酸化物３０などに含まれる水素は、導電体４２ａまたは導電体４２ｂに吸い取られる場合がある。

［０１２１］

また、導電体４２ａ（導電体４２ｂ）と、酸化物３０とが接した状態で加熱処理を行う場合、導電体４２ａ（導電体４２ｂ）と重畳する領域の酸化物３０は、シート抵抗が低下することがある。また、キャリア濃度が増加することがある。したがって、導電体４２ａ（導電体４２ｂ）と重畳する領域の酸化物３０を、自己整合的に低抵抗化することができる。

［０１２２］

酸化物３０上に導電体４２ａおよび導電体４２ｂを設けた状態で、酸素を含む雰囲気でマイクロ波処理を行うことが好ましい。当該マイクロ波処理を行うことで、領域３０ｃの酸素欠損、およびV_OHの低減を図ることができる。ここで、マイクロ波処理とは、例えばマイクロ波を用いて高密度プラズマを発生させる電源を有する装置を用いた処理のことを指す。また、本明細書などにおいて、マイクロ波とは、３００ＭＨｚ以上３００ＧＨｚ以下の周波数を有する電磁波を指すものとする。

［０１２３］

酸素を含む雰囲気でマイクロ波処理を行うことで、マイクロ波、またはＲＦ等の高周波を用いて酸素ガスをプラズマ化し、当該酸素プラズマを作用させることができる。このとき、マイクロ波、またはＲＦ等の高周波を領域３０ｃに照射することもできる。プラズマ、マイクロ波などの作用により、領域３０ｃのV_OHを酸素欠損と水素とに分断し、当該水素を領域３０ｃから除去し、当該酸素欠損を酸素で補填することができる。よって、領域３０ｃ中の水素濃度、酸素欠損、およびV_OHを低減し、キャリア濃度を低下させることができる。また、マイクロ波処理において、チャンバーに過剰な量の酸素が導入されないようにすることで、領域３０ａおよび領域３０ｂでキャリア濃度が過剰に低下するのを防ぐことができる。

［０１２４］

また、酸素を含む雰囲気でマイクロ波処理を行う際、マイクロ波、またはＲＦ等の高周波、酸素プラズマなどの作用は、導電体４２ａおよび導電体４２ｂに遮蔽され、領域３０ａおよび領域３０ｂには及ばない。これにより、マイクロ波処理の際に、領域３０ａおよび領域３０ｂで、V_OHの低減、および過剰な量の酸素供給が発生しないため、キャリア濃度の低下を防ぐことができる。

［０１２５］

また、絶縁体５０となる絶縁膜の成膜後に、酸素を含む雰囲気でマイクロ波処理を行うことが好ましい。このように絶縁体５０を介して、酸素を含む雰囲気でマイクロ波処理を行うことで、効率よく領域３０ｃ中へ酸素を注入することができる。

［０１２６］

また、領域３０ｃ中に注入される酸素は、酸素原子、酸素分子、酸素ラジカル（Ｏラジカルともいう、不対電子をもつ原子、分子、またはイオン）など様々な形態がある。なお、領域３０ｃ中に注入される酸素は、上述の形態のいずれか一または複数であればよく、特に酸素ラジカルであると好適である。また、絶縁体５０の膜質を向上させることができるため、トランジスタ２０の信頼性が向上する。

［０１２７］

このようにして、酸化物半導体の領域３０ｃで選択的に酸素欠損、およびV_OHを除去して、領域３０ｃをｉ型または実質的にｉ型とすることができる。さらに、ソース領域またはドレイン領域として機能する領域３０ａおよび領域３０ｂに過剰な酸素が供給されるのを抑制し、マイクロ波処理を行う前のｎ型の領域の状態を維持することができる。これにより、トランジスタ２０の電気特

性の変動を抑制し、基板面内でトランジスタ２０の電気特性がばらつくのを抑制できる。

［０１２８］

導電体１５は、酸化物３０、および導電体６０と重なるように配置する。また、導電体１５は、図１Ｂに示すように、酸化物３０の導電体４２ａおよび導電体４２ｂと重ならない領域の大きさよりも、大きく設けるとよい。また、図１Ｃに示すように、導電体１５は、酸化物３０のチャネル幅方向の端部よりも外側の領域においても、延在していることが好ましい。つまり、酸化物３０のチャネル幅方向における側面の外側において、導電体１５と、導電体６０とは、絶縁体を介して重畳していることが好ましい。当該構成を有することで、第１のゲート電極として機能する導電体６０の電界と、第２のゲート電極として機能する導電体１５の電界によって、酸化物３０のチャネル形成領域を電気的に取り囲むことができる。本明細書において、第１のゲート、および第２のゲートの電界によって、チャネル形成領域を電気的に取り囲むトランジスタの構造を、ｓｕｒｒｏｕｎｄｅｄ　ｃｈａｎｎｅｌ（Ｓ－ｃｈａｎｎｅｌ）構造とよぶ。

［０１２９］

なお、本明細書等において、Ｓ－ｃｈａｎｎｅｌ構造のトランジスタとは、一対のゲート電極の一方および他方の電界によって、チャネル形成領域を電気的に取り囲むトランジスタの構造を表す。また、本明細書等で開示するＳ－ｃｈａｎｎｅｌ構造は、Ｆｉｎ型構造およびプレーナ型構造とは異なる。Ｓ－ｃｈａｎｎｅｌ構造を採用することで、短チャネル効果に対する耐性を高める、別言すると短チャネル効果が発生し難いトランジスタとすることができる。

［０１３０］

トランジスタ２０を、ノーマリーオフとして、且つ上記のＳ－ｃｈａｎｎｅｌ構造とすることで、チャネル形成領域を電気的に取り囲むことができる。そのため、トランジスタ２０をＧＡＡ（Ｇａｔｅ　Ａｌｌ　Ａｒｏｕｎｄ）構造、またはＬＧＡＡ（Ｌａｔｅｒａｌ　Ｇａｔｅ　Ａｌｌ　Ａｒｏｕｎｄ）構造と捉えることもできる。トランジスタ２０をＳ－ｃｈａｎｎｅｌ構造、ＧＡＡ構造、またはＬＧＡＡ構造とすることで、酸化物３０とゲート絶縁体との界面または界面近傍に形成されるチャネル形成領域を、酸化物３０のバルク全体とすることができる。したがって、トランジスタに流れる電流密度を向上させることが可能となるため、トランジスタのオン電流の向上、またはトランジスタの電界効果移動度を高めることが期待できる。

［０１３１］

また、図１Ｃに示すように、導電体１５を延在させて、配線としても機能させている。ただし、これに限られることなく、導電体１５の下に、配線として機能する導電体を設ける構成にしてもよい。また、導電体１５は、必ずしも各トランジスタに一個ずつ設ける必要はない。例えば、導電体１５を複数のトランジスタで共有する構成にしてもよい。

［０１３２］

なお、図１Ｂでは、導電体１５を単層として設ける構成について示しているが、本発明はこれに限られるものではない。例えば、導電体１５を、２層以上の積層構造として設ける構成にしてもよい。

［０１３３］

導電体１５は、第２のゲート電極として機能する場合がある。その場合、導電体１５に印加する電位を、導電体６０に印加する電位と、連動させず、独立して変化させることで、トランジスタ２０のしきい値電圧（Ｖｔｈ）を制御することができる。特に、導電体１５に負の電位を印加するこ

とにより、トランジスタ２０のＶｔｈをより大きくし、オフ電流を低減することが可能となる。したがって、導電体１５に負の電位を印加したほうが、印加しない場合よりも、導電体６０に印加する電位が０Ｖのときのドレイン電流を小さくすることができる。

［０１３４］

また、導電体１５の電気抵抗率は、導電体１５に印加する電位を考慮して設計され、導電体１５の膜厚は当該電気抵抗率に合わせて設定される。

［０１３５］

なお、トランジスタ２０がノーマリーオフ特性を有する場合、またはトランジスタ２０のオフ電流が小さい場合、導電体１５を設けない構成としてもよい。導電体１５を設けない構成にすることで、トランジスタの作製工程を簡略化し、生産性の向上を図ることができる。

［０１３６］

図１Ｂでは、絶縁体８０と絶縁体５０とが接する構成について示しているが、本発明はこれに限られるものではない。例えば、絶縁体８０と絶縁体５０との間に絶縁体を設ける構成にしてもよい。

［０１３７］

図１Ｂ及び図１Ｃに示すトランジスタ２０の変形例を図３Ｂ及び図３Ｃに示す。図３Ｂ及び図３Ｃは、トランジスタ２０の断面図である。図３Ｂはトランジスタ２０のチャネル長方向の断面図であり、図３Ｃはトランジスタ２０のチャネル幅方向の断面図である。

［０１３８］

図３Ｂ及び図３Ｃに示すトランジスタ２０は、酸化物３０上に絶縁体５２を有する。また、絶縁体５０は、絶縁体５２上に設けられている。また、絶縁体５２は、絶縁体８０と絶縁体５０との間に設けられている。

［０１３９］

絶縁体５２は、絶縁体８０及び絶縁体７５に設けられた開口内に配置され、絶縁体１４の上面、絶縁体２２の側面、絶縁体２４の側面、酸化物３０の側面、酸化物３０の上面、導電体４２ａの側面、導電体４２ｂの側面、絶縁体７５の側面、及び絶縁体８０の側面のそれぞれと接する。絶縁体５０は、絶縁体５２を介して、上記開口内に配置されている。導電体６０は、絶縁体５２及び絶縁体５０を介して、上記開口を埋め込むように配置されている。導電体６０の上面は、絶縁体８０の上面、絶縁体５２の最上部、および絶縁体５０の最上部と高さが一致または概略一致するように配置される。

［０１４０］

絶縁体５２の一部は、第１のゲート絶縁体として機能する。絶縁体５２としては、酸素に対するバリア絶縁膜を用いることが好ましい。絶縁体５２としては、上述の絶縁体８２に用いることができる絶縁体を用いればよい。絶縁体５２として、例えば、アルミニウムおよびハフニウムの一方または双方の酸化物を含む絶縁体を用いるとよい。当該絶縁体として、酸化アルミニウム、酸化ハフニウム、アルミニウムおよびハフニウムを含む酸化物（ハフニウムアルミネート）、ハフニウムおよびシリコンを含む酸化物（ハフニウムシリケート）などを用いることができる。本実施の形態では、絶縁体５２として、酸化アルミニウムを用いる。この場合、絶縁体５２は、少なくとも酸素と、アルミニウムと、を有する絶縁体となる。

［０１４１］

絶縁体５２は、酸化物３０の上面および側面、絶縁体２４の側面、絶縁体２２の側面、および絶

縁体１４の上面に接して設けられる。つまり、酸化物３０および絶縁体２４の導電体６０と重なる領域は、チャネル幅方向の断面において、絶縁体５２に覆われている。これにより、熱処理などを行った際に、酸化物３０で酸素が脱離するのを、酸素に対するバリア性を有する絶縁体５２でブロックすることができる。よって、酸化物３０に酸素欠損が形成されるのを低減できる。これにより、領域３０ｃに形成される、酸素欠損、およびV_OHを低減できる。よって、トランジスタ２０の電気特性を良好にし、信頼性を向上させることができる。

［０１４２］

また、絶縁体８０、絶縁体５０、及び絶縁体２４などに過剰な量の酸素が含まれていても、当該酸素が酸化物３０に過剰に供給されるのを抑制できる。よって、領域３０ｃを介して、領域３０ａおよび領域３０ｂが過剰に酸化され、トランジスタ２０のオン電流の低下、または電界効果移動度の低下を起こすのを抑制できる。

［０１４３］

また、図３Ｂに示すように、絶縁体５２は、導電体４２、絶縁体７５、および絶縁体８０、それぞれの側面に接して設けられる。よって、導電体４２の側面が酸化され、当該側面に酸化膜が形成されるのを抑制できる。これにより、トランジスタ２０のオン電流の低下、または電界効果移動度の低下を起こすのを抑制できる。

［０１４４］

また、絶縁体５２は、絶縁体５０および導電体６０と、ともに、絶縁体８０などに形成された開口に設ける必要がある。トランジスタ２０の微細化を図るにあたって、絶縁体５２の膜厚は薄いことが好ましい。絶縁体５２の膜厚は、０．１ｎｍ以上５．０ｎｍ以下、好ましくは０．５ｎｍ以上３．０ｎｍ以下、より好ましくは１．０ｎｍ以上３．０ｎｍ以下とする。この場合、絶縁体５２は、少なくとも一部において、上記のような膜厚の領域を有していればよい。また、絶縁体５２の膜厚は絶縁体５０の膜厚より薄いことが好ましい。この場合、絶縁体５２は、少なくとも一部において、絶縁体５０より膜厚が薄い領域を有していればよい。

［０１４５］

絶縁体５２を上記のように膜厚を薄く成膜するには、原子層堆積（ＡＬＤ：Ａｔｏｍｉｃ　Ｌａｙｅｒ　Ｄｅｐｏｓｉｔｉｏｎ）法を用いて成膜することが好ましい。ＡＬＤ法は、プリカーサ及びリアクタントの反応を熱エネルギーのみで行う熱ＡＬＤ（Ｔｈｅｒｍａｌ　ＡＬＤ）法、プラズマ励起されたリアクタントを用いるＰＥＡＬＤ（Ｐｌａｓｍａ　Ｅｎｈａｎｃｅｄ　ＡＬＤ）法などがある。ＰＥＡＬＤ法では、プラズマを利用することで、より低温での成膜が可能となり好ましい場合がある。

［０１４６］

ＡＬＤ法は、一層ずつ原子を堆積することができるため、極薄の成膜が可能、アスペクト比の高い構造への成膜が可能、ピンホールなどの欠陥の少ない成膜が可能、被覆性に優れた成膜が可能、低温での成膜が可能、などの効果がある。よって、絶縁体５２を絶縁体８０などに形成された開口の側面などに被覆性良く、上記のような薄い膜厚で成膜することができる。

［０１４７］

なお、ＡＬＤ法で用いるプリカーサには炭素などを含むものがある。このため、ＡＬＤ法により設けられた膜は、他の成膜法により設けられた膜と比較して、炭素などの不純物を多く含む場合がある。なお、不純物の定量は、ＳＩＭＳ、Ｘ線光電子分光法（ＸＰＳ：Ｘ－ｒａｙ　Ｐｈｏｔｏｅ

ｌｅｃｔｒｏｎ　Ｓｐｅｃｔｒｏｓｃｏｐｙ）、またはオージェ電子分光法（ＡＥＳ：Ａｕｇｅｒ Ｅｌｅｃｔｒｏｎ　Ｓｐｅｃｔｒｏｓｃｏｐｙ）を用いて行うことができる。

［０１４８］

なお、絶縁体５２となる絶縁膜の成膜後に、上述した酸素を含む雰囲気でマイクロ波処理を行うことが好ましい。このように当該絶縁膜を介して、酸素を含む雰囲気でマイクロ波処理を行うことで、効率よく領域３０ｃ中へ酸素を注入することができる。また、絶縁体５２を導電体４２の側面、および領域３０ｃの表面と接するように配置することで、領域３０ｃへ必要量以上の酸素の注入を抑制し、導電体４２の側面の酸化を抑制できる。また、絶縁体５０となる絶縁膜の成膜時に導電体４２の側面の酸化を抑制できる。また、絶縁体５２の膜質を向上させることができるため、トランジスタ２０の信頼性が向上する。

［０１４９］

なお、絶縁体５２となる絶縁膜の成膜後にマイクロ波処理を行う場合、絶縁体５０となる絶縁膜の成膜後にマイクロ波処理を行ってもよいし、行わなくてもよい。また、絶縁体５０となる絶縁膜の成膜後にマイクロ波処理を行う場合、絶縁体５２となる絶縁膜の成膜後にマイクロ波処理を行ってもよいし、行わなくてもよい。

［０１５０］

また、絶縁体５０となる絶縁膜の成膜条件、酸素を含む雰囲気でのマイクロ波処理の条件、絶縁体８２の成膜による絶縁体８０への酸素添加量などを適宜調整することで、領域３０ｃに形成される酸素欠損およびV_OHを低減し、かつ、領域３０ａおよび領域３０ｂが過剰に酸化されるのを抑制できる場合がある。このような場合、図１Ｂに示すように、絶縁体５２を設けない構成にすることで、トランジスタの作製工程を簡略化し、生産性の向上を図ることができる。

［０１５１］

図３Ｂ及び図３Ｃでは、絶縁体５０と導電体６０とが接する構成について示しているが、本発明はこれに限られるものではない。例えば、絶縁体５０と導電体６０との間に絶縁体を設ける構成にしてもよい。

［０１５２］

図３Ｂ及び図３Ｃに示すトランジスタ２０の変形例を図３Ｄ及び図３Ｅに示す。図３Ｄ及び図３Ｅは、トランジスタ２０の断面図である。図３Ｄはトランジスタ２０のチャネル長方向の断面図であり、図３Ｅはトランジスタ２０のチャネル幅方向の断面図である。

［０１５３］

図３Ｄ及び図３Ｅに示すトランジスタ２０は、絶縁体５０上に絶縁体５４を有する。また、導電体６０は、絶縁体５４上に設けられている。また、絶縁体５２は、絶縁体５０と導電体６０との間に設けられている。

［０１５４］

絶縁体５４は、絶縁体８０及び絶縁体７５に設けられた開口内に配置され、絶縁体５０、及び導電体６０と接する。絶縁体５４は、絶縁体５０及び絶縁体５２を介して、上記開口内に配置されている。導電体６０は、絶縁体５４、絶縁体５０、及び絶縁体５２を介して、上記開口を埋め込むように配置されている。導電体６０の上面は、絶縁体８０の上面、絶縁体５２の最上部、絶縁体５０の最上部、及び絶縁体５４の最上部と高さが一致または概略一致するように配置される。

［０１５５］

絶縁体５４の一部は、第１のゲート絶縁体として機能する。絶縁体５４としては、水素および水分子に対するバリア絶縁膜を用いることが好ましい。これにより、導電体６０に含まれる水素などの不純物が、絶縁体５０、および酸化物３０に拡散するのを防ぐことができる。絶縁体５４としては、上述の絶縁体１４に用いることができる絶縁体を用いればよい。例えば、絶縁体５４としてＰＥＡＬＤ法で成膜した窒化シリコンを用いればよい。この場合、絶縁体５４は、少なくとも窒素と、シリコンと、を有する絶縁体となる。

［０１５６］

また、絶縁体５４が、さらに酸素に対するバリア性を有してもよい。これにより、絶縁体５０に含まれる酸素が、導電体６０へ拡散するのを抑制できる。

［０１５７］

また、絶縁体５４は、絶縁体５２、絶縁体５０、および導電体６０と、ともに、絶縁体８０などに形成された開口に設ける必要がある。トランジスタ２０の微細化を図るにあたって、絶縁体５４の膜厚は薄いことが好ましい。絶縁体５４の膜厚は、０．１ｎｍ以上５．０ｎｍ以下、好ましくは０．５ｎｍ以上３．０ｎｍ以下、より好ましくは１．０ｎｍ以上３．０ｎｍ以下とする。この場合、絶縁体５４は、少なくとも一部において、上記のような膜厚の領域を有していればよい。また、絶縁体５４の膜厚は絶縁体５０の膜厚より薄いことが好ましい。この場合、絶縁体５４は、少なくとも一部において、絶縁体５０より膜厚が薄い領域を有していればよい。

［０１５８］

＜構成材料＞

以下では、本発明の一態様のトランジスタ及び半導体装置に用いることができる構成材料について説明する。

［０１５９］

＜＜基板＞＞

トランジスタ２０を形成する基板としては、例えば、絶縁体基板、半導体基板、または導電体基板を用いればよい。絶縁体基板としては、例えば、ガラス基板、石英基板、サファイア基板、安定化ジルコニア基板（イットリア安定化ジルコニア基板など）、樹脂基板などがある。また、半導体基板としては、例えば、シリコン、ゲルマニウムを材料とした半導体基板、または炭化シリコン、シリコンゲルマニウム、ヒ化ガリウム、リン化インジウム、酸化亜鉛、酸化ガリウムからなる化合物半導体基板などがある。さらには、前述の半導体基板内部に絶縁体領域を有する半導体基板、例えば、ＳＯＩ（Ｓｉｌｉｃｏｎ　Ｏｎ　Ｉｎｓｕｌａｔｏｒ）基板などがある。導電体基板としては、黒鉛基板、金属基板、合金基板、導電性樹脂基板などがある。または、金属の窒化物を有する基板、金属の酸化物を有する基板などがある。さらには、絶縁体基板に導電体または半導体が設けられた基板、半導体基板に導電体または絶縁体が設けられた基板、導電体基板に半導体または絶縁体が設けられた基板などがある。または、これらの基板に素子が設けられたものを用いてもよい。基板に設けられる素子としては、容量素子、抵抗素子、スイッチ素子、発光素子、記憶素子などがある。

［０１６０］

＜＜絶縁体＞＞

絶縁体としては、絶縁性を有する酸化物、窒化物、酸化窒化物、窒化酸化物、金属酸化物、金属酸化窒化物、金属窒化酸化物などがある。

［０１６１］

例えば、トランジスタの微細化、および高集積化が進むと、ゲート絶縁体の薄膜化により、リーク電流などの問題が生じる場合がある。ゲート絶縁体として機能する絶縁体に、ｈｉｇｈ－ｋ材料を用いることで物理膜厚を保ちながら、トランジスタ動作時の低電圧化が可能となる。一方、層間膜として機能する絶縁体には、比誘電率が低い材料を用いることで、配線間に生じる寄生容量を低減できる。したがって、絶縁体の機能に応じて、材料を選択するとよい。

［０１６２］

また、比誘電率の高い絶縁体としては、酸化ガリウム、酸化ハフニウム、酸化ジルコニウム、アルミニウムおよびハフニウムを有する酸化物、アルミニウムおよびハフニウムを有する酸化窒化物、シリコンおよびハフニウムを有する酸化物、シリコンおよびハフニウムを有する酸化窒化物、またはシリコンおよびハフニウムを有する窒化物などがある。

［０１６３］

また、比誘電率が低い絶縁体としては、酸化シリコン、酸化窒化シリコン、窒化酸化シリコン、窒化シリコン、フッ素を添加した酸化シリコン、炭素を添加した酸化シリコン、炭素および窒素を添加した酸化シリコン、空孔を有する酸化シリコン、または樹脂などがある。

［０１６４］

また、金属酸化物を用いたトランジスタは、水素などの不純物および酸素の透過を抑制する機能を有する絶縁体で囲うことによって、トランジスタの電気特性を安定にすることができる。水素などの不純物および酸素の透過を抑制する機能を有する絶縁体としては、例えば、ホウ素、炭素、窒素、酸素、フッ素、マグネシウム、アルミニウム、シリコン、リン、塩素、アルゴン、ガリウム、ゲルマニウム、イットリウム、ジルコニウム、ランタン、ネオジム、ハフニウム、またはタンタルを含む絶縁体を、単層で、または積層で用いればよい。具体的には、水素などの不純物および酸素の透過を抑制する機能を有する絶縁体として、酸化アルミニウム、酸化マグネシウム、酸化ガリウム、酸化ゲルマニウム、酸化イットリウム、酸化ジルコニウム、酸化ランタン、酸化ネオジム、酸化ハフニウム、酸化タンタルなどの金属酸化物、窒化アルミニウム、窒化酸化シリコン、窒化シリコンなどの金属窒化物を用いることができる。

［０１６５］

また、ゲート絶縁体として機能する絶縁体は、加熱により脱離する酸素を含む領域を有する絶縁体であることが好ましい。例えば、加熱により脱離する酸素を含む領域を有する酸化シリコンまたは酸化窒化シリコンを酸化物３０と接する構造とすることで、酸化物３０が有する酸素欠損を補償することができる。

［０１６６］

＜＜導電体＞＞

導電体としては、アルミニウム、クロム、銅、銀、金、白金、タンタル、ニッケル、チタン、モリブデン、タングステン、ハフニウム、バナジウム、ニオブ、マンガン、マグネシウム、ジルコニウム、ベリリウム、インジウム、ルテニウム、イリジウム、ストロンチウム、ランタンなどから選ばれた金属元素、または上述した金属元素を成分とする合金か、上述した金属元素を組み合わせた合金等を用いることが好ましい。例えば、窒化タンタル、窒化チタン、タングステン、チタンとアルミニウムを含む窒化物、タンタルとアルミニウムを含む窒化物、酸化ルテニウム、窒化ルテニウム、ストロンチウムとルテニウムを含む酸化物、ランタンとニッケルを含む酸化物などを用いるこ

とが好ましい。また、窒化タンタル、窒化チタン、チタンとアルミニウムを含む窒化物、タンタルとアルミニウムを含む窒化物、酸化ルテニウム、窒化ルテニウム、ストロンチウムとルテニウムを含む酸化物、ランタンとニッケルを含む酸化物は、酸化しにくい導電性材料、または、酸素を吸収しても導電性を維持する材料であるため、好ましい。また、リン等の不純物元素を含有させた多結晶シリコンに代表される、電気伝導度が高い半導体、ニッケルシリサイドなどのシリサイドを用いてもよい。

［０１６７］

また、上記の材料で形成される導電層を複数積層して用いてもよい。例えば、前述した金属元素を含む材料と、酸素を含む導電性材料と、を組み合わせた積層構造としてもよい。また、前述した金属元素を含む材料と、窒素を含む導電性材料と、を組み合わせた積層構造としてもよい。また、前述した金属元素を含む材料と、酸素を含む導電性材料と、窒素を含む導電性材料と、を組み合わせた積層構造としてもよい。

［０１６８］

なお、トランジスタのチャネル形成領域に酸化物を用いる場合において、ゲート電極として機能する導電体には、前述した金属元素を含む材料と、酸素を含む導電性材料と、を組み合わせた積層構造を用いることが好ましい。この場合は、酸素を含む導電性材料をチャネル形成領域側に設けるとよい。酸素を含む導電性材料をチャネル形成領域側に設けることで、当該導電性材料から離脱した酸素がチャネル形成領域に供給されやすくなる。

［０１６９］

特に、ゲート電極として機能する導電体として、チャネルが形成される金属酸化物に含まれる金属元素および酸素を含む導電性材料を用いることが好ましい。また、前述した金属元素および窒素を含む導電性材料を用いてもよい。例えば、窒化チタン、窒化タンタルなどの窒素を含む導電性材料を用いてもよい。また、インジウム錫酸化物、酸化タングステンを含むインジウム酸化物、酸化タングステンを含むインジウム亜鉛酸化物、酸化チタンを含むインジウム酸化物、酸化チタンを含むインジウム錫酸化物、インジウム亜鉛酸化物、シリコンを添加したインジウム錫酸化物を用いてもよい。また、窒素を含むインジウムガリウム亜鉛酸化物を用いてもよい。このような材料を用いることで、チャネルが形成される金属酸化物に含まれる水素を捕獲することができる場合がある。または、外方の絶縁体などから混入する水素を捕獲することができる場合がある。

［０１７０］

＜＜金属酸化物＞＞

酸化物３０として、半導体として機能する金属酸化物（酸化物半導体）を用いることが好ましい。以下では、本発明に係る酸化物３０に適用可能な金属酸化物について説明する。

［０１７１］

金属酸化物は、少なくともインジウムまたは亜鉛を含むことが好ましい。特に、インジウムおよび亜鉛を含むことが好ましい。また、それらに加えて、アルミニウム、ガリウム、イットリウム、錫などが含まれていることが好ましい。また、ホウ素、チタン、鉄、ニッケル、ゲルマニウム、ジルコニウム、モリブデン、ランタン、セリウム、ネオジム、ハフニウム、タンタル、タングステン、マグネシウム、コバルトなどから選ばれた一種、または複数種が含まれていてもよい。

［０１７２］

ここでは、金属酸化物が、インジウム、元素Mおよび亜鉛を有するＩｎ－Ｍ－Ｚｎ酸化物である

場合を考える。なお、元素Mは、アルミニウム、ガリウム、イットリウム、または錫とする。そのほかの元素Mに適用可能な元素としては、ホウ素、チタン、鉄、ニッケル、ゲルマニウム、ジルコニウム、モリブデン、ランタン、セリウム、ネオジム、ハフニウム、タンタル、タングステン、マグネシウム、コバルトなどがある。ただし、元素Mとして、前述の元素を複数組み合わせても構わない場合がある。特に、元素Mは、ガリウム、アルミニウム、イットリウム、及び錫から選ばれた一種または複数種であることが好ましい。

［０１７３］

特に、トランジスタの半導体層として、インジウム（Ｉｎ）、ガリウム（Ｇａ）、及び亜鉛（Ｚｎ）を含む酸化物（ＩＧＺＯとも記す）を用いることが好ましい。又は、トランジスタの半導体層としては、インジウム（Ｉｎ）、アルミニウム（Ａｌ）、及び亜鉛（Ｚｎ）を含む酸化物（ＩＡＺＯとも記す）を用いてもよい。又は、トランジスタの半導体層としては、インジウム（Ｉｎ）、アルミニウム（Ａｌ）、ガリウム（Ｇａ）、及び亜鉛（Ｚｎ）を含む酸化物（ＩＡＧＺＯ）を用いてもよい。

［０１７４］

なお、本明細書等において、窒素を有する金属酸化物も金属酸化物（ｍｅｔａｌ　ｏｘｉｄｅ）と総称する場合がある。また、窒素を有する金属酸化物を、金属酸窒化物（ｍｅｔａｌ　ｏｘｙｎｉｔｒｉｄｅ）と呼称してもよい。

［０１７５］

以降では、金属酸化物の一例として、インジウム（Ｉｎ）、ガリウム（Ｇａ）、及び亜鉛（Ｚｎ）を含む酸化物について説明する。なお、インジウム（Ｉｎ）、ガリウム（Ｇａ）、及び亜鉛（Ｚｎ）を含む酸化物を、Ｉｎ－Ｇａ－Ｚｎ酸化物と呼ぶ場合がある。

［０１７６］

＜結晶構造の分類＞

酸化物半導体の結晶構造としては、アモルファス（ｃｏｍｐｌｅｔｅｌｙ　ａｍｏｒｐｈｏｕｓを含む）、ＣＡＡＣ（ｃ－ａｘｉｓ－ａｌｉｇｎｅｄ　ｃｒｙｓｔａｌｌｉｎｅ）、ｎｃ（ｎａｎｏｃｒｙｓｔａｌｌｉｎｅ）、ＣＡＣ（ｃｌｏｕｄ－ａｌｉｇｎｅｄ　ｃｏｍｐｏｓｉｔｅ）、単結晶（ｓｉｎｇｌｅ　ｃｒｙｓｔａｌ）、および多結晶（ｐｏｌｙ　ｃｒｙｓｔａｌ）等が挙げられる。

［０１７７］

なお、膜または基板の結晶構造は、Ｘ線回折（ＸＲＤ：Ｘ－Ｒａｙ　Ｄｉｆｆｒａｃｔｉｏｎ）スペクトルを用いて評価することができる。例えば、ＧＩＸＤ（Ｇｒａｚｉｎｇ－Ｉｎｃｉｄｅｎｃｅ　ＸＲＤ）測定で得られるＸＲＤスペクトルを用いて評価することができる。なお、ＧＩＸＤ法は、薄膜法またはＳｅｅｍａｎｎ－Ｂｏｈｌｉｎ法ともいう。また、以下では、ＧＩＸＤ測定で得られるＸＲＤスペクトルを、単に、ＸＲＤスペクトルと記す場合がある。

［０１７８］

例えば、石英ガラス基板では、ＸＲＤスペクトルのピークの形状がほぼ左右対称である。一方で、結晶構造を有するＩｎ－Ｇａ－Ｚｎ酸化物膜では、ＸＲＤスペクトルのピークの形状が左右非対称である。ＸＲＤスペクトルのピークの形状が左右非対称であることは、膜中または基板中の結晶の存在を明示している。別言すると、ＸＲＤスペクトルのピークの形状で左右対称でないと、膜または基板は非晶質状態であるとは言えない。

［０１７９］

また、膜または基板の結晶構造は、極微電子線回折法（ＮＢＥＤ：Ｎａｎｏ　Ｂｅａｍ　Ｅｌｅｃｔｒｏｎ　Ｄｉｆｆｒａｃｔｉｏｎ）によって観察される回折パターン（極微電子線回折パターンともいう）にて評価することができる。例えば、石英ガラス基板の回折パターンでは、ハローが観察され、石英ガラスは、非晶質状態であることが確認できる。また、室温成膜したＩｎ－Ｇａ－Ｚｎ酸化物膜の回折パターンでは、ハローではなく、スポット状のパターンが観察される。このため、室温成膜したＩｎ－Ｇａ－Ｚｎ酸化物は、単結晶または多結晶でもなく、非晶質状態でもない、中間状態であり、非晶質状態であると結論することはできないと推定される。

［０１８０］

＜＜酸化物半導体の構造＞＞

なお、酸化物半導体は、構造に着目した場合、上記とは異なる分類となる場合がある。例えば、酸化物半導体は、単結晶酸化物半導体と、それ以外の非単結晶酸化物半導体と、に分けられる。非単結晶酸化物半導体としては、例えば、上述のＣＡＡＣ－ＯＳ、及びｎｃ－ＯＳがある。また、非単結晶酸化物半導体には、多結晶酸化物半導体、擬似非晶質酸化物半導体（ａ－ｌｉｋｅ　ＯＳ：ａｍｏｒｐｈｏｕｓ－ｌｉｋｅ　ｏｘｉｄｅ　ｓｅｍｉｃｏｎｄｕｃｔｏｒ）、非晶質酸化物半導体、などが含まれる。

［０１８１］

ここで、上述のＣＡＡＣ－ＯＳ、ｎｃ－ＯＳ、及びａ－ｌｉｋｅ　ＯＳの詳細について、説明を行う。

［０１８２］

［ＣＡＡＣ－ＯＳ］

ＣＡＡＣ－ＯＳは、複数の結晶領域を有し、当該複数の結晶領域はｃ軸が特定の方向に配向している酸化物半導体である。なお、特定の方向とは、ＣＡＡＣ－ＯＳ膜の厚さ方向、ＣＡＡＣ－ＯＳ膜の被形成面の法線方向、またはＣＡＡＣ－ＯＳ膜の表面の法線方向である。また、結晶領域とは、原子配列に周期性を有する領域である。なお、原子配列を格子配列とみなすと、結晶領域とは、格子配列の揃った領域でもある。さらに、ＣＡＡＣ－ＯＳは、ａ－ｂ面方向において複数の結晶領域が連結する領域を有し、当該領域は歪みを有する場合がある。なお、歪みとは、複数の結晶領域が連結する領域において、格子配列の揃った領域と、別の格子配列の揃った領域と、の間で格子配列の向きが変化している箇所を指す。つまり、ＣＡＡＣ－ＯＳは、ｃ軸配向し、ａ－ｂ面方向には明らかな配向をしていない酸化物半導体である。

［０１８３］

なお、上記複数の結晶領域のそれぞれは、１つまたは複数の微小な結晶（最大径が１０ｎｍ未満である結晶）で構成される。結晶領域が１つの微小な結晶で構成されている場合、当該結晶領域の最大径は１０ｎｍ未満となる。また、結晶領域が多数の微小な結晶で構成されている場合、当該結晶領域の最大径は、数十ｎｍ程度となる場合がある。

［０１８４］

また、Ｉｎ－Ｇａ－Ｚｎ酸化物において、ＣＡＡＣ－ＯＳは、インジウム（Ｉｎ）、及び酸素を有する層（以下、Ｉｎ層）と、ガリウム（Ｇａ）、亜鉛（Ｚｎ）、及び酸素を有する層（以下、（Ｇａ，Ｚｎ）層）とが積層した、層状の結晶構造（層状構造ともいう）を有する傾向がある。なお、インジウムとガリウムは、互いに置換可能である。よって、（Ｇａ，Ｚｎ）層にはインジウム

が含まれる場合がある。また、Ｉｎ層にはガリウムが含まれる場合がある。なお、Ｉｎ層には亜鉛が含まれる場合もある。当該層状構造は、例えば、高分解能ＴＥＭ像において、格子像として観察される。

［０１８５］

ＣＡＡＣ－ＯＳ膜に対し、例えば、ＸＲＤ装置を用いて構造解析を行うと、θ／２θ スキャンを用いたＯｕｔ－ｏｆ－ｐｌａｎｅ　ＸＲＤ測定では、ｃ軸配向を示すピークが２θ＝３１°またはその近傍に検出される。なお、ｃ軸配向を示すピークの位置（２θ の値）は、ＣＡＡＣ－ＯＳを構成する金属元素の種類、組成などにより変動する場合がある。

［０１８６］

また、例えば、ＣＡＡＣ－ＯＳ膜の電子線回折パターンにおいて、複数の輝点（スポット）が観測される。なお、あるスポットと別のスポットとは、試料を透過した入射電子線のスポット（ダイレクトスポットともいう）を対称中心として、点対称の位置に観測される。

［０１８７］

上記特定の方向から結晶領域を観察した場合、当該結晶領域内の格子配列は、六方格子を基本とするが、単位格子は正六角形とは限らず、非正六角形である場合がある。また、上記歪みにおいて、五角形、七角形などの格子配列を有する場合がある。なお、ＣＡＡＣ－ＯＳにおいて、歪み近傍においても、明確な結晶粒界（グレインバウンダリー）を確認することはできない。即ち、格子配列の歪みによって、結晶粒界の形成が抑制されていることがわかる。これは、ＣＡＡＣ－ＯＳが、ａ－ｂ面方向において酸素原子の配列が稠密でないこと、金属原子が置換することで原子間の結合距離が変化することなどによって、歪みを許容することができるためと考えられる。

［０１８８］

なお、明確な結晶粒界が確認される結晶構造は、いわゆる多結晶と呼ばれる。結晶粒界は、再結合中心となり、キャリアが捕獲されトランジスタのオン電流の低下、電界効果移動度の低下などを引き起こす可能性が高い。よって、明確な結晶粒界が確認されないＣＡＡＣ－ＯＳは、トランジスタの半導体層に好適な結晶構造を有する結晶性の酸化物の一つである。なお、ＣＡＡＣ－ＯＳを構成するには、Ｚｎを有する構成が好ましい。例えば、Ｉｎ－Ｚｎ酸化物、及びＩｎ－Ｇａ－Ｚｎ酸化物は、Ｉｎ酸化物よりも結晶粒界の発生を抑制できるため好適である。

［０１８９］

ＣＡＡＣ－ＯＳは、結晶性が高く、明確な結晶粒界が確認されない酸化物半導体である。よって、ＣＡＡＣ－ＯＳは、結晶粒界に起因する電子移動度の低下が起こりにくいといえる。また、酸化物半導体の結晶性は不純物の混入、欠陥の生成などによって低下する場合があるため、ＣＡＡＣ－ＯＳは不純物および欠陥（酸素欠損など）の少ない酸化物半導体ともいえる。従って、ＣＡＡＣ－ＯＳを有する酸化物半導体は、物理的性質が安定する。そのため、ＣＡＡＣ－ＯＳを有する酸化物半導体は熱に強く、信頼性が高い。また、ＣＡＡＣ－ＯＳは、製造工程における高い温度（所謂サーマルバジェット）に対しても安定である。したがって、チャネル形成領域に金属酸化物を有するトランジスタ（ＯＳトランジスタと呼ぶ場合がある）にＣＡＡＣ－ＯＳを用いると、製造工程の自由度を広げることが可能となる。

［０１９０］

［ｎｃ－ＯＳ］

ｎｃ－ＯＳは、微小な領域（例えば、１ｎｍ以上１０ｎｍ以下の領域、特に１ｎｍ以上３ｎｍ以

下の領域）において原子配列に周期性を有する。別言すると、ｎｃ－ＯＳは、微小な結晶を有する。なお、当該微小な結晶の大きさは、例えば、１ｎｍ以上１０ｎｍ以下、特に１ｎｍ以上３ｎｍ以下であることから、当該微小な結晶をナノ結晶ともいう。また、ｎｃ－ＯＳは、異なるナノ結晶間で結晶方位に規則性が見られない。そのため、膜全体で配向性が見られない。したがって、ｎｃ－ＯＳは、分析方法によっては、ａ－ｌｉｋｅ　ＯＳまたは非晶質酸化物半導体と区別が付かない場合がある。例えば、ｎｃ－ＯＳ膜に対し、ＸＲＤ装置を用いて構造解析を行うと、θ／２θ　スキャンを用いたＯｕｔ－ｏｆ－ｐｌａｎｅ　ＸＲＤ測定では、結晶性を示すピークが検出されない。また、ｎｃ－ＯＳ膜に対し、ナノ結晶よりも大きいプローブ径（例えば５０ｎｍ以上）の電子線を用いる電子線回折（制限視野電子線回折ともいう）を行うと、ハローパターンのような回折パターンが観測される。一方、ｎｃ－ＯＳ膜に対し、ナノ結晶の大きさと近いかナノ結晶より小さいプローブ径（例えば１ｎｍ以上３０ｎｍ以下）の電子線を用いる電子線回折（ナノビーム電子線回折ともいう）を行うと、ダイレクトスポットを中心とするリング状の領域内に複数のスポットが観測される電子線回折パターンが取得される場合がある。

［０１９１］

［ａ－ｌｉｋｅ　ＯＳ］

ａ－ｌｉｋｅ　ＯＳは、ｎｃ－ＯＳと非晶質酸化物半導体との間の構造を有する酸化物半導体である。ａ－ｌｉｋｅ　ＯＳは、鬆又は低密度領域を有する。即ち、ａ－ｌｉｋｅ　ＯＳは、ｎｃ－ＯＳ及びＣＡＡＣ－ＯＳと比べて、結晶性が低い。また、ａ－ｌｉｋｅ　ＯＳは、ｎｃ－ＯＳ及びＣＡＡＣ－ＯＳと比べて、膜中の水素濃度が高い。

［０１９２］

＜＜酸化物半導体の構成＞＞

次に、上述のＣＡＣ－ＯＳの詳細について、説明を行う。なお、ＣＡＣ－ＯＳは材料構成に関する。

［０１９３］

［ＣＡＣ－ＯＳ］

ＣＡＣ－ＯＳとは、例えば、金属酸化物を構成する元素が、０．５ｎｍ以上１０ｎｍ以下、好ましくは、１ｎｍ以上３ｎｍ以下、またはその近傍のサイズで偏在した材料の一構成である。なお、以下では、金属酸化物において、一つまたは複数の金属元素が偏在し、該金属元素を有する領域が、０．５ｎｍ以上１０ｎｍ以下、好ましくは、１ｎｍ以上３ｎｍ以下、またはその近傍のサイズで混合した状態をモザイク状、またはパッチ状ともいう。

［０１９４］

さらに、ＣＡＣ－ＯＳとは、第１の領域と、第２の領域と、に材料が分離することでモザイク状となり、当該第１の領域が、膜中に分布した構成（以下、クラウド状ともいう）である。つまり、ＣＡＣ－ＯＳは、当該第１の領域と、当該第２の領域とが、混合している構成を有する複合金属酸化物である。

［０１９５］

ここで、Ｉｎ－Ｇａ－Ｚｎ酸化物におけるＣＡＣ－ＯＳを構成する金属元素に対するＩｎ、Ｇａ、およびＺｎの原子数比のそれぞれを、［Ｉｎ］、［Ｇａ］、および［Ｚｎ］と表記する。例えば、Ｉｎ－Ｇａ－Ｚｎ酸化物におけるＣＡＣ－ＯＳにおいて、第１の領域は、［Ｉｎ］が、ＣＡＣ－ＯＳ膜の組成における［Ｉｎ］よりも大きい領域である。また、第２の領域は、［Ｇａ］が、ＣＡＣ

－ＯＳ膜の組成における［Ｇａ］よりも大きい領域である。または、例えば、第１の領域は、［Ｉｎ］が、第２の領域における［Ｉｎ］よりも大きく、且つ、［Ｇａ］が、第２の領域における［Ｇａ］よりも小さい領域である。また、第２の領域は、［Ｇａ］が、第１の領域における［Ｇａ］よりも大きく、且つ、［Ｉｎ］が、第１の領域における［Ｉｎ］よりも小さい領域である。

［０１９６］

具体的には、上記第１の領域は、インジウム酸化物、インジウム亜鉛酸化物などが主成分である領域である。また、上記第２の領域は、ガリウム酸化物、ガリウム亜鉛酸化物などが主成分である領域である。つまり、上記第１の領域を、Ｉｎを主成分とする領域と言い換えることができる。また、上記第２の領域を、Ｇａを主成分とする領域と言い換えることができる。

［０１９７］

なお、上記第１の領域と、上記第２の領域とは、明確な境界が観察できない場合がある。

［０１９８］

また、Ｉｎ－Ｇａ－Ｚｎ酸化物におけるＣＡＣ－ＯＳとは、Ｉｎ、Ｇａ、Ｚｎ、およびＯを含む材料構成において、一部にＧａを主成分とする領域と、一部にＩｎを主成分とする領域とが、それぞれモザイク状であり、これらの領域がランダムに存在している構成をいう。よって、ＣＡＣ－ＯＳは、金属元素が不均一に分布した構造を有していると推測される。

［０１９９］

ＣＡＣ－ＯＳは、例えば基板を加熱しない条件で、スパッタリング法により形成することができる。また、ＣＡＣ－ＯＳをスパッタリング法で形成する場合、成膜ガスとして、不活性ガス（代表的にはアルゴン）、酸素ガス、および窒素ガスの中から選ばれたいずれか一つまたは複数を用いればよい。また、成膜時の成膜ガスの総流量に対する酸素ガスの流量比は低いほど好ましい。例えば、成膜時の成膜ガスの総流量に対する酸素ガスの流量比を０％以上３０％未満、好ましくは０％以上１０％以下とする。

［０２００］

また、例えば、Ｉｎ－Ｇａ－Ｚｎ酸化物におけるＣＡＣ－ＯＳでは、エネルギー分散型Ｘ線分光法（ＥＤＸ：Ｅｎｅｒｇｙ　Ｄｉｓｐｅｒｓｉｖｅ　Ｘ－ｒａｙ　ｓｐｅｃｔｒｏｓｃｏｐｙ）を用いて取得したＥＤＸマッピングにより、Ｉｎを主成分とする領域（第１の領域）と、Ｇａを主成分とする領域（第２の領域）とが、偏在し、混合している構造を有することが確認できる。

［０２０１］

ここで、第１の領域は、第２の領域と比較して、導電性が高い領域である。つまり、第１の領域を、キャリアが流れることにより、金属酸化物としての導電性が発現する。従って、第１の領域が、金属酸化物中にクラウド状に分布することで、高い電界効果移動度（μ）が実現できる。

［０２０２］

一方、第２の領域は、第１の領域と比較して、絶縁性が高い領域である。つまり、第２の領域が、金属酸化物中に分布することで、リーク電流を抑制できる。

［０２０３］

したがって、ＣＡＣ－ＯＳをトランジスタに用いる場合、第１の領域に起因する導電性と、第２の領域に起因する絶縁性とが、相補的に作用することにより、スイッチングさせる機能（Ｏｎ／Ｏｆｆさせる機能）をＣＡＣ－ＯＳに付与することができる。つまり、ＣＡＣ－ＯＳとは、材料の一部では導電性の機能と、材料の一部では絶縁性の機能とを有し、材料の全体では半導体としての機

能を有する。導電性の機能と絶縁性の機能とを分離させることで、双方の機能を最大限に高めることができる。よって、ＣＡＣ－ＯＳをトランジスタに用いることで、高いオン電流（I_{on}）、高い電界効果移動度（μ）、および良好なスイッチング動作を実現できる。

［０２０４］

また、ＣＡＣ－ＯＳを用いたトランジスタは、信頼性が高い。従って、ＣＡＣ－ＯＳは、表示装置をはじめとするさまざまな半導体装置に最適である。

［０２０５］

酸化物半導体は、多様な構造をとり、それぞれが異なる特性を有する。本発明の一態様の酸化物半導体は、非晶質酸化物半導体、多結晶酸化物半導体、ａ－ｌｉｋｅ　ＯＳ、ＣＡＣ－ＯＳ、ｎｃ－ＯＳ、ＣＡＡＣ－ＯＳのうち、二種以上を有していてもよい。

［０２０６］

＜酸化物半導体を有するトランジスタ＞

続いて、上記酸化物半導体をトランジスタに用いる場合について説明する。

［０２０７］

上記酸化物半導体をトランジスタに用いることで、高い電界効果移動度のトランジスタを実現できる。また、信頼性の高いトランジスタを実現できる。

［０２０８］

トランジスタには、キャリア濃度の低い酸化物半導体を用いることが好ましい。例えば、酸化物半導体のキャリア濃度は1×10^{17}ｃｍ$^{-3}$以下、好ましくは1×10^{15}ｃｍ$^{-3}$以下、さらに好ましくは1×10^{13}ｃｍ$^{-3}$以下、より好ましくは1×10^{11}ｃｍ$^{-3}$以下、さらに好ましくは1×10^{10}ｃｍ$^{-3}$未満であり、1×10^{-9}ｃｍ$^{-3}$以上である。なお、酸化物半導体膜のキャリア濃度を低くする場合においては、酸化物半導体膜中の不純物濃度を低くし、欠陥準位密度を低くすればよい。本明細書等において、不純物濃度が低く、欠陥準位密度の低いことを高純度真性又は実質的に高純度真性と言う。なお、キャリア濃度の低い酸化物半導体を、高純度真性又は実質的に高純度真性な酸化物半導体と呼ぶ場合がある。

［０２０９］

また、高純度真性又は実質的に高純度真性である酸化物半導体膜は、欠陥準位密度が低いため、トラップ準位密度も低くなる場合がある。

［０２１０］

また、酸化物半導体のトラップ準位に捕獲された電荷は、消失するまでに要する時間が長く、あたかも固定電荷のように振る舞うことがある。そのため、トラップ準位密度の高い酸化物半導体にチャネル形成領域が形成されるトランジスタは、電気特性が不安定となる場合がある。

［０２１１］

従って、トランジスタの電気特性を安定にするためには、酸化物半導体中の不純物濃度を低減することが有効である。また、酸化物半導体中の不純物濃度を低減するためには、近接する膜中の不純物濃度も低減することが好ましい。不純物としては、水素、窒素、アルカリ金属、アルカリ土類金属、鉄、ニッケル、シリコン等がある。なお、酸化物半導体中の不純物とは、例えば、酸化物半導体を構成する主成分以外をいう。例えば、濃度が０．１原子％未満の元素は不純物と言える。

［０２１２］

＜不純物＞

ここで、酸化物半導体中における各不純物の影響について説明する。

［０２１３］

酸化物半導体において、第１４族元素の一つであるシリコンまたは炭素が含まれると、酸化物半導体において欠陥準位が形成される。このため、酸化物半導体中のシリコンまたは炭素の濃度（ＳＩＭＳにより得られる濃度）を、2×10^{18}ａｔｏｍｓ／ｃｍ^{3}以下、好ましくは2×10^{17}ａｔｏｍｓ／ｃｍ^{3}以下とする。

［０２１４］

また、酸化物半導体にアルカリ金属又はアルカリ土類金属が含まれると、欠陥準位を形成し、キャリアを生成する場合がある。従って、アルカリ金属又はアルカリ土類金属が含まれている酸化物半導体を用いたトランジスタはノーマリーオン特性となりやすい。このため、ＳＩＭＳにより得られる酸化物半導体中のアルカリ金属又はアルカリ土類金属の濃度を、1×10^{18}ａｔｏｍｓ／ｃｍ^{3}以下、好ましくは2×10^{16}ａｔｏｍｓ／ｃｍ^{3}以下にする。

［０２１５］

また、酸化物半導体において、窒素が含まれると、キャリアである電子が生じ、キャリア濃度が増加し、ｎ型化しやすい。この結果、窒素が含まれている酸化物半導体を半導体に用いたトランジスタはノーマリーオン特性となりやすい。または、酸化物半導体において、窒素が含まれると、トラップ準位が形成される場合がある。この結果、トランジスタの電気特性が不安定となる場合がある。このため、ＳＩＭＳにより得られる酸化物半導体中の窒素濃度を、5×10^{19}ａｔｏｍｓ／ｃｍ^{3}未満、好ましくは5×10^{18}ａｔｏｍｓ／ｃｍ^{3}以下、より好ましくは1×10^{18}ａｔｏｍｓ／ｃｍ^{3}以下、さらに好ましくは5×10^{17}ａｔｏｍｓ／ｃｍ^{3}以下にする。

［０２１６］

また、酸化物半導体に含まれる水素は、金属原子と結合する酸素と反応して水になるため、酸素欠損を形成する場合がある。該酸素欠損に水素が入ることで、キャリアである電子が生成される場合がある。また、水素の一部が金属原子と結合する酸素と結合して、キャリアである電子を生成することがある。従って、水素が含まれている酸化物半導体を用いたトランジスタはノーマリーオン特性となりやすい。このため、酸化物半導体中の水素はできる限り低減されていることが好ましい。具体的には、ＳＩＭＳにより得られる酸化物半導体中の水素濃度を、1×10^{20}ａｔｏｍｓ／ｃｍ^{3}未満、好ましくは1×10^{19}ａｔｏｍｓ／ｃｍ^{3}未満、より好ましくは5×10^{18}ａｔｏｍｓ／ｃｍ^{3}未満、さらに好ましくは1×10^{18}ａｔｏｍｓ／ｃｍ^{3}未満にする。

［０２１７］

不純物が十分に低減された酸化物半導体をトランジスタのチャネル形成領域に用いることで、安定した電気特性を付与することができる。

［０２１８］

＜＜その他の半導体材料＞＞

酸化物３０は、トランジスタ２０のチャネル形成領域を含む半導体層と言い換えることができる。なお、当該半導体層に用いることができる半導体材料は、上述の金属酸化物に限られない。当該半導体層として、バンドギャップを有する半導体材料（ゼロギャップ半導体ではない半導体材料）を用いてもよい。例えば、シリコンなどの単体元素の半導体、ヒ化ガリウムなどの化合物半導体、半導体として機能する層状物質（原子層物質、２次元材料などともいう）などを半導体材料に用いることが好ましい。特に、半導体として機能する層状物質を半導体材料に用いると好適である。

［０２１９］

ここで、本明細書等において、層状物質とは、層状の結晶構造を有する材料群の総称である。層状の結晶構造は、共有結合またはイオン結合によって形成される層が、ファンデルワールス力のような、共有結合またはイオン結合よりも弱い結合を介して積層している構造である。層状物質は、単位層内における電気伝導性が高く、つまり、２次元電気伝導性が高い。半導体として機能し、かつ、２次元電気伝導性の高い材料をチャネル形成領域に用いることで、オン電流の大きいトランジスタを提供できる。

［０２２０］

層状物質として、グラフェン、シリセン、カルコゲン化物などがある。カルコゲン化物は、カルコゲンを含む化合物である。また、カルコゲンは、第１６族に属する元素の総称であり、酸素、硫黄、セレン、テルル、ポロニウム、リバモリウムが含まれる。また、カルコゲン化物として、遷移金属カルコゲナイド、１３族カルコゲナイドなどが挙げられる。

［０２２１］

半導体層として、例えば、半導体として機能する遷移金属カルコゲナイドを用いることが好ましい。半導体層として適用可能な遷移金属カルコゲナイドとして、具体的には、硫化モリブデン（代表的にはMoS_2）、セレン化モリブデン（代表的には$MoSe_2$）、モリブデンテルル（代表的には$MoTe_2$）、硫化タングステン（代表的にはWS_2）、セレン化タングステン（代表的にはWSe_2）、タングステンテルル（代表的にはWTe_2）、硫化ハフニウム（代表的にはHfS_2）、セレン化ハフニウム（代表的には$HfSe_2$）、硫化ジルコニウム（代表的にはZrS_2）、セレン化ジルコニウム（代表的には$ZrSe_2$）などが挙げられる。

［０２２２］

［トランジスタ２０の作製方法］

次に、図１に示すトランジスタ２０の作製方法を、図４乃至図６を用いて説明する。各図のＡ、Ｃ、Ｅ、Ｇ、Ｉは、トランジスタ２０のチャネル長方向の断面図である。また、各図のＢ、Ｄ、Ｆ、Ｈ、Ｊは、トランジスタ２０のチャネル幅方向の断面図である。

［０２２３］

以下において、絶縁体を形成するための絶縁性材料、導電体を形成するための導電性材料、または半導体を形成するための半導体材料は、スパッタリング法、化学気相成長（ＣＶＤ：Ｃｈｅｍｉｃａｌ　Ｖａｐｏｒ　Ｄｅｐｏｓｉｔｉｏｎ）法、分子線エピタキシー（ＭＢＥ：Ｍｏｌｅｃｕｌａｒ　Ｂｅａｍ　Ｅｐｉｔａｘｙ）法、パルスレーザ堆積（ＰＬＤ：Ｐｕｌｓｅｄ　Ｌａｓｅｒ　Ｄｅｐｏｓｉｔｉｏｎ）法、ＡＬＤ法などを適宜用いて成膜することができる。

［０２２４］

なお、スパッタリング法にはスパッタリング用電源に高周波電源を用いるＲＦスパッタリング法、直流電源を用いるＤＣスパッタリング法、さらにパルス的に電極に印加する電圧を変化させるパルスＤＣスパッタリング法がある。ＲＦスパッタリング法は主に絶縁膜を成膜する場合に用いられ、ＤＣスパッタリング法は主に金属導電膜を成膜する場合に用いられる。また、パルスＤＣスパッタリング法は、主に、酸化物、窒化物、炭化物などの化合物をリアクティブスパッタリング法で成膜する際に用いられる。

［０２２５］

なお、ＣＶＤ法は、プラズマを利用するプラズマＣＶＤ（ＰＥＣＶＤ）法、熱を利用する熱ＣＶ

Ｄ（ＴＣＶＤ：Ｔｈｅｒｍａｌ　ＣＶＤ）法、光を利用する光ＣＶＤ（Ｐｈｏｔｏ　ＣＶＤ）法などに分類できる。さらに用いる原料ガスによって金属ＣＶＤ（ＭＣＶＤ：Ｍｅｔａｌ　ＣＶＤ）法、有機金属ＣＶＤ（ＭＯＣＶＤ：Ｍｅｔａｌ　Ｏｒｇａｎｉｃ　ＣＶＤ）法に分けることができる。

［０２２６］

プラズマＣＶＤ法は、比較的低温で高品質の膜が得られる。また、熱ＣＶＤ法は、プラズマを用いないため、被処理物へのプラズマダメージを小さくすることが可能な成膜方法である。例えば、半導体装置に含まれる配線、電極、素子（トランジスタ、容量素子など）などは、プラズマから電荷を受け取ることでチャージアップする場合がある。このとき、蓄積した電荷によって、半導体装置に含まれる配線、電極、素子などが破壊される場合がある。一方、プラズマを用いない熱ＣＶＤ法の場合、こういったプラズマダメージが生じないため、半導体装置の歩留まりを高くすることができる。また、熱ＣＶＤ法では、成膜中のプラズマダメージが生じないため、欠陥の少ない膜が得られる。

［０２２７］

また、ＡＬＤ法としては、プリカーサ及びリアクタントの反応を熱エネルギーのみで行う熱ＡＬＤ法、プラズマ励起されたリアクタントを用いるＰＥＡＬＤ法などを用いることができる。

［０２２８］

ＣＶＤ法およびＡＬＤ法は、ターゲットなどから放出される粒子が堆積するスパッタリング法とは異なる。したがって、被処理物の形状の影響を受けにくく、良好な段差被覆性を有する成膜方法である。特に、ＡＬＤ法は、優れた段差被覆性と、優れた厚さの均一性を有するため、アスペクト比の高い開口部の表面を被覆する場合などに好適である。ただし、ＡＬＤ法は、比較的成膜速度が遅いため、成膜速度の速いＣＶＤ法などの他の成膜方法と組み合わせて用いることが好ましい場合もある。

［０２２９］

また、ＣＶＤ法では、原料ガスの流量比によって、任意の組成の膜を成膜することができる。例えば、ＣＶＤ法では、成膜しながら原料ガスの流量比を変化させることによって、組成が連続的に変化した膜を成膜することができる。原料ガスの流量比を変化させながら成膜する場合、複数の成膜室を用いて成膜する場合と比べて、搬送または圧力調整に掛かる時間を要さない分、成膜に掛かる時間を短くすることができる。したがって、半導体装置の生産性を高めることができる場合がある。

［０２３０］

また、ＡＬＤ法では、異なる複数種のプリカーサを同時に導入することで任意の組成の膜を成膜することができる。または、異なる複数種のプリカーサを導入する場合、各プリカーサのサイクル数を制御することで任意の組成の膜を成膜することができる。

［０２３１］

まず、基板（図示せず）を準備し、当該基板上に導電体１５を形成する（図４Ａ及び図４Ｂ参照）。導電体１５は、基板上の絶縁体（図示せず）に開口を形成した後、導電膜を成膜し、ＣＭＰ処理を行うことで形成してもよい。または、導電体１５は、成膜した導電膜を島状に加工することで形成してもよい。ここで島状とは、同一工程で形成された同一材料を用いた２つ以上の層が、物理的に分離されている状態であることを示す。

［０２３２］

次に、導電体１５上に、絶縁体１４、絶縁膜２２Ａ、及び絶縁膜２３Ａを順に成膜する（図４Ａ及び図４Ｂ参照）。なお、絶縁体１４、絶縁膜２２Ａ、及び絶縁膜２３Ａは、大気環境にさらさずに連続して成膜することが好ましい。大気開放せずに成膜することで、絶縁体１４上、絶縁膜２２Ａ上、及び絶縁膜２３Ａ上に大気環境からの不純物または水分が付着することを防ぐことができ、絶縁体１４と絶縁膜２２Ａとの界面近傍、および絶縁膜２２Ａと絶縁膜２３Ａとの界面近傍を清浄に保つことができる。

［０２３３］

絶縁体１４、絶縁膜２２Ａ、及び絶縁膜２３Ａの成膜は、スパッタリング法、ＣＶＤ法、ＭＢＥ法、ＰＬＤ法、またはＡＬＤ法などを用いて行うことができる。

［０２３４］

次に、絶縁膜２３Ａに、絶縁膜２２Ａに達する開口を形成する（図４Ｃ及び図４Ｄ参照）。開口とは、例えば、溝、スリットなども含まれる。また、開口が形成された領域を指して開口部とする場合がある。開口の形成はウェットエッチングを用いてもよいが、ドライエッチングを用いるほうが微細加工には好ましい。また、絶縁膜２２Ａは、絶縁膜２３Ａをエッチングして開口を形成する際のエッチングストッパ膜として機能する絶縁体を選択することが好ましい。例えば、開口を形成する絶縁膜２３Ａに酸化シリコンまたは酸化窒化シリコンを用いた場合は、絶縁膜２２Ａは窒化シリコン、酸化アルミニウム、または酸化ハフニウムを用いるとよい。

［０２３５］

ドライエッチング装置としては、平行平板型電極を有する容量結合型プラズマ（ＣＣＰ：Ｃａｐａｃｉｔｉｖｅｌｙ　Ｃｏｕｐｌｅｄ　Ｐｌａｓｍａ）エッチング装置を用いることができる。平行平板型電極を有する容量結合型プラズマエッチング装置は、平行平板型電極の一方の電極に高周波電圧を印加する構成でもよい。または平行平板型電極の一方の電極に複数の異なった高周波電圧を印加する構成でもよい。または平行平板型電極それぞれに同じ周波数の高周波電圧を印加する構成でもよい。または平行平板型電極それぞれに周波数の異なる高周波電圧を印加する構成でもよい。または高密度プラズマ源を有するドライエッチング装置を用いることができる。高密度プラズマ源を有するドライエッチング装置は、例えば、誘導結合型プラズマ（ＩＣＰ：Ｉｎｄｕｃｔｉｖｅｌｙ　Ｃｏｕｐｌｅｄ　Ｐｌａｓｍａ）エッチング装置などを用いることができる。

［０２３６］

次に、絶縁膜２４Ａを成膜する（図４Ｅ及び図４Ｆ参照）。絶縁膜２４Ａの成膜は、スパッタリング法、ＣＶＤ法、ＭＢＥ法、ＰＬＤ法、またはＡＬＤ法などを用いて行うことができる。本実施の形態では、絶縁膜２４Ａとして、スパッタリング法を用いて、酸化シリコン膜を成膜する。成膜ガスに水素を含む分子を用いなくてもよいスパッタリング法を用いることで、絶縁膜２４Ａ中の水素濃度を低減できる。絶縁膜２４Ａは、後の工程で酸化物３０と接するため、このように水素濃度が低減されていることが好適である。

［０２３７］

次に、ＣＭＰ処理を行うことで、絶縁膜２４Ａの一部を除去し、絶縁膜２３Ａを露出する（図４Ｇ及び図４Ｈ参照）。その結果、開口部のみに、絶縁層２４Ｂが残存する。なお、当該ＣＭＰ処理により、絶縁膜２３Ａの一部が除去される場合がある。

［０２３８］

次に、絶縁層２４Ｂ上、および絶縁膜２３Ａ上に、酸化膜３０Ａを成膜する（図４Ｉ及び図４Ｊ

参照）。酸化膜３０Ａの成膜はスパッタリング法、ＣＶＤ法、ＭＢＥ法、ＰＬＤ法、またはＡＬＤ法などを用いて行うことができる。酸化膜３０Ａの成膜は、ＡＬＤ法を用いることで、アスペクト比の大きい溝または開口部に対しても、厚さの均一な膜を形成することができるため、好ましい。また、ＰＥＡＬＤ法を用いることで、熱ＡＬＤ法に比べて低温で酸化膜３０Ａを形成することができるため、好ましい。本実施の形態では、酸化膜３０Ａの成膜はスパッタリング法を用いる。

［０２３９］

例えば、酸化膜３０Ａをスパッタリング法によって成膜する場合は、スパッタリングガスとして酸素、または、酸素と希ガスの混合ガスを用いる。スパッタリングガスに含まれる酸素の割合を高めることで、成膜される酸化膜中の過剰酸素を増やすことができる。また、上記の酸化膜をスパッタリング法によって成膜する場合は、上記のＩｎ－Ｍ－Ｚｎ酸化物ターゲットなどを用いることができる。

［０２４０］

酸化膜３０Ａの成膜時に、スパッタリングガスに含まれる酸素の一部が絶縁層２４Ｂに供給される場合がある。したがって、当該スパッタリングガスに含まれる酸素の割合は７０％以上、好ましくは８０％以上、より好ましくは１００％とすればよい。

［０２４１］

酸化膜３０Ａをスパッタリング法で形成する場合、スパッタリングガスに含まれる酸素の割合を、３０％を超えて１００％以下、好ましくは７０％以上１００％以下として成膜すると、酸素過剰型の酸化物半導体が形成される。酸素過剰型の酸化物半導体をチャネル形成領域に用いたトランジスタは、比較的高い信頼性が得られる。ただし、本発明の一態様はこれに限定されない。酸化膜３０Ａをスパッタリング法で形成する場合、スパッタリングガスに含まれる酸素の割合を１％以上３０％以下、好ましくは５％以上２０％以下として成膜すると、酸素欠乏型の酸化物半導体が形成される。酸素欠乏型の酸化物半導体をチャネル形成領域に用いたトランジスタは、比較的高い電界効果移動度が得られる。また、基板を加熱しながら成膜を行うことによって、当該酸化膜の結晶性を向上させることができる。

［０２４２］

本実施の形態では、酸化膜３０Ａとして、スパッタリング法によって、Ｉｎ：Ｇａ：Ｚｎ＝４：２：４．１［原子数比］の酸化物ターゲット、Ｉｎ：Ｇａ：Ｚｎ＝１：１：１［原子数比］の酸化物ターゲット、Ｉｎ：Ｇａ：Ｚｎ＝１：１：１．２［原子数比］の酸化物ターゲット、またはＩｎ：Ｇａ：Ｚｎ＝１：１：２［原子数比］の酸化物ターゲットを用いて成膜する。なお、各酸化膜は、成膜条件、および原子数比を適宜選択することで、酸化物３０に求める特性に合わせて形成するとよい。

［０２４３］

次に、加熱処理を行うことが好ましい。加熱処理は、酸化膜３０Ａが多結晶化しない温度範囲で行えばよく、２５０℃以上６５０℃以下、好ましくは４００℃以上６００℃以下で行えばよい。なお、加熱処理は、窒素ガスもしくは不活性ガスの雰囲気、または酸化性ガスを１０ｐｐｍ以上、１％以上、もしくは１０％以上含む雰囲気で行う。例えば、窒素ガスと酸素ガスの混合雰囲気で加熱処理をする場合、酸素ガスを２０％程度にすればよい。また、加熱処理は減圧状態で行ってもよい。または、加熱処理は、窒素ガスもしくは不活性ガスの雰囲気で加熱処理した後に、脱離した酸素を補うために酸化性ガスを１０ｐｐｍ以上、１％以上、または１０％以上含む雰囲気で加熱処理

を行ってもよい。

［０２４４］

また、上記加熱処理で用いるガスは、高純度化されていることが好ましい。例えば、上記加熱処理で用いるガスに含まれる水分量が１ｐｐｂ以下、好ましくは０．１ｐｐｂ以下、より好ましくは０．０５ｐｐｂ以下にすればよい。高純度化されたガスを用いて加熱処理を行うことで、酸化膜３０Ａに水分等が取り込まれることを可能な限り防ぐことができる。

［０２４５］

本実施の形態では、加熱処理として、窒素ガスと酸素ガスの流量比を４：１として、４５０℃の温度で１時間の処理を行う。このような酸素ガスを含む加熱処理によって、酸化膜３０Ａの炭素、水、および水素などの不純物を低減することなどができる。このように膜中の不純物を低減することで、酸化膜３０Ａの結晶性を向上させ、より密度の高い、緻密な構造にすることができる。これにより、酸化膜３０Ａ中の結晶領域を増大させ、酸化膜３０Ａ中における、結晶領域の面内ばらつきを低減できる。よって、トランジスタ２０の電気特性の面内ばらつきを低減できる。

［０２４６］

また、加熱処理を行うことで、絶縁層２４Ｂ中、および酸化膜３０Ａ中の水素が絶縁膜２２Ａに移動し、絶縁膜２２Ａ内に吸い取られる。別言すると、絶縁層２４Ｂ中、および酸化膜３０Ａ中の水素が絶縁膜２２Ａに拡散する。従って、絶縁膜２２Ａの水素濃度は高くなるが、絶縁層２４Ｂ、および酸化膜３０Ａ中のそれぞれの水素濃度は低下する。

［０２４７］

特に、絶縁層２４Ｂを加工することで形成される絶縁体２４は、トランジスタ２０のゲート絶縁体として機能し、酸化膜３０Ａを加工することで形成される酸化物３０は、トランジスタ２０のチャネル形成領域として機能する。そのため、水素濃度が低減された絶縁体２４、および酸化物３０を有するトランジスタ２０は、良好な信頼性を有するため好ましい。

［０２４８］

次に、酸化膜３０Ａ上に導電膜４２Ａを成膜する（図４Ｉ及び図４Ｊ参照）。導電膜４２Ａの成膜はスパッタリング法、ＣＶＤ法、ＭＢＥ法、ＰＬＤ法、またはＡＬＤ法などを用いて行うことができる。例えば、導電膜４２Ａとして、スパッタリング法を用いて窒化タンタルを成膜すればよい。なお、導電膜４２Ａの成膜前に、加熱処理を行ってもよい。当該加熱処理は、減圧下で行い、大気に暴露することなく、連続して導電膜４２Ａを成膜してもよい。このような処理を行うことによって、酸化膜３０Ａの表面に吸着している水分および水素を除去し、さらに酸化膜３０Ａ中の水分濃度および水素濃度を低減させることができる。加熱処理の温度は、１００℃以上４００℃以下が好ましい。本実施の形態では、加熱処理の温度を２５０℃とする。

［０２４９］

次に、リソグラフィー法を用いて、絶縁膜２２Ａ、絶縁膜２３Ａ、絶縁層２４Ｂ、酸化膜３０Ａ、および導電膜４２Ａを島状に加工して、絶縁体２２、絶縁体２３ａ、絶縁体２３ｂ、絶縁体２４、酸化物３０、および導電層４２Ｂを形成する（図５Ａ及び図５Ｂ参照）。ここで、絶縁体２４、酸化物３０、および導電層４２Ｂは、少なくとも一部が導電体１５と重なるように形成する。上記加工はドライエッチング法またはウェットエッチング法を用いることができる。ドライエッチング法による加工は微細加工に適している。また、絶縁膜２２Ａ、絶縁膜２３Ａ及び絶縁層２４Ｂ、酸化膜３０Ａ、並びに導電膜４２Ａの加工は、それぞれ異なる条件で行ってもよい。

［０２５０］

なお、リソグラフィー法では、まず、マスクを介してレジストを露光する。次に、露光された領域を、現像液を用いて除去または残存させてレジストマスクを形成する。次に、当該レジストマスクを介してエッチング処理することで導電体、半導体、または絶縁体などを所望の形状に加工することができる。例えば、ＫｒＦエキシマレーザ光、ＡｒＦエキシマレーザ光、ＥＵＶ（Ｅｘｔｒｅｍｅ　Ｕｌｔｒａｖｉｏｌｅｔ）光などを用いて、レジストを露光することでレジストマスクを形成すればよい。また、基板と投影レンズとの間に液体（例えば水）を満たして露光する、液浸技術を用いてもよい。また、前述した光に代えて、電子ビームまたはイオンビームを用いてもよい。なお、電子ビームまたはイオンビームを用いる場合には、マスクは不要となる。なお、レジストマスクは、アッシングなどのドライエッチング処理を行う、ウェットエッチング処理を行う、ドライエッチング処理後にウェットエッチング処理を行う、またはウェットエッチング処理後にドライエッチング処理を行うことで、除去することができる。

［０２５１］

さらに、レジストマスクの下に絶縁体または導電体からなるハードマスクを用いてもよい。ハードマスクを用いる場合、導電膜４２Ａ上にハードマスク材料となる絶縁膜または導電膜を形成し、その上にレジストマスクを形成し、ハードマスク材料をエッチングすることで所望の形状のハードマスクを形成することができる。導電膜４２Ａなどのエッチングは、レジストマスクを除去してから行っても良いし、レジストマスクを残したまま行っても良い。後者の場合、エッチング中にレジストマスクが消失することがある。導電膜４２Ａなどのエッチング後にハードマスクをエッチングにより除去しても良い。一方、ハードマスクの材料が後工程に影響が無い、あるいは後工程で利用できる場合、必ずしもハードマスクを除去する必要は無い。

［０２５２］

次に、絶縁体２２、絶縁体２３ａ、絶縁体２３ｂ、絶縁体２４、酸化物３０、および導電層４２Ｂを覆って、絶縁体７５を成膜する（図５Ａ及び図５Ｂ参照）。ここで、絶縁体７５は、絶縁体１４の上面、絶縁体２２の側面、絶縁体２３ａの側面、絶縁体２３ｂの側面、および絶縁体２４の側面に接することが好ましい。絶縁体７５の成膜は、スパッタリング法、ＣＶＤ法、ＭＢＥ法、ＰＬＤ法、またはＡＬＤ法などを用いて行うことができる。絶縁体７５は、酸素の透過を抑制する機能を有する絶縁膜を用いることが好ましい。例えば、絶縁体７５として、ＰＥＡＬＤ法を用いて窒化シリコンを成膜すればよい。当該構成にすることで、酸素の拡散を抑制できる。または、例えば、絶縁体７５として、スパッタリング法を用いて酸化アルミニウムを成膜し、その上にＰＥＡＬＤ法を用いて窒化シリコンを成膜すればよい。絶縁体７５をこのような積層構造とすることで、水、水素などの不純物、および酸素の拡散を抑制する機能が向上することがある。

［０２５３］

このようにして、酸化物３０、および導電層４２Ｂを、酸素の拡散を抑制する機能を有する絶縁体７５で覆うことができる。これにより、のちの工程で、酸化物３０、および導電層４２Ｂに、絶縁体８０などから酸素が直接拡散するのを低減できる。

［０２５４］

次に、絶縁体７５上に、絶縁体８０となる絶縁膜を成膜する。当該絶縁膜の成膜は、スパッタリング法、ＣＶＤ法、ＭＢＥ法、ＰＬＤ法、またはＡＬＤ法などを用いて行うことができる。例えば、当該絶縁膜として、スパッタリング法を用いて酸化シリコン膜を成膜すればよい。当該絶縁膜を、

酸素を含む雰囲気で、スパッタリング法で成膜することで、過剰酸素を含む絶縁体８０を形成することができる。また、成膜ガスに水素を含む分子を用いなくてもよいスパッタリング法を用いることで、絶縁体８０中の水素濃度を低減できる。なお、当該絶縁膜の成膜前に、加熱処理を行ってもよい。加熱処理は、減圧下で行い、大気に暴露することなく、連続して当該絶縁膜を成膜してもよい。このような処理を行うことによって、絶縁体７５の表面などに吸着している水分および水素を除去し、さらに酸化物３０中、および絶縁体２４中の水分濃度および水素濃度を低減させることができる。当該加熱処理には、上述した加熱処理条件を用いることができる。

［０２５５］

次に、上記絶縁体８０となる絶縁膜にＣＭＰ処理を行い、上面が平坦な絶縁体８０を形成する（図５Ａ及び図５Ｂ参照）。なお、絶縁体８０上に、例えば、スパッタリング法によって窒化シリコンを成膜し、当該窒化シリコンを絶縁体８０に達するまで、ＣＭＰ処理を行ってもよい。

［０２５６］

次に、絶縁体８０の一部、絶縁体７５の一部、導電層４２Ｂの一部を加工して、酸化物３０に達する開口を形成する。当該開口は、導電体１５と重なるように形成することが好ましい。当該開口の形成によって、導電体４２ａ、および導電体４２ｂが形成される（図５Ｃ及び図５Ｄ参照）。なお、図５Ｃ及び図５Ｄには図示していないが、上記開口を形成する際に、酸化物３０の上部が除去される場合がある。

［０２５７］

また、絶縁体８０の一部、絶縁体７５の一部、および導電層４２Ｂの一部の加工は、ドライエッチング法、またはウェットエッチング法を用いることができる。ドライエッチング法による加工は微細加工に適している。また、当該加工は、それぞれ異なる条件で行ってもよい。例えば、絶縁体８０の一部をドライエッチング法で加工し、絶縁体７５の一部をウェットエッチング法で加工し、導電層４２Ｂの一部をドライエッチング法で加工してもよい。

［０２５８］

ここで、酸化物３０の上面および側面、導電体４２の側面、絶縁体８０の側面などへの不純物の付着またはこれらの内部への該不純物の拡散が生じる場合がある。このような不純物を除去する工程を行ってもよい。また、上記ドライエッチングで酸化物３０の表面に損傷領域が形成される場合がある。このような損傷領域を除去してもよい。当該不純物としては、絶縁体８０、絶縁体７５、および導電層４２Ｂに含まれる成分、上記開口を形成する際に用いられる装置に使われている部材に含まれる成分、エッチングに使用するガスまたは液体に含まれる成分などに起因したものが挙げられる。当該不純物としては、例えば、ハフニウム、アルミニウム、シリコン、タンタル、フッ素、塩素などがある。

［０２５９］

特に、アルミニウム、シリコンなどの不純物は、酸化物３０の結晶性を低下させる場合がある。よって、酸化物３０の表面およびその近傍において、アルミニウム、シリコンなどの不純物は除去されることが好ましい。また、当該不純物の濃度は低減されていることが好ましい。例えば、酸化物３０表面およびその近傍における、アルミニウム原子の濃度が、５．０原子％以下とすればよく、２．０原子％以下が好ましく、１．５原子％以下がより好ましく、１．０原子％以下がさらに好ましく、０．３原子％未満がさらに好ましい。

［０２６０］

なお、アルミニウム、シリコンなどの不純物により、酸化物３０の結晶性が低い領域では、結晶構造の緻密さが低下しているため、V_OHが多量に形成され、トランジスタがノーマリーオン化しやすくなる。よって、酸化物３０の結晶性が低い領域は、低減または除去されていることが好ましい。

［０２６１］

これに対して、酸化物３０にＣＡＡＣ構造を有していることが好ましい。特に、酸化物３０のドレイン下端部までＣＡＡＣ構造を有することが好ましい。ここで、トランジスタ２０において、導電体４２ａまたは導電体４２ｂ、およびその近傍がドレインとして機能する。つまり、導電体４２ａ（導電体４２ｂ）の下端部近傍の酸化物３０が、ＣＡＡＣ構造を有することが好ましい。このように、ドレイン耐圧に顕著に影響するドレイン端部においても、酸化物３０の結晶性の低い領域が除去され、ＣＡＡＣ構造を有することで、トランジスタ２０の電気特性の変動をさらに抑制できる。また、トランジスタ２０の信頼性を向上させることができる。

［０２６２］

上記エッチング工程で酸化物３０表面に付着した不純物などを除去するために、洗浄処理を行う。洗浄方法としては、洗浄液など用いたウェット洗浄（ウェットエッチング処理ということもできる）、プラズマを用いたプラズマ処理、熱処理による洗浄などがあり、上記洗浄を適宜組み合わせて行ってもよい。なお、当該洗浄処理によって、上記溝部が深くなる場合がある。

［０２６３］

アンモニア水、シュウ酸、リン酸、フッ化水素酸などを炭酸水または純水で希釈した水溶液、純水、炭酸水などを用いてウェット洗浄を行ってもよい。または、これらの水溶液、純水、または炭酸水を用いた超音波洗浄を行ってもよい。または、これらの洗浄を適宜組み合わせて行ってもよい。

［０２６４］

なお、本明細書等では、フッ化水素酸を純水で希釈した水溶液を希釈フッ化水素酸と呼び、アンモニア水を純水で希釈した水溶液を希釈アンモニア水と呼ぶ場合がある。また、当該水溶液の濃度、温度などは、除去したい不純物、洗浄される半導体装置の構成などによって、適宜調整すればよい。希釈アンモニア水のアンモニア濃度は０．０１％以上５％以下、好ましくは０．１％以上０．５％以下とすればよい。また、希釈フッ化水素酸のフッ化水素濃度は０．０１ｐｐｍ以上１００ｐｐｍ以下、好ましくは０．１ｐｐｍ以上１０ｐｐｍ以下とすればよい。

［０２６５］

なお、超音波洗浄には、２００ｋＨｚ以上、好ましくは９００ｋＨｚ以上の周波数を用いることが好ましい。当該周波数を用いることで、酸化物３０などへのダメージを低減できる。

［０２６６］

また、上記洗浄処理を複数回行ってもよく、洗浄処理毎に洗浄液を変更してもよい。例えば、第１の洗浄処理として希釈フッ化水素酸、または希釈アンモニア水を用いた処理を行い、第２の洗浄処理として純水、または炭酸水を用いた処理を行ってもよい。

［０２６７］

上記洗浄処理として、本実施の形態では、希釈アンモニア水を用いてウェット洗浄を行う。当該洗浄処理を行うことで、酸化物３０などの表面に付着または内部に拡散した不純物を除去することができる。さらに、酸化物３０の結晶性を高めることができる。

［０２６８］

上記エッチング後、または上記洗浄後に加熱処理を行ってもよい。加熱処理は、１００℃以上４５０℃以下、好ましくは３５０℃以上４００℃以下で行えばよい。なお、加熱処理は、窒素ガスもしくは不活性ガスの雰囲気、または酸化性ガスを１０ｐｐｍ以上、１％以上、もしくは１０％以上含む雰囲気で行う。例えば、加熱処理は酸素雰囲気で行うことが好ましい。これにより、酸化物３０に酸素を供給して、酸素欠損の低減を図ることができる。また、このような熱処理を行うことで、酸化物３０の結晶性を向上させることができる。また、加熱処理は減圧状態で行ってもよい。または、酸素雰囲気で加熱処理した後に、大気に露出せずに連続して窒素雰囲気で加熱処理を行ってもよい。

［０２６９］

次に絶縁膜５０Ａを成膜する（図５Ｅ及び図５Ｆ参照）。絶縁膜５０Ａの成膜前に加熱処理を行ってもよく、当該加熱処理は、減圧下で行い、大気に暴露することなく、連続して絶縁膜５０Ａを成膜してもよい。また、当該加熱処理は、酸素を含む雰囲気で行うことが好ましい。このような処理を行うことによって、酸化物３０の表面などに吸着している水分および水素を除去し、さらに酸化物３０中の水分濃度および水素濃度を低減させることができる。加熱処理の温度は、１００℃以上４００℃以下が好ましい。

［０２７０］

絶縁膜５０Ａは、スパッタリング法、ＣＶＤ法、ＰＥＣＶＤ法、ＭＢＥ法、ＰＬＤ法、またはＡＬＤ法などを用いて成膜することができる。また、絶縁膜５０Ａは、水素原子が低減または除去されたガスを用いた成膜方法で成膜することが好ましい。これにより、絶縁膜５０Ａの水素濃度を低減できる。本実施の形態では、絶縁膜５０Ａとして酸化窒化シリコンをＰＥＣＶＤ法によって成膜する。

［０２７１］

次に、酸素を含む雰囲気でマイクロ波処理を行うことが好ましい。

［０２７２］

マイクロ波処理は、例えばマイクロ波を用いた高密度プラズマを発生させる電源を有する、マイクロ波処理装置を用いることが好ましい。ここで、マイクロ波処理装置の周波数は、３００ＭＨｚ以上３００ＧＨｚ以下、好ましくは２．４ＧＨｚ以上２．５ＧＨｚ以下、例えば、２．４５ＧＨｚにすればよい。高密度プラズマを用いることより、高密度の酸素ラジカルを生成することができる。また、マイクロ波処理装置のマイクロ波を印加する電源の電力は、１０００Ｗ以上１００００Ｗ以下、好ましくは２０００Ｗ以上５０００Ｗ以下にすればよい。また、マイクロ波処理装置は基板側にＲＦを印加する電源を有してもよい。また、基板側にＲＦを印加することで、高密度プラズマによって生成された酸素イオンを、効率よく酸化物３０中に導くことができる。

［０２７３］

また、上記マイクロ波処理は、減圧下で行うことが好ましく、圧力は、１０Ｐａ以上１０００Ｐａ以下、好ましくは３００Ｐａ以上７００Ｐａ以下にすればよい。また、処理温度は、７５０℃以下、好ましくは５００℃以下、例えば４００℃程度とすればよい。また、酸素プラズマ処理を行った後に、外気に曝すことなく、連続して熱処理を行ってもよい。例えば、１００℃以上７５０℃以下、好ましくは３００℃以上５００℃以下にすればよい。

［０２７４］

また、例えば、上記マイクロ波処理は、酸素ガスとアルゴンガスを用いて行えばよい。ここで、

酸素流量比（O_2／（O_2＋Ａｒ））は、０％より大きく１００％以下、好ましくは０％より大きく５０％以下、より好ましくは１０％以上４０％以下、さらに好ましくは１０％以上３０％以下にすればよい。

［０２７５］

なお、マイクロ波処理では、マイクロ波と酸化物３０中の分子の電磁気的な相互作用により、酸化物３０に直接的に熱エネルギーを伝達する場合がある。この熱エネルギーにより、酸化物３０が加熱される場合がある。このような加熱処理をマイクロ波アニールと呼ぶ場合がある。マイクロ波処理を、酸素を含む雰囲気中で行うことで、酸素アニールと同等の効果が得られる場合がある。また、酸化物３０に水素が含まれる場合、この熱エネルギーが酸化物３０中の水素に伝わり、これにより活性化した水素が酸化物３０から放出されることが考えられる。

［０２７６］

次に、導電膜６０Ａを成膜する。導電膜６０Ａの成膜は、スパッタリング法、ＣＶＤ法、ＭＢＥ法、ＰＬＤ法、またはＡＬＤ法などを用いて行うことができる。なお、導電体６０が２層の積層構造である場合、当該導電体６０となる導電膜の成膜方法については、後述する実施の形態２の説明を参酌できる。

［０２７７］

次に、ＣＭＰ処理によって、絶縁膜５０Ａ、および導電膜６０Ａを絶縁体８０が露出するまで研磨することによって、絶縁体５０、および導電体６０を形成する（図５Ｇ及び図５Ｈ参照）。これにより、絶縁体５０は、酸化物３０に達する開口を覆うように配置される。また、導電体６０は、絶縁体５０を介して、上記開口を埋め込むように配置される。

［０２７８］

次に、上記の加熱処理と同様の条件で加熱処理を行ってもよい。本実施の形態では、窒素雰囲気にて４００℃の温度で１時間の処理を行う。当該加熱処理によって、絶縁体５０中および絶縁体８０中の水分濃度および水素濃度を低減させることができる。なお、上記加熱処理後、大気に曝すことなく連続して、絶縁体８２の成膜を行ってもよい。

［０２７９］

次に、絶縁体５０上、導電体６０上、および絶縁体８０上に、絶縁体８２を形成する（図１Ｂ及び図１Ｃ参照）。絶縁体８２の成膜は、スパッタリング法、ＣＶＤ法、ＭＢＥ法、ＰＬＤ法、またはＡＬＤ法などを用いて行うことができる。絶縁体８２の成膜は、スパッタリング法を用いて行うことが好ましい。成膜ガスに水素を含む分子を用いなくてもよいスパッタリング法を用いることで、絶縁体８２中の水素濃度を低減できる。

［０２８０］

本実施の形態では、絶縁体８２として、酸素ガスを含む雰囲気でアルミニウムターゲットを用いて、パルスＤＣスパッタリング法で酸化アルミニウムを成膜する。パルスＤＣスパッタリング法を用いることで、膜厚分布をより均一にし、スパッタレート、および膜質を向上することができる。

［０２８１］

また、スパッタリング法を用いて、酸素を含む雰囲気で絶縁体８２の成膜を行うことで、成膜しながら、絶縁体８０に酸素を添加することができる。これにより、絶縁体８０に過剰酸素を含ませることができる。このとき、基板加熱を行いながら、絶縁体８２を成膜することが好ましい。

［０２８２］

以上により、図１Ａ乃至図１Ｃに示すトランジスタ２０を作製できる。

［０２８３］

なお、絶縁膜２３Ａ及び絶縁層２４Ｂの形成方法は上記に限られない。以下では、絶縁膜２３Ａ及び絶縁層２４Ｂの他の形成方法について図６を用いて説明する。

［０２８４］

はじめに、基板（図示せず）上に、導電体１５、絶縁体１４、及び絶縁膜２２Ａを形成する。なお、導電体１５、絶縁体１４、及び絶縁膜２２Ａの形成方法は、上述した説明を参酌できる。

［０２８５］

次に、絶縁膜２２Ａ上に、絶縁層２４Ｂとなる絶縁膜を成膜する。次に、当該絶縁膜をリソグラフィー法によって加工し、絶縁層２４Ｂを形成する（図６Ａ及び図６Ｂ参照）。このとき、絶縁層２４Ｂと重ならない領域の絶縁膜２２Ａの一部が除去されることがある。

［０２８６］

次に、絶縁膜２２Ａ上、及び絶縁層２４Ｂ上に絶縁膜２３ｆを成膜する（図６Ｃ及び図６Ｄ参照）。なお、絶縁膜２３ｆの成膜方法は、上述した説明を参酌できる。

［０２８７］

次に、ＣＭＰ処理を行うことで、絶縁膜２３ｆの一部を除去し、絶縁層２４Ｂを露出する（図６Ｅ及び図６Ｆ参照）。当該ＣＭＰ処理により、絶縁膜２３Ａが形成される。

［０２８８］

以上により、絶縁膜２３Ａ及び絶縁層２４Ｂを形成することができる。

［０２８９］

＜マイクロ波処理装置＞

以下では、トランジスタ、半導体装置、及び記憶装置などの作製方法に用いることができる、マイクロ波処理装置について説明する。

［０２９０］

まずは、トランジスタ、半導体装置、及びなどの製造時に不純物の混入が少ない製造装置の構成について図７乃至図１０を用いて説明する。

［０２９１］

図７は、枚葉式マルチチャンバーの製造装置２７００の上面図を模式的に示している。製造装置２７００は、基板を収容するカセットポート２７６１と、基板のアライメントを行うアライメントポート２７６２と、を備える大気側基板供給室２７０１と、大気側基板供給室２７０１から、基板を搬送する大気側基板搬送室２７０２と、基板の搬入を行い、かつ室内の圧力を大気圧から減圧、または減圧から大気圧へ切り替えるロードロック室２７０３ａと、基板の搬出を行い、かつ室内の圧力を減圧から大気圧、または大気圧から減圧へ切り替えるアンロードロック室２７０３ｂと、真空中の基板の搬送を行う搬送室２７０４と、チャンバー２７０６ａと、チャンバー２７０６ｂと、チャンバー２７０６ｃと、チャンバー２７０６ｄと、を有する。

［０２９２］

また、大気側基板搬送室２７０２は、ロードロック室２７０３ａおよびアンロードロック室２７０３ｂと接続され、ロードロック室２７０３ａおよびアンロードロック室２７０３ｂは、搬送室２７０４と接続され、搬送室２７０４は、チャンバー２７０６ａ、チャンバー２７０６ｂ、チャンバー２７０６ｃおよびチャンバー２７０６ｄと接続する。

［０２９３］

なお、各室の接続部にはゲートバルブＧＶが設けられており、大気側基板供給室２７０１と、大気側基板搬送室２７０２を除き、各室を独立して真空状態に保持することができる。また、大気側基板搬送室２７０２には搬送ロボット２７６３ａが設けられており、搬送室２７０４には搬送ロボット２７６３ｂが設けられている。搬送ロボット２７６３ａおよび搬送ロボット２７６３ｂによって、製造装置２７００内で基板を搬送することができる。

［０２９４］

搬送室２７０４および各チャンバーの背圧（全圧）は、例えば、１×１０$^{-4}$Ｐａ以下、好ましくは３×１０$^{-5}$Ｐａ以下、さらに好ましくは１×１０$^{-5}$Ｐａ以下とする。また、搬送室２７０４および各チャンバーの質量電荷比（ｍ／ｚ）が１８である気体分子（原子）の分圧は、例えば、３×１０$^{-5}$Ｐａ以下、好ましくは１×１０$^{-5}$Ｐａ以下、さらに好ましくは３×１０$^{-6}$Ｐａ以下とする。また、搬送室２７０４および各チャンバーのｍ／ｚが２８である気体分子（原子）の分圧は、例えば、３×１０$^{-5}$Ｐａ以下、好ましくは１×１０$^{-5}$Ｐａ以下、さらに好ましくは３×１０$^{-6}$Ｐａ以下とする。また、搬送室２７０４および各チャンバーのｍ／ｚが４４である気体分子（原子）の分圧は、例えば、３×１０$^{-5}$Ｐａ以下、好ましくは１×１０$^{-5}$Ｐａ以下、さらに好ましくは３×１０$^{-6}$Ｐａ以下とする。

［０２９５］

なお、搬送室２７０４および各チャンバー内の全圧および分圧は、電離真空計、質量分析計などを用いて測定することができる。

［０２９６］

また、搬送室２７０４および各チャンバーは、外部リークまたは内部リークが少ない構成とすることが望ましい。例えば、搬送室２７０４のリークレートは、１×１０^{0}Ｐａ／分以下、好ましくは５×１０$^{-1}$Ｐａ／分以下とする。また、各チャンバーのリークレートは、１×１０$^{-1}$Ｐａ／分以下、好ましくは５×１０$^{-2}$Ｐａ／分以下とする。

［０２９７］

なお、リークレートに関しては、電離真空計、質量分析計などを用いて測定した全圧および分圧から導出すればよい。例えば、ターボ分子ポンプなどの真空ポンプで真空引きを開始してから１０分経過後の全圧と、バルブを閉じてから１０分経過後の全圧と、から導出するとよい。なお、上記真空引きを開始してから１０分経過後の全圧は、当該全圧を複数回測定した場合の平均値とするとよい。

［０２９８］

リークレートは、外部リークおよび内部リークに依存する。外部リークは、微小な穴、シール不良などによって真空系外から気体が流入することである。内部リークは、真空系内のバルブなどの仕切りからの漏れまたは内部の部材からの放出ガスに起因する。リークレートを上述の数値以下とするために、外部リークおよび内部リークの両面から対策をとる必要がある。

［０２９９］

例えば、搬送室２７０４および各チャンバーの開閉部分はメタルガスケットでシールするとよい。メタルガスケットは、フッ化鉄、酸化アルミニウム、または酸化クロムによって被覆された金属を用いると好ましい。メタルガスケットはＯリングと比べ密着性が高く、外部リークを低減できる。また、フッ化鉄、酸化アルミニウム、酸化クロムなどによって被覆された金属の不動態を用いるこ

とで、メタルガスケットから放出される不純物を含む放出ガスが抑制され、内部リークを低減できる。

［０３００］

また、製造装置２７００を構成する部材として、不純物を含む放出ガスの少ないアルミニウム、クロム、チタン、ジルコニウム、ニッケルまたはバナジウムを用いる。また、前述の不純物を含む放出ガスの少ない金属を鉄、クロムおよびニッケルなどを含む合金に被覆して用いてもよい。鉄、クロムおよびニッケルなどを含む合金は、剛性があり、熱に強く、また加工に適している。ここで、表面積を小さくするために部材の表面凹凸を研磨などによって低減しておくと、放出ガスを低減できる。

［０３０１］

または、前述の製造装置２７００の部材をフッ化鉄、酸化アルミニウム、酸化クロムなどで被覆してもよい。

［０３０２］

製造装置２７００の部材は、極力金属のみで構成することが好ましく、例えば石英などで構成される覗き窓などを設置する場合も、放出ガスを抑制するために表面をフッ化鉄、酸化アルミニウム、酸化クロムなどで薄く被覆するとよい。

［０３０３］

搬送室２７０４および各チャンバーに存在する吸着物は、内壁などに吸着しているために搬送室２７０４および各チャンバーの圧力に影響しないが、搬送室２７０４および各チャンバーを排気した際のガス放出の原因となる。そのため、リークレートと排気速度に相関はないものの、排気能力の高いポンプを用いて、搬送室２７０４および各チャンバーに存在する吸着物をできる限り脱離し、あらかじめ排気しておくことは重要である。なお、吸着物の脱離を促すために、搬送室２７０４および各チャンバーをベーキングしてもよい。ベーキングすることで吸着物の脱離速度を１０倍程度大きくすることができる。ベーキングは１００℃以上４５０℃以下で行えばよい。このとき、不活性ガスを搬送室２７０４および各チャンバーに導入しながら吸着物の除去を行うと、排気するだけでは脱離しにくい水などの脱離速度をさらに大きくすることができる。なお、導入する不活性ガスをベーキングの温度と同程度に加熱することで、吸着物の脱離速度をさらに高めることができる。ここで不活性ガスとして希ガスを用いると好ましい。

［０３０４］

または、加熱した希ガスなどの不活性ガスまたは酸素などを導入することで搬送室２７０４および各チャンバー内の圧力を高め、一定時間経過後に再び搬送室２７０４および各チャンバーを排気する処理を行うと好ましい。加熱したガスの導入により搬送室２７０４および各チャンバー内の吸着物を脱離させることができ、搬送室２７０４および各チャンバー内に存在する不純物を低減できる。なお、この処理は２回以上３０回以下、好ましくは５回以上１５回以下の範囲で繰り返し行うと効果的である。具体的には、温度が４０℃以上４００℃以下、好ましくは５０℃以上２００℃以下である不活性ガスまたは酸素などを導入することで搬送室２７０４および各チャンバー内の圧力を０．１Ｐａ以上１０ｋＰａ以下、好ましくは１Ｐａ以上１ｋＰａ以下、さらに好ましくは５Ｐａ以上１００Ｐａ以下とし、圧力を保つ期間を１分以上３００分以下、好ましくは５分以上１２０分以下とすればよい。その後、搬送室２７０４および各チャンバーを５分以上３００分以下、好ましくは１０分以上１２０分以下の期間排気する。

［０３０５］

次に、チャンバー２７０６ｂおよびチャンバー２７０６ｃについて図８に示す断面模式図を用いて説明する。

［０３０６］

チャンバー２７０６ｂおよびチャンバー２７０６ｃは、例えば、被処理物にマイクロ波処理を行うことが可能なチャンバーである。なお、チャンバー２７０６ｂと、チャンバー２７０６ｃと、はマイクロ波処理を行う際の雰囲気が異なるのみである。そのほかの構成については共通するため、以下ではまとめて説明を行う。

［０３０７］

チャンバー２７０６ｂおよびチャンバー２７０６ｃは、スロットアンテナ板２８０８と、誘電体板２８０９と、基板ホルダ２８１２と、排気口２８１９と、を有する。また、チャンバー２７０６ｂおよびチャンバー２７０６ｃの外などには、ガス供給源２８０１と、バルブ２８０２と、高周波発生器２８０３と、導波管２８０４と、モード変換器２８０５と、ガス管２８０６と、導波管２８０７と、マッチングボックス２８１５と、高周波電源２８１６と、真空ポンプ２８１７と、バルブ２８１８と、が設けられる。

［０３０８］

高周波発生器２８０３は、導波管２８０４を介してモード変換器２８０５と接続している。モード変換器２８０５は、導波管２８０７を介してスロットアンテナ板２８０８に接続している。スロットアンテナ板２８０８は、誘電体板２８０９と接して配置される。また、ガス供給源２８０１は、バルブ２８０２を介してモード変換器２８０５に接続している。そして、モード変換器２８０５、導波管２８０７および誘電体板２８０９を通るガス管２８０６によって、チャンバー２７０６ｂおよびチャンバー２７０６ｃにガスが送られる。また、真空ポンプ２８１７は、バルブ２８１８および排気口２８１９を介して、チャンバー２７０６ｂおよびチャンバー２７０６ｃからガスなどを排気する機能を有する。また、高周波電源２８１６は、マッチングボックス２８１５を介して基板ホルダ２８１２に接続している。

［０３０９］

基板ホルダ２８１２は、基板２８１１を保持する機能を有する。例えば、基板２８１１を静電チャックまたは機械的にチャックする機能を有する。また、高周波電源２８１６から電力を供給される電極としての機能を有する。また、内部に加熱機構２８１３を有し、基板２８１１を加熱する機能を有する。

［０３１０］

真空ポンプ２８１７としては、例えば、ドライポンプ、メカニカルブースターポンプ、イオンポンプ、チタンサブリメーションポンプ、クライオポンプまたはターボ分子ポンプなどを用いることができる。また、真空ポンプ２８１７に加えて、クライオトラップを用いてもよい。クライオポンプおよびクライオトラップを用いると、水を効率よく排気できて特に好ましい。

［０３１１］

また、加熱機構２８１３としては、例えば、抵抗発熱体などを用いて加熱する加熱機構とすればよい。または、加熱されたガスなどの媒体からの熱伝導または熱輻射によって、加熱する加熱機構としてもよい。例えば、ＧＲＴＡ（Ｇａｓ　Ｒａｐｉｄ　Ｔｈｅｒｍａｌ　Ａｎｎｅａｌｉｎｇ）またはＬＲＴＡ（Ｌａｍｐ　Ｒａｐｉｄ　Ｔｈｅｒｍａｌ　Ａｎｎｅａｌｉｎｇ）などのＲＴＡ

（Ｒａｐｉｄ　Ｔｈｅｒｍａｌ　Ａｎｎｅａｌｉｎｇ）を用いることができる。ＧＲＴＡは、高温のガスを用いて加熱処理を行う。ガスとしては、不活性ガスが用いられる。

［０３１２］

また、ガス供給源２８０１は、マスフローコントローラを介して、精製機と接続されていてもよい。ガスは、露点が－８０℃以下、好ましくは－１００℃以下であるガスを用いることが好ましい。例えば、酸素ガス、窒素ガス、および希ガス（アルゴンガスなど）を用いればよい。

［０３１３］

誘電体板２８０９としては、例えば、酸化シリコン（石英）、酸化アルミニウム（アルミナ）または酸化イットリウム（イットリア）などを用いればよい。また、誘電体板２８０９の表面に、さらに別の保護層が形成されていてもよい。保護層としては、酸化マグネシウム、酸化チタン、酸化クロム、酸化ジルコニウム、酸化ハフニウム、酸化タンタル、酸化シリコン、酸化アルミニウムまたは酸化イットリウムなどを用いればよい。誘電体板２８０９は、後述する高密度プラズマ２８１０の特に高密度領域に曝されることになるため、保護層を設けることで損傷を緩和することができる。その結果、処理時のパーティクルの増加などを抑制できる。

［０３１４］

高周波発生器２８０３では、例えば、０．３ＧＨｚ以上３．０ＧＨｚ以下、０．７ＧＨｚ以上１．１ＧＨｚ以下、または２．２ＧＨｚ以上２．８ＧＨｚ以下のマイクロ波を発生させる機能を有する。高周波発生器２８０３で発生させたマイクロ波は、導波管２８０４を介してモード変換器２８０５に伝わる。モード変換器２８０５では、ＴＥ（Ｔｒａｎｓｖｅｒｓｅ　Ｅｌｅｃｔｒｉｃ）モードとして伝わったマイクロ波がＴＥＭ（Ｔｒａｎｓｖｅｒｓｅ　Ｅｌｅｃｔｒｉｃ　ａｎｄ　Ｍａｇｎｅｔｉｃ）モードに変換される。そして、マイクロ波は、導波管２８０７を介してスロットアンテナ板２８０８に伝わる。スロットアンテナ板２８０８は、複数のスロット孔が設けられており、マイクロ波は該スロット孔および誘電体板２８０９を通過する。そして、誘電体板２８０９の下方に電界を生じさせ、高密度プラズマ２８１０を生成することができる。高密度プラズマ２８１０には、ガス供給源２８０１から供給されたガス種に応じたイオンおよびラジカルが存在する。例えば、酸素ラジカルなどが存在する。

［０３１５］

このとき、高密度プラズマ２８１０で生成されたイオンおよびラジカルによって、基板２８１１上の膜などを改質することができる。なお、高周波電源２８１６を用いて、基板２８１１側にバイアスを印加すると好ましい場合がある。高周波電源２８１６には、例えば、１３．５６ＭＨｚ、２７．１２ＭＨｚなどの周波数のＲＦ（Ｒａｄｉｏ　Ｆｒｅｑｕｅｎｃｙ）電源を用いればよい。基板側にバイアスを印加することで、高密度プラズマ２８１０中のイオンを基板２８１１上の膜などの開口部の奥まで効率よく到達させることができる。

［０３１６］

例えば、チャンバー２７０６ｂまたはチャンバー２７０６ｃで、ガス供給源２８０１から酸素を導入することで高密度プラズマ２８１０を用いた酸素ラジカル処理を行うことができる。

［０３１７］

次に、チャンバー２７０６ａおよびチャンバー２７０６ｄについて図９に示す断面模式図を用いて説明する。

［０３１８］

チャンバー２７０６ａおよびチャンバー２７０６ｄは、例えば、被処理物に電磁波の照射を行うことが可能なチャンバーである。なお、チャンバー２７０６ａと、チャンバー２７０６ｄと、は電磁波の種類が異なるのみである。そのほかの構成については共通する部分が多いため、以下ではまとめて説明を行う。

［０３１９］

チャンバー２７０６ａおよびチャンバー２７０６ｄは、一または複数のランプ２８２０と、基板ホルダ２８２５と、ガス導入口２８２３と、排気口２８３０と、を有する。また、チャンバー２７０６ａおよびチャンバー２７０６ｄの外などには、ガス供給源２８２１と、バルブ２８２２と、真空ポンプ２８２８と、バルブ２８２９と、が設けられる。

［０３２０］

ガス供給源２８２１は、バルブ２８２２を介してガス導入口２８２３に接続している。真空ポンプ２８２８は、バルブ２８２９を介して排気口２８３０に接続している。ランプ２８２０は、基板ホルダ２８２５と向かい合って配置されている。基板ホルダ２８２５は、基板２８２４を保持する機能を有する。また、基板ホルダ２８２５は、内部に加熱機構２８２６を有し、基板２８２４を加熱する機能を有する。

［０３２１］

ランプ２８２０としては、例えば、可視光または紫外光などの電磁波を放射する機能を有する光源を用いればよい。例えば、波長１０ｎｍ以上２５００ｎｍ以下、５００ｎｍ以上２０００ｎｍ以下、または４０ｎｍ以上３４０ｎｍ以下にピークを有する電磁波を放射する機能を有する光源を用いればよい。

［０３２２］

例えば、ランプ２８２０としては、ハロゲンランプ、メタルハライドランプ、キセノンアークランプ、カーボンアークランプ、高圧ナトリウムランプまたは高圧水銀ランプなどの光源を用いればよい。

［０３２３］

例えば、ランプ２８２０から放射される電磁波は、その一部または全部が基板２８２４に吸収されることで基板２８２４上の膜などを改質することができる。例えば、欠陥の生成もしくは低減、または不純物の除去などができる。なお、基板２８２４を加熱しながら行うと、効率よく、欠陥の生成もしくは低減、または不純物の除去などができる。

［０３２４］

または、例えば、ランプ２８２０から放射される電磁波によって、基板ホルダ２８２５を発熱させ、基板２８２４を加熱してもよい。その場合、基板ホルダ２８２５の内部に加熱機構２８２６を有さなくてもよい。

［０３２５］

真空ポンプ２８２８は、真空ポンプ２８１７についての記載を参照する。また、加熱機構２８２６は、加熱機構２８１３についての記載を参照する。また、ガス供給源２８２１は、ガス供給源２８０１についての記載を参照する。

［０３２６］

本実施の形態に用いることができるマイクロ波処理装置は、上記に限らない。図１０に示すマイクロ波処理装置２９００を用いることができる。マイクロ波処理装置２９００は、石英管２９０１、

排気口２８１９、ガス供給源２８０１、バルブ２８０２、高周波発生器２８０３、導波管２８０４、ガス管２８０６、真空ポンプ２８１７、およびバルブ２８１８を有する。また、マイクロ波処理装置２９００は、石英管２９０１内に、複数の基板２８１１（２８１１＿１乃至２８１１＿ｎ、ｎは２以上の整数）を保持する基板ホルダ２９０２を有する。また、マイクロ波処理装置２９００は、石英管２９０１の外側に、加熱手段２９０３を有していてもよい。

［０３２７］

高周波発生器２８０３で発生させたマイクロ波は、導波管２８０４を介して、石英管２９０１内に設けられた基板に照射される。真空ポンプ２８１７は、バルブ２８１８を介して排気口２８１９と接続されており、石英管２９０１内部の圧力を調整することができる。また、ガス供給源２８０１は、バルブ２８０２を介して、ガス管２８０６に接続されており、石英管２９０１内に所望のガスを導入することができる。また、加熱手段２９０３により、石英管２９０１内の基板２８１１を、所望の温度に加熱することができる。または、加熱手段２９０３により、ガス供給源２８０１から供給されるガスを加熱してもよい。マイクロ波処理装置２９００により、基板２８１１に対して、加熱処理と、マイクロ波処理を同時に行うことができる。また、基板２８１１を加熱した後に、マイクロ波処理を行うことができる。また、基板２８１１に対してマイクロ波処理を行った後に、加熱処理を行うことができる。

［０３２８］

基板２８１１＿１乃至基板２８１１＿ｎは、全て半導体装置、または記憶装置を形成する処理基板でもよいし、一部の基板をダミー基板としてもよい。例えば、基板２８１１＿１、および基板２８１１＿ｎをダミー基板とし、基板２８１１＿２乃至基板２８１１＿ｎ－１を処理基板としてもよい。また、基板２８１１＿１、基板２８１１＿２、基板２８１１＿ｎ－１、および基板２８１１＿ｎをダミー基板とし、基板２８１１＿３乃至基板２８１１＿ｎ－２を処理基板としてもよい。ダミー基板を用いることで、マイクロ波処理、または加熱処理の際、複数の処理基板が均一に処理され、処理基板間のばらつきを低減できるため好ましい。例えば、高周波発生器２８０３、および導波管２８０４に最も近い処理基板上にダミー基板を配置することで、該処理基板が直接マイクロ波に曝されることを抑制できるため、好ましい。

［０３２９］

以上の製造装置を用いることで、被処理物への不純物の混入を抑制しつつ、膜の改質などが可能となる。

［０３３０］

＜構成例２＞

前述のトランジスタ２０と異なる構成例を、図１１Ａおよび図１１Ｂに示す。図１１Ａは、トランジスタ２０Ａのチャネル長方向の断面図であり、図１１Ｂは、トランジスタ２０Ａのチャネル幅方向の断面図である。

［０３３１］

トランジスタ２０Ａは、絶縁体８２上に絶縁体８３を有する点で、トランジスタ２０と主に異なる。以降では、前述の構成例１と異なる部分について主に説明し、重複する部分については説明を省略する。

［０３３２］

絶縁体８３は、絶縁体１４の上面、絶縁体７５の側面、絶縁体８０の側面、絶縁体８２の側面、

及び絶縁体８２の上面と接するように設けられている。当該構成により、絶縁体８０は、絶縁体８３及び絶縁体１４で封止された領域内に配置されている。ここで、絶縁体８３は、水、及び水素などの不純物が、上記封止された領域内に拡散するのを抑制するバリア絶縁膜として機能することが好ましい。当該構成にすることで、上記封止された領域外に含まれる水、水素などの不純物が、上記封止された領域内に混入するのを抑制できる。したがって、水、水素などの不純物が、絶縁体８０に混入するのを抑制できる。また、水、水素などの不純物が、絶縁体８０を介して酸化物３０に混入するのを抑制できる。

［０３３３］

絶縁体８３は、絶縁体１４及び絶縁体７５に適用可能な絶縁体を用いることができる。例えば、絶縁体８３として、より水素バリア性が高い窒化シリコンを用いることが好ましい。この場合、絶縁体８３は、少なくとも窒素と、シリコンと、を有する絶縁体となる。

［０３３４］

＜構成例３＞

前述のトランジスタ２０Ａと異なる構成例を、図１１Ｃおよび図１１Ｄに示す。図１１Ｃは、トランジスタ２０Ｂのチャネル長方向の断面図であり、図１１Ｄは、トランジスタ２０Ｂのチャネル幅方向の断面図である。

［０３３５］

トランジスタ２０Ｂは、導電体１５が絶縁体２２と絶縁体２４の間に設けられている点で、トランジスタ２０Ａと主に異なる。以降では、前述の構成例２と異なる部分について主に説明し、重複する部分については説明を省略する。

［０３３６］

導電体１５は、絶縁体２２と絶縁体２４の間に配置されている。また、導電体１５は、絶縁体２３ａと絶縁体２３ｂとの間に配置されている。つまり、チャネル長方向の断面視において、導電体１５の端部と、絶縁体２４の端部とは一致または概略一致する。

［０３３７］

上記構成により、導電体１５は、絶縁体７５及び絶縁体１４で封止された領域内に配置される。したがって、水、水素などの不純物が、導電体１５に混入するのを抑制できる。

［０３３８］

図１１Ｄに示すように、導電体１５は、絶縁体２４、及び絶縁体５０と接する領域を有する。そこで、導電体１５は２層の積層構造として設け、絶縁体２４及び絶縁体５０と接する側の層は、酸素の拡散を抑制する機能を有する導電性材料を用いて形成されることが好ましい。当該構成により、絶縁体２２と接する側の層が酸化して導電率が低下することを抑制できる。なお、導電体１５は、単層、または３層以上の積層構造として設ける構成にしてもよい。

［０３３９］

図１１Ｄに示すように、導電体１５はチャネル幅方向に延在しており、配線としても機能する。なお、チャネル幅方向の断面視において、導電体１５の側面は、絶縁体２４の側面と一致または概略一致してもよい。このとき、導電体１５の下に配線として機能する導電体を設け、当該導電体と導電体１５とを電気的に接続する構成にしてもよい。

［０３４０］

＜構成例４＞

前述のトランジスタ２０Ａと異なる構成例を、図１２Ａおよび図１２Ｂに示す。図１２Ａは、トランジスタ２０Ｃのチャネル長方向の断面図であり、図１２Ｂは、トランジスタ２０Ｃのチャネル幅方向の断面図である。

［０３４１］

トランジスタ２０Ｃは、絶縁体２２の上面の一部が絶縁体７５と接する点で、トランジスタ２０Ａと主に異なる。以降では、前述の構成例２と異なる部分について主に説明し、重複する部分については説明を省略する。

［０３４２］

絶縁体２２は、図１２Ａに示すように、絶縁体２３ａ及び絶縁体２３ｂのチャネル長方向の端部よりも外側の領域においても延在して設けられている。これにより、絶縁体２２を、リソグラフィー法を用いて絶縁膜２３Ａを加工することで絶縁体２３ａ及び絶縁体２３ｂを形成する際の、エッチングストッパ膜として機能させることができる。

［０３４３］

また、絶縁体２２としてアモルファス構造を有する金属酸化物を用いる場合、上面視における絶縁体２２の面積を大きくすることで、捕獲または固着できる水素量を増やすことができる。したがって、絶縁体２４、及び酸化物３０の水素濃度を低減できる。

［０３４４］

＜構成例５＞

前述のトランジスタ２０Ｃと異なる構成例を、図１２Ｃおよび図１２Ｄに示す。図１２Ｃは、トランジスタ２０Ｄのチャネル長方向の断面図であり、図１２Ｄは、トランジスタ２０Ｄのチャネル幅方向の断面図である。

［０３４５］

トランジスタ２０Ｄは、絶縁体１６を有する点、および、導電体１５が絶縁体１４と絶縁体２２との間に設けられている点で、トランジスタ２０Ｃと主に異なる。以降では、前述の構成例４と異なる部分について主に説明し、重複する部分については説明を省略する。

［０３４６］

図１２Ｃに示すように、絶縁体１４上に導電体１５及び絶縁体１６が設けられ、導電体１５上及び絶縁体１６上に絶縁体２２が設けられている。また、導電体１５は絶縁体１６に埋め込まれるように配置されている。当該構成により、導電体１５は、絶縁体７５及び絶縁体１４で封止された領域内に配置されている。したがって、水、水素などの不純物が、導電体１５に混入するのを抑制できる。

［０３４７］

絶縁体１６は層間膜として機能する。よって、絶縁体１６は、絶縁体１４よりも誘電率が低いことが好ましい。誘電率が低い材料を層間膜とすることで、配線間に生じる寄生容量を低減できる。絶縁体１６として、絶縁体８０に適用可能な絶縁性材料を用いて形成するとよい。

［０３４８］

図１２Ｃに示すように、導電体１５は、絶縁体１６と接する領域を有する。そこで、導電体１５は２層の積層構造として設け、絶縁体１６と接する層は、酸素の拡散を抑制する機能を有する導電性材料を用いて形成されることが好ましい。当該構成により、絶縁体１６と接しない層が酸化して導電率が低下することを抑制できる。なお、導電体１５は、単層、または３層以上の積層構造とし

て設ける構成にしてもよい。

［０３４９］

＜構成例６＞

前述のトランジスタ２０Ａと異なる構成例を、図１３Ａおよび図１３Ｂに示す。図１３Ａは、トランジスタ２０Ｅのチャネル長方向の断面図であり、図１３Ｂは、トランジスタ２０Ｅのチャネル幅方向の断面図である。

［０３５０］

トランジスタ２０Ｅは、絶縁体２４が凸部を有する点で、トランジスタ２０Ａと主に異なる。以降では、前述の構成例２と異なる部分について主に説明し、重複する部分については説明を省略する。

［０３５１］

絶縁体２４は、酸化物３０及び導電体６０と重なる領域に凸部を有する。当該凸部は、絶縁体２３ａと絶縁体２３ｂとの間に位置する。また、絶縁体２４は、絶縁体７５と接する領域を有する。また、絶縁体２４の最上部は、絶縁体２３ａの上面、及び絶縁体２３ｂの上面と高さが一致または概略一致する。

［０３５２］

絶縁体２３ａ、及び絶縁体２３ｂは、絶縁体２４上に配置されている。つまり、絶縁体２４の一部は、絶縁体２３ａまたは絶縁体２３ｂと、絶縁体２２との間に位置する。また、絶縁体２４は、絶縁体２３ａ及び絶縁体２３ｂのそれぞれと重なる領域を有する。

［０３５３］

上記構成にすることで、上面視における絶縁体２２の面積を大きくし、絶縁体２４に含まれる過剰酸素の量を増やすことができる。さらに、酸化物３０のソース領域及びドレイン領域と重なるように絶縁体２３ａ及び絶縁体２３ｂを設けることで、絶縁体２４の凸部を介して、酸化物３０のチャネル形成領域に酸素を効率よく供給することができる。

［０３５４］

図１３Ａには、絶縁体２４の端部と、絶縁体２２の端部とが一致または概略一致している構成を示しているが、本発明はこれに限られない。絶縁体２２は、絶縁体２４の端部よりも外側の領域においても延在していてもよい。

［０３５５］

＜構成例７＞

前述のトランジスタ２０Ｅと異なる構成例を、図１３Ｃおよび図１３Ｄに示す。図１３Ｃは、トランジスタ２０Ｆのチャネル長方向の断面図であり、図１３Ｄは、トランジスタ２０Ｆのチャネル幅方向の断面図である。

［０３５６］

トランジスタ２０Ｆは、絶縁体２２及び絶縁体２４が絶縁体８３と接するように延在して設けられ、絶縁体７５が開口９１を有する点で、トランジスタ２０Ｅと主に異なる。以降では、前述の構成例６と異なる部分について主に説明し、重複する部分については説明を省略する。

［０３５７］

絶縁体２２及び絶縁体２４は、絶縁体２３ａおよび絶縁体２３ｂの端部よりも外側の領域においても延在して設けられている。これにより、絶縁体２２及び絶縁体２４の一部は、絶縁体７５と、

絶縁体１４との間に位置する。また、絶縁体２２及び絶縁体２４は、絶縁体８３と接する領域を有する。

［０３５８］

絶縁体７５は、酸化物３０と重ならない領域において、絶縁体２４と接する領域を有する。また、絶縁体７５は、酸化物３０と重ならない領域において、開口９１を有する。なお、図１３Ｃの一点鎖線で示す開口９１は、絶縁体２３ａと絶縁体８３の間の領域、及び絶縁体２３ｂと絶縁体８３の間の領域のそれぞれに設けられている。絶縁体８０は、開口９１を介して絶縁体２４と接する。当該構成にすることで、絶縁体８０に含まれる酸素を、開口９１および絶縁体２４を介して、酸化物３０のチャネル形成領域に供給することができる。つまり、トランジスタ２０Ｆのチャネル幅方向、及びチャネル長方向において、絶縁体８０に含まれる酸素を、酸化物３０のチャネル形成領域に供給することができる。

［０３５９］

本発明の一態様により、電気特性のばらつきが少ないトランジスタを提供できる。または、本発明の一態様により、信頼性が良好なトランジスタを提供できる。または、本発明の一態様により、良好な電気特性を有するトランジスタを提供できる。または、本発明の一態様により、新規のトランジスタを提供できる。

［０３６０］

以上、本実施の形態に示す構成、方法などは、本実施の形態に示す他の構成、方法、他の実施の形態に示す構成、方法などと適宜組み合わせて用いることができる。

［０３６１］

（実施の形態２）

本実施の形態では、図１４Ａ乃至図３１Ｃを用いて、本発明の一態様に係るトランジスタ２００を有する半導体装置の一例、およびその作製方法について説明する。

［０３６２］

＜半導体装置の構成例＞

図１４を用いて、トランジスタ２００を有する半導体装置の構成を説明する。図１４Ａ乃至図１４Ｄは、トランジスタ２００を有する半導体装置の上面図および断面図である。図１４Ａは、当該半導体装置の上面図である。また、図１４Ｂ乃至図１４Ｄは、当該半導体装置の断面図である。ここで、図１４Ｂは、図１４ＡにＡ１－Ａ２の一点鎖線で示す部位の断面図であり、トランジスタ２００のチャネル長方向の断面図でもある。また、図１４Ｃは、図１４ＡにＡ３－Ａ４の一点鎖線で示す部位の断面図であり、トランジスタ２００のチャネル幅方向の断面図でもある。また、図１４Ｄは、図１４ＡにＡ５－Ａ６の一点鎖線で示す部位の断面図である。なお、図１４Ａの上面図では、図の明瞭化のために一部の要素を省いている。

［０３６３］

本発明の一態様の半導体装置は、基板（図示せず）上の絶縁体２１２と、絶縁体２１２上の絶縁体２１４と、絶縁体２１４上のトランジスタ２００と、トランジスタ２００上の絶縁体２８０と、絶縁体２８０上の絶縁体２８２と、絶縁体２８２上の絶縁体２８３と、絶縁体２８３上の絶縁体２７４と、絶縁体２８３上、および絶縁体２７４上の絶縁体２８５と、を有する。絶縁体２１２、絶縁体２１４、絶縁体２８０、絶縁体２８２、絶縁体２８３、絶縁体２８５、および絶縁体２７４は層間膜として機能する。また、トランジスタ２００と電気的に接続し、プラグとして機能する導電

体２４０（導電体２４０ａ、および導電体２４０ｂ）を有する。なお、プラグとして機能する導電体２４０の側面に接して絶縁体２４１（絶縁体２４１ａ、および絶縁体２４１ｂ）が設けられる。また、絶縁体２８５上、および導電体２４０上には、導電体２４０と電気的に接続し、配線として機能する導電体２４６（導電体２４６ａ、および導電体２４６ｂ）が設けられる。また、絶縁体２８３は、絶縁体２１４の上面の一部、絶縁体２２２の側面、絶縁体２７５の側面、絶縁体２８０の側面、ならびに絶縁体２８２の側面および上面と接する。

［０３６４］

絶縁体２８０、絶縁体２８２、絶縁体２８３、および絶縁体２８５の開口の内壁に接して絶縁体２４１ａが設けられ、絶縁体２４１ａの側面に接して導電体２４０ａが設けられている。また、絶縁体２８０、絶縁体２８２、絶縁体２８３、および絶縁体２８５の開口の内壁に接して絶縁体２４１ｂが設けられ、絶縁体２４１ｂの側面に接して導電体２４０ｂが設けられている。なお、絶縁体２４１は、第１の絶縁体が上記開口の内壁に接して設けられ、さらに内側に第２の絶縁体が設けられる構造になっている。また、導電体２４０は、第１の導電体が絶縁体２４１の側面に接して設けられ、さらに内側に第２の導電体が設けられる構造になっている。ここで、導電体２４０の上面の高さと、導電体２４６と重なる領域の、絶縁体２８５の上面の高さと、は同程度にできる。

［０３６５］

なお、トランジスタ２００では、絶縁体２４１の第１の絶縁体および絶縁体２４１の第２の絶縁体を積層する構成について示しているが、本発明はこれに限られるものではない。例えば、絶縁体２４１を単層、または３層以上の積層構造として設ける構成にしてもよい。また、トランジスタ２００では、導電体２４０の第１の導電体および導電体２４０の第２の導電体を積層する構成について示しているが、本発明はこれに限られるものではない。例えば、導電体２４０を単層、または３層以上の積層構造として設ける構成にしてもよい。構造体が積層構造を有する場合、形成順に序数を付与し、区別する場合がある。

［０３６６］

［トランジスタ２００］

図１４Ａ乃至図１４Ｄに示すように、トランジスタ２００は、絶縁体２１４上の絶縁体２１６と、絶縁体２１６に埋め込まれるように配置された導電体２０５（導電体２０５ａ、および導電体２０５ｂ）と、絶縁体２１６上、および導電体２０５上の絶縁体２２２と、絶縁体２２２上の、絶縁体２２４、絶縁体２２３ａ、及び絶縁体２２３ｂと、絶縁体２２４上、絶縁体２２３ａ上、及び絶縁体２２３ｂ上の酸化物２３０と、酸化物２３０上の導電体２４２ａと、導電体２４２ａ上の絶縁体２７１ａと、酸化物２３０上の導電体２４２ｂと、導電体２４２ｂ上の絶縁体２７１ｂと、酸化物２３０上の絶縁体２５２と、絶縁体２５２上の絶縁体２５０と、絶縁体２５０上の絶縁体２５４と、絶縁体２５４上に位置し、酸化物２３０の一部と重なる導電体２６０（導電体２６０ａ、および導電体２６０ｂ）と、絶縁体２２２、絶縁体２２４、絶縁体２２３ａ、絶縁体２２３ｂ、酸化物２３０、導電体２４２ａ、導電体２４２ｂ、絶縁体２７１ａ、および絶縁体２７１ｂ上に配置される絶縁体２７５と、を有する。ここで、図１４Ｂおよび図１４Ｃに示すように、絶縁体２５２は、絶縁体２２２の上面、絶縁体２２４の側面、酸化物２３０の側面および上面、導電体２４２の側面、絶縁体２７１の側面、絶縁体２７５の側面、絶縁体２８０の側面、並びに絶縁体２５０の下面と接する。また、導電体２６０の上面は、絶縁体２５４の最上部、絶縁体２５０の最上部、絶縁体２５２の最上部、および絶縁体２８０の上面と高さが一致または概略一致するように配置される。また、

絶縁体２８２は、導電体２６０、絶縁体２５２、絶縁体２５０、絶縁体２５４、および絶縁体２８０のそれぞれの上面の少なくとも一部と接する。絶縁体２８３は、絶縁体２１６の側面と接する。

［０３６７］

なお、以下において、絶縁体２２３ａと絶縁体２２３ｂをまとめて絶縁体２２３と呼ぶ場合がある。また、導電体２４２ａと導電体２４２ｂをまとめて導電体２４２と呼ぶ場合がある。また、絶縁体２７１ａと絶縁体２７１ｂをまとめて絶縁体２７１と呼ぶ場合がある。

［０３６８］

絶縁体２８０、および絶縁体２７５には、酸化物２３０に達する開口が設けられる。当該開口内に、絶縁体２５２、絶縁体２５０、絶縁体２５４、および導電体２６０が配置されている。また、トランジスタ２００のチャネル長方向において、絶縁体２７１ａ、および導電体２４２ａと、絶縁体２７１ｂ、および導電体２４２ｂと、の間に導電体２６０、絶縁体２５２、絶縁体２５０、および絶縁体２５４が設けられている。絶縁体２５４は、導電体２６０の側面と接する領域と、導電体２６０の底面と接する領域と、を有する。

［０３６９］

導電体２６０は、第１のゲート（トップゲートともいう）電極として機能し、導電体２０５は、第２のゲート（バックゲートともいう）電極として機能する。また、絶縁体２５２、絶縁体２５０および絶縁体２５４は、第１のゲート絶縁体として機能し、絶縁体２２２、および絶縁体２２４は、第２のゲート絶縁体として機能する。なお、ゲート絶縁体は、ゲート絶縁層、またはゲート絶縁膜と呼ぶ場合もある。また、導電体２４２ａは、ソース電極またはドレイン電極の一方として機能し、導電体２４２ｂは、ソース電極またはドレイン電極の他方として機能する。また、酸化物２３０の導電体２６０と重畳する領域の少なくとも一部はチャネル形成領域として機能する。絶縁体２１６は層間膜として機能する。

［０３７０］

ここで、図１４Ｂにおけるチャネル形成領域およびその近傍の拡大図を図１５Ａに示す。図１５Ａに示すように、酸化物２３０は、トランジスタ２００のチャネル形成領域として機能する領域２３０ｃと、領域２３０ｃを挟むように設けられ、トランジスタ２００のソース領域またはドレイン領域として機能する領域２３０ａおよび領域２３０ｂと、を有する。

［０３７１］

なお、酸化物２３０は、先の実施の形態で説明した酸化物３０に対応する。領域２３０ｃは、先の実施の形態で説明した領域３０ｃに対応する。また、領域２３０ａおよび領域２３０ｂはそれぞれ、先の実施の形態で説明した領域３０ａおよび領域３０ｂに対応する。よって、酸化物２３０が有する領域（領域２３０ｃ、領域２３０ａ、および領域２３０ｂなど）の詳細については、実施の形態１で説明した内容を参酌できる。

［０３７２］

トランジスタ２００は、チャネル形成領域を含む酸化物２３０に、半導体として機能する金属酸化物（以下、酸化物半導体ともいう）を用いることが好ましい。例えば、酸化物２３０として、先の実施の形態で説明した酸化物３０に適用可能な金属酸化物を用いることができる。また、酸化物２３０の構成については、実施の形態１で説明した内容を参酌できる。

［０３７３］

図１４Ｃに示すように、トランジスタ２００のチャネル幅方向の断面視において、酸化物２３０

の側面と酸化物２３０の上面との間に、湾曲面を有してもよい。つまり、当該側面の端部と当該上面の端部は、湾曲してもよい（以下、ラウンド状ともいう）。

［０３７４］

上記湾曲面での曲率半径は、０ｎｍより大きく、導電体２４２と重なる領域の酸化物２３０の膜厚より小さい、または、上記湾曲面を有さない領域の長さの半分より小さいことが好ましい。上記湾曲面での曲率半径は、具体的には、０ｎｍより大きく２０ｎｍ以下、好ましくは１ｎｍ以上１５ｎｍ以下、さらに好ましくは２ｎｍ以上１０ｎｍ以下とする。このような形状にすることで、絶縁体２５２、絶縁体２５０、絶縁体２５４、および導電体２６０の、酸化物２３０への被覆性を高めることができる。

［０３７５］

また、図１４Ｃなどに示すように、酸化物２３０の上面および側面に接して、酸化アルミニウムなどにより形成される絶縁体２５２を設けることにより、酸化物２３０と絶縁体２５２の界面およびその近傍に、酸化物２３０に含まれるインジウムが偏在する場合がある。これにより、酸化物２３０の表面近傍が、インジウム酸化物に近い原子数比、またはＩｎ－Ｚｎ酸化物に近い原子数比になる。このように酸化物２３０、特に酸化物２３０の表面近傍のインジウムの原子数比が大きくなることで、トランジスタ２００の電界効果移動度を向上させることができる。

［０３７６］

絶縁体２１２、絶縁体２１４、絶縁体２７１、絶縁体２７５、絶縁体２８２、絶縁体２８３、および絶縁体２８５の少なくとも一は、水、水素などの不純物が、基板側から、または、トランジスタ２００の上方からトランジスタ２００に拡散するのを抑制するバリア絶縁膜として機能することが好ましい。したがって、絶縁体２１２、絶縁体２１４、絶縁体２７１、絶縁体２７５、絶縁体２８２、絶縁体２８３、および絶縁体２８５の少なくとも一は、水素原子、水素分子、水分子、窒素原子、窒素分子、酸化窒素分子（N_2O、ＮＯ、NO_2など）、銅原子などの不純物の拡散を抑制する機能を有する（上記不純物が透過しにくい）絶縁性材料を用いることが好ましい。または、酸素（例えば、酸素原子、酸素分子などの少なくとも一）の拡散を抑制する機能を有する（上記酸素が透過しにくい）絶縁性材料を用いることが好ましい。

［０３７７］

絶縁体２１２、絶縁体２１４、絶縁体２７１、絶縁体２７５、絶縁体２８２、絶縁体２８３、および絶縁体２８５としては、水、水素などの不純物、および酸素の拡散を抑制する機能を有する絶縁体を用いることが好ましく、例えば、酸化アルミニウム、酸化マグネシウム、酸化ハフニウム、酸化ガリウム、インジウムガリウム亜鉛酸化物、窒化シリコン、または窒化酸化シリコンなどを用いることができる。例えば、絶縁体２１２、絶縁体２７５、および絶縁体２８３として、より水素バリア性が高い、窒化シリコンなどを用いることが好ましい。また、例えば、絶縁体２１４、絶縁体２７１、絶縁体２８２、および絶縁体２８５として、水素を捕獲および水素を固着する機能が高い、酸化アルミニウムまたは酸化マグネシウムなどを用いることが好ましい。これにより、水、水素などの不純物が絶縁体２１２、および絶縁体２１４を介して、基板側からトランジスタ２００側に拡散するのを抑制できる。または、水、水素などの不純物が絶縁体２８５よりも外側に配置されている層間絶縁膜などから、トランジスタ２００側に拡散するのを抑制できる。または、絶縁体２２４などに含まれる酸素が、絶縁体２１２、および絶縁体２１４を介して基板側に、拡散するのを抑制できる。または、絶縁体２８０などに含まれる酸素が、絶縁体２８２などを介してトランジス

タ２００より上方に、拡散するのを抑制できる。この様に、トランジスタ２００を、水、水素などの不純物、および酸素の拡散を抑制する機能を有する絶縁体２１２、絶縁体２１４、絶縁体２７１、絶縁体２７５、絶縁体２８２、絶縁体２８３、および絶縁体２８５で取り囲む構造とすることが好ましい。

［０３７８］

ここで、絶縁体２１２、絶縁体２１４、絶縁体２７１、絶縁体２７５、絶縁体２８２、絶縁体２８３、および絶縁体２８５として、アモルファス構造を有する酸化物を用いることが好ましい。例えば、AlO_x（ｘは０より大きい任意数）、またはMgO_y（ｙは０より大きい任意数）などの金属酸化物を用いることが好ましい。このようなアモルファス構造を有する金属酸化物では、酸素原子がダングリングボンドを有しており、当該ダングリングボンドで水素を捕獲または固着する性質を有する場合がある。このようなアモルファス構造を有する金属酸化物をトランジスタ２００の構成要素として用いる、またはトランジスタ２００の周囲に設けることで、トランジスタ２００に含まれる水素、またはトランジスタ２００の周囲に存在する水素を捕獲または固着することができる。特にトランジスタ２００のチャネル形成領域に含まれる水素を捕獲または固着することが好ましい。アモルファス構造を有する金属酸化物をトランジスタ２００の構成要素として用いる、またはトランジスタ２００の周囲に設けることで、良好な特性を有し、信頼性の高いトランジスタ２００、および半導体装置を作製できる。

［０３７９］

また、絶縁体２１２、絶縁体２１４、絶縁体２７１、絶縁体２７５、絶縁体２８２、絶縁体２８３、および絶縁体２８５は、アモルファス構造であることが好ましいが、一部に多結晶構造の領域が形成されていてもよい。また、絶縁体２１２、絶縁体２１４、絶縁体２７１、絶縁体２７５、絶縁体２８２、絶縁体２８３、および絶縁体２８５は、アモルファス構造の層と、多結晶構造の層と、が積層された多層構造であってもよい。例えば、アモルファス構造の層の上に多結晶構造の層が形成された積層構造でもよい。

［０３８０］

絶縁体２１２、絶縁体２１４、絶縁体２７１、絶縁体２７５、絶縁体２８２、絶縁体２８３、および絶縁体２８５の成膜は、例えば、スパッタリング法を用いて行えばよい。スパッタリング法は、成膜ガスに水素を含む分子を用いなくてよいため、絶縁体２１２、絶縁体２１４、絶縁体２７１、絶縁体２７５、絶縁体２８２、絶縁体２８３、および絶縁体２８５の水素濃度を低減できる。なお、成膜方法は、スパッタリング法に限られるものではなく、ＣＶＤ法、ＭＢＥ法、ＰＬＤ法、ＡＬＤ法などを適宜用いてもよい。

［０３８１］

また、絶縁体２１２、絶縁体２７５、および絶縁体２８３の抵抗率を低くすることが好ましい場合がある。例えば、絶縁体２１２、絶縁体２７５、および絶縁体２８３の抵抗率を概略1×10^{13}Ωｃｍとすることで、半導体装置作製工程のプラズマ等を用いる処理において、絶縁体２１２、絶縁体２７５、および絶縁体２８３が、導電体２０５、導電体２４２、導電体２６０、または導電体２４６のチャージアップを緩和することができる場合がある。絶縁体２１２、絶縁体２７５、および絶縁体２８３の抵抗率は、好ましくは、1×10^{10}Ωｃｍ以上1×10^{15}Ωｃｍ以下とする。

［０３８２］

また、絶縁体２１６、絶縁体２７４、絶縁体２８０、および絶縁体２８５は、絶縁体２１４より

も誘電率が低いことが好ましい。誘電率が低い材料を層間膜とすることで、配線間に生じる寄生容量を低減できる。例えば、絶縁体２１６、絶縁体２７４、絶縁体２８０、および絶縁体２８５として、酸化シリコン、酸化窒化シリコン、フッ素を添加した酸化シリコン、炭素を添加した酸化シリコン、炭素および窒素を添加した酸化シリコン、空孔を有する酸化シリコンなどを適宜用いればよい。

［０３８３］

導電体２０５は、酸化物２３０、および導電体２６０と、重なるように配置する。ここで、導電体２０５は、絶縁体２１６に形成された開口に埋め込まれて設けることが好ましい。また、導電体２０５の一部が絶縁体２１４に埋め込まれる場合がある。

［０３８４］

導電体２０５は、導電体２０５ａ、および導電体２０５ｂを有する。導電体２０５ａは、絶縁体２１６に形成された開口の底面および側壁に接して設けられる。導電体２０５ｂは、導電体２０５ａに形成された凹部に埋め込まれるように設けられる。ここで、導電体２０５ｂの上面の高さは、導電体２０５ａの上面の高さおよび絶縁体２１６の上面の高さと一致または概略一致する。

［０３８５］

ここで、導電体２０５ａは、水素原子、水素分子、水分子、窒素原子、窒素分子、酸化窒素分子（N_2O、NO、NO_2など）、銅原子などの不純物の拡散を抑制する機能を有する導電性材料を用いることが好ましい。または、酸素（例えば、酸素原子、酸素分子などの少なくとも一）の拡散を抑制する機能を有する導電性材料を用いることが好ましい。

［０３８６］

導電体２０５ａに、水素の拡散を低減する機能を有する導電性材料を用いることにより、導電体２０５ｂに含まれる水素などの不純物が、絶縁体２２４等を介して、酸化物２３０に拡散するのを防ぐことができる。また、導電体２０５ａに、酸素の拡散を抑制する機能を有する導電性材料を用いることにより、導電体２０５ｂが酸化して導電率が低下することを抑制できる。酸素の拡散を抑制する機能を有する導電性材料としては、例えば、チタン、窒化チタン、タンタル、窒化タンタル、ルテニウム、酸化ルテニウムなどを用いることが好ましい。したがって、導電体２０５ａとしては、上記導電性材料を単層または積層とすればよい。例えば、導電体２０５ａは、窒化チタンを用いればよい。

［０３８７］

また、導電体２０５ｂは、タングステン、銅、またはアルミニウムを主成分とする導電性材料を用いることが好ましい。例えば、導電体２０５ｂは、タングステンを用いればよい。

［０３８８］

なお、トランジスタ２００では、導電体２０５は、導電体２０５ａ、および導電体２０５ｂを積層する構成について示しているが、本発明はこれに限られるものではない。例えば、導電体２０５は、単層、または３層以上の積層構造として設ける構成にしてもよい。

［０３８９］

また、導電体２０５の電気抵抗率は、導電体２０５に印加する電位を考慮して設計され、導電体２０５の膜厚は当該電気抵抗率に合わせて設定される。また、図１４に示すトランジスタ２００において、導電体２０５の膜厚は、絶縁体２１６とほぼ同じになる。ここで、導電体２０５の設計が許す範囲で導電体２０５および絶縁体２１６の膜厚を薄くすることが好ましい。絶縁体２１６の膜

厚を薄くすることで、絶縁体２１６中に含まれる水素などの不純物の絶対量を低減できるため、当該不純物が酸化物２３０に拡散するのを低減できる。

［０３９０］

なお、導電体２０５は、実施の形態１で説明した導電体１５に対応する。よって、導電体２０５に用いる材料、及び構成などは、実施の形態１で説明した導電体１５の内容も参酌できる。また、実施の形態１に記載の導電体１５に用いる材料、及び構成などは、本実施の形態で説明する導電体２０５の記載も参酌できる。

［０３９１］

絶縁体２２２、および絶縁体２２４は、ゲート絶縁体として機能する。

［０３９２］

絶縁体２２２は、水素（例えば、水素原子、水素分子などの少なくとも一）の拡散を抑制する機能を有することが好ましい。また、絶縁体２２２は、酸素（例えば、酸素原子、酸素分子などの少なくとも一）の拡散を抑制する機能を有することが好ましい。例えば、絶縁体２２２は、絶縁体２２４よりも水素および酸素の一方または双方の拡散を抑制する機能を有することが好ましい。

［０３９３］

絶縁体２２２は、絶縁性材料であるアルミニウムおよびハフニウムの一方または双方の酸化物を含む絶縁体を用いるとよい。当該絶縁体として、酸化アルミニウム、酸化ハフニウム、アルミニウムおよびハフニウムを含む酸化物（ハフニウムアルミネート）などを用いることが好ましい。または、ハフニウムおよびジルコニウムを含む酸化物、例えばハフニウムジルコニウム酸化物を用いることが好ましい。このような材料を用いて絶縁体２２２を形成した場合、絶縁体２２２は、酸化物２３０から基板側への酸素の放出および、トランジスタ２００の周辺部から酸化物２３０への水素等の不純物の拡散を抑制する層として機能する。よって、絶縁体２２２を設けることで、水素等の不純物が、トランジスタ２００の内側へ拡散することを抑制し、酸化物２３０中の酸素欠損の生成を抑制できる。また、導電体２０５が、絶縁体２２４および、酸化物２３０が有する酸素と反応することを抑制できる。

［０３９４］

または、上記絶縁体に、例えば、酸化アルミニウム、酸化ビスマス、酸化ゲルマニウム、酸化ニオブ、酸化シリコン、酸化チタン、酸化タングステン、酸化イットリウム、酸化ジルコニウムを添加してもよい。または、これらの絶縁体を窒化処理してもよい。また、絶縁体２２２は、これらの絶縁体に酸化シリコン、酸化窒化シリコンまたは窒化シリコンを積層して用いてもよい。

［０３９５］

また、絶縁体２２２は、例えば、酸化アルミニウム、酸化ハフニウム、酸化タンタル、酸化ジルコニウム、ハフニウムジルコニウム酸化物などの、いわゆるｈｉｇｈ－ｋ材料を含む絶縁体を単層または積層で用いてもよい。トランジスタの微細化、および高集積化が進むと、ゲート絶縁体の薄膜化により、リーク電流などの問題が生じる場合がある。ゲート絶縁体として機能する絶縁体にｈｉｇｈ－ｋ材料を用いることで、物理膜厚を保ちながら、トランジスタ動作時のゲート電位の低減が可能となる。また、絶縁体２２２として、チタン酸ジルコン酸鉛（ＰＺＴ）、チタン酸ストロンチウム（$SrTiO_3$）、（Ｂａ，Ｓｒ）TiO_3（ＢＳＴ）などの誘電率が高い物質を用いることができる場合もある。

［０３９６］

酸化物２３０と接する絶縁体２２４は、例えば、酸化シリコン、酸化窒化シリコンなどを適宜用いればよい。

［０３９７］

また、トランジスタ２００の作製工程中において、酸化物２３０の表面が露出した状態で、加熱処理を行うと好適である。当該加熱処理は、例えば、１００℃以上６００℃以下、より好ましくは３５０℃以上５５０℃以下で行えばよい。なお、加熱処理は、窒素ガスもしくは不活性ガスの雰囲気、または酸化性ガスを１０ｐｐｍ以上、１％以上、もしくは１０％以上含む雰囲気で行う。例えば、加熱処理は酸素雰囲気で行うことが好ましい。これにより、酸化物２３０に酸素を供給して、酸素欠損の低減を図ることができる。また、加熱処理は減圧状態で行ってもよい。または、加熱処理は、窒素ガスもしくは不活性ガスの雰囲気で加熱処理した後に、脱離した酸素を補うために、酸化性ガスを１０ｐｐｍ以上、１％以上、または１０％以上含む雰囲気で行ってもよい。または、酸化性ガスを１０ｐｐｍ以上、１％以上、または１０％以上含む雰囲気で加熱処理した後に、連続して窒素ガスもしくは不活性ガスの雰囲気で加熱処理を行っても良い。

［０３９８］

なお、酸化物２３０に加酸素化処理を行うことで、酸化物２３０中の酸素欠損を、供給された酸素により修復することができる。さらに、酸化物２３０中に残存した水素に供給された酸素が反応することで、当該水素をH_2Oとして除去する（脱水化する）ことができる。これにより、酸化物２３０中に残存していた水素が酸素欠損に再結合してV_OHが形成されるのを抑制できる。

［０３９９］

なお、絶縁体２２２、および絶縁体２２４が、２層以上の積層構造を有していてもよい。その場合、同じ材料からなる積層構造に限定されず、異なる材料からなる積層構造でもよい。また、絶縁体２２４は、酸化物２３０と重畳して島状に形成してもよい。この場合、絶縁体２７５が、絶縁体２２４の側面および絶縁体２２２の上面に接する構成になる。

［０４００］

なお、絶縁体２２２及び絶縁体２２４は、実施の形態１で説明した絶縁体２２及び絶縁体２４にそれぞれ対応する。よって、絶縁体２２２及び絶縁体２２４に用いる材料、及び構成などは、実施の形態１で説明した絶縁体２２及び絶縁体２４の内容もそれぞれ参酌できる。また、実施の形態１に記載の絶縁体２２及び絶縁体２４に用いる材料、及び構成などは、本実施の形態で説明する絶縁体２２２及び絶縁体２２４の記載もそれぞれ参酌できる。

［０４０１］

絶縁体２２３ａ、および絶縁体２２３ｂの一部は、ゲート絶縁体として機能する場合がある。なお、絶縁体２２３ａは実施の形態１で説明した絶縁体２３ａに対応し、絶縁体２２３ｂは実施の形態１で説明した絶縁体２３ｂに対応する。よって、絶縁体２２３ａ及び絶縁体２２３ｂに用いる材料、及び構成などは、実施の形態１で説明した絶縁体２３ａ及び絶縁体２３ｂの内容をそれぞれ参酌できる。

［０４０２］

導電体２４２ａ、および導電体２４２ｂは酸化物２３０の上面に接して設けられる。導電体２４２ａおよび導電体２４２ｂは、それぞれトランジスタ２００のソース電極またはドレイン電極として機能する。

［０４０３］

導電体２４２の側面と導電体２４２の上面との間に、湾曲面が形成されないことが好ましい。当該湾曲面が形成されない導電体２４２とすることで、図１４Ｄに示すような、チャネル幅方向の断面における、導電体２４２の断面積を大きくすることができる。これにより、導電体２４２の導電率を大きくし、トランジスタ２００のオン電流を大きくすることができる。

［０４０４］

なお、導電体２４２ａは実施の形態１で説明した導電体４２ａに対応し、導電体２４２ｂは実施の形態１で説明した導電体４２ｂに対応する。よって、導電体２４２ａ及び導電体２４２ｂに用いる材料、及び構成などは、実施の形態１で説明した導電体４２ａ及び導電体４２ｂの内容も参酌できる。

［０４０５］

絶縁体２７１ａは、導電体２４２ａの上面に接して設けられており、絶縁体２７１ｂは、導電体２４２ｂの上面に接して設けられている。絶縁体２７１は、少なくとも酸素に対するバリア絶縁膜として機能することが好ましい。したがって、絶縁体２７１は、酸素の拡散を抑制する機能を有することが好ましい。例えば、絶縁体２７１は、絶縁体２８０よりも酸素の拡散を抑制する機能を有することが好ましい。絶縁体２７１としては、例えば、酸化アルミニウムまたは酸化マグネシウムなどの絶縁体を用いればよい。

［０４０６］

絶縁体２７５は、絶縁体２２４、絶縁体２２３ａ、絶縁体２２３ｂ、酸化物２３０、導電体２４２、および絶縁体２７１を覆うように設けられる。絶縁体２７５として、水素を捕獲および水素を固着する機能を有することが好ましい。その場合、絶縁体２７５としては、窒化シリコンまたは、アモルファス構造を有する金属酸化物、例えば、酸化アルミニウムまたは酸化マグネシウムなどの絶縁体を含むことが好ましい。また、例えば、絶縁体２７５として、酸化アルミニウムと、当該酸化アルミニウム上の窒化シリコンの積層膜を用いてもよい。

［０４０７］

上記のような絶縁体２７１および絶縁体２７５を設けることで、酸素に対するバリア性を有する絶縁体で導電体２４２を包み込むことができる。つまり、絶縁体２２４、および絶縁体２８０に含まれる酸素が、導電体２４２に拡散するのを防ぐことができる。これにより、絶縁体２２４、および絶縁体２８０に含まれる酸素によって、導電体２４２が直接酸化されて抵抗率が増大し、オン電流が低減するのを抑制できる。

［０４０８］

なお、絶縁体２７５は実施の形態１で説明した絶縁体７５に対応する。よって、絶縁体２７５に用いる材料、及び構成などは、実施の形態１で説明した絶縁体７５の内容も参酌できる。

［０４０９］

絶縁体２５２は、ゲート絶縁体の一部として機能する。なお、絶縁体２５２は実施の形態１で説明した絶縁体５２に対応する。よって、絶縁体２５２に用いる材料、及び構成などは、実施の形態１で説明した絶縁体５２の内容を参酌できる。

［０４１０］

絶縁体２５０は、ゲート絶縁体の一部として機能する。絶縁体２５０は、絶縁体２５２の上面に接して配置することが好ましい。絶縁体２５０は、酸化シリコン、酸化窒化シリコン、窒化酸化シリコン、窒化シリコン、フッ素を添加した酸化シリコン、炭素を添加した酸化シリコン、炭素およ

び窒素を添加した酸化シリコン、空孔を有する酸化シリコンなどを用いることができる。特に、酸化シリコン、および酸化窒化シリコンは熱に対し安定であるため好ましい。この場合、絶縁体２５０は、少なくとも酸素とシリコンと、を有する絶縁体となる。

［０４１１］

図１４Ａ乃至図１４Ｄなどでは、絶縁体２５０を単層とする構成について示したが、本発明はこれに限られず、２層以上の積層構造としてもよい。例えば図１５Ｂに示すように、絶縁体２５０を、絶縁体２５０ａと、絶縁体２５０ａ上の絶縁体２５０ｂの２層の積層構造にしてもよい。

［０４１２］

図１５Ｂに示すように、絶縁体２５０を２層の積層構造とする場合、下層の絶縁体２５０ａは、酸素を透過しやすい絶縁体を用いて形成し、上層の絶縁体２５０ｂは、酸素の拡散を抑制する機能を有する絶縁体を用いて形成することが好ましい。このような構成にすることで、絶縁体２５０ａに含まれる酸素が、導電体２６０へ拡散するのを抑制できる。つまり、酸化物２３０へ供給する酸素量の減少を抑制できる。また、絶縁体２５０ａに含まれる酸素による導電体２６０の酸化を抑制できる。例えば、絶縁体２５０ａは、上述した絶縁体２５０に用いることができる材料を用いて設け、絶縁体２５０ｂは、アルミニウムおよびハフニウムの一方または双方の酸化物を含む絶縁体を用いるとよい。当該絶縁体として、酸化アルミニウム、酸化ハフニウム、アルミニウムおよびハフニウムを含む酸化物（ハフニウムアルミネート）、ハフニウムおよびシリコンを含む酸化物（ハフニウムシリケート）などを用いることができる。本実施の形態では、絶縁体２５０ｂとして、酸化ハフニウムを用いる。この場合、絶縁体２５０ｂは、少なくとも酸素と、ハフニウムと、を有する絶縁体となる。また、絶縁体２５０ｂの膜厚は、０．５ｎｍ以上、５．０ｎｍ以下、好ましくは、１．０ｎｍ以上５．０ｎｍ以下、より好ましくは、１．０ｎｍ以上、３．０ｎｍ以下とする。この場合、絶縁体２５０ｂは、少なくとも一部において、上記のような膜厚の領域を有していればよい。

［０４１３］

なお、絶縁体２５０ａに酸化シリコンまたは酸化窒化シリコンなどを用いる場合、絶縁体２５０ｂは、比誘電率が高いｈｉｇｈ－ｋ材料である絶縁性材料を用いてもよい。ゲート絶縁体を、絶縁体２５０ａと絶縁体２５０ｂとの積層構造とすることで、熱に対して安定、かつ比誘電率の高い積層構造とすることができる。したがって、ゲート絶縁体の物理膜厚を保持したまま、トランジスタ動作時に印加するゲート電位の低減化が可能となる。また、ゲート絶縁体として機能する絶縁体の等価酸化膜厚（ＥＯＴ）の薄膜化が可能となる。よって、絶縁体２５０の絶縁耐圧を高くすることができる。

［０４１４］

なお、絶縁体２５０は実施の形態１で説明した絶縁体５０に対応する。よって、絶縁体２５０に用いる材料、及び構成などは、実施の形態１で説明した絶縁体５０の内容も参酌できる。また、実施の形態１に記載の絶縁体５０に用いる材料、及び構成などは、本実施の形態で説明する絶縁体２５０の記載も参酌できる。

［０４１５］

絶縁体２５４は、ゲート絶縁体の一部として機能する。

［０４１６］

なお、図１５Ｂに示すように、絶縁体２５０を２層の積層構造とする場合、絶縁体２５０ｂとして、酸化ハフニウムなどの水素などの不純物および酸素の透過を抑制する機能を有する絶縁体を用

いることで、絶縁体２５０ｂは、絶縁体２５４が有する機能を兼ねることができる。このような場合、絶縁体２５４を設けない構成にすることで、半導体装置の作製工程を簡略化し、生産性の向上を図ることができる。

［０４１７］

絶縁体２５４は実施の形態１で説明した絶縁体５４に対応する。よって、絶縁体２５４に用いる材料、及び構成などは、実施の形態１で説明した絶縁体５４の内容を参酌できる。

［０４１８］

導電体２６０は、トランジスタ２００の第１のゲート電極として機能する。導電体２６０は、導電体２６０ａと、導電体２６０ａの上に配置された導電体２６０ｂと、を有することが好ましい。例えば、導電体２６０ａは、導電体２６０ｂの底面および側面を包むように配置されることが好ましい。また、図１４Ｂおよび図１４Ｃに示すように、導電体２６０の上面は、絶縁体２５０の上面と一致または概略一致している。なお、図１４Ｂおよび図１４Ｃでは、導電体２６０は、導電体２６０ａと導電体２６０ｂの２層構造として示しているが、単層構造でもよいし、３層以上の積層構造であってもよい。

［０４１９］

導電体２６０ａは、水素原子、水素分子、水分子、窒素原子、窒素分子、酸化窒素分子、銅原子などの不純物の拡散を抑制する機能を有する導電性材料を用いることが好ましい。または、酸素（例えば、酸素原子、酸素分子などの少なくとも一）の拡散を抑制する機能を有する導電性材料を用いることが好ましい。

［０４２０］

また、導電体２６０ａが酸素の拡散を抑制する機能を持つことにより、絶縁体２５０に含まれる酸素により、導電体２６０ｂが酸化して導電率が低下することを抑制できる。酸素の拡散を抑制する機能を有する導電性材料としては、例えば、チタン、窒化チタン、タンタル、窒化タンタル、ルテニウム、酸化ルテニウムなどを用いることが好ましい。

［０４２１］

また、導電体２６０は、配線としても機能するため、導電性が高い導電体を用いることが好ましい。例えば、導電体２６０ｂは、タングステン、銅、またはアルミニウムを主成分とする導電性材料を用いることができる。また、導電体２６０ｂは積層構造としてもよく、例えば、チタン、または窒化チタンと上記導電性材料との積層構造としてもよい。

［０４２２］

また、トランジスタ２００では、導電体２６０は、絶縁体２８０などに形成されている開口を埋めるように自己整合的に形成される。導電体２６０をこのように形成することにより、導電体２４２ａと導電体２４２ｂとの間の領域に、導電体２６０を位置合わせすることなく確実に配置することができる。

［０４２３］

なお、導電体２６０は実施の形態１で説明した導電体６０に対応する。よって、導電体２６０に用いる材料、及び構成などは、実施の形態１で説明した導電体６０の内容も参酌できる。また、実施の形態１に記載の導電体６０に用いる材料、及び構成などは、本実施の形態で説明する導電体２６０の記載も参酌できる。

［０４２４］

絶縁体２８０は、絶縁体２７５上に設けられ、絶縁体２５２、絶縁体２５０、絶縁体２５４、および導電体２６０が設けられる領域に開口が形成されている。また、絶縁体２８０の上面は、平坦化されていてもよい。

［０４２５］

層間膜として機能する絶縁体２８０は、誘電率が低いことが好ましい。誘電率が低い材料を層間膜とすることで、配線間に生じる寄生容量を低減できる。絶縁体２８０は、例えば、絶縁体２１６と同様の材料を用いて設けることが好ましい。特に、酸化シリコンおよび酸化窒化シリコンは、熱的に安定であるため好ましい。特に、酸化シリコン、酸化窒化シリコン、空孔を有する酸化シリコンなどの材料は、加熱により脱離する酸素を含む領域を容易に形成することができるため好ましい。

［０４２６］

なお、絶縁体２８０は実施の形態１で説明した絶縁体８０に対応する。よって、絶縁体２８０に用いる材料、及び構成などは、実施の形態１で説明した絶縁体８０の内容も参酌できる。また、実施の形態１に記載の絶縁体８０に用いる材料、及び構成などは、本実施の形態で説明する絶縁体２８０の記載も参酌できる。

［０４２７］

絶縁体２８２は、水、水素などの不純物が、上方から絶縁体２８０に拡散するのを抑制するバリア絶縁膜として機能することが好ましく、水素などの不純物を捕獲する機能を有することが好ましい。また、絶縁体２８２は、酸素の透過を抑制するバリア絶縁膜として機能することが好ましい。絶縁体２８２としては、アモルファス構造を有する金属酸化物、例えば、酸化アルミニウムなどの絶縁体を用いればよい。この場合、絶縁体２８２は、少なくとも酸素と、アルミニウムと、を有する絶縁体となる。絶縁体２１２と絶縁体２８３に挟まれた領域内で、絶縁体２８０に接して、水素などの不純物を捕獲する機能を有する、絶縁体２８２を設けることで、絶縁体２８０などに含まれる水素などの不純物を捕獲し、当該領域内における、水素の量を一定値にすることができる。特に、絶縁体２８２として、アモルファス構造を有する酸化アルミニウムを用いることで、より効果的に水素を捕獲または固着できる場合があるため好ましい。これにより、良好な特性を有し、信頼性の高いトランジスタ２００、および半導体装置を作製できる。

［０４２８］

なお、絶縁体２８２は実施の形態１で説明した絶縁体８２に対応する。よって、絶縁体２８２に用いる材料、及び構成などは、実施の形態１で説明した絶縁体８２の内容も参酌できる。また、実施の形態１に記載の絶縁体８２に用いる材料、及び構成などは、本実施の形態で説明する絶縁体２８２の記載も参酌できる。

［０４２９］

絶縁体２８３は、水、水素などの不純物が、上方から絶縁体２８０に拡散するのを抑制するバリア絶縁膜として機能する。絶縁体２８３は、絶縁体２８２の上に配置される。絶縁体２８３としては、窒化シリコンまたは窒化酸化シリコンなどの、シリコンを含む窒化物を用いることが好ましい。例えば、絶縁体２８３としてスパッタリング法で成膜された窒化シリコンを用いればよい。絶縁体２８３をスパッタリング法で成膜することで、密度が高い窒化シリコン膜を形成することができる。また、絶縁体２８３として、スパッタリング法で成膜された窒化シリコンの上に、さらに、ＰＥＡＬＤ法または、ＣＶＤ法で成膜された窒化シリコンを積層してもよい。

［０４３０］

なお、絶縁体２８３は実施の形態１で説明した絶縁体８３に対応する。よって、絶縁体２８３に用いる材料、及び構成などは、実施の形態１で説明した絶縁体８３の内容も参酌できる。また、実施の形態１に記載の絶縁体８３に用いる材料、及び構成などは、本実施の形態で説明する絶縁体２８３の記載も参酌できる。

［０４３１］

導電体２４０ａおよび導電体２４０ｂは、タングステン、銅、またはアルミニウムを主成分とする導電性材料を用いることが好ましい。また、導電体２４０ａおよび導電体２４０ｂは積層構造としてもよい。

［０４３２］

また、導電体２４０を積層構造とする場合、絶縁体２８５、絶縁体２８３、絶縁体２８２、絶縁体２８０、絶縁体２７５、および絶縁体２７１の近傍に配置される第１の導電体には、水、水素などの不純物の透過を抑制する機能を有する導電性材料を用いることが好ましい。例えば、タンタル、窒化タンタル、チタン、窒化チタン、ルテニウム、酸化ルテニウムなどを用いることが好ましい。また、水、水素などの不純物の透過を抑制する機能を有する導電性材料は、単層または積層で用いてもよい。また、絶縁体２８３より上層に含まれる水、水素などの不純物が、導電体２４０ａおよび導電体２４０ｂを通じて酸化物２３０に混入するのを抑制できる。

［０４３３］

絶縁体２４１ａおよび絶縁体２４１ｂとしては、絶縁体２７５などに用いることができるバリア絶縁膜を用いればよい。例えば、絶縁体２４１ａおよび絶縁体２４１ｂとして、窒化シリコン、酸化アルミニウム、窒化酸化シリコンなどの絶縁体を用いればよい。絶縁体２４１ａおよび絶縁体２４１ｂは、絶縁体２８３、絶縁体２８２、および絶縁体２７１に接して設けられるため、絶縁体２８０などに含まれる水、水素などの不純物が、導電体２４０ａおよび導電体２４０ｂを通じて酸化物２３０に混入するのを抑制できる。特に、窒化シリコンは水素に対するブロッキング性が高いため好適である。また、絶縁体２８０に含まれる酸素が導電体２４０ａおよび導電体２４０ｂに吸収されるのを防ぐことができる。

［０４３４］

絶縁体２４１ａおよび絶縁体２４１ｂを、図１４Ｂに示すように積層構造にする場合、絶縁体２８０などの開口の内壁に接する第１の絶縁体と、その内側の第２の絶縁体は、酸素に対するバリア絶縁膜と、水素に対するバリア絶縁膜を組み合わせて用いることが好ましい。

［０４３５］

例えば、第１の絶縁体として、ＡＬＤ法で成膜された酸化アルミニウムを用い、第２の絶縁体として、ＰＥＡＬＤ法で成膜された窒化シリコンを用いればよい。このような構成にすることで、導電体２４０の酸化を抑制し、さらに、導電体２４０に水素が混入するのを低減できる。

［０４３６］

また、導電体２４０ａの上面、および導電体２４０ｂの上面に接して配線として機能する導電体２４６（導電体２４６ａ、および導電体２４６ｂ）を配置してもよい。導電体２４６は、タングステン、銅、またはアルミニウムを主成分とする導電性材料を用いることが好ましい。また、当該導電体は、積層構造としてもよく、例えば、チタン、または窒化チタンと上記導電性材料との積層としてもよい。なお、当該導電体は、絶縁体に設けられた開口に埋め込むように形成してもよい。

［０４３７］

＜半導体装置の作製方法＞

次に、図１４Ａ乃至図１４Ｄに示す、本発明の一態様である半導体装置の作製方法を、図１６Ａ乃至図２７Ｄを用いて説明する。

［０４３８］

各図のＡは、上面図を示す。また、各図のＢは、各図のＡにＡ１－Ａ２の一点鎖線で示す部位に対応する断面図であり、トランジスタ２００のチャネル長方向の断面図でもある。また、各図のＣは、各図のＡにＡ３－Ａ４の一点鎖線で示す部位に対応する断面図であり、トランジスタ２００のチャネル幅方向の断面図でもある。また、各図のＤは、各図のＡにＡ５－Ａ６の一点鎖線で示す部位の断面図である。なお、各図のＡの上面図では、図の明瞭化のために一部の要素を省いている。

［０４３９］

なお、図１４に示す半導体装置が有するトランジスタ２００は、実施の形態１で説明したトランジスタ２０と共通する構成要素を有する。よって、図１４に示す半導体装置の作製方法において、トランジスタ２０の作製方法と共通する部分の説明は、実施の形態１を参酌できる。

［０４４０］

まず、基板（図示しない）を準備し、当該基板上に絶縁体２１２を成膜する（図１６Ａ乃至図１６Ｄ参照）。絶縁体２１２の成膜は、スパッタリング法を用いて行うことが好ましい。成膜ガスに水素を含む分子を用いなくてもよいスパッタリング法を用いることで、絶縁体２１２中の水素濃度を低減できる。ただし、絶縁体２１２の成膜は、スパッタリング法に限られるものではなく、ＣＶＤ法、ＭＢＥ法、ＰＬＤ法、ＡＬＤ法などを適宜用いてもよい。

［０４４１］

本実施の形態では、絶縁体２１２として、窒素ガスを含む雰囲気でシリコンターゲットを用いて、パルスＤＣスパッタリング法で窒化シリコンを成膜する。パルスＤＣスパッタリング法を用いることで、ターゲット表面のアーキングによるパーティクルの発生を抑制できるため、膜厚分布をより均一にすることができる。また、パルス電圧を用いることで、高周波電圧より、放電の立ち上がり、立ち下がりを急峻にすることができる。これにより、電極に、電力をより効率的に供給しスパッタレート、および膜質を向上することができる。

［０４４２］

窒化シリコンのように水、水素などの不純物が透過しにくい絶縁体を用いることにより、絶縁体２１２より下層に含まれる水、水素などの不純物の拡散を抑制できる。また、絶縁体２１２として、窒化シリコンなどの銅が透過しにくい絶縁体を用いることにより、絶縁体２１２より下層（図示しない）の導電体に銅など拡散しやすい金属を用いても、当該金属が絶縁体２１２を介して上方に拡散するのを抑制できる。

［０４４３］

次に、絶縁体２１２上に絶縁体２１４を成膜する（図１６Ａ乃至図１６Ｄ参照）。絶縁体２１４の成膜は、スパッタリング法を用いて行うことが好ましい。成膜ガスに水素を含む分子を用いなくてもよいスパッタリング法を用いることで、絶縁体２１４中の水素濃度を低減できる。ただし、絶縁体２１４の成膜は、スパッタリング法に限られるものではなく、ＣＶＤ法、ＭＢＥ法、ＰＬＤ法、ＡＬＤ法などを適宜用いてもよい。

［０４４４］

本実施の形態では、絶縁体２１４として、酸素ガスを含む雰囲気でアルミニウムターゲットを用

いて、パルスＤＣスパッタリング法で酸化アルミニウムを成膜する。パルスＤＣスパッタリング法を用いることで、膜厚分布をより均一にし、スパッタレート、および膜質を向上することができる。ここで、基板にＲＦ（Ｒａｄｉｏ　Ｆｒｅｑｕｅｎｃｙ）電力を印加してもよい。基板に印加するＲＦ電力の大きさによって、絶縁体２１４より下層へ注入する酸素量を制御することができる。ＲＦ電力としては、０Ｗ／ｃｍ^{2}以上、１．８６Ｗ／ｃｍ^{2}以下とする。つまり、絶縁体２１４の形成の際のＲＦ電力によって、トランジスタの特性に適する酸素量を変化させて注入することができる。従って、トランジスタの信頼性向上に適する酸素量を注入することができる。また、ＲＦの周波数は、１０ＭＨｚ以上が好ましい。代表的には、１３．５６ＭＨｚである。ＲＦの周波数が高いほど基板へ与えるダメージを小さくすることができる。

［０４４５］

絶縁体２１４として、水素を捕獲および水素を固着する機能が高い、アモルファス構造を有する金属酸化物、例えば酸化アルミニウムを用いること好ましい。これにより、絶縁体２１６などに含まれる水素を捕獲または固着し、当該水素が酸化物２３０に拡散するのを防ぐことができる。特に、絶縁体２１４として、アモルファス構造を有する酸化アルミニウム、またはアモルファス構造の酸化アルミニウムを用いることで、より効果的に水素を捕獲または固着できる場合があるため好ましい。これにより、良好な特性を有し、信頼性の高いトランジスタ２００、および半導体装置を作製できる。

［０４４６］

次に、絶縁体２１４上に絶縁体２１６を成膜する。絶縁体２１６の成膜は、スパッタリング法を用いて行うことが好ましい。成膜ガスに水素を含む分子を用いなくてもよいスパッタリング法を用いることで、絶縁体２１６中の水素濃度を低減できる。ただし、絶縁体２１６の成膜は、スパッタリング法に限られるものではなく、ＣＶＤ法、ＭＢＥ法、ＰＬＤ法、ＡＬＤ法などを適宜用いてもよい。

［０４４７］

本実施の形態では、絶縁体２１６として、酸素ガスを含む雰囲気でシリコンターゲットを用いて、パルスＤＣスパッタリング法で酸化シリコンを成膜する。パルスＤＣスパッタリング法を用いることで、膜厚分布をより均一にし、スパッタレート、および膜質を向上することができる。

［０４４８］

絶縁体２１２、絶縁体２１４、および絶縁体２１６は、大気に暴露することなく連続して成膜することが好ましい。例えば、マルチチャンバー方式の成膜装置を用いればよい。これにより、絶縁体２１２、絶縁体２１４、および絶縁体２１６を、膜中の水素を低減して成膜し、さらに、各成膜工程の合間に膜中に水素が混入するのを低減できる。

［０４４９］

次に、絶縁体２１６に絶縁体２１４に達する開口を形成する。開口の形成はウェットエッチングを用いてもよいが、ドライエッチングを用いるほうが微細加工には好ましい。また、絶縁体２１４は、絶縁体２１６をエッチングして溝を形成する際のエッチングストッパ膜として機能する絶縁体を選択することが好ましい。例えば、溝を形成する絶縁体２１６に酸化シリコンまたは酸化窒化シリコンを用いた場合は、絶縁体２１４は窒化シリコン、酸化アルミニウム、酸化ハフニウムを用いるとよい。

［０４５０］

開口の形成後に、導電体２０５ａとなる導電膜を成膜する。当該導電膜は、酸素の透過を抑制する機能を有する導電体を含むことが望ましい。例えば、窒化タンタル、窒化タングステン、窒化チタンなどを用いることができる。または、酸素の透過を抑制する機能を有する導電体と、タンタル、タングステン、チタン、モリブデン、アルミニウム、銅、モリブデンタングステン合金との積層膜とすることができる。当該導電膜の成膜は、スパッタリング法、ＣＶＤ法、ＭＢＥ法、ＰＬＤ法、ＡＬＤ法などを用いて行うことができる。

［０４５１］

本実施の形態では、導電体２０５ａとなる導電膜として窒化チタンを成膜する。このような金属窒化物を導電体２０５ｂの下層に用いることにより、絶縁体２１６などによって、導電体２０５ｂが酸化されるのを抑制できる。また、導電体２０５ｂとして銅などの拡散しやすい金属を用いても、当該金属が導電体２０５ａから外に拡散するのを防ぐことができる。

［０４５２］

次に、導電体２０５ｂとなる導電膜を成膜する。当該導電膜としては、タンタル、タングステン、チタン、モリブデン、アルミニウム、銅、モリブデンタングステン合金などを用いることができる。当該導電膜の成膜は、メッキ法、スパッタリング法、ＣＶＤ法、ＭＢＥ法、ＰＬＤ法、ＡＬＤ法などを用いて行うことができる。本実施の形態では、当該導電膜として、タングステンを成膜する。

［０４５３］

次に、ＣＭＰ処理を行うことで、導電体２０５ａとなる導電膜および導電体２０５ｂとなる導電膜の一部を除去し、絶縁体２１６を露出する（図１６Ａ乃至図１６Ｄ参照）。その結果、開口部のみに、導電体２０５ａおよび導電体２０５ｂが残存する。なお、当該ＣＭＰ処理により、絶縁体２１６の一部が除去される場合がある。

［０４５４］

次に、絶縁体２１６、および導電体２０５上に絶縁体２２２を成膜する（図１７Ａ乃至図１７Ｄ参照）。絶縁体２２２として、アルミニウムおよびハフニウムの一方または双方の酸化物を含む絶縁体を成膜するとよい。なお、アルミニウムおよびハフニウムの一方または双方の酸化物を含む絶縁体として、酸化アルミニウム、酸化ハフニウム、アルミニウムおよびハフニウムを含む酸化物（ハフニウムアルミネート）などを用いることが好ましい。または、ハフニウムジルコニウム酸化物を用いることが好ましい。アルミニウムおよびハフニウムの一方または双方の酸化物を含む絶縁体は、酸素、水素、および水に対するバリア性を有する。絶縁体２２２が、水素および水に対するバリア性を有することで、トランジスタ２００の周辺に設けられた構造体に含まれる水素、および水が、絶縁体２２２を通じてトランジスタ２００の内側へ拡散することが抑制され、酸化物２３０中の酸素欠損の生成を抑制できる。

［０４５５］

絶縁体２２２の成膜は、スパッタリング法、ＣＶＤ法、ＭＢＥ法、ＰＬＤ法、ＡＬＤ法などを用いて行うことができる。本実施の形態では、絶縁体２２２として、ＡＬＤ法を用いて、酸化ハフニウムを成膜する。特に、本発明の一態様である水素濃度の低減された酸化ハフニウムの形成方法を用いることが好ましい。

［０４５６］

続いて、加熱処理を行うと好ましい。加熱処理は、２５０℃以上６５０℃以下、好ましくは３００℃以上５００℃以下、さらに好ましくは３２０℃以上４５０℃以下で行えばよい。なお、加熱処

理は、窒素ガスもしくは不活性ガスの雰囲気、または酸化性ガスを１０ｐｐｍ以上、１％以上、もしくは１０％以上含む雰囲気で行う。例えば、窒素ガスと酸素ガスの混合雰囲気で加熱処理をする場合、酸素ガスを２０％程度にすればよい。また、加熱処理は減圧状態で行ってもよい。または、加熱処理は、窒素ガスもしくは不活性ガスの雰囲気で加熱処理した後に、脱離した酸素を補うために酸化性ガスを１０ｐｐｍ以上、１％以上、または１０％以上含む雰囲気で加熱処理を行ってもよい。

［０４５７］

また、上記加熱処理で用いるガスは、高純度化されていることが好ましい。例えば、上記加熱処理で用いるガスに含まれる水分量が１ｐｐｂ以下、好ましくは０．１ｐｐｂ以下、より好ましくは０．０５ｐｐｂ以下にすればよい。高純度化されたガスを用いて加熱処理を行うことで、絶縁体２２２などに水分等が取り込まれることを可能な限り防ぐことができる。

［０４５８］

本実施の形態では、加熱処理として、絶縁体２２２の成膜後に、窒素ガスと酸素ガスの流量比を４：１として、４００℃の温度で１時間の処理を行う。当該加熱処理によって、絶縁体２２２に含まれる水、水素などの不純物を除去することなどができる。また、絶縁体２２２として、ハフニウムを含む酸化物を用いる場合、当該加熱処理によって、絶縁体２２２の一部が結晶化する場合がある。また、加熱処理は、絶縁体２２４の成膜後などのタイミングで行うこともできる。

［０４５９］

次に、絶縁体２２２上に絶縁層２２４Ｂ、及び絶縁膜２２３Ａを形成する（図１７Ａ乃至図１７Ｄ参照）。なお、絶縁層２２４Ｂ及び絶縁膜２２３Ａは、実施の形態１で説明した絶縁層２４Ｂ及び絶縁膜２３Ａの形成方法を参酌して形成すればよい。

［０４６０］

次に、絶縁層２２４Ｂ上、絶縁膜２２３Ａ上に、酸化膜２３０Ａを成膜する（図１７Ａ乃至図１７Ｄ参照）。なお、酸化物２３０を複数の酸化物層の積層構造とする場合、酸化物２３０となる酸化膜に含まれる複数の酸化膜の一部または全ては、大気環境にさらさずに連続して成膜することが好ましい。大気開放せずに成膜することで、各酸化物層上に大気環境からの不純物または水分が付着することを防ぐことができ、酸化物層との界面近傍を清浄に保つことができる。

［０４６１］

酸化膜２３０Ａは、実施の形態１で説明した酸化膜３０Ａの成膜方法を参酌して成膜すればよい。

［０４６２］

次に、加熱処理を行うことが好ましい。当該加熱処理は、実施の形態１を参酌できる。当該加熱処理を行うことで、絶縁体２１６中、絶縁層２２４Ｂ中、及び酸化膜２３０Ａ中の水素が絶縁体２２２に移動し、絶縁体２２２内に吸い取られる。別言すると、絶縁体２１６中、絶縁層２２４Ｂ中、及び酸化膜２３０Ａ中の水素が絶縁体２２２に拡散する。従って、絶縁体２２２中の水素濃度は高くなるが、絶縁体２１６中、絶縁層２２４Ｂ中、及び酸化膜２３０Ａ中のそれぞれの水素濃度は低下する。

［０４６３］

特に、絶縁層２２４Ｂを加工することで形成される絶縁体２２４は、トランジスタ２００のゲート絶縁体として機能し、酸化膜２３０Ａを加工することで形成される酸化物２３０は、トランジスタ２００のチャネル形成領域として機能する。そのため、水素濃度が低減された絶縁層２２４Ｂ、

及び酸化膜２３０Ａを有するトランジスタ２００は、良好な信頼性を有するため好ましい。

［０４６４］

次に、酸化膜２３０Ａ上に導電膜２４２Ａを成膜する（図１７Ａ乃至図１７Ｄ参照）。なお、導電膜２４２Ａは、実施の形態１で説明した導電膜４２Ａの成膜方法を参酌して成膜すればよい。

［０４６５］

次に、導電膜２４２Ａ上に絶縁膜２７１Ａを成膜する（図１７Ａ乃至図１７Ｄ参照）。絶縁膜２７１Ａの成膜は、スパッタリング法、ＣＶＤ法、ＭＢＥ法、ＰＬＤ法、またはＡＬＤ法などを用いて行うことができる。絶縁膜２７１Ａは、酸素の透過を抑制する機能を有する絶縁膜を用いることが好ましい。例えば、絶縁膜２７１Ａとして、スパッタリング法によって、酸化アルミニウム膜、または窒化シリコン膜を成膜すればよい。

［０４６６］

なお、導電膜２４２Ａ、および絶縁膜２７１Ａを、大気に暴露することなく、スパッタリング法で成膜することが好ましい。例えば、マルチチャンバー方式の成膜装置を用いればよい。これにより、導電膜２４２Ａ、および絶縁膜２７１Ａを、膜中の水素を低減して成膜し、さらに、各成膜工程の合間に膜中に水素が混入するのを低減できる。また、絶縁膜２７１Ａ上にハードマスクを設ける場合、当該ハードマスクとなる膜も大気に暴露することなく連続して成膜すればよい。

［０４６７］

次に、リソグラフィー法を用いて、絶縁層２２４Ｂ、絶縁膜２２３Ａ、酸化膜２３０Ａ、導電膜２４２Ａ、および絶縁膜２７１Ａを島状に加工して、絶縁体２２４、絶縁体２２３ａ、絶縁体２２３ｂ、酸化物２３０、導電層２４２Ｂ、および絶縁層２７１Ｂを形成する（図１８Ａ乃至図１８Ｄ参照）。ここで、絶縁体２２４、酸化物２３０、導電層２４２Ｂ、および絶縁層２７１Ｂは、少なくとも一部が導電体２０５と重なるように形成する。上記加工はドライエッチング法またはウェットエッチング法を用いることができる。ドライエッチング法による加工は微細加工に適している。また、絶縁層２２４Ｂ及び絶縁膜２２３Ａ、酸化膜２３０Ａ、導電膜２４２Ａ、並びに絶縁膜２７１Ａの加工は、それぞれ異なる条件で行ってもよい。

［０４６８］

ここで、絶縁層２７１Ｂが導電層２４２Ｂのマスクとして機能するため、図１８Ｂ乃至図１８Ｄに示すように、導電層２４２Ｂは側面と上面の間に湾曲面を有しない。これにより、図１４Ｂおよび図１４Ｄに示す導電体２４２ａおよび導電体２４２ｂは、側面と上面が交わる端部が角状になる。導電体２４２の側面と上面が交わる端部が角状になることで、当該端部が曲面を有する場合に比べて、導電体２４２の断面積が大きくなる。これにより、導電体２４２の抵抗が低減されるため、トランジスタ２００のオン電流を大きくすることができる。

［０４６９］

また、図１８Ｂ乃至図１８Ｄに示すように、絶縁体２２４、絶縁体２２３ａ、絶縁体２２３ｂ、酸化物２３０、導電層２４２Ｂ、および絶縁層２７１Ｂの側面がテーパー形状になっていてもよい。なお、本明細書等において、テーパー形状とは、構造の側面の少なくとも一部が、基板面に対して傾斜して設けられている形状のことを指す。例えば、傾斜した側面と基板面とがなす角（以下、テーパー角と呼ぶ場合がある）が９０°未満であることが好ましい。絶縁体２２４、絶縁体２２３ａ、絶縁体２２３ｂ、酸化物２３０、導電層２４２Ｂ、および絶縁層２７１Ｂは、例えば、テーパー角が６０°以上９０°未満になるようにすればよい。このように側面をテーパー形状にすることで、

これより後の工程において、絶縁体２７５などの被覆性が向上し、鬆などの欠陥を低減できる。

［０４７０］

ただし、上記に限られず、絶縁体２２４、絶縁体２２３ａ、絶縁体２２３ｂ、酸化物２３０、導電層２４２Ｂ、および絶縁層２７１Ｂの側面が、絶縁体２２２の上面に対し、概略垂直になる構成にしてもよい。このような構成にすることで、複数のトランジスタ２００を設ける際に、小面積化、高密度化が可能となる。

［０４７１］

また、上記エッチング工程で発生した副生成物が、絶縁体２２４、絶縁体２２３ａ、絶縁体２２３ｂ、酸化物２３０、導電層２４２Ｂ、および絶縁層２７１Ｂの側面に層状に形成される場合がある。この場合、当該層状の副生成物が、絶縁体２２４、絶縁体２２３ａ、絶縁体２２３ｂ、酸化物２３０、導電層２４２Ｂ、および絶縁層２７１Ｂと、絶縁体２７５の間に形成されることになる。よって、絶縁体２２２の上面に接して形成された当該層状の副生成物は、除去することが好ましい。

［０４７２］

次に、絶縁体２２４、絶縁体２２３ａ、絶縁体２２３ｂ、酸化物２３０、導電層２４２Ｂ、および絶縁層２７１Ｂを覆って、絶縁体２７５を成膜する（図１９Ａ乃至図１９Ｄ参照）。絶縁体２７５は、実施の形態１で説明した絶縁体７５の成膜方法を参酌して成膜すればよい。

［０４７３］

ここで、絶縁体２７５は、絶縁体２２２の上面、絶縁体２２４の側面、絶縁体２２３ａの側面、および絶縁体２２３ｂの側面に密接することが好ましい。当該構成にすることで、酸化物２３０、および導電層２４２Ｂを、酸素の拡散を抑制する機能を有する、絶縁体２７５、および絶縁層２７１Ｂで覆うことができる。これにより、のちの工程で、酸化物２３０、および導電層２４２Ｂに、絶縁体２８０などから酸素が直接拡散するのを低減できる。

［０４７４］

次に、絶縁体２７５上に、絶縁体２８０を形成する（図１９Ａ乃至図１９Ｄ参照）。絶縁体２８０は、実施の形態１で説明した絶縁体８０の形成方法を参酌して形成すればよい。

［０４７５］

次に、絶縁体２８０の一部、絶縁体２７５の一部、絶縁層２７１Ｂの一部、導電層２４２Ｂの一部を加工して、酸化物２３０に達する開口を形成する。当該開口は、導電体２０５と重なるように形成することが好ましい。当該開口の形成によって、絶縁体２７１ａ、絶縁体２７１ｂ、導電体２４２ａ、および導電体２４２ｂを形成する（図２０Ａ乃至図２０Ｄ参照）。

［０４７６］

ここで、図２０Ｂおよび図２０Ｃに示すように、絶縁体２８０、絶縁体２７５、絶縁体２７１、および導電体２４２の側面がテーパー形状となる場合がある。また、絶縁体２８０のテーパー角が、導電体２４２のテーパー角より大きくなる場合がある。また、図２０Ａ乃至図２０Ｃには図示していないが、上記開口を形成する際に、酸化物２３０の上部が除去される場合がある。

［０４７７］

また、絶縁体２８０の一部、絶縁体２７５の一部、絶縁層２７１Ｂの一部、および導電層２４２Ｂの一部の加工は、ドライエッチング法、またはウェットエッチング法を用いることができる。ドライエッチング法による加工は微細加工に適している。また、当該加工は、それぞれ異なる条件で行ってもよい。例えば、絶縁体２８０の一部をドライエッチング法で加工し、絶縁体２７５の一部、

および絶縁層２７１Ｂの一部をウェットエッチング法で加工し、導電層２４２Ｂの一部をドライエッチング法で加工してもよい。

［０４７８］

上記エッチング後に洗浄処理を行うことが好ましい。また、上記エッチング後または上記洗浄処理後に加熱処理を行ってもよい。当該洗浄処理、及び当該加熱処理は、実施の形態１を参酌できる。

［０４７９］

次に、絶縁膜２５２Ａを成膜する（図２１Ａ乃至図２１Ｄ参照）。絶縁膜２５２Ａは、スパッタリング法、ＣＶＤ法、ＭＢＥ法、ＰＬＤ法、またはＡＬＤ法などを用いて成膜することができる。絶縁膜２５２ＡはＡＬＤ法を用いて成膜することが好ましい。上述の通り、絶縁膜２５２Ａは薄い膜厚で成膜することが好ましく、膜厚のバラつきが小さくなるようにする必要がある。これに対して、ＡＬＤ法は、プリカーサと、リアクタント（例えば酸化剤など）を交互に導入して行う成膜方法であり、このサイクルを繰り返す回数によって膜厚を調節することができるため、精密な膜厚調節が可能である。また、図２１Ｂおよび図２１Ｃに示すように、絶縁膜２５２Ａは、絶縁体２８０等によって形成される開口の底面および側面に、被覆性良く成膜される必要がある。特に、酸化物２３０の上面および側面、導電体２４２の側面には、被覆性良く成膜されることが好ましい。上記開口の底面および側面において、原子の層を一層ずつ堆積させることができるため、絶縁膜２５２Ａを当該開口に対して良好な被覆性で成膜することができる。

［０４８０］

また、絶縁膜２５２ＡをＡＬＤ法で成膜する場合、酸化剤として、オゾン（O_3）、酸素（O_2）、水（H_2O）などを用いることができる。水素を含まない、オゾン（O_3）、酸素（O_2）などを酸化剤として用いることで、酸化物２３０に拡散する水素を低減できる。

［０４８１］

本実施の形態では、絶縁膜２５２Ａとして酸化アルミニウムを熱ＡＬＤ法によって成膜する。

［０４８２］

次に、酸素を含む雰囲気でマイクロ波処理を行うことが好ましい（図２１Ａ乃至図２１Ｄ参照）。図２１Ｂ乃至図２１Ｄに示す点線は、マイクロ波、ＲＦなどの高周波、酸素プラズマ、または酸素ラジカルなどを示す。当該マイクロ波処理は、実施の形態１を参酌できる。

［０４８３］

図２１Ｂ乃至図２１Ｄに示すように、酸素を含む雰囲気でマイクロ波処理を行うことで、マイクロ波、またはＲＦ等の高周波を用いて酸素ガスをプラズマ化し、当該酸素プラズマを酸化物２３０の導電体２４２ａと導電体２４２ｂの間の領域に作用させることができる。このとき、マイクロ波、またはＲＦ等の高周波を領域２３０ｃに照射することもできる。つまり、図１５Ａに示す領域２３０ｃに、マイクロ波、またはＲＦ等の高周波、酸素プラズマなどを作用させることができる。プラズマ、マイクロ波などの作用により、領域２３０ｃのV_OHを分断し、水素を領域２３０ｃから除去することができる。つまり、領域２３０ｃに含まれるV_OHを低減できる。よって、領域２３０ｃ中の酸素欠損、およびV_OHを低減し、キャリア濃度を低下させることができる。また、領域２３０ｃで形成された酸素欠損に、上記酸素プラズマで発生した酸素ラジカル、または絶縁体２５０に含まれる酸素を供給することで、さらに、領域２３０ｃ中の酸素欠損を低減し、キャリア濃度を低下させることができる。

［０４８４］

一方、図１５Ａに示す領域２３０ａおよび領域２３０ｂ上には、導電体２４２ａおよび導電体２４２ｂが設けられている。ここで、導電体２４２は、酸素を含む雰囲気でマイクロ波処理を行う際、マイクロ波、ＲＦ等の高周波、酸素プラズマなどの作用に対する遮蔽膜として機能することが好ましい。このため、導電体２４２は、３００ＭＨｚ以上３００ＧＨｚ以下、例えば、２．４ＧＨｚ以上２．５ＧＨｚ以下の電磁波を遮蔽する機能を有することが好ましい。

［０４８５］

図２１Ｂ乃至図２１Ｄに示すように、導電体２４２ａおよび導電体２４２ｂは、マイクロ波、またはＲＦ等の高周波、酸素プラズマなどの作用を遮蔽するため、これらの作用は領域２３０ａおよび領域２３０ｂには及ばない。これにより、マイクロ波処理によって、領域２３０ａおよび領域２３０ｂで、V_OHの低減、および過剰な量の酸素供給が発生しないため、キャリア濃度の低下を防ぐことができる。

［０４８６］

また、導電体２４２ａおよび導電体２４２ｂの側面に接して、酸素に対するバリア性を有する絶縁体２５２が設けられている。これにより、マイクロ波処理によって、導電体２４２ａおよび導電体２４２ｂの側面に酸化膜が形成されるのを抑制できる。

［０４８７］

また、絶縁体２５２の膜質を向上させることができるため、トランジスタ２００の信頼性が向上する。

［０４８８］

以上のようにして、酸化物半導体の領域２３０ｃで選択的に酸素欠損、およびV_OHを除去して、領域２３０ｃをｉ型または実質的にｉ型とすることができる。さらに、ソース領域またはドレイン領域として機能する領域２３０ａおよび領域２３０ｂに過剰な酸素が供給されるのを抑制し、マイクロ波処理を行う前のｎ型の領域の状態を維持することができる。これにより、トランジスタ２００の電気特性の変動を抑制し、基板面内でトランジスタ２００の電気特性がばらつくのを抑制できる。

［０４８９］

次に絶縁膜２５０Ａを成膜する（図２２Ａ乃至図２２Ｄ参照）。絶縁膜２５０Ａは、実施の形態１で説明した絶縁膜５０Ａの成膜方法を参酌して形成すればよい。絶縁膜２５０Ａは、水素原子が低減または除去されたガスを用いた成膜方法で成膜することが好ましい。これにより、絶縁膜２５０Ａの水素濃度を低減できる。絶縁膜２５０Ａは、後の工程で、薄い膜厚の絶縁体２５２を介して酸化物２３０と対向する絶縁体２５０となるため、このように水素濃度が低減されていることが好適である。

［０４９０］

本実施の形態では、絶縁膜２５０Ａとして酸化窒化シリコンをＰＥＣＶＤ法によって成膜する。

［０４９１］

また、絶縁体２５０を図１５Ｂに示す２層積層構造にする場合、絶縁膜２５０Ａの成膜後に絶縁体２５０ｂとなる絶縁膜を成膜すればよい。絶縁体２５０ｂとなる絶縁膜の成膜は、スパッタリング法、ＣＶＤ法、ＭＢＥ法、ＰＬＤ法、またはＡＬＤ法などを用いることができる。絶縁体２５０ｂとなる絶縁膜は、酸素の拡散を抑制する機能を有する絶縁体を用いて形成することが好ましい。このような構成にすることで、絶縁体２５０ａに含まれる酸素が、導電体２６０へ拡散するのを抑

制できる。つまり、酸化物２３０へ供給する酸素量の減少を抑制できる。また、絶縁体２５０ａに含まれる酸素による導電体２６０の酸化を抑制できる。絶縁体２５０ｂとなる絶縁膜は、絶縁体２２２と同様の材料を用いて設けることができる。例えば、絶縁体２５０ｂとなる絶縁膜として酸化ハフニウムを熱ＡＬＤ法で成膜すればよい。

［０４９２］

絶縁膜２５０Ａの成膜後にマイクロ波処理を行ってもよい（図２２Ａ乃至図２２Ｄ参照）。当該マイクロ波処理は、前述の絶縁膜２５２Ａの成膜後に行うマイクロ波処理条件を用いてもよい。また、絶縁膜２５２Ａの成膜後に行うマイクロ波処理は行わずに、絶縁膜２５０Ａの成膜後にマイクロ波処理を行ってもよい。また、上記のように絶縁体２５０ｂとなる絶縁膜を設ける場合、成膜後にマイクロ波処理を行ってもよい。当該マイクロ波処理は、前述の絶縁膜２５２Ａの成膜後に行うマイクロ波処理条件を用いてもよい。また、絶縁膜２５２Ａまたは絶縁膜２５０Ａの成膜後に行うマイクロ波処理は行わずに、絶縁体２５０ｂとなる絶縁膜の成膜後にマイクロ波処理を行ってもよい。

［０４９３］

また、絶縁膜２５２Ａ、絶縁膜２５０Ａの成膜後、および絶縁体２５０ｂとなる絶縁膜の成膜後それぞれのマイクロ波処理後に減圧状態を保ったままで、加熱処理を行ってもよい。このような処理を行うことで、絶縁膜２５２Ａ中、絶縁膜２５０Ａ中、絶縁体２５０ｂとなる絶縁膜中、および酸化物２３０中の水素を効率よく除去することができる。また、水素の一部は、導電体２４２（導電体２４２ａ、および導電体２４２ｂ）にゲッタリングされる場合がある。または、マイクロ波処理後に減圧状態を保ったままで、加熱処理を行うステップを複数回繰り返して行ってもよい。加熱処理を繰り返し行うことで、絶縁膜２５２Ａ中、絶縁膜２５０Ａ中、絶縁体２５０ｂとなる絶縁膜中、および酸化物２３０中の水素をさらに効率よく除去することができる。なお、加熱処理温度は、３００℃以上５００℃以下とすることが好ましい。また、上記マイクロ波処理、すなわちマイクロ波アニールが該加熱処理を兼ねてもよい。マイクロ波アニールにより、酸化物２３０などが十分加熱される場合、該加熱処理を行わなくてもよい。

［０４９４］

また、マイクロ波処理を行って絶縁膜２５２Ａ、絶縁膜２５０Ａ、および絶縁体２５０ｂとなる絶縁膜の膜質を改質することで、水素、水、不純物等の拡散を抑制できる。従って、導電体２６０となる導電膜の成膜などの後工程、または熱処理などの後処理により、絶縁体２５２を介して、水素、水、不純物等が、酸化物２３０などへ拡散することを抑制できる。

［０４９５］

次に、絶縁膜２５４Ａを成膜する（図２３Ａ乃至図２３Ｄ参照）。絶縁膜２５４Ａの成膜は、スパッタリング法、ＣＶＤ法、ＭＢＥ法、ＰＬＤ法、またはＡＬＤ法などを用いることができる。絶縁膜２５４Ａは、絶縁膜２５２Ａと同様にＡＬＤ法を用いて成膜することが好ましい。ＡＬＤ法を用いて成膜することで、絶縁膜２５４Ａを薄い膜厚で被覆性良く成膜することができる。本実施の形態では、絶縁膜２５４Ａとして窒化シリコンをＰＥＡＬＤ法で成膜する。

［０４９６］

次に、導電体２６０ａとなる導電膜、導電体２６０ｂとなる導電膜を順に成膜する。導電体２６０ａとなる導電膜および導電体２６０ｂとなる導電膜の成膜は、スパッタリング法、ＣＶＤ法、ＭＢＥ法、ＰＬＤ法、またはＡＬＤ法などを用いて行うことができる。本実施の形態では、ＡＬＤ法

を用いて、導電体２６０ａとなる導電膜として窒化チタンを成膜し、ＣＶＤ法を用いて導電体２６０ｂとなる導電膜としてタングステンを成膜する。

［０４９７］

次に、ＣＭＰ処理によって、絶縁膜２５２Ａ、絶縁膜２５０Ａ、絶縁膜２５４Ａ、導電体２６０ａとなる導電膜、および導電体２６０ｂとなる導電膜を絶縁体２８０が露出するまで研磨することによって、絶縁体２５２、絶縁体２５０、絶縁体２５４、および導電体２６０（導電体２６０ａ、および導電体２６０ｂ）を形成する（図２４Ａ乃至図２４Ｄ参照）。これにより、絶縁体２５２は、酸化物２３０に達する開口を覆うように配置される。また、導電体２６０は、絶縁体２５２、絶縁体２５０、および絶縁体２５４を介して、上記開口を埋め込むように配置される。

［０４９８］

次に、上記の加熱処理と同様の条件で加熱処理を行ってもよい。本実施の形態では、窒素雰囲気にて４００℃の温度で１時間の処理を行う。当該加熱処理によって、絶縁体２５０および絶縁体２８０中の水分濃度および水素濃度を低減させることができる。なお、上記加熱処理後、大気に曝すことなく連続して、絶縁体２８２の成膜を行ってもよい。

［０４９９］

次に、絶縁体２５２上、絶縁体２５０上、絶縁体２５４上、導電体２６０上、および絶縁体２８０上に、絶縁体２８２を形成する（図２４Ａ乃至図２４Ｄ参照）。絶縁体２８２は、実施の形態１で説明した絶縁体８２の成膜方法を参酌して形成すればよい。

［０５００］

次に、リソグラフィー法によって、絶縁体２８２上にエッチングマスクを形成し、絶縁体２８２の一部、絶縁体２８０の一部、絶縁体２７５の一部、絶縁体２２２一部、および絶縁体２１６の一部を、絶縁体２１４の上面が露出するまで加工する（図２５Ａ乃至図２５Ｄ参照）。当該加工は、ウェットエッチングを用いてもよいが、ドライエッチングを用いるほうが微細加工には好ましい。

［０５０１］

次に加熱処理を行ってもよい。加熱処理は、２５０℃以上６５０℃以下、好ましくは３５０℃以上６００℃以下で行えばよい。また、当該加熱処理は、酸化膜２３０Ａ成膜後に行う加熱処理温度よりも低いことが好ましい。なお、加熱処理は、窒素ガスもしくは不活性ガスの雰囲気で行う。当該加熱処理を行うことで、絶縁体２８０に添加された酸素の一部が、絶縁体２５０などを介して酸化物２３０に拡散する。

［０５０２］

また、当該加熱処理を行うことで、絶縁体２８２、絶縁体２８０、絶縁体２７５、絶縁体２２２、および絶縁体２１６の加工により、形成された絶縁体２８０の側面から、絶縁体２８０に含まれる酸素、および当該酸素と結合した水素を外部に放出することができる。なお、酸素と結合した水素は、水として放出される。従って、絶縁体２８０に含まれる、不要な酸素、および水素を低減できる。

［０５０３］

さらに、酸化物２３０の導電体２６０と重なる領域において、酸化物２３０の上面および側面に接して絶縁体２５２が設けられている。絶縁体２５２は、酸素に対するバリア性を有するため、過剰な量の酸素が酸化物２３０に拡散するのを低減できる。これにより、領域２３０ｃおよびその近傍に、過剰な量の酸素が供給されないように、酸素を供給することができる。これにより、過剰な

酸素によって、導電体２４２の側面が酸化されるのを抑制しながら、領域２３０ｃに形成される、酸素欠損、およびV_OHを低減できる。よって、トランジスタ２００の電気特性を良好にし、信頼性を向上させることができる。

［０５０４］

一方で、トランジスタ２００が高密度に集積化される場合、１個のトランジスタ２００に対する絶縁体２８０の体積が過剰に小さくなる場合がある。この場合、上記熱処理において、酸化物２３０に拡散する酸素量が顕著に小さくなる。酸素が十分に含まれていない酸化絶縁体（例えば、絶縁体２５０など）が接した状態で酸化物２３０を加熱すると、酸化物２３０を構成する酸素が脱離する恐れがある。しかしながら、本実施の形態に示すトランジスタ２００では、酸化物２３０の導電体２６０と重なる領域において、酸化物２３０の上面および側面に接して絶縁体２５２が設けられている。絶縁体２５２は、酸素に対するバリア性を有するため、上記熱処理においても、酸化物２３０からの酸素の脱離を低減できる。これにより、領域２３０ｃに形成される、酸素欠損、およびV_OHを低減できる。よって、トランジスタ２００の電気特性を良好にし、信頼性を向上させることができる。

［０５０５］

以上に示すように、本実施の形態に係る半導体装置において、絶縁体２８０からの酸素の供給量が多い場合も、少ない場合も、良好な電気特性および良好な信頼性を有するトランジスタが形成することができる。よって、基板面内でトランジスタ２００の電気特性がばらつくことを抑制した半導体装置を提供できる。

［０５０６］

次に、絶縁体２８２上に、絶縁体２８３を形成する（図２６Ａ乃至図２６Ｄ参照）。絶縁体２８３の成膜は、スパッタリング法、ＣＶＤ法、ＭＢＥ法、ＰＬＤ法、またはＡＬＤ法などを用いて行うことができる。絶縁体２８３の成膜は、スパッタリング法を用いて行うことが好ましい。成膜ガスに水素を含む分子を用いなくてもよいスパッタリング法を用いることで、絶縁体２８３中の水素濃度を低減できる。また、絶縁体２８３は、多層としてもよい。例えば、スパッタリング法を用いて、窒化シリコンを成膜し、当該窒化シリコン上に、ＡＬＤ法を用いて窒化シリコンを成膜してもよい。バリア性の高い絶縁体２８３および絶縁体２１４でトランジスタ２００を包み込むことで、外部から水分、および水素が侵入するのを防止することができる。

［０５０７］

次に、絶縁体２８３上に、絶縁体２７４を形成する。絶縁体２７４の成膜は、スパッタリング法、ＣＶＤ法、ＭＢＥ法、ＰＬＤ法、またはＡＬＤ法などを用いて行うことができる。本実施の形態では、絶縁体２７４として、ＣＶＤ法によって酸化シリコンを成膜する。

［０５０８］

次に、ＣＭＰ処理によって、絶縁体２７４を絶縁体２８３が露出するまで研磨することによって、絶縁体２７４の上面を平坦化する（図２６Ａ乃至図２６Ｄ参照）。当該ＣＭＰ処理により、絶縁体２８３の上面の一部が除去される場合がある。

［０５０９］

次に、絶縁体２７４上、および絶縁体２８３上に、絶縁体２８５を形成する（図２７Ａ乃至図２７Ｄ参照）。絶縁体２８５の成膜は、スパッタリング法、ＣＶＤ法、ＭＢＥ法、ＰＬＤ法、またはＡＬＤ法などを用いて行うことができる。絶縁体２８５の成膜は、スパッタリング法を用いて行う

ことが好ましい。成膜ガスに水素を含む分子を用いなくてもよいスパッタリング法を用いることで、絶縁体２８５中の水素濃度を低減できる。

［０５１０］

本実施の形態では、絶縁体２８５として、スパッタリング法によって酸化シリコンを成膜する。

［０５１１］

次に、絶縁体２７１、絶縁体２７５、絶縁体２８０、絶縁体２８２、絶縁体２８３、および絶縁体２８５に、導電体２４２に達する開口を形成する（図２７Ａおよび図２７Ｂ参照）。当該開口の形成は、リソグラフィー法を用いて行えばよい。なお、図２７Ａで当該開口の形状は、上面視において円形状にしているが、これに限られるものではない。例えば、当該開口が、上面視において、楕円などの略円形状、四角形などの多角形状、四角形等の多角形の角部を丸めた形状になっていてもよい。

［０５１２］

次に、絶縁体２４１となる絶縁膜を成膜し、当該絶縁膜を異方性エッチングして絶縁体２４１を形成する（図２７Ｂ参照）。当該絶縁膜の成膜は、スパッタリング法、ＣＶＤ法、ＭＢＥ法、ＰＬＤ法、またはＡＬＤ法などを用いて行うことができる。当該絶縁膜としては、酸素の透過を抑制する機能を有する絶縁膜を用いることが好ましい。例えば、ＡＬＤ法を用いて、酸化アルミニウムを成膜し、その上に、ＰＥＡＬＤ法を用いて、窒化シリコンを成膜することが好ましい。窒化シリコンは水素に対するブロッキング性が高いため好ましい。

［０５１３］

また、絶縁体２４１となる絶縁膜の異方性エッチングとしては、例えばドライエッチング法などを用いればよい。開口の側壁部に絶縁体２４１を設けることで、外方からの酸素の透過を抑制し、次に形成する導電体２４０ａおよび導電体２４０ｂの酸化を防止することができる。また、導電体２４０ａおよび導電体２４０ｂに、絶縁体２８０などに含まれる、水、水素などの不純物が拡散することを防ぐことができる。

［０５１４］

次に、導電体２４０ａおよび導電体２４０ｂとなる導電膜を成膜する。当該導電膜は、水、水素など不純物の透過を抑制する機能を有する導電体を含む積層構造とすることが望ましい。たとえば、窒化タンタル、窒化チタンなどと、タングステン、モリブデン、銅など、と、の積層とすることができる。当該導電膜の成膜は、スパッタリング法、ＣＶＤ法、ＭＢＥ法、ＰＬＤ法またはＡＬＤ法などを用いて行うことができる。

［０５１５］

次に、ＣＭＰ処理を行うことで、導電体２４０ａおよび導電体２４０ｂとなる導電膜の一部を除去し、絶縁体２８５の上面を露出する。その結果、開口のみに、当該導電膜が残存することで上面が平坦な導電体２４０ａおよび導電体２４０ｂを形成することができる（図２７Ａ乃至図２７Ｄ参照）。なお、当該ＣＭＰ処理により、絶縁体２８５の上面の一部が除去される場合がある。

［０５１６］

次に、導電体２４６となる導電膜を成膜する。当該導電膜の成膜は、スパッタリング法、ＣＶＤ法、ＭＢＥ法、ＰＬＤ法、またはＡＬＤ法などを用いて行うことができる。

［０５１７］

次に、導電体２４６となる導電膜をリソグラフィー法によって加工し、導電体２４０ａの上面と

接する導電体２４６ａ、および導電体２４０ｂの上面と接する導電体２４６ｂを形成する。この時、導電体２４６ａおよび導電体２４６ｂと、絶縁体２８５とが重ならない領域の絶縁体２８５の一部が除去されることがある。

［０５１８］

以上により、図１４Ａ乃至図１４Ｄに示すトランジスタ２００を有する半導体装置を作製できる。図１６Ａ乃至図２７Ｄに示すように、本実施の形態に示す半導体装置の作製方法を用いることで、トランジスタ２００を作製できる。

［０５１９］

＜半導体装置の変形例＞

以下では、図２８Ａ乃至図３０Ｄを用いて、本発明の一態様である半導体装置の一例について説明する。

［０５２０］

各図のＡは半導体装置の上面図を示す。また、各図のＢは、各図のＡにＡ１－Ａ２の一点鎖線で示す部位に対応する断面図である。また、各図のＣは、各図のＡにＡ３－Ａ４の一点鎖線で示す部位に対応する断面図である。また、各図のＤは、各図のＡにＡ５－Ａ６の一点鎖線で示す部位に対応する断面図である。各図のＡの上面図では、図の明瞭化のために一部の要素を省いている。

［０５２１］

なお、各図のＡ乃至Ｄに示す半導体装置において、＜半導体装置の構成例＞に示した半導体装置を構成する構造と同機能を有する構造には、同符号を付記する。なお、本項目においても、半導体装置の構成材料については＜半導体装置の構成例＞で詳細に説明した材料を用いることができる。

［０５２２］

＜半導体装置の変形例１＞

図２８Ａ乃至図２８Ｄに示す半導体装置は、図１４Ａ乃至図１４Ｄに示した半導体装置の変形例である。図２８Ａ乃至図２８Ｄに示す半導体装置は、図１４Ａ乃至図１４Ｄに示した半導体装置とは、絶縁体２８２が設けられていないことが異なる。従って、図２８Ａ乃至図２８Ｄに示す半導体装置では、絶縁体２８３が、導電体２６０の上面、絶縁体２８０の上面、絶縁体２５４の最上部、絶縁体２５０の最上部、および絶縁体２５２の最上部に接する。

［０５２３］

例えば、図２１または図２２に示すマイクロ波処理などによって、酸化物２３０に十分な酸素を供給することができる場合、絶縁体２８２を設けて絶縁体２８０に酸素を添加しなくても、領域２３０ｃを実質的にｉ型にすることができる。このような場合、図２８Ａ乃至図２８Ｄに示すように、絶縁体２８２を設けない構成にすることで、半導体装置の作製工程を簡略化し、生産性の向上を図ることができる。

［０５２４］

＜半導体装置の変形例２＞

図２９Ａ乃至図２９Ｄに示す半導体装置は、図１４Ａ乃至図１４Ｄに示した半導体装置の変形例である。図２９Ａ乃至図２９Ｄに示す半導体装置は、図１４Ａ乃至図１４Ｄに示した半導体装置とは、酸化物２４３（酸化物２４３ａ、及び酸化物２４３ｂ）が設けられていることが異なる。酸化物２４３ａは、酸化物２３０と導電体２４２ａの間に設けられ、酸化物２４３ｂは、酸化物２３０と導電体２４２ｂの間に設けられる。ここで、酸化物２４３ａは、酸化物２３０の上面、および導

電体２４２ａの下面に接することが好ましい。また、酸化物２４３ｂは、酸化物２３０の上面、および導電体２４２ｂの下面に接することが好ましい。

［０５２５］

酸化物２４３は、酸素の透過を抑制する機能を有することが好ましい。ソース電極またはドレイン電極として機能する導電体２４２と酸化物２３０との間に酸素の透過を抑制する機能を有する酸化物２４３を配置することで、導電体２４２と、酸化物２３０との間の電気抵抗が低減されるため好ましい。このような構成とすることで、トランジスタ２００の電気特性、電界効果移動度、および信頼性を向上させることができる場合がある。

［０５２６］

また、酸化物２４３として、元素Ｍを有する金属酸化物を用いてもよい。特に、元素Ｍは、アルミニウム、ガリウム、イットリウム、または錫を用いるとよい。また、酸化物２４３は、酸化物２３０よりも元素Ｍの濃度が高いことが好ましい。また、酸化物２４３として、酸化ガリウムを用いてもよい。また、酸化物２４３として、Ｉｎ－Ｍ－Ｚｎ酸化物等の金属酸化物を用いてもよい。具体的には、酸化物２４３に用いる金属酸化物において、Ｉｎに対する元素Ｍの原子数比が、酸化物２３０に用いる金属酸化物における、Ｉｎに対する元素Ｍの原子数比より大きいことが好ましい。また、酸化物２４３の膜厚は、０．５ｎｍ以上５ｎｍ以下が好ましく、より好ましくは１ｎｍ以上３ｎｍ以下、さらに好ましくは１ｎｍ以上２ｎｍ以下である。また、酸化物２４３は、結晶性を有すると好ましい。酸化物２４３が結晶性を有する場合、酸化物２３０中の酸素の放出を好適に抑制することが出来る。例えば、酸化物２４３としては、六方晶などの結晶構造であれば、酸化物２３０中の酸素の放出を抑制できる場合がある。

［０５２７］

＜半導体装置の変形例３＞

図３０Ａ乃至図３０Ｄに示す半導体装置は、図１４Ａ乃至図１４Ｄに示した半導体装置の変形例である。図３０Ａ乃至図３０Ｄに示す半導体装置は、図１４Ａ乃至図１４Ｄに示した半導体装置とは、絶縁体２８３が、絶縁体２１２の上面の一部と接する構造となっているところが異なる。従って、トランジスタ２００は、絶縁体２８３、および絶縁体２１２で封止された領域内に配置される。上記構成にすることで、上記封止された領域外に含まれる水素が、上記封止された領域内に混入することを抑制できる。また、図３０Ａ乃至図３０Ｄに示すトランジスタ２００では、絶縁体２１２、および絶縁体２８３を、単層として設ける構成について示しているが、本発明はこれに限られるものではない。例えば、絶縁体２１２、および絶縁体２８３のそれぞれを２層以上の積層構造として設ける構成にしてもよい。

［０５２８］

トランジスタ２００などのＯＳトランジスタは、放射線照射による電気特性の変動が小さい、つまり放射線に対する耐性が高いため、放射線が入射しうる環境においても好適に用いることができる。例えば、ＯＳトランジスタは、宇宙空間にて使用する場合に好適に用いることができる。具体的には、ＯＳトランジスタを、スペースシャトル、人工衛星、宇宙探査機などに設けられる半導体装置を構成するトランジスタに用いることができる。放射線として、例えば、Ｘ線、及び中性子線などが挙げられる。また、宇宙空間とは、例えば、高度１００ｋｍ以上を指すが、本明細書に記載の宇宙空間は、熱圏、中間圏、及び成層圏を含んでもよい。

［０５２９］

＜半導体装置の応用例＞

以下では、図３１を用いて、本発明の一態様である半導体装置の一例について説明する。

［０５３０］

図３１Ａは半導体装置５００の上面図を示す。図３１Ａに示すｘ軸は、トランジスタ２００のチャネル長方向に平行にとっており、ｙ軸はｘ軸に垂直にとっている。また、図３１Ｂは、図３１Ａに示すＡ１－Ａ２の一点鎖線で示す部位に対応する断面図であり、トランジスタ２００のチャネル長方向の断面図でもある。図３１Ｃは、図３１Ａに示すＡ３－Ａ４の一点鎖線で示す部位に対応する断面図であり、開口領域４００およびその近傍の断面図でもある。なお、図３１Ａの上面図では、図の明瞭化のために一部の要素を省いている。

［０５３１］

なお、図３１Ａ乃至図３１Ｃに示す半導体装置において、＜半導体装置の構成例＞に示した半導体装置を構成する構造と同機能を有する構造には、同符号を付記する。なお、本項目においても、半導体装置の構成材料については＜半導体装置の構成例＞で詳細に説明した材料を用いることができる。

［０５３２］

図３１Ａ乃至図３１Ｃに示す半導体装置５００は、図１４Ａ乃至図１４Ｄに示した半導体装置の変形例である。図３１Ａ乃至図３１Ｃに示す半導体装置５００は、絶縁体２８２および絶縁体２８０に開口領域４００が形成されている点が、図１４Ａ乃至図１４Ｄに示す半導体装置と異なる。また、複数のトランジスタ２００を取り囲むように封止部２６５が形成されている点が、図１４Ａ乃至図１４Ｄに示す半導体装置と異なる。

［０５３３］

半導体装置５００は、マトリクス状に配列された、複数のトランジスタ２００、および複数の開口領域４００を有している。また、トランジスタ２００のゲート電極として機能する、複数の導電体２６０が、ｙ軸方向に延在して設けられている。開口領域４００は、酸化物２３０、および導電体２６０と重畳しない領域に形成されている。また、複数のトランジスタ２００、複数の導電体２６０、および複数の開口領域４００を取り囲むように封止部２６５が形成されている。なお、トランジスタ２００、導電体２６０、および開口領域４００の個数、配置、および大きさは、図３１に示す構造に限られることなく、半導体装置５００の設計に合わせて適宜設定すればよい。

［０５３４］

図３１Ｂおよび図３１Ｃに示すように、封止部２６５は、複数のトランジスタ２００、絶縁体２１６、絶縁体２２２、絶縁体２７５、絶縁体２８０、および絶縁体２８２を取り囲むように設けられている。言い換えると、絶縁体２８３は、絶縁体２１６、絶縁体２２２、絶縁体２７５、絶縁体２８０、および絶縁体２８２を覆うように設けられている。また、封止部２６５では、絶縁体２８３が絶縁体２１４の上面に接している。また、封止部２６５の上方では、絶縁体２８３と絶縁体２８５の間に絶縁体２７４が設けられている。絶縁体２７４の上面は、絶縁体２８３の最上面と高さが一致または概略一致している。また、絶縁体２７４としては、絶縁体２８０と同様の絶縁体を用いることができる。

［０５３５］

このような構造にすることで、複数のトランジスタ２００を、絶縁体２８３と絶縁体２１４および絶縁体２１２で包み込むことができる。ここで、絶縁体２８３、絶縁体２１４、および絶縁体２

１２の一または複数は、水素に対するバリア絶縁膜として機能することが好ましい。これにより、封止部２６５の領域外に含まれる水素が、封止部２６５の領域内に混入することを抑制できる。

［０５３６］

図３１Ｃに示すように、開口領域４００において、絶縁体２８２は開口部を有する。また、開口領域４００において、絶縁体２８０は、絶縁体２８２の開口部に重なって、溝部を有していてもよい。絶縁体２８０の溝部の深さは、深くとも絶縁体２７５の上面が露出するまでにすればよく、例えば、絶縁体２８０の最大膜厚の１／４以上１／２以下程度にすればよい。

［０５３７］

また、図３１Ｃに示すように、絶縁体２８３は、開口領域４００の内側で、絶縁体２８２の側面、絶縁体２８０の側面、および絶縁体２８０の上面に接する。また、開口領域４００内で、絶縁体２８３に形成された凹部を埋め込むように、絶縁体２７４の一部が形成される場合がある。このとき、開口領域４００内に形成された絶縁体２７４の上面と、絶縁体２８３の最上面の高さが、一致または概略一致する場合がある。

［０５３８］

このような開口領域４００が形成され、絶縁体２８２の開口部から絶縁体２８０が露出した状態で、加熱処理を行うことにより、酸化物２３０に酸素を供給しながら、絶縁体２８０に含まれる酸素の一部を開口領域４００から外方拡散させることができる。これにより、加熱により脱離する酸素を含む絶縁体２８０から、酸化物半導体層中の、チャネル形成領域として機能する領域、およびその近傍に、十分な酸素を供給し、かつ過剰な量の酸素が供給されないようにすることができる。

［０５３９］

このとき、絶縁体２８０に含まれる水素を、酸素と結合させて、開口領域４００を介して外部に放出することができる。酸素と結合した水素は、水として放出される。よって、絶縁体２８０に含まれる水素を低減し、絶縁体２８０中に含まれる水素が酸化物２３０に混入するのを低減できる。

［０５４０］

また、図３１Ａにおいて、開口領域４００の上面視における形状は、略長方形状にしているが、本発明はこれに限られるものではない。例えば、開口領域４００の上面視における形状は、長方形、楕円形、円形、菱形、またはこれらを組み合わせた形状としてもよい。また、開口領域４００の面積、および配置間隔は、トランジスタ２００を含む半導体装置の設計に合わせて適宜設定することができる。例えば、トランジスタ２００の密度が小さい領域では、開口領域４００の面積を広げる、または、開口領域４００の配置間隔を狭めればよい。また、例えば、トランジスタ２００の密度が大きい領域では、開口領域４００の面積を狭める、または開口領域４００の配置間隔を広げればよい。

［０５４１］

本発明の一態様により、トランジスタ特性のばらつきが少ない半導体装置を提供できる。または、本発明の一態様により、良好な電気特性を有する半導体装置を提供できる。または、本発明の一態様により、信頼性が良好な半導体装置を提供できる。または、本発明の一態様により、オン電流が大きい半導体装置を提供できる。または、本発明の一態様により、電界効果移動度が大きい半導体装置を提供できる。または、本発明の一態様により、周波数特性が良好な半導体装置を提供できる。または、本発明の一態様により、微細化または高集積化が可能な半導体装置を提供できる。または、本発明の一態様により、低消費電力の半導体装置を提供できる。

［０５４２］

以上、本実施の形態に示す構成、方法などは、少なくともその一部を、本明細書中に記載する他の実施の形態、他の実施例などと適宜組み合わせて実施することができる。

［０５４３］

（実施の形態３）

本実施の形態では、半導体装置の一形態を、図３２乃至図３６を用いて説明する。なお、本実施の形態に記載の半導体装置は、記憶装置と言い換えることができる場合がある。また、本明細書等において記憶装置は半導体装置の一態様であるため、本実施の形態に記載の記憶装置は、半導体装置と言い換えることができる。

［０５４４］

［記憶装置１］

本発明の一態様の記憶装置の一例を図３２に示す。本発明の一態様の記憶装置では、トランジスタ２００はトランジスタ３００の上方に設けられ、容量素子１００はトランジスタ３００、およびトランジスタ２００の上方に設けられている。なお、トランジスタ２００として、先の実施の形態で説明したトランジスタ２００を用いることができる。

［０５４５］

トランジスタ２００は、酸化物半導体を有する半導体層にチャネルが形成されるトランジスタである。トランジスタ２００は、オフ電流が小さいため、これを記憶装置に用いることにより長期にわたり記憶内容を保持することが可能である。つまり、リフレッシュ動作を必要としない、あるいは、リフレッシュ動作の頻度が極めて少ないため、記憶装置の消費電力を十分に低減できる。

［０５４６］

図３２に示す記憶装置において、配線１００１はトランジスタ３００のソースと電気的に接続され、配線１００２はトランジスタ３００のドレインと電気的に接続されている。また、配線１００３はトランジスタ２００のソースおよびドレインの一方と電気的に接続され、配線１００４はトランジスタ２００の第１のゲートと電気的に接続され、配線１００６はトランジスタ２００の第２のゲートと電気的に接続されている。そして、トランジスタ３００のゲート、およびトランジスタ２００のソースおよびドレインの他方は、容量素子１００の電極の一方と電気的に接続され、配線１００５は容量素子１００の電極の他方と電気的に接続されている。

［０５４７］

また、図３２に示す記憶装置は、マトリクス状に配置することで、メモリセルアレイを構成することができる。

［０５４８］

＜トランジスタ３００＞

トランジスタ３００は、基板３１１上に設けられ、ゲートとして機能する導電体３１６、ゲート絶縁体として機能する絶縁体３１５、基板３１１の一部からなる半導体領域３１３、およびソース領域またはドレイン領域として機能する低抵抗領域３１４ａ、および低抵抗領域３１４ｂを有する。トランジスタ３００は、ｐチャネル型、あるいはｎチャネル型のいずれでもよい。

［０５４９］

ここで、図３２に示すトランジスタ３００はチャネルが形成される半導体領域３１３（基板３１１の一部）が凸形状を有する。また、半導体領域３１３の側面および上面を、絶縁体３１５を介し

て、導電体３１６が覆うように設けられている。なお、導電体３１６は仕事関数を調整する材料を用いてもよい。このようなトランジスタ３００は半導体基板の凸部を利用していることからＦＩＮ型トランジスタとも呼ばれる。なお、凸部の上部に接して、凸部を形成するためのマスクとして機能する絶縁体を有していてもよい。また、ここでは半導体基板の一部を加工して凸部を形成する場合を示したが、ＳＯＩ基板を加工して凸形状を有する半導体膜を形成してもよい。

［０５５０］

なお、図３２に示すトランジスタ３００は一例であり、その構造に限定されず、回路構成または駆動方法に応じて適切なトランジスタを用いればよい。

［０５５１］

＜容量素子１００＞

容量素子１００は、トランジスタ２００の上方に設けられる。容量素子１００は、第１の電極として機能する導電体１１０と、第２の電極として機能する導電体１２０、および誘電体として機能する絶縁体１３０とを有する。ここで、絶縁体１３０は、上記実施の形態に示す絶縁体２８３として用いることができる絶縁体を用いることが好ましい。

［０５５２］

また、例えば、導電体２４０上に設けた導電体１１２と、導電体１１０は、同時に形成することができる。なお、導電体１１２は、容量素子１００、トランジスタ２００、またはトランジスタ３００と電気的に接続するプラグ、または配線としての機能を有する。

［０５５３］

図３２では、導電体１１２、および導電体１１０は単層構造を示したが、当該構成に限定されず、２層以上の積層構造でもよい。例えば、バリア性を有する導電体と導電性が高い導電体との間に、バリア性を有する導電体、および導電性が高い導電体に対して密着性が高い導電体を形成してもよい。

［０５５４］

また、絶縁体１３０は、例えば、酸化シリコン、酸化窒化シリコン、窒化酸化シリコン、窒化シリコン、酸化アルミニウム、酸化窒化アルミニウム、窒化酸化アルミニウム、窒化アルミニウム、酸化ハフニウム、酸化窒化ハフニウム、窒化酸化ハフニウム、窒化ハフニウムなどを用いればよく、積層または単層で設けることができる。

［０５５５］

例えば、絶縁体１３０には、酸化窒化シリコンなどの絶縁耐力が大きい材料と、高誘電率（ｈｉｇｈ－ｋ）材料との積層構造を用いることが好ましい。当該構成により、容量素子１００は、高誘電率（ｈｉｇｈ－ｋ）の絶縁体を有することで、十分な容量を確保でき、絶縁耐力が大きい絶縁体を有することで、絶縁耐力が向上し、容量素子１００の静電破壊を抑制できる。

［０５５６］

なお、高誘電率（ｈｉｇｈ－ｋ）材料（高い比誘電率の材料）としては、酸化ガリウム、酸化ハフニウム、酸化ジルコニウム、アルミニウムおよびハフニウムを有する酸化物、アルミニウムおよびハフニウムを有する酸化窒化物、シリコンおよびハフニウムを有する酸化物、シリコンおよびハフニウムを有する酸化窒化物またはシリコンおよびハフニウムを有する窒化物などがある。

［０５５７］

一方、絶縁耐力が大きい材料（低い比誘電率の材料）としては、酸化シリコン、酸化窒化シリコ

ン、窒化酸化シリコン、窒化シリコン、フッ素を添加した酸化シリコン、炭素を添加した酸化シリコン、炭素および窒素を添加した酸化シリコン、空孔を有する酸化シリコン、樹脂などがある。

［０５５８］

＜配線層＞

各構造体の間には、層間膜、配線、およびプラグ等が設けられた配線層が設けられていてもよい。また、配線層は、設計に応じて複数層設けることができる。ここで、プラグまたは配線としての機能を有する導電体は、複数の構造をまとめて同一の符号を付与する場合がある。また、本明細書等において、配線と、配線と電気的に接続するプラグとが一体物であってもよい。すなわち、導電体の一部が配線として機能する場合、および導電体の一部がプラグとして機能する場合もある。

［０５５９］

例えば、トランジスタ３００上には、層間膜として、絶縁体３２０、絶縁体３２２、絶縁体３２４、および絶縁体３２６が順に積層して設けられている。また、絶縁体３２０、絶縁体３２２、絶縁体３２４、および絶縁体３２６には容量素子１００、またはトランジスタ２００と電気的に接続する導電体３２８、および導電体３３０等が埋め込まれている。なお、導電体３２８、および導電体３３０はプラグ、または配線として機能する。

［０５６０］

また、層間膜として機能する絶縁体は、その下方の凹凸形状を被覆する平坦化膜として機能してもよい。例えば、絶縁体３２２の上面は、平坦性を高めるために化学機械研磨（ＣＭＰ）法等を用いた平坦化処理により平坦化されていてもよい。

［０５６１］

絶縁体３２６、および導電体３３０上に、配線層を設けてもよい。例えば、図３２において、絶縁体３５０、絶縁体３５２、及び絶縁体３５４が順に積層して設けられている。また、絶縁体３５０、絶縁体３５２、及び絶縁体３５４には、導電体３５６が形成されている。導電体３５６は、プラグ、または配線として機能する。

［０５６２］

同様に、絶縁体２１０、絶縁体２１２、絶縁体２１４、および絶縁体２１６には、導電体２１８、及びトランジスタ２００を構成する導電体（導電体２０５）等が埋め込まれている。なお、導電体２１８は、容量素子１００、またはトランジスタ３００と電気的に接続するプラグ、または配線としての機能を有する。さらに、導電体１２０、および絶縁体１３０上には、絶縁体１５０が設けられている。

［０５６３］

ここで、上記実施の形態に示す絶縁体２４１と同様に、プラグとして機能する導電体２１８の側面に接して絶縁体２１７が設けられる。絶縁体２１７は、絶縁体２１０、絶縁体２１２、絶縁体２１４、および絶縁体２１６に形成された開口の内壁に接して設けられている。つまり、絶縁体２１７は、導電体２１８と、絶縁体２１０、絶縁体２１２、絶縁体２１４、および絶縁体２１６と、の間に設けられている。なお、導電体２０５は導電体２１８と並行して形成することができるため、導電体２０５の側面に接して絶縁体２１７が形成される場合もある。

［０５６４］

絶縁体２１７としては、例えば、窒化シリコン、酸化アルミニウム、または窒化酸化シリコンなどの絶縁体を用いればよい。絶縁体２１７は、絶縁体２１０、絶縁体２１２、絶縁体２１４、およ

び絶縁体２２２に接して設けられるため、絶縁体２１０または絶縁体２１６などから水または水素などの不純物が、導電体２１８を通じて酸化物２３０に混入するのを抑制できる。特に、窒化シリコンは水素に対するブロッキング性が高いため好適である。また、絶縁体２１０または絶縁体２１６に含まれる酸素が導電体２１８に吸収されるのを防ぐことができる。

［０５６５］

絶縁体２１７は、絶縁体２４１と同様の方法で形成することができる。例えば、ＰＥＡＬＤ法を用いて、窒化シリコンを成膜し、異方性エッチングを用いて導電体３５６に達する開口を形成すればよい。

［０５６６］

層間膜として用いることができる絶縁体としては、絶縁性を有する酸化物、窒化物、酸化窒化物、窒化酸化物、金属酸化物、金属酸化窒化物、金属窒化酸化物などがある。

［０５６７］

例えば、層間膜として機能する絶縁体には、比誘電率が低い材料を用いることで、配線間に生じる寄生容量を低減できる。したがって、絶縁体の機能に応じて、材料を選択するとよい。

［０５６８］

例えば、絶縁体１５０、絶縁体２１０、絶縁体３５２、および絶縁体３５４等には、比誘電率の低い絶縁体を有することが好ましい。例えば、当該絶縁体は、フッ素を添加した酸化シリコン、炭素を添加した酸化シリコン、炭素および窒素を添加した酸化シリコン、空孔を有する酸化シリコン、樹脂などを有することが好ましい。または、当該絶縁体は、酸化シリコン、酸化窒化シリコン、窒化酸化シリコン、窒化シリコン、フッ素を添加した酸化シリコン、炭素を添加した酸化シリコン、炭素および窒素を添加した酸化シリコンまたは空孔を有する酸化シリコンと、樹脂との積層構造を有することが好ましい。酸化シリコンおよび酸化窒化シリコンは、熱的に安定であるため、樹脂と組み合わせることで、熱的に安定かつ比誘電率の低い積層構造とすることができる。樹脂としては、例えば、ポリエステル、ポリオレフィン、ポリアミド（ナイロン、アラミドなど）、ポリイミド、ポリカーボネートまたはアクリルなどがある。

［０５６９］

また、酸化物半導体を用いたトランジスタは、水素などの不純物および酸素の透過を抑制する機能を有する絶縁体で囲うことによって、トランジスタの電気特性を安定にすることができる。従って、絶縁体２１４、絶縁体２１２および絶縁体３５０等には、水素などの不純物および酸素の透過を抑制する機能を有する絶縁体を用いればよい。

［０５７０］

水素などの不純物および酸素の透過を抑制する機能を有する絶縁体としては、例えば、ホウ素、炭素、窒素、酸素、フッ素、マグネシウム、アルミニウム、シリコン、リン、塩素、アルゴン、ガリウム、ゲルマニウム、イットリウム、ジルコニウム、ランタン、ネオジム、ハフニウムまたはタンタルを含む絶縁体を、単層で、または積層で用いればよい。具体的には、水素などの不純物および酸素の透過を抑制する機能を有する絶縁体として、酸化アルミニウム、酸化マグネシウム、酸化ガリウム、酸化ゲルマニウム、酸化イットリウム、酸化ジルコニウム、酸化ランタン、酸化ネオジム、酸化ハフニウムまたは酸化タンタルなどの金属酸化物、窒化酸化シリコンまたは窒化シリコンなどを用いることができる。

［０５７１］

配線、プラグに用いることができる導電体としては、アルミニウム、クロム、銅、銀、金、白金、タンタル、ニッケル、チタン、モリブデン、タングステン、ハフニウム、バナジウム、ニオブ、マンガン、マグネシウム、ジルコニウム、ベリリウム、インジウム、ルテニウムなどから選ばれた金属元素を１種以上含む材料を用いることができる。また、リン等の不純物元素を含有させた多結晶シリコンに代表される、電気伝導度が高い半導体、ニッケルシリサイドなどのシリサイドを用いてもよい。

［０５７２］

例えば、導電体３２８、導電体３３０、導電体３５６、導電体２１８、および導電体１１２等としては、上記の材料で形成される金属材料、合金材料、金属窒化物材料、または金属酸化物材料などの導電性材料を、単層または積層して用いることができる。耐熱性と導電性を両立するタングステン、モリブデンなどの高融点材料を用いることが好ましく、タングステンを用いることが好ましい。または、アルミニウム、銅などの低抵抗導電性材料で形成することが好ましい。低抵抗導電性材料を用いることで配線抵抗を低くすることができる。

［０５７３］

＜酸化物半導体が設けられた層の配線、またはプラグ＞

なお、トランジスタ２００に、酸化物半導体を用いる場合、酸化物半導体の近傍に過剰酸素領域を有する絶縁体を設けることがある。その場合、該過剰酸素領域を有する絶縁体と、該過剰酸素領域を有する絶縁体に設ける導電体との間に、バリア性を有する絶縁体を設けることが好ましい。

［０５７４］

例えば、図３２では、過剰酸素を有する絶縁体２８０と、導電体２４０との間に、絶縁体２４１を設けるとよい。絶縁体２４１と、絶縁体２２２、絶縁体２８２、および絶縁体２８３とが接して設けられることで、トランジスタ２００は、バリア性を有する絶縁体により、封止する構造とすることができる。

［０５７５］

つまり、絶縁体２４１を設けることで、絶縁体２８０が有する過剰酸素が、導電体２４０に吸収されることを抑制できる。また、絶縁体２４１を有することで、不純物である水素が、導電体２４０を介して、トランジスタ２００へ拡散することを抑制できる。

［０５７６］

なお、絶縁体２４１としては、水または水素などの不純物、および酸素の拡散を抑制する機能を有する絶縁性材料を用いるとよい。例えば、窒化シリコン、窒化酸化シリコン、酸化アルミニウムまたは酸化ハフニウムなどを用いることが好ましい。特に、窒化シリコンは水素に対するブロッキング性が高いため好ましい。また、他にも、例えば、酸化マグネシウム、酸化ガリウム、酸化ゲルマニウム、酸化イットリウム、酸化ジルコニウム、酸化ランタン、酸化ネオジムまたは酸化タンタルなどの金属酸化物などを用いることができる。

［０５７７］

また、上記実施の形態で示したように、トランジスタ２００は、絶縁体２１２、絶縁体２１４、絶縁体２８２、および絶縁体２８３で封止される構成にしてもよい。このような構成とすることで、絶縁体２７４、絶縁体１５０などに含まれる水素が絶縁体２８０などに混入するのを低減できる。

［０５７８］

ここで絶縁体２８３、および絶縁体２８２には導電体２４０が、絶縁体２１４、および絶縁体２

１２には導電体２１８が貫通しているが、上記の通り、絶縁体２４１が導電体２４０に接して設けられ、絶縁体２１７が導電体２１８に接して設けられている。これにより、導電体２４０および導電体２１８を介して、絶縁体２１２、絶縁体２１４、絶縁体２８２、および絶縁体２８３の内側に混入する水素を低減できる。このようにして、絶縁体２１２、絶縁体２１４、絶縁体２８２、絶縁体２８３、絶縁体２４１、および絶縁体２１７でトランジスタ２００を封止し、絶縁体２７４等に含まれる水素などの不純物が外側から混入するのを低減できる。

［０５７９］

＜ダイシングライン＞

以下では、大面積基板を半導体素子ごとに分断することによって、複数の半導体装置をチップ状で取り出す場合に設けられるダイシングライン（スクライブライン、分断ライン、又は切断ラインと呼ぶ場合がある）について説明する。分断方法としては、例えば、まず、基板に半導体素子を分断するための溝（ダイシングライン）を形成した後、ダイシングラインにおいて切断し、複数の半導体装置に分断（分割）する場合がある。

［０５８０］

ここで、例えば、図３２に示すように、絶縁体２８３と、絶縁体２１４とが接する領域がダイシングラインと重なるように設計することが好ましい。つまり、複数のトランジスタ２００を有するメモリセルの外縁に設けられるダイシングラインとなる領域近傍において、絶縁体２８２、絶縁体２８０、絶縁体２７５、絶縁体２２２、および絶縁体２１６に開口を設ける。

［０５８１］

つまり、絶縁体２８２、絶縁体２８０、絶縁体２７５、絶縁体２２２、および絶縁体２１６に設けた開口において、絶縁体２１４と、絶縁体２８３とが接する。

［０５８２］

また、例えば、絶縁体２８２、絶縁体２８０、絶縁体２７５、絶縁体２２２、絶縁体２１６、および絶縁体２１４に開口を設けてもよい。このような構成とすることで、絶縁体２８２、絶縁体２８０、絶縁体２７５、絶縁体２２２、絶縁体２１６、および絶縁体２１４に設けた開口において、絶縁体２１２と、絶縁体２８３とが接する。このとき、絶縁体２１２と、絶縁体２８３とを同材料及び同方法を用いて形成してもよい。絶縁体２１２、および絶縁体２８３を、同材料、および同方法で設けることで、密着性を高めることができる。例えば、窒化シリコンを用いることが好ましい。

［０５８３］

当該構造により、絶縁体２１２、絶縁体２１４、絶縁体２８２、および絶縁体２８３で、トランジスタ２００を包み込むことができる。絶縁体２１２、絶縁体２１４、絶縁体２８２、および絶縁体２８３の少なくとも一は、酸素、水素、及び水の拡散を抑制する機能を有しているため、本実施の形態に示す半導体素子が形成された回路領域ごとに、基板を分断することにより、複数のチップに加工しても、分断した基板の側面方向から、水素又は水などの不純物が混入し、トランジスタ２００に拡散することを防ぐことができる。

［０５８４］

また、当該構造により、絶縁体２８０の過剰酸素が外部に拡散することを防ぐことができる。従って、絶縁体２８０の過剰酸素は、効率的にトランジスタ２００におけるチャネルが形成される酸化物に供給される。当該酸素により、トランジスタ２００におけるチャネルが形成される酸化物の酸素欠損を低減できる。これにより、トランジスタ２００におけるチャネルが形成される酸化物を

欠陥準位密度が低い、安定な特性を有する酸化物半導体とすることができる。つまり、トランジスタ２００の電気特性の変動を抑制すると共に、信頼性を向上させることができる。

［０５８５］

なお、図３２に示す記憶装置では、容量素子１００の形状をプレーナ型としたが、本実施の形態に示す記憶装置はこれに限られるものではない。たとえば、図３３に示すように、容量素子１００の形状をシリンダ型にしてもよい。なお、図３３に示す記憶装置は、絶縁体１５０より下の構成は、図３２に示す記憶装置と同様である。

［０５８６］

図３３に示す容量素子１００は、絶縁体１３０上の絶縁体１５０と、絶縁体１５０上の絶縁体１４２と、絶縁体１５０および絶縁体１４２に形成された開口の中に配置された導電体１１５と、導電体１１５および絶縁体１４２上の絶縁体１４５と、絶縁体１４５上の導電体１２５と、導電体１２５および絶縁体１４５上の絶縁体１５２と、を有する。ここで、絶縁体１５０および絶縁体１４２に形成された開口の中に導電体１１５、絶縁体１４５、および導電体１２５の少なくとも一部が配置される。

［０５８７］

導電体１１５は容量素子１００の下部電極として機能し、導電体１２５は容量素子１００の上部電極として機能し、絶縁体１４５は、容量素子１００の誘電体として機能する。容量素子１００は、絶縁体１５０および絶縁体１４２の開口において、底面だけでなく、側面においても上部電極と下部電極とが誘電体を挟んで対向する構成となっており、単位面積当たりの静電容量を大きくすることができる。よって、当該開口の深さを深くするほど、容量素子１００の静電容量を大きくすることができる。このように容量素子１００の単位面積当たりの静電容量を大きくすることにより、記憶装置の微細化または高集積化を推し進めることができる。

［０５８８］

絶縁体１５２は、絶縁体２８０に用いることができる絶縁体を用いればよい。また、絶縁体１４２は、絶縁体１５０の開口を形成するときのエッチングストッパとして機能することが好ましく、絶縁体２１４に用いることができる絶縁体を用いればよい。

［０５８９］

絶縁体１５０および絶縁体１４２に形成された開口を上面から見た形状は、四角形としてもよいし、四角形以外の多角形状としてもよいし、多角形状において角部を湾曲させた形状としてもよいし、楕円を含む円形状としてもよい。ここで、上面視において、当該開口とトランジスタ２００の重なる面積が多い方が好ましい。このような構成にすることにより、容量素子１００とトランジスタ２００を有する記憶装置の占有面積を低減できる。

［０５９０］

導電体１１５は、絶縁体１４２、および絶縁体１５０に形成された開口に接して配置される。導電体１１５の上面は、絶縁体１４２の上面と一致または概略一致することが好ましい。また、導電体１１５の下面は、絶縁体１３０の開口を介して導電体１１０に接する。導電体１１５は、ＡＬＤ法またはＣＶＤ法などを用いて成膜することが好ましく、例えば、導電体２０５に用いることができる導電体を用いればよい。

［０５９１］

絶縁体１４５は、導電体１１５および絶縁体１４２を覆うように配置される。例えば、ＡＬＤ法

またはＣＶＤ法などを用いて絶縁体１４５を成膜することが好ましい。絶縁体１４５は、例えば、酸化シリコン、酸化窒化シリコン、窒化酸化シリコン、窒化シリコン、酸化ジルコニウム、酸化アルミニウム、酸化窒化アルミニウム、窒化酸化アルミニウム、窒化アルミニウム、酸化ハフニウム、酸化窒化ハフニウム、窒化酸化ハフニウム、窒化ハフニウムなどを用いればよく、積層または単層で設けることができる。例えば、絶縁体１４５として、酸化ジルコニウム、酸化アルミニウム、酸化ジルコニウムの順番で積層された絶縁膜を用いることができる。

［０５９２］

また、絶縁体１４５には、酸化窒化シリコンなどの絶縁耐力が大きい材料、または高誘電率（ｈｉｇｈ－ｋ）材料を用いることが好ましい。または、絶縁耐力が大きい材料と高誘電率（ｈｉｇｈ－ｋ）材料の積層構造を用いてもよい。

［０５９３］

なお、高誘電率（ｈｉｇｈ－ｋ）材料（高い比誘電率の材料）としては、酸化ガリウム、酸化ハフニウム、酸化ジルコニウム、アルミニウムおよびハフニウムを有する酸化物、アルミニウムおよびハフニウムを有する酸化窒化物、シリコンおよびハフニウムを有する酸化物、シリコンおよびハフニウムを有する酸化窒化物、シリコンおよびハフニウムを有する窒化物などがある。このようなｈｉｇｈ－ｋ材料を用いることで、絶縁体１４５を厚くしても容量素子１００の静電容量を十分確保することができる。絶縁体１４５を厚くすることにより、導電体１１５と導電体１２５の間に生じるリーク電流を抑制できる。

［０５９４］

一方、絶縁耐力が大きい材料としては、酸化シリコン、酸化窒化シリコン、窒化酸化シリコン、窒化シリコン、フッ素を添加した酸化シリコン、炭素を添加した酸化シリコン、炭素および窒素を添加した酸化シリコン、空孔を有する酸化シリコン、樹脂などがある。例えば、ＰＥＡＬＤ法を用いて成膜した窒化シリコン（SiN_x）、ＰＥＡＬＤ法を用いて成膜した酸化シリコン（SiO_x）、ＰＥＡＬＤ法を用いて成膜した窒化シリコン（SiN_x）の順番で積層された絶縁膜を用いることができる。または、酸化ジルコニウム、ＡＬＤ法を用いて成膜した酸化シリコン、酸化ジルコニウムの順番で積層された絶縁膜を用いることができる。このような、絶縁耐力が大きい絶縁体を用いることで、絶縁耐力が向上し、容量素子１００の静電破壊を抑制できる。

［０５９５］

導電体１２５は、絶縁体１４２および絶縁体１５０に形成された開口を埋めるように配置される。また、導電体１２５は、導電体１４０、および導電体１５３を介して配線１００５と電気的に接続している。導電体１２５は、ＡＬＤ法またはＣＶＤ法などを用いて成膜することが好ましく、例えば、導電体２０５に用いることができる導電体を用いればよい。

［０５９６］

また、導電体１５３は、絶縁体１５４上に設けられており、絶縁体１５６に覆われている。導電体１５３は、導電体１１２に用いることができる導電体を用いればよく、絶縁体１５６は、絶縁体１５２に用いることができる絶縁体を用いればよい。ここで、導電体１５３は導電体１４０の上面に接しており、容量素子１００、トランジスタ２００、またはトランジスタ３００の端子として機能する。

［０５９７］

［記憶装置２］

本発明の一態様に係る記憶装置の一例を図３４に示す。

［０５９８］

＜メモリデバイスの構成例＞

図３４は、メモリデバイス２９０を有する記憶装置の断面図である。図３４に示すメモリデバイス２９０は、図１４Ａ乃至図１４Ｄに示すトランジスタ２００に加えて、容量デバイス２９２を有する。図３４は、トランジスタ２００のチャネル長方向の断面図に相当する。

［０５９９］

容量デバイス２９２は、導電体２４２ｂと、導電体２４２ｂ上に設けられた絶縁体２７１ｂと、絶縁体２７１ｂの上面、絶縁体２７１ｂの側面、導電体２４２ｂの側面に接して設けられた絶縁体２７５と、絶縁体２７５上の導電体２９４と、を有する。すなわち、容量デバイス２９２は、ＭＩＭ（Ｍｅｔａｌ－Ｉｎｓｕｌａｔｏｒ－Ｍｅｔａｌ）容量を構成している。なお、容量デバイス２９２が有する一対の電極の一方、すなわち導電体２４２ｂは、トランジスタのソース電極を兼ねることができる。また、容量デバイス２９２が有する誘電体層は、トランジスタに設けられる保護層、すなわち絶縁体２７１、および絶縁体２７５を兼ねることができる。したがって、容量デバイス２９２の作製工程において、トランジスタの作製工程の一部を兼用することができるため、生産性の高い記憶装置とすることができる。また、容量デバイス２９２が有する一対の電極の一方、すなわち導電体２４２ｂは、トランジスタのソース電極と兼ねているため、トランジスタと、容量デバイスとが配置される面積を低減させることが可能となる。

［０６００］

なお、導電体２９４としては、例えば、導電体２４２に用いることのできる材料を用いればよい。

［０６０１］

＜メモリデバイスの変形例＞

以下では、図３５Ａ、図３５Ｂ、および図３６を用いて、先の＜メモリデバイスの構成例＞で示したものとは異なる、本発明の一態様に係るトランジスタ２００、および容量デバイス２９２を有する記憶装置の一例について説明する。なお図３５Ａ、図３５Ｂ、および図３６に示す記憶装置において、先の実施の形態および＜メモリデバイスの構成例＞に示した記憶装置（図３４参照）を構成する構造と同機能を有する構造には、同符号を付記する。なお、本項目において、トランジスタ２００、および容量デバイス２９２の構成材料については、先の実施の形態および＜メモリデバイスの構成例＞で詳細に説明した材料を用いることができる。また、図３５Ａ、図３５Ｂ、および図３６などでは、メモリデバイスとして、図３４に示すメモリデバイスを用いているが、これに限られるものではない。

［０６０２］

＜＜メモリデバイスの変形例１＞＞

以下では、本発明の一態様に係るトランジスタ２００ａ、トランジスタ２００ｂ、容量デバイス２９２ａ、および容量デバイス２９２ｂを有する記憶装置６００の一例について図３５Ａを用いて説明する。

［０６０３］

図３５Ａは、トランジスタ２００ａ、トランジスタ２００ｂ、容量デバイス２９２ａ、および容量デバイス２９２ｂを有する記憶装置６００のチャネル長方向の断面図である。ここで、容量デバイス２９２ａは、導電体２４２ａと、導電体２４２ａ上の絶縁体２７１ａと、絶縁体２７１ａ上面、

絶縁体２７１ａの側面、および導電体２４２ａの側面と接する絶縁体２７５と、絶縁体２７５上の導電体２９４ａと、を有する。また、容量デバイス２９２ｂは、導電体２４２ｂと、導電体２４２ｂ上の絶縁体２７１ｂと、絶縁体２７１ｂの上面、絶縁体２７１ｂの側面、および導電体２４２ｂの側面に接する絶縁体２７５と、絶縁体２７５上の導電体２９４ｂと、を有する。

［０６０４］

記憶装置６００は、図３５Ａに示すように、Ａ３－Ａ４の一点鎖線を対称軸とした線対称の構成となっている。トランジスタ２００ａのソース電極またはドレイン電極の一方と、トランジスタ２００ｂのソース電極またはドレイン電極の一方は、導電体２４２ｃが兼ねる構成となっている。なお、導電体２４２ｃ上には絶縁体２７１ｃが設けられる。また、導電体２４２ｃの下方に絶縁体２２３ｃが設けられる。絶縁体２２３ｃは、酸化物２３０と絶縁体２２２の間に位置する。また、プラグとして機能する導電体２４０が、配線として機能する導電体２４６及びトランジスタ２００ａとの接続と、配線として機能する導電体２４６及びトランジスタ２００ｂとの接続とを兼ねる構成となっている。このように、２つのトランジスタと、２つの容量デバイスと、配線とプラグとの接続を上述の構成とすることで、微細化または高集積化が可能な記憶装置を提供できる。

［０６０５］

トランジスタ２００ａ、トランジスタ２００ｂ、容量デバイス２９２ａ、および容量デバイス２９２ｂのそれぞれの構成および効果については、図３４に示す記憶装置の構成例を参酌することができる。

［０６０６］

＜＜メモリデバイスの変形例２＞＞

上記においては、記憶装置の構成例としてトランジスタ２００ａ、トランジスタ２００ｂ、容量デバイス２９２ａおよび容量デバイス２９２ｂを挙げたが、本実施の形態に示す記憶装置はこれに限られるものではない。例えば、図３５Ｂに示すように記憶装置６００と、記憶装置６００と同様の構成を有する記憶装置が容量部を介して接続されている構成としてもよい。本明細書では、トランジスタ２００ａ、トランジスタ２００ｂ、容量デバイス２９２ａ、および容量デバイス２９２ｂを有する記憶装置をセルと称する。トランジスタ２００ａ、トランジスタ２００ｂ、容量デバイス２９２ａおよび容量デバイス２９２ｂの構成については、上述のトランジスタ２００ａ、トランジスタ２００ｂ、容量デバイス２９２ａおよび容量デバイス２９２ｂに係る記載を参酌できる。

［０６０７］

図３５Ｂは、トランジスタ２００ａ、トランジスタ２００ｂ、容量デバイス２９２ａ、および容量デバイス２９２ｂを有する記憶装置６００と、記憶装置６００と同様の構成を有するセルが容量部を介して接続されている断面図である。

［０６０８］

図３５Ｂに示すように、記憶装置６００が有する容量デバイス２９２ｂの一方の電極として機能する導電体２９４ｂは、記憶装置６００と同様の構成を有する記憶装置６０１が有する容量デバイスの一方の電極を兼ねる構成となっている。また、図示しないが、記憶装置６００が有する容量デバイス２９２ａの一方の電極として機能する導電体２９４ａが、記憶装置６００の左側、つまり図３５Ｂにおいて、Ａ１方向に隣接する記憶装置の容量デバイスの一方の電極を兼ねている。また、記憶装置６０１の右側、つまり、図３５Ｂにおいて、Ａ２方向のセルについても同様の構成となっている。つまりセルアレイ（メモリデバイス層ともいう）を構成することができる。この様なセル

アレイの構成とすることで、隣り合うセルの間隔を小さくすることができるため、セルアレイの投影面積を小さくすることができ、高集積化が可能となる。また、図３５Ｂに示すセルアレイの構成を、マトリクス状に配置することで、マトリクス状のセルアレイを構成することができる。

［０６０９］

上述のように、本実施の形態に示す構成で、トランジスタ２００ａ、トランジスタ２００ｂ、容量デバイス２９２ａおよび容量デバイス２９２ｂを形成することにより、セルの面積を低減し、セルアレイを有する記憶装置の微細化または高集積化を図ることができる。

［０６１０］

また、上記セルアレイを平面のみでなく積層する構成としてもよい。図３６にセルアレイ６１０をｎ層積層する構成の断面図を示す。図３６に示すように、複数のセルアレイ（セルアレイ６１０＿１乃至セルアレイ６１０＿ｎ）を積層することにより、セルアレイの占有面積を増やすことなく、セルを集積して配置することができる。つまり、３Ｄセルアレイを構成することができる。

［０６１１］

以上、本実施の形態に示す構成、方法などは、少なくともその一部を、本明細書中に記載する他の実施の形態、他の実施例などと適宜組み合わせて実施することができる。

［０６１２］

（実施の形態４）

本実施の形態では、図３７Ａ、図３７Ｂおよび図３８Ａ乃至図３８Ｈを用いて、本発明の一態様に係る、酸化物を半導体に用いたトランジスタ（以下、ＯＳトランジスタと呼ぶ場合がある）、および容量素子が適用されている記憶装置（以下、ＯＳメモリ装置と呼ぶ場合がある）について説明する。ＯＳメモリ装置は、少なくとも容量素子と、容量素子の充放電を制御するＯＳトランジスタを有する記憶装置である。ＯＳトランジスタのオフ電流は極めて小さいため、ＯＳメモリ装置は優れた保持特性をもち、不揮発性メモリとして機能させることができる。

［０６１３］

＜記憶装置の構成例＞

図３７ＡにＯＳメモリ装置の構成の一例を示す。記憶装置１４００は、周辺回路１４１１、およびメモリセルアレイ１４７０を有する。周辺回路１４１１は、行回路１４２０、列回路１４３０、出力回路１４４０、およびコントロールロジック回路１４６０を有する。

［０６１４］

列回路１４３０は、例えば、列デコーダ、プリチャージ回路、センスアンプ、書き込み回路等を有する。プリチャージ回路は、配線をプリチャージする機能を有する。センスアンプは、メモリセルから読み出されたデータ信号を増幅する機能を有する。なお、上記配線は、メモリセルアレイ１４７０が有するメモリセルに接続されている配線であり、詳しくは後述する。増幅されたデータ信号は、出力回路１４４０を介して、データ信号ＲＤＡＴＡとして記憶装置１４００の外部に出力される。また、行回路１４２０は、例えば、行デコーダ、ワード線ドライバ回路等を有し、アクセスする行を選択することができる。

［０６１５］

記憶装置１４００には、外部から電源電圧として低電源電圧（ＶＳＳ）、周辺回路１４１１用の高電源電圧（ＶＤＤ）、メモリセルアレイ１４７０用の高電源電圧（ＶＩＬ）が供給される。また、記憶装置１４００には、制御信号（ＣＥ、ＷＥ、ＲＥＳ）、アドレス信号ＡＤＤＲ、データ信号Ｗ

ＤＡＴＡが外部から入力される。アドレス信号ＡＤＤＲは、行デコーダおよび列デコーダに入力され、データ信号ＷＤＡＴＡは書き込み回路に入力される。

［０６１６］

コントロールロジック回路１４６０は、外部から入力される制御信号（ＣＥ、ＷＥ、ＲＥＳ）を処理して、行デコーダ、列デコーダの制御信号を生成する。制御信号ＣＥは、チップイネーブル信号であり、制御信号ＷＥは、書き込みイネーブル信号であり、制御信号ＲＥＳは、読み出しイネーブル信号である。コントロールロジック回路１４６０が処理する信号は、これに限定されるものではなく、必要に応じて、他の制御信号を入力すればよい。

［０６１７］

メモリセルアレイ１４７０は、行列状に配置された、複数個のメモリセルＭＣと、複数の配線を有する。なお、メモリセルアレイ１４７０と行回路１４２０とを接続している配線の数は、メモリセルＭＣの構成、一列に有するメモリセルＭＣの数などによって決まる。また、メモリセルアレイ１４７０と列回路１４３０とを接続している配線の数は、メモリセルＭＣの構成、一行に有するメモリセルＭＣの数などによって決まる。

［０６１８］

なお、図３７Ａにおいて、周辺回路１４１１とメモリセルアレイ１４７０を同一平面上に形成する例について示したが、本実施の形態はこれに限られるものではない。例えば、図３７Ｂに示すように、周辺回路１４１１の一部の上に、メモリセルアレイ１４７０が重なるように設けられてもよい。例えば、メモリセルアレイ１４７０の下に重なるように、センスアンプを設ける構成にしてもよい。

［０６１９］

図３８Ａ乃至図３８Ｈに上述のメモリセルＭＣに適用できるメモリセルの構成例について説明する。

［０６２０］

［ＤＯＳＲＡＭ］

図３８Ａ乃至図３８Ｃに、ＤＲＡＭのメモリセルの回路構成例を示す。本明細書等において、１ＯＳトランジスタ１容量素子型のメモリセルを用いたＤＲＡＭを、ＤＯＳＲＡＭ（Ｄｙｎａｍｉｃ Ｏｘｉｄｅ Ｓｅｍｉｃｏｎｄｕｃｔｏｒ Ｒａｎｄｏｍ Ａｃｃｅｓｓ Ｍｅｍｏｒｙ）と呼ぶ場合がある。図３８Ａに示す、メモリセル１４７１は、トランジスタＭ１と、容量素子ＣＡと、を有する。なお、トランジスタＭ１は、ゲート（トップゲートと呼ぶ場合がある）、及びバックゲートを有する。

［０６２１］

トランジスタＭ１の第１端子は、容量素子ＣＡの第１端子と接続され、トランジスタＭ１の第２端子は、配線ＢＩＬと接続され、トランジスタＭ１のゲートは、配線ＷＯＬと接続され、トランジスタＭ１のバックゲートは、配線ＢＧＬと接続されている。容量素子ＣＡの第２端子は、配線ＬＬと接続されている。

［０６２２］

配線ＢＩＬは、ビット線として機能し、配線ＷＯＬは、ワード線として機能する。配線ＬＬは、容量素子ＣＡの第２端子に所定の電位を印加するための配線として機能する。データの書き込み時、及び読み出し時において、配線ＬＬは、接地電位でも、低レベル電位としてもよい。配線ＢＧＬは、

トランジスタＭ１のバックゲートに電位を印加するための配線として機能する。配線ＢＧＬに任意の電位を印加することによって、トランジスタＭ１のしきい値電圧を増減することができる。

［０６２３］

ここで、図３８Ａに示すメモリセル１４７１は、図３４に示す記憶装置に対応している。つまり、トランジスタＭ１はトランジスタ２００に、容量素子ＣＡは容量デバイス２９２に対応している。

［０６２４］

また、メモリセルＭＣは、メモリセル１４７１に限定されず、回路構成の変更を行うことができる。例えば、メモリセルＭＣは、図３８Ｂに示すメモリセル１４７２のように、トランジスタＭ１のバックゲートが、配線ＢＧＬでなく、配線ＷＯＬと接続される構成にしてもよい。また、例えば、メモリセルＭＣは、図３８Ｃに示すメモリセル１４７３ように、シングルゲート構造のトランジスタ、つまりバックゲートを有さないトランジスタＭ１で構成されたメモリセルとしてもよい。

［０６２５］

上記実施の形態に示す半導体装置をメモリセル１４７１等に用いる場合、トランジスタＭ１としてトランジスタ２００を用い、容量素子ＣＡとして容量素子１００を用いることができる。トランジスタＭ１としてＯＳトランジスタを用いることによって、トランジスタＭ１のリーク電流を非常に小さくすることができる。つまり、書き込んだデータをトランジスタＭ１によって長時間保持できるため、メモリセルのリフレッシュの頻度を少なくすることができる。または、メモリセルのリフレッシュ動作を不要にすることができる。また、リーク電流が非常に小さいため、メモリセル１４７１、メモリセル１４７２、メモリセル１４７３に対して多値データ、又はアナログデータを保持できる。

［０６２６］

また、ＤＯＳＲＡＭにおいて、上記のように、メモリセルアレイ１４７０の下に重なるように、センスアンプを設ける構成にすると、ビット線を短くすることができる。これにより、ビット線容量が小さくなり、メモリセルの保持容量を低減できる。

［０６２７］

［ＮＯＳＲＡＭ］

図３８Ｄ乃至図３８Ｇに、２トランジスタ１容量素子のゲインセル型のメモリセルの回路構成例を示す。図３８Ｄに示す、メモリセル１４７４は、トランジスタＭ２と、トランジスタＭ３と、容量素子ＣＢと、を有する。なお、トランジスタＭ２は、トップゲート（単にゲートと呼ぶ場合がある）、及びバックゲートを有する。本明細書等において、トランジスタＭ２にＯＳトランジスタを用いたゲインセル型のメモリセルを有する記憶装置を、ＮＯＳＲＡＭ（Ｎｏｎｖｏｌａｔｉｌｅ Ｏｘｉｄｅ Ｓｅｍｉｃｏｎｄｕｃｔｏｒ ＲＡＭ）と呼ぶ場合がある。

［０６２８］

トランジスタＭ２の第１端子は、容量素子ＣＢの第１端子と接続され、トランジスタＭ２の第２端子は、配線ＷＢＬと接続され、トランジスタＭ２のゲートは、配線ＷＯＬと接続され、トランジスタＭ２のバックゲートは、配線ＢＧＬと接続されている。容量素子ＣＢの第２端子は、配線ＣＡＬと接続されている。トランジスタＭ３の第１端子は、配線ＲＢＬと接続され、トランジスタＭ３の第２端子は、配線ＳＬと接続され、トランジスタＭ３のゲートは、容量素子ＣＢの第１端子と接続されている。

［０６２９］

配線ＷＢＬは、書き込みビット線として機能し、配線ＲＢＬは、読み出しビット線として機能し、配線ＷＯＬは、ワード線として機能する。配線ＣＡＬは、容量素子ＣＢの第２端子に所定の電位を印加するための配線として機能する。データの書き込み時、およびデータの読み出し時においては、配線ＣＡＬには、高レベル電位を印加するのが好ましい。また、データ保持中においては、配線ＣＡＬには、低レベル電位を印加するのが好ましい。配線ＢＧＬは、トランジスタＭ２のバックゲートに電位を印加するための配線として機能する。配線ＢＧＬに任意の電位を印加することによって、トランジスタＭ２のしきい値電圧を増減することができる。

［０６３０］

ここで、図３８Ｄに示すメモリセル１４７４は、図３２および図３３に示す記憶装置に対応している。つまり、トランジスタＭ２はトランジスタ２００に、容量素子ＣＢは容量素子１００に、トランジスタＭ３はトランジスタ３００に、配線ＷＢＬは配線１００３に、配線ＷＯＬは配線１００４に、配線ＢＧＬは配線１００６に、配線ＣＡＬは配線１００５に、配線ＲＢＬは配線１００２に、配線ＳＬは配線１００１に対応している。

［０６３１］

また、メモリセルＭＣは、メモリセル１４７４に限定されず、回路の構成を適宜変更することができる。例えば、メモリセルＭＣは、図３８Ｅに示すメモリセル１４７５のように、トランジスタＭ２のバックゲートが、配線ＢＧＬでなく、配線ＷＯＬと接続される構成にしてもよい。また、例えば、メモリセルＭＣは、図３８Ｆに示すメモリセル１４７６のように、シングルゲート構造のトランジスタ、つまりバックゲートを有さないトランジスタＭ２で構成されたメモリセルとしてもよい。また、例えば、メモリセルＭＣは、図３８Ｇに示すメモリセル１４７７のように、配線ＷＢＬと配線ＲＢＬを一本の配線ＢＩＬとしてまとめた構成であってもよい。

［０６３２］

上記実施の形態に示す半導体装置をメモリセル１４７４等に用いる場合、トランジスタＭ２としてトランジスタ２００を用い、トランジスタＭ３としてトランジスタ３００を用い、容量素子ＣＢとして容量素子１００を用いることができる。トランジスタＭ２としてＯＳトランジスタを用いることによって、トランジスタＭ２のリーク電流を非常に小さくすることができる。これにより、書き込んだデータをトランジスタＭ２によって長時間保持できるため、メモリセルのリフレッシュの頻度を少なくすることができる。または、メモリセルのリフレッシュ動作を不要にすることができる。また、リーク電流が非常に小さいため、メモリセル１４７４に多値データ、又はアナログデータを保持できる。メモリセル１４７５乃至メモリセル１４７７も同様である。

［０６３３］

なお、トランジスタＭ３は、チャネル形成領域にシリコンを有するトランジスタ（以下、Ｓｉトランジスタと呼ぶ場合がある）であってもよい。Ｓｉトランジスタの導電型は、ｎチャネル型としてもよいし、ｐチャネル型としてもよい。Ｓｉトランジスタは、ＯＳトランジスタよりも電界効果移動度が高くなる場合がある。よって、読み出しトランジスタとして機能するトランジスタＭ３として、Ｓｉトランジスタを用いてもよい。また、トランジスタＭ３にＳｉトランジスタを用いることで、トランジスタＭ３の上に積層してトランジスタＭ２を設けることができるため、メモリセルの占有面積を低減し、記憶装置の高集積化を図ることができる。

［０６３４］

また、トランジスタＭ３はＯＳトランジスタであってもよい。トランジスタＭ２およびトランジ

スタＭ３にＯＳトランジスタを用いた場合、メモリセルアレイ１４７０をｎ型トランジスタのみを用いて回路を構成することができる。

［０６３５］

また、図３８Ｈに３トランジスタ１容量素子のゲインセル型のメモリセルの一例を示す。図３８Ｈに示すメモリセル１４７８は、トランジスタＭ４乃至トランジスタＭ６、および容量素子ＣＣを有する。容量素子ＣＣは適宜設けられる。メモリセル１４７８は、配線ＢＩＬ、配線ＲＷＬ、配線ＷＷＬ、配線ＢＧＬ、および配線ＧＮＤＬに電気的に接続されている。配線ＧＮＤＬは低レベル電位を与える配線である。なお、メモリセル１４７８を、配線ＢＩＬに代えて、配線ＲＢＬ、配線ＷＢＬに電気的に接続してもよい。

［０６３６］

トランジスタＭ４は、バックゲートを有するＯＳトランジスタであり、バックゲートは配線ＢＧＬに電気的に接続されている。なお、トランジスタＭ４のバックゲートとゲートとを互いに電気的に接続してもよい。あるいは、トランジスタＭ４はバックゲートを有さなくてもよい。

［０６３７］

なお、トランジスタＭ５、トランジスタＭ６はそれぞれ、ｎチャネル型Ｓｉトランジスタまたはｐチャネル型Ｓｉトランジスタでもよい。或いは、トランジスタＭ４乃至トランジスタＭ６がＯＳトランジスタでもよい。この場合、メモリセルアレイ１４７０をｎ型トランジスタのみを用いて回路を構成することができる。

［０６３８］

上記実施の形態に示す半導体装置をメモリセル１４７８に用いる場合、トランジスタＭ４としてトランジスタ２００を用い、トランジスタＭ５、トランジスタＭ６としてトランジスタ３００を用い、容量素子ＣＣとして容量素子１００を用いることができる。トランジスタＭ４としてＯＳトランジスタを用いることによって、トランジスタＭ４のリーク電流を非常に小さくすることができる。

［０６３９］

なお、本実施の形態に示す、周辺回路１４１１、メモリセルアレイ１４７０等の構成は、上記に限定されるものではない。これらの回路、および当該回路に接続される配線、回路素子等の、配置または機能は、必要に応じて、変更、削除、または追加してもよい。

［０６４０］

以上、本実施の形態に示す構成、方法などは、本実施の形態に示す他の構成、方法、他の実施の形態に示す構成、方法などと適宜組み合わせて用いることができる。

［０６４１］

（実施の形態５）

本実施の形態では、図３９Ａおよび図３９Ｂを用いて、本発明の半導体装置が実装されたチップ１２００の一例を示す。チップ１２００には、複数の回路（システム）が実装されている。このように、複数の回路（システム）を一つのチップに集積する技術を、システムオンチップ（Ｓｙｓｔｅｍ　ｏｎ　Ｃｈｉｐ：ＳｏＣ）と呼ぶ場合がある。

［０６４２］

図３９Ａに示すように、チップ１２００は、ＣＰＵ１２１１、ＧＰＵ１２１２、一または複数のアナログ演算部１２１３、一または複数のメモリコントローラ１２１４、一または複数のインターフェース１２１５、一または複数のネットワーク回路１２１６等を有する。

［０６４３］

チップ１２００には、バンプ（図示しない）が設けられ、図３９Ｂに示すように、パッケージ基板１２０１の第１の面と接続する。また、パッケージ基板１２０１の第１の面の裏面には、複数のバンプ１２０２が設けられており、マザーボード１２０３と接続する。

［０６４４］

マザーボード１２０３には、ＤＲＡＭ１２２１、フラッシュメモリ１２２２等の記憶装置が設けられていてもよい。例えば、ＤＲＡＭ１２２１に先の実施の形態に示すＤＯＳＲＡＭを用いることができる。また、例えば、フラッシュメモリ１２２２に先の実施の形態に示すＮＯＳＲＡＭを用いることができる。

［０６４５］

ＣＰＵ１２１１は、複数のＣＰＵコアを有することが好ましい。また、ＧＰＵ１２１２は、複数のＧＰＵコアを有することが好ましい。また、ＣＰＵ１２１１、およびＧＰＵ１２１２は、それぞれ一時的にデータを格納するメモリを有していてもよい。または、ＣＰＵ１２１１、およびＧＰＵ１２１２に共通のメモリが、チップ１２００に設けられていてもよい。該メモリには、前述したＮＯＳＲＡＭまたは、ＤＯＳＲＡＭを用いることができる。また、ＧＰＵ１２１２は、多数のデータの並列計算に適しており、画像処理または積和演算に用いることができる。ＧＰＵ１２１２に、本発明の酸化物半導体を用いた画像処理回路または、積和演算回路を設けることで、画像処理、および積和演算を低消費電力で実行することが可能になる。

［０６４６］

また、ＣＰＵ１２１１、およびＧＰＵ１２１２が同一チップに設けられていることで、ＣＰＵ１２１１およびＧＰＵ１２１２間の配線を短くすることができ、ＣＰＵ１２１１からＧＰＵ１２１２へのデータ転送、ＣＰＵ１２１１、およびＧＰＵ１２１２が有するメモリ間のデータ転送、およびＧＰＵ１２１２での演算後に、ＧＰＵ１２１２からＣＰＵ１２１１への演算結果の転送を高速に行うことができる。

［０６４７］

アナログ演算部１２１３はＡ／Ｄ（アナログ／デジタル）変換回路、およびＤ／Ａ（デジタル／アナログ）変換回路の一、または両方を有する。また、アナログ演算部１２１３に上記積和演算回路を設けてもよい。

［０６４８］

メモリコントローラ１２１４は、ＤＲＡＭ１２２１のコントローラとして機能する回路、およびフラッシュメモリ１２２２のインターフェースとして機能する回路を有する。

［０６４９］

インターフェース１２１５は、表示装置、スピーカー、マイクロフォン、カメラ、コントローラなどの外部接続機器とのインターフェース回路を有する。コントローラとは、マウス、キーボード、ゲーム用コントローラなどを含む。このようなインターフェースとして、ＵＳＢ（Ｕｎｉｖｅｒｓａｌ　Ｓｅｒｉａｌ　Ｂｕｓ）、ＨＤＭＩ（登録商標）（Ｈｉｇｈ－Ｄｅｆｉｎｉｔｉｏｎ　Ｍｕｌｔｉｍｅｄｉａ　Ｉｎｔｅｒｆａｃｅ）などを用いることができる。

［０６５０］

ネットワーク回路１２１６は、ＬＡＮ（Ｌｏｃａｌ　Ａｒｅａ　Ｎｅｔｗｏｒｋ）などのネットワーク回路を有する。また、ネットワークセキュリティー用の回路を有してもよい。

［０６５１］

チップ１２００には、上記回路（システム）を同一の製造プロセスで形成することが可能である。そのため、チップ１２００に必要な回路の数が増えても、製造プロセスを増やす必要が無く、チップ１２００を低コストで作製することができる。

［０６５２］

ＧＰＵ１２１２を有するチップ１２００が設けられたパッケージ基板１２０１、ＤＲＡＭ１２２１、およびフラッシュメモリ１２２２が設けられたマザーボード１２０３は、ＧＰＵモジュール１２０４と呼ぶことができる。

［０６５３］

ＧＰＵモジュール１２０４は、ＳｏＣ技術を用いたチップ１２００を有しているため、そのサイズを小さくすることができる。また、画像処理に優れていることから、スマートフォン、タブレット端末、ラップトップＰＣ、携帯型（持ち出し可能な）ゲーム機などの携帯型電子機器に用いることが好適である。また、ＧＰＵ１２１２を用いた積和演算回路により、ディープニューラルネットワーク（ＤＮＮ）、畳み込みニューラルネットワーク（ＣＮＮ）、再帰型ニューラルネットワーク（ＲＮＮ）、自己符号化器、深層ボルツマンマシン（ＤＢＭ）、深層信念ネットワーク（ＤＢＮ）などの手法を実行することができるため、チップ１２００をＡＩチップ、またはＧＰＵモジュール１２０４をＡＩシステムモジュールとして用いることができる。

［０６５４］

以上、本実施の形態に示す構成、方法などは、少なくともその一部を、本明細書中に記載する他の実施の形態、他の実施例などと適宜組み合わせて実施することができる。

［０６５５］

（実施の形態６）

本実施の形態では、上記実施の形態で説明したＣＰＵとして機能する半導体装置について説明する。本実施の形態で説明する半導体装置は、極低消費電力での動作が可能なＣＰＵとして機能する半導体装置である。

［０６５６］

パワーゲーティングが可能なＣＰＵコア３３１１を有するＣＰＵ３３１０の一例について説明する。

［０６５７］

図４０に、ＣＰＵ３３１０の構成例を示す。ＣＰＵ３３１０は、ＣＰＵコア（ＣＰＵ　Ｃｏｒｅ）３３１１、Ｌ１（レベル１）キャッシュメモリ装置（Ｌ１　Ｃａｃｈｅ）３３７１、Ｌ２キャッシュメモリ装置（Ｌ２　Ｃａｃｈｅ）３３７２、バスインターフェース部（Ｂｕｓ　Ｉ／Ｆ）３３７３、パワースイッチ３３１５乃至パワースイッチ３３１７、レベルシフタ（ＬＳ）３３１８を有する。ＣＰＵコア３３１１はフリップフロップ３３１４を有する。

［０６５８］

バスインターフェース部３３７３によって、ＣＰＵコア３３１１、Ｌ１キャッシュメモリ装置３３７１、Ｌ２キャッシュメモリ装置３３７２が相互に接続される。

［０６５９］

外部から入力される割り込み信号（Ｉｎｔｅｒｒｕｐｔｓ）、ＣＰＵ３３１０が発行する信号ＳＬＥＥＰ１等の信号に応じて、ＰＭＵ３３１３はクロック信号ＧＣＬＫ１、各種のＰＧ（パワーゲ

ーティング）制御信号（ＰＧ　ｃｏｎｔｒｏｌ　ｓｉｇｎａｌｓ）の生成を行う。クロック信号ＧＣＬＫ１、ＰＧ制御信号はＣＰＵ３３１０に入力される。ＰＧ制御信号は、パワースイッチ３３１５乃至パワースイッチ３３１７、フリップフロップ３３１４を制御する。

［０６６０］

パワースイッチ３３１５、及びパワースイッチ３３１６は、仮想電源線Ｖ＿ＶＤＤ（以下、Ｖ＿ＶＤＤ線と呼ぶ）への電圧ＶＤＤＤ、及び電圧ＶＤＤ１の供給をそれぞれ制御する。パワースイッチ３３１７は、レベルシフタ（ＬＳ）３３１８への電圧ＶＤＤＨの供給を制御する。ＣＰＵ３３１０およびＰＭＵ３３１３には、パワースイッチを介さずに電圧ＶＳＳＳが入力される。ＰＭＵ３３１３には、パワースイッチを介さずに電圧ＶＤＤＤが入力される。

［０６６１］

電圧ＶＤＤＤ、及び電圧ＶＤＤ１はＣＭＯＳ回路用の駆動電圧である。電圧ＶＤＤ１は電圧ＶＤＤＤよりも低く、スリープ状態での駆動電圧である。電圧ＶＤＤＨはＯＳトランジスタ用の駆動電圧であり、電圧ＶＤＤＤよりも高い。

［０６６２］

Ｌ１キャッシュメモリ装置３３７１、Ｌ２キャッシュメモリ装置３３７２、バスインターフェース部３３７３のそれぞれは、少なくとも１つパワーゲーティング可能なパワードメインを有する。パワーゲーティング可能なパワードメインには、１または複数のパワースイッチが設けられている。これらのパワースイッチは、ＰＧ制御信号によって制御される。

［０６６３］

フリップフロップ３３１４は、レジスタに用いられる。フリップフロップ３３１４には、バックアップ回路が設けられている。以下、フリップフロップ３３１４について説明する。

［０６６４］

図４１Ａにフリップフロップ（Ｆｌｉｐ－ｆｌｏｐ）３３１４の回路構成例を示す。フリップフロップ３３１４はスキャンフリップフロップ（Ｓｃａｎ　Ｆｌｉｐ－ｆｌｏｐ）３３１９、バックアップ回路（Ｂａｃｋｕｐ　Ｃｉｒｃｕｉｔ）３３１２を有する。

［０６６５］

スキャンフリップフロップ３３１９は、ノードＤ１、ノードＱ１、ノードＳＤ、ノードＳＥ、ノードＲＴ、ノードＣＫ、及びクロックバッファ回路３３１９Ａを有する。

［０６６６］

ノードＤ１はデータ（ｄａｔａ）入力ノードであり、ノードＱ１はデータ出力ノードであり、ノードＳＤはスキャンテスト用データの入力ノードである。ノードＳＥは信号ＳＣＥの入力ノードである。ノードＣＫはクロック信号ＧＣＬＫ１の入力ノードである。クロック信号ＧＣＬＫ１はクロックバッファ回路３３１９Ａに入力される。スキャンフリップフロップ３３１９のアナログスイッチは、クロックバッファ回路３３１９Ａのノード ＣＫ１、ノードＣＫＢ１に接続される。ノードＲＴはリセット信号（ｒｅｓｅｔ　ｓｉｇｎａｌ）の入力ノードである。

［０６６７］

信号ＳＣＥは、スキャンイネーブル信号であり、ＰＭＵ３３１３で生成される。ＰＭＵ３３１３は信号ＢＫ、信号ＲＣを生成する。レベルシフタ３３１８は信号ＢＫ、信号ＲＣをレベルシフトし、信号ＢＫＨ、信号ＲＣＨを生成する。信号ＢＫはバックアップ信号、信号ＲＣはリカバリ信号である。

［０６６８］

スキャンフリップフロップ３３１９の回路構成は、図４１Ａに限定されない。標準的な回路ライブラリに用意されているフリップフロップを適用することができる。

［０６６９］

バックアップ回路３３１２は、ノードＳＤ＿ＩＮ、ノードＳＮ１１、トランジスタＭ１１乃至トランジスタＭ１３、及び容量素子Ｃ１１を有する。

［０６７０］

ノードＳＤ＿ＩＮは、スキャンテストデータの入力ノードであり、スキャンフリップフロップ３３１９のノードＱ１に接続される。ノードＳＮ１１は、バックアップ回路３３１２の保持ノードである。容量素子Ｃ１１はノードＳＮ１１の電圧を保持するための保持容量である。

［０６７１］

トランジスタＭ１１はノードＱ１とノードＳＮ１１間の導通状態を制御する。トランジスタＭ１２はノードＳＮ１１とノードＳＤ間の導通状態を制御する。トランジスタＭ１３はノードＳＤ＿ＩＮとノードＳＤ間の導通状態を制御する。トランジスタＭ１１、及びトランジスタＭ１３のオンオフは信号ＢＫＨで制御され、トランジスタＭ１２のオンオフは信号ＲＣＨで制御される。

［０６７２］

トランジスタＭ１１乃至トランジスタＭ１３は、ＯＳトランジスタである。トランジスタＭ１１乃至トランジスタＭ１３はバックゲートを有する構成を図示している。トランジスタＭ１１乃至トランジスタＭ１３のバックゲートは、電圧ＶＢＧ１を供給する電源線に接続されている。

［０６７３］

少なくともトランジスタＭ１１、及びトランジスタＭ１２がＯＳトランジスタであることが好ましい。オフ電流が極めて小さいというＯＳトランジスタの特長によって、ノードＳＮ１１の電圧の低下を抑えることができること、データの保持に電力を殆ど消費しないことから、バックアップ回路３３１２は不揮発性の特性をもつ。容量素子Ｃ１１の充放電によってデータを書き換えるため、バックアップ回路３３１２は原理的には書き換え回数に制約はなく、低エネルギーで、データの書き込みおよび読み出しが可能である。

［０６７４］

バックアップ回路３３１２の全てのトランジスタはＯＳトランジスタであることが非常に好ましい。図４１Ｂに示すように、シリコンＣＭＯＳ回路で構成されるスキャンフリップフロップ３３１９上にバックアップ回路３３１２を積層することができる。

［０６７５］

バックアップ回路３３１２は、スキャンフリップフロップ３３１９と比較して素子数が非常に少ないため、バックアップ回路３３１２を積層するためにスキャンフリップフロップ３３１９の回路構成およびレイアウトの変更が必要ない。つまり、バックアップ回路３３１２は、汎用性が非常に高いバックアップ回路である。また、スキャンフリップフロップ３３１９が形成されている領域内にバックアップ回路３３１２を設けることができるため、バックアップ回路３３１２を組み込んでも、フリップフロップ３３１４の面積オーバーヘッドはゼロにすることが可能である。よって、バックアップ回路３３１２をフリップフロップ３３１４に設けることで、ＣＰＵコア３３１１のパワーゲーティングが可能となる。パワーゲーティングに必要なエネルギーが少ないため、ＣＰＵコア３３１１を高効率にパワーゲーティングすることが可能である。

［０６７６］

バックアップ回路３３１２を設けることによって、トランジスタＭ１１による寄生容量がノードＱ１に付加されることになるが、ノードＱ１に接続される論理回路による寄生容量と比較して小さいため、スキャンフリップフロップ３３１９の動作に影響はない。つまり、バックアップ回路３３１２を設けても、フリップフロップ３３１４の性能は実質的に低下しない。

［０６７７］

ＣＰＵコア３３１１の低消費電力状態として、例えば、クロックゲーティング状態、パワーゲーティング状態、休止状態を設定することができる。ＰＭＵ３３１３は、割り込み信号、信号ＳＬＥＥＰ１等に基づき、ＣＰＵコア３３１１の低消費電力モードを選択する。例えば、通常動作状態からクロックゲーティング状態に移行する場合、ＰＭＵ３３１３はクロック信号ＧＣＬＫ１の生成を停止する。

［０６７８］

例えば、通常動作状態から休止状態に移行する場合は、ＰＭＵ３３１３は、電圧および／または周波数スケーリングを行う。例えば、電圧スケーリングを行う場合、ＰＭＵ３３１３は、電圧ＶＤＤ１をＣＰＵコア３３１１に入力するため、パワースイッチ３３１５をオフにし、パワースイッチ３３１６をオンにする。電圧ＶＤＤ１は、スキャンフリップフロップ３３１９のデータを消失させない電圧である。周波数スケーリングを行う場合、ＰＭＵ３３１３はクロック信号ＧＣＬＫ１の周波数を低下させる。

［０６７９］

ＣＰＵコア３３１１を通常動作状態からパワーゲーティング状態に移行する場合には、スキャンフリップフロップ３３１９のデータをバックアップ回路３３１２にバックアップする動作が行われる。ＣＰＵコア３３１１をパワーゲーティング状態から通常動作状態に復帰する際には、バックアップ回路３３１２のデータをスキャンフリップフロップ３３１９にリカバリする動作が行われる。

［０６８０］

図４２に、ＣＰＵコア３３１１のパワーゲーティングシーケンスの一例を示す。なお、図４２において、ｔ１乃至ｔ７は時刻を表している。信号ＰＳＥ０乃至信号ＰＳＥ２は、パワースイッチ３３１５乃至パワースイッチ３３１７の制御信号であり、ＰＭＵ３３１３で生成される。信号ＰＳＥ０が“Ｈ”／“Ｌ”のとき、パワースイッチ３３１５はオン／オフである。信号ＰＳＥ１、ＰＳＥ２についても同様である。

［０６８１］

時刻ｔ１以前は、通常動作状態（Ｎｏｒｍａｌ　Ｏｐｅｒａｔｉｏｎ）である。パワースイッチ３３１５はオンであり、ＣＰＵコア３３１１には電圧ＶＤＤＤが入力される。スキャンフリップフロップ３３１９は通常動作を行う。このとき、レベルシフタ３３１８は動作させる必要がないため、パワースイッチ３３１７はオフであり、信号ＳＣＥ、信号ＢＫ、信号ＲＣは“Ｌ”である。ノードＳＥが“Ｌ”であるため、スキャンフリップフロップ３３１９はノードＤ１のデータを記憶する。なお、図４２の例では、時刻ｔ１において、バックアップ回路３３１２のノードＳＮ１１は“Ｌ”である。

［０６８２］

バックアップ（Ｂａｃｋｕｐ）時の動作を説明する。時刻ｔ１で、ＰＭＵ３３１３はクロック信号ＧＣＬＫ１を停止し、信号ＰＳＥ２、信号ＢＫを“Ｈ”にする。レベルシフタ３３１８はアクテ

ィブになり、“H”の信号ＢＫＨをバックアップ回路３３１２に出力する。

［０６８３］

バックアップ回路３３１２のトランジスタＭ１１がオンになり、スキャンフリップフロップ３３１９のノードＱ１のデータがバックアップ回路３３１２のノードＳＮ１１に書き込まれる。スキャンフリップフロップ３３１９のノードＱ１が“Ｌ”であれば、ノードＳＮ１１は“Ｌ”のままであり、ノードＱ１が“H”であれば、ノードＳＮ１１は“H”になる。

［０６８４］

ＰＭＵ３３１３は、時刻ｔ２で信号ＰＳＥ２、信号ＢＫを“Ｌ”にし、時刻ｔ３で信号ＰＳＥ０を“Ｌにする。時刻ｔ３で、ＣＰＵコア３３１１の状態はパワーゲーティング状態に移行する。なお、信号ＢＫを立ち下げるタイミングで信号ＰＳＥ０を立ち下げてもよい。

［０６８５］

パワーゲーティング（Ｐｏｗｅｒ－ｇａｔｉｎｇ）時の動作を説明する。信号ＰＳＥ０が“Ｌになることで、Ｖ＿ＶＤＤ線の電圧が低下するため、ノードＱ１のデータは失われる。ノードＳＮ１１は、時刻ｔ３でのノードＱ１のデータを保持し続ける。

［０６８６］

リカバリ（Ｒｅｃｏｖｅｒｙ）時の動作を説明する。時刻ｔ４で、ＰＭＵ３３１３が信号ＰＳＥ０を“H”にすることで、パワーゲーティング状態からリカバリ状態に移行する。Ｖ＿ＶＤＤ線の充電が開始され、Ｖ＿ＶＤＤ線の電圧がＶＤＤＤになった状態（時刻ｔ５）で、ＰＭＵ３３１３は信号ＰＳＥ２、信号ＲＣ、信号ＳＣＥを“H”にする。

［０６８７］

トランジスタＭ１２はオンになり、容量素子Ｃ１１の電荷がノードＳＮ１１とノードＳＤとに分配される。ノードＳＮ１１が“H”であれば、ノードＳＤの電圧は上昇する。ノードＳＥは“H”であるため、スキャンフリップフロップ３３１９の入力側ラッチ回路にノードＳＤのデータが書き込まれる。時刻ｔ６でノードＣＫにクロック信号ＧＣＬＫ１が入力されると、入力側ラッチ回路のデータがノードＱ１に書き込まれる。つまり、ノードＳＮ１１のデータがノードＱ１に書き込まれたことになる。

［０６８８］

時刻ｔ７で、ＰＭＵ３３１３は信号ＰＳＥ２、信号ＳＣＥ、信号ＲＣを“Ｌ”にし、リカバリ動作が終了する。

［０６８９］

ＯＳトランジスタを用いたバックアップ回路３３１２は、動的および静的低消費電力双方が小さいため、ノーマリオフ・コンピューティングに非常に好適である。なお、ＯＳトランジスタを用いたバックアップ回路３３１２を有するＣＰＵコア３３１１を含むＣＰＵ３３１０は、ＮｏｆｆＣＰＵ（登録商標）と呼称することができる。ＮｏｆｆＣＰＵは、不揮発性メモリを有し、動作が必要ない場合には、電力供給を停止することができる。フリップフロップ３３１４を搭載しても、ＣＰＵコア３３１１の性能低下、動的電力の増加をほとんど発生させないようにできる。

［０６９０］

なお、ＣＰＵコア３３１１は複数のパワーゲーティング可能なパワードメインを有してもよい。複数のパワードメインには、電圧の入力を制御するための１または複数のパワースイッチが設けられる。また、ＣＰＵコア３３１１は、１または複数のパワーゲーティングが行われないパワードメ

インを有していてもよい。例えば、パワーゲーティングが行われないパワードメインに、フリップフロップ３３１４、パワースイッチ３３１５乃至パワースイッチ３３１７の制御を行うためのパワーゲーティング制御回路を設けてもよい。

［０６９１］

なお、フリップフロップ３３１４の適用はＣＰＵ３３１０に限定されない。ＣＰＵ３３１０において、パワーゲーティング可能なパワードメインに設けられるレジスタに、フリップフロップ３３１４を適用できる。

［０６９２］

先の実施の形態で説明したように、ＯＳトランジスタは、放射線照射による電気特性の変動が小さい、つまり放射線に対する耐性が高い。したがって、ＯＳトランジスタを用いたバックアップ回路を有するＣＰＵコアを含むＮｏｆｆＣＰＵは、放射線に対する耐性が高いといえる。放射線に対する耐性が高く、極低消費電力での動作が可能なＮｏｆｆＣＰＵは、例えば、宇宙空間にて使用する場合に好適に用いることができる。

［０６９３］

本実施の形態は、他の実施の形態の記載と適宜組み合わせることができる。

［０６９４］

（実施の形態７）

本実施の形態は、上記実施の形態に示す記憶装置などが組み込まれた電子部品および電子機器の一例を示す。

［０６９５］

＜電子部品＞

まず、記憶装置７２０が組み込まれた電子部品の例を、図４３Ａおよび図４３Ｂを用いて説明を行う。

［０６９６］

図４３Ａに電子部品７００および電子部品７００が実装された基板（実装基板７０４）の斜視図を示す。図４３Ａに示す電子部品７００は、モールド７１１内に記憶装置７２０を有している。図４３Ａは、電子部品７００の内部を示すために、一部を省略している。電子部品７００は、モールド７１１の外側にランド７１２を有する。ランド７１２は電極パッド７１３と電気的に接続され、電極パッド７１３は記憶装置７２０とワイヤ７１４によって電気的に接続されている。電子部品７００は、例えばプリント基板７０２に実装される。このような電子部品が複数組み合わされて、それぞれがプリント基板７０２上で電気的に接続されることで実装基板７０４が完成する。

［０６９７］

記憶装置７２０は、駆動回路層７２１と、記憶回路層７２２と、を有する。

［０６９８］

図４３Ｂに電子部品７３０の斜視図を示す。電子部品７３０は、ＳｉＰ（Ｓｙｓｔｅｍ ｉｎ ｐａｃｋａｇｅ）またはMCM（Ｍｕｌｔｉ Ｃｈｉｐ Ｍｏｄｕｌｅ）の一例である。電子部品７３０は、パッケージ基板７３２（プリント基板）上にインターポーザ７３１が設けられ、インターポーザ７３１上に半導体装置７３５、および複数の記憶装置７２０が設けられている。

［０６９９］

電子部品７３０では、記憶装置７２０を広帯域メモリ（ＨＢＭ：Ｈｉｇｈ Ｂａｎｄｗｉｄｔｈ

Ｍｅｍｏｒｙ）として用いる例を示している。また、半導体装置７３５は、ＣＰＵ、ＧＰＵ、ＦＰＧＡ（Ｆｉｅｌｄ　Ｐｒｏｇｒａｍｍａｂｌｅ　Ｇａｔｅ　Ａｒｒａｙ）などの集積回路（半導体装置）を用いることができる。

［０７００］

パッケージ基板７３２は、セラミック基板、プラスチック基板、ガラスエポキシ基板などを用いることができる。インターポーザ７３１は、シリコンインターポーザ、樹脂インターポーザなどを用いることができる。

［０７０１］

インターポーザ７３１は、複数の配線を有し、端子ピッチの異なる複数の集積回路を電気的に接続する機能を有する。複数の配線は、単層または多層で設けられる。また、インターポーザ７３１は、インターポーザ７３１上に設けられた集積回路をパッケージ基板７３２に設けられた電極と電気的に接続する機能を有する。これらのことから、インターポーザを「再配線基板」または「中間基板」と呼ぶ場合がある。また、インターポーザ７３１に貫通電極を設けて、当該貫通電極を用いて集積回路とパッケージ基板７３２を電気的に接続する場合もある。また、シリコンインターポーザでは、貫通電極として、ＴＳＶ（Ｔｈｒｏｕｇｈ　Ｓｉｌｉｃｏｎ　Ｖｉａ）を用いることも出来る。

［０７０２］

インターポーザ７３１としてシリコンインターポーザを用いることが好ましい。シリコンインターポーザでは能動素子を設ける必要が無いため、集積回路よりも低コストで作製することができる。一方で、シリコンインターポーザの配線形成は半導体プロセスで行なうことができるため、樹脂インターポーザでは難しい微細配線の形成が容易である。

［０７０３］

ＨＢＭでは、広いメモリバンド幅を実現するために多くの配線を接続する必要がある。このため、ＨＢＭを実装するインターポーザには、微細かつ高密度の配線形成が求められる。よって、ＨＢＭを実装するインターポーザには、シリコンインターポーザを用いることが好ましい。

［０７０４］

また、シリコンインターポーザを用いたＳｉＰ、ＭＣＭなどでは、集積回路とインターポーザ間の膨張係数の違いによる信頼性の低下が生じにくい。また、シリコンインターポーザは表面の平坦性が高いため、シリコンインターポーザ上に設ける集積回路とシリコンインターポーザ間の接続不良が生じにくい。特に、インターポーザ上に複数の集積回路を横に並べて配置する２．５Ｄパッケージ（２．５次元実装）では、シリコンインターポーザを用いることが好ましい。

［０７０５］

また、電子部品７３０と重ねてヒートシンク（放熱板）を設けてもよい。ヒートシンクを設ける場合は、インターポーザ７３１上に設ける集積回路の高さを揃えることが好ましい。例えば、本実施の形態に示す電子部品７３０では、記憶装置７２０と半導体装置７３５の高さを揃えることが好ましい。

［０７０６］

電子部品７３０を他の基板に実装するため、パッケージ基板７３２の底部に電極７３３を設けてもよい。図４３Ｂでは、電極７３３を半田ボールで形成する例を示している。パッケージ基板７３２の底部に半田ボールをマトリクス状に設けることで、ＢＧＡ（Ｂａｌｌ　Ｇｒｉｄ　Ａｒｒａｙ）

実装を実現できる。また、電極７３３を導電性のピンで形成してもよい。パッケージ基板７３２の底部に導電性のピンをマトリクス状に設けることで、ＰＧＡ（Ｐｉｎ　Ｇｒｉｄ　Ａｒｒａｙ）実装を実現できる。

［０７０７］

電子部品７３０は、ＢＧＡおよびＰＧＡに限らず様々な実装方法を用いて他の基板に実装することができる。例えば、ＳＰＧＡ（Ｓｔａｇｇｅｒｅｄ　Ｐｉｎ　Ｇｒｉｄ　Ａｒｒａｙ）、ＬＧＡ（Ｌａｎｄ　Ｇｒｉｄ　Ａｒｒａｙ）、ＱＦＰ（Ｑｕａｄ　Ｆｌａｔ　Ｐａｃｋａｇｅ）、ＱＦＪ（Ｑｕａｄ　Ｆｌａｔ　Ｊ－ｌｅａｄｅｄ　ｐａｃｋａｇｅ）、またはＱＦＮ（Ｑｕａｄ　Ｆｌａｔ　Ｎｏｎ－ｌｅａｄｅｄ　ｐａｃｋａｇｅ）などの実装方法を用いることができる。

［０７０８］

以上、本実施の形態に示す構成、方法などは、本実施の形態に示す他の構成、方法、他の実施の形態に示す構成、方法などと適宜組み合わせて用いることができる。

［０７０９］

（実施の形態８）

本実施の形態では、先の実施の形態に示す半導体装置を用いた記憶装置の応用例について説明する。先の実施の形態に示す半導体装置は、例えば、各種電子機器（例えば、情報端末、コンピュータ、スマートフォン、電子書籍端末、デジタルカメラ（ビデオカメラも含む）、録画再生装置、ナビゲーションシステムなど）の記憶装置に適用できる。なお、ここで、コンピュータとは、タブレット型のコンピュータ、ノート型のコンピュータ、デスクトップ型のコンピュータの他、サーバシステムのような大型のコンピュータを含むものである。または、先の実施の形態に示す半導体装置は、メモリカード（例えば、ＳＤカード）、ＵＳＢメモリ、ＳＳＤ（ソリッド・ステート・ドライブ）等の各種のリムーバブル記憶装置に適用される。図４４Ａ乃至図４４Ｅにリムーバブル記憶装置の幾つかの構成例を模式的に示す。例えば、先の実施の形態に示す半導体装置は、パッケージングされたメモリチップに加工され、様々なストレージ装置、リムーバブルメモリに用いられる。

［０７１０］

図４４ＡはＵＳＢメモリの模式図である。ＵＳＢメモリ１１００は、筐体１１０１、キャップ１１０２、ＵＳＢコネクタ１１０３および基板１１０４を有する。基板１１０４は、筐体１１０１に収納されている。例えば、基板１１０４には、メモリチップ１１０５、コントローラチップ１１０６が取り付けられている。メモリチップ１１０５などに先の実施の形態に示す半導体装置を組み込むことができる。

［０７１１］

図４４ＢはＳＤカードの外観の模式図であり、図４４Ｃは、ＳＤカードの内部構造の模式図である。ＳＤカード１１１０は、筐体１１１１、コネクタ１１１２および基板１１１３を有する。基板１１１３は筐体１１１１に収納されている。例えば、基板１１１３には、メモリチップ１１１４、コントローラチップ１１１５が取り付けられている。基板１１１３の裏面側にもメモリチップ１１１４を設けることで、ＳＤカード１１１０の容量を増やすことができる。また、無線通信機能を備えた無線チップを基板１１１３に設けてもよい。これによって、ホスト装置とＳＤカード１１１０間の無線通信によって、メモリチップ１１１４のデータの読み出し、書き込みが可能となる。メモリチップ１１１４などに先の実施の形態に示す半導体装置を組み込むことができる。

［０７１２］

図４４ＤはＳＳＤの外観の模式図であり、図４４Ｅは、ＳＳＤの内部構造の模式図である。ＳＳＤ１１５０は、筐体１１５１、コネクタ１１５２および基板１１５３を有する。基板１１５３は筐体１１５１に収納されている。例えば、基板１１５３には、メモリチップ１１５４、メモリチップ１１５５、コントローラチップ１１５６が取り付けられている。メモリチップ１１５５はコントローラチップ１１５６のワークメモリであり、例えばＤＯＳＲＡＭチップを用いればよい。基板１１５３の裏面側にもメモリチップ１１５４を設けることで、ＳＳＤ１１５０の容量を増やすことができる。メモリチップ１１５４などに先の実施の形態に示す半導体装置を組み込むことができる。

［０７１３］

以上、本実施の形態に示す構成、方法などは、少なくともその一部を、本明細書中に記載する他の実施の形態、他の実施例などと適宜組み合わせて実施することができる。

［０７１４］

（実施の形態９）

本発明の一態様に係る半導体装置は、ＣＰＵ、ＧＰＵなどのプロセッサ、記憶装置、またはチップに用いることができる。図４５Ａ乃至図４５Ｈに、本発明の一態様に係るＣＰＵ、ＧＰＵなどのプロセッサ、記憶装置、またはチップを備えた電子機器の具体例を示す。

［０７１５］

＜電子機器・システム＞

本発明の一態様に係るＧＰＵ、記憶装置、またはチップは、様々な電子機器に搭載することができる。電子機器の例としては、例えば、テレビジョン装置、デスクトップ型またはノート型の情報端末用などのモニタ、デジタルサイネージ（Ｄｉｇｉｔａｌ　Ｓｉｇｎａｇｅ：電子看板）、パチンコ機などの大型ゲーム機、などの比較的大きな画面を備える電子機器の他、デジタルカメラ、デジタルビデオカメラ、デジタルフォトフレーム、電子ブックリーダー、携帯電話機、携帯型ゲーム機、携帯情報端末、音響再生装置、などが挙げられる。また、本発明の一態様に係るＧＰＵ、記憶装置、またはチップを電子機器に設けることにより、電子機器に人工知能を搭載することができる。

［０７１６］

本発明の一態様の電子機器は、アンテナを有していてもよい。アンテナで信号を受信することで、表示部で映像、情報等の表示を行うことができる。また、電子機器がアンテナ及び二次電池を有する場合、アンテナを、非接触電力伝送に用いてもよい。

［０７１７］

本発明の一態様の電子機器は、センサ（力、変位、位置、速度、加速度、角速度、回転数、距離、光、液、磁気、温度、化学物質、音声、時間、硬度、電場、電流、電圧、電力、放射線、流量、湿度、傾度、振動、においまたは赤外線を測定する機能を含むもの）を有していてもよい。

［０７１８］

本発明の一態様の電子機器は、様々な機能を有することができる。例えば、様々な情報（静止画、動画、テキスト画像など）を表示部に表示する機能、タッチパネル機能、カレンダー、日付または時刻などを表示する機能、様々なソフトウェア（プログラム）を実行する機能、無線通信機能、記録媒体に記録されているプログラムまたはデータを読み出す機能等を有することができる。図４５Ａ乃至図４５Ｈに、電子機器の例を示す。

［０７１９］

［情報端末］

図４５Ａには、情報端末の一種である携帯電話（スマートフォン）が図示されている。情報端末５１００は、筐体５１０１と、表示部５１０２と、を有しており、入力用インターフェースとして、タッチパネルが表示部５１０２に備えられ、ボタンが筐体５１０１に備えられている。

［０７２０］

情報端末５１００は、本発明の一態様のチップを適用することで、人工知能を利用したアプリケーションを実行することができる。人工知能を利用したアプリケーションとしては、例えば、会話を認識してその会話内容を表示部５１０２に表示するアプリケーション、表示部５１０２に備えるタッチパネルに対してユーザが入力した文字、図形などを認識して、表示部５１０２に表示するアプリケーション、指紋、声紋などの生体認証を行うアプリケーションなどが挙げられる。

［０７２１］

図４５Ｂには、ノート型情報端末５２００が図示されている。ノート型情報端末５２００は、情報端末の本体５２０１と、表示部５２０２と、キーボード５２０３と、を有する。

［０７２２］

ノート型情報端末５２００は、先述した情報端末５１００と同様に、本発明の一態様のチップを適用することで、人工知能を利用したアプリケーションを実行することができる。人工知能を利用したアプリケーションとしては、例えば、設計支援ソフトウェア、文章添削ソフトウェア、献立自動生成ソフトウェアなどが挙げられる。また、ノート型情報端末５２００を用いることで、新規の人工知能の開発を行うことができる。

［０７２３］

なお、上述では、電子機器としてスマートフォン、およびノート型情報端末を例として、それぞれ図４５Ａ、図４５Ｂに図示したが、スマートフォン、およびノート型情報端末以外の情報端末を適用することができる。スマートフォン、およびノート型情報端末以外の情報端末としては、例えば、ＰＤＡ（Ｐｅｒｓｏｎａｌ　Ｄｉｇｉｔａｌ　Ａｓｓｉｓｔａｎｔ）、デスクトップ型情報端末、ワークステーションなどが挙げられる。

［０７２４］

［ゲーム機］

図４５Ｃは、ゲーム機の一例である携帯ゲーム機５３００を示している。携帯ゲーム機５３００は、筐体５３０１、筐体５３０２、筐体５３０３、表示部５３０４、接続部５３０５、操作キー５３０６等を有する。筐体５３０２、および筐体５３０３は、筐体５３０１から取り外すことが可能である。筐体５３０１に設けられている接続部５３０５を別の筐体（図示せず）に取り付けることで、表示部５３０４に出力される映像を、別の映像機器（図示せず）に出力することができる。このとき、筐体５３０２、および筐体５３０３は、それぞれ操作部として機能することができる。これにより、複数のプレイヤーが同時にゲームを行うことができる。筐体５３０１、筐体５３０２、および筐体５３０３の基板に設けられているチップなどに先の実施の形態に示すチップを組み込むことができる。

［０７２５］

また、図４５Ｄは、ゲーム機の一例である据え置き型ゲーム機５４００を示している。据え置き型ゲーム機５４００には、無線または有線でコントローラ５４０２が接続されている。

［０７２６］

携帯ゲーム機５３００、据え置き型ゲーム機５４００などのゲーム機に本発明の一態様のＧＰＵ、

記憶装置、またはチップを適用することによって、低消費電力のゲーム機を実現できる。また、低消費電力により、回路からの発熱を低減できるため、発熱によるその回路自体、周辺回路、およびモジュールへの影響を少なくすることができる。

［０７２７］

更に、携帯ゲーム機５３００に本発明の一態様のＧＰＵまたはチップを適用することによって、人工知能を有する携帯ゲーム機５３００を実現できる。

［０７２８］

本来、ゲームの進行、ゲーム上に登場する生物の言動、ゲーム上で発生する現象などの表現は、そのゲームが有するプログラムによって定められているが、携帯ゲーム機５３００に人工知能を適用することにより、ゲームのプログラムに限定されない表現が可能になる。例えば、プレイヤーが問いかける内容、ゲームの進行状況、時刻、ゲーム上に登場する人物の言動が変化するといった表現が可能となる。

［０７２９］

また、携帯ゲーム機５３００で複数のプレイヤーが必要なゲームを行う場合、人工知能によって擬人的にゲームプレイヤーを構成することができるため、対戦相手を人工知能によるゲームプレイヤーとすることによって、１人でもゲームを行うことができる。

［０７３０］

図４５Ｃ、図４５Ｄでは、ゲーム機の一例として携帯ゲーム機、および据え置き型ゲーム機を図示しているが、本発明の一態様のＧＰＵ、記憶装置、またはチップを適用するゲーム機はこれに限定されない。本発明の一態様のＧＰＵ、記憶装置、またはチップを適用するゲーム機としては、例えば、娯楽施設（ゲームセンター、遊園地など）に設置されるアーケードゲーム機、スポーツ施設に設置されるバッティング練習用の投球マシンなどが挙げられる。

［０７３１］

［大型コンピュータ］

本発明の一態様のＧＰＵ、記憶装置、またはチップは、大型コンピュータに適用することができる。

［０７３２］

図４５Ｅは、大型コンピュータの一例である、スーパーコンピュータ５５００を示す図である。図４５Ｆは、スーパーコンピュータ５５００が有するラックマウント型の計算機５５０２を示す図である。

［０７３３］

スーパーコンピュータ５５００は、ラック５５０１と、複数のラックマウント型の計算機５５０２と、を有する。なお、複数の計算機５５０２は、ラック５５０１に格納されている。また、計算機５５０２には、複数の基板５５０４が設けられ、当該基板上に上記実施の形態で説明したＧＰＵ、記憶装置、またはチップを搭載することができる。

［０７３４］

スーパーコンピュータ５５００は、主に科学技術計算に利用される大型コンピュータである。科学技術計算では、膨大な演算を高速に処理する必要があるため、消費電力が高く、チップの発熱が大きい。スーパーコンピュータ５５００に本発明の一態様のＧＰＵ、記憶装置、またはチップを適用することによって、低消費電力のスーパーコンピュータを実現できる。また、低消費電力により、

回路からの発熱を低減できるため、発熱によるその回路自体、周辺回路、およびモジュールへの影響を少なくすることができる。

［０７３５］

図４５Ｅ、図４５Ｆでは、大型コンピュータの一例としてスーパーコンピュータを図示しているが、本発明の一態様のＧＰＵ、記憶装置、またはチップを適用する大型コンピュータはこれに限定されない。本発明の一態様のＧＰＵ、記憶装置、またはチップを適用する大型コンピュータとしては、例えば、サービスを提供するコンピュータ（サーバー）、大型汎用コンピュータ（メインフレーム）などが挙げられる。

［０７３６］

［移動体］

本発明の一態様のＧＰＵ、記憶装置、またはチップは、移動体である自動車、および自動車の運転席周辺に適用することができる。

［０７３７］

図４５Ｇは、移動体の一例である自動車の室内におけるフロントガラス周辺を示す図である。図４５Ｇでは、ダッシュボードに取り付けられた表示パネル５７０１、表示パネル５７０２、表示パネル５７０３の他、ピラーに取り付けられた表示パネル５７０４を図示している。

［０７３８］

表示パネル５７０１乃至表示パネル５７０３は、スピードメーター、タコメーター、走行距離、燃料計、ギア状態、エアコンの設定などを表示することで、様々な情報を提供できる。また、表示パネルに表示される表示項目、レイアウトなどは、ユーザの好みに合わせて適宜変更することができ、デザイン性を高めることが可能である。表示パネル５７０１乃至表示パネル５７０３は、照明装置として用いることも可能である。

［０７３９］

表示パネル５７０４には、自動車に設けられた撮像装置（図示しない）からの映像を映し出すことによって、ピラーで遮られた視界（死角）を補完することができる。すなわち、自動車の外側に設けられた撮像装置からの画像を表示することによって、死角を補い、安全性を高めることができる。また、見えない部分を補完する映像を映すことによって、より自然に違和感なく安全確認を行うことができる。表示パネル５７０４は、照明装置として用いることもできる。

［０７４０］

本発明の一態様のＧＰＵ、記憶装置、またはチップは人工知能の構成要素として適用できるため、例えば、当該チップを自動車の自動運転システムに用いることができる。また、当該チップを道路案内、危険予測などを行うシステムに用いることができる。表示パネル５７０１乃至表示パネル５７０４には、道路案内、危険予測などの情報を表示する構成としてもよい。

［０７４１］

なお、上述では、移動体の一例として自動車について説明しているが、移動体は自動車に限定されない。例えば、移動体としては、電車、モノレール、船、飛行体（ヘリコプター、無人航空機（ドローン）、飛行機、ロケット）なども挙げることができ、これらの移動体に本発明の一態様のチップを適用して、人工知能を利用したシステムを付与することができる。

［０７４２］

［電化製品］

図４５Ｈは、電化製品の一例である電気冷凍冷蔵庫５８００を示している。電気冷凍冷蔵庫５８００は、筐体５８０１、冷蔵室用扉５８０２、冷凍室用扉５８０３等を有する。

［０７４３］

電気冷凍冷蔵庫５８００に本発明の一態様のチップを適用することによって、人工知能を有する電気冷凍冷蔵庫５８００を実現できる。人工知能を利用することによって電気冷凍冷蔵庫５８００は、電気冷凍冷蔵庫５８００に保存されている食材、その食材の消費期限などを基に献立を自動生成する機能、電気冷凍冷蔵庫５８００に保存されている食材に合わせた温度に自動的に調節する機能などを有することができる。

［０７４４］

電化製品の一例として電気冷凍冷蔵庫について説明したが、その他の電化製品としては、例えば、掃除機、電子レンジ、電気オーブン、炊飯器、湯沸かし器、ＩＨ調理器、ウォーターサーバ、エアーコンディショナーを含む冷暖房器具、洗濯機、乾燥機、オーディオビジュアル機器などが挙げられる。

［０７４５］

本実施の形態で説明した電子機器、その電子機器の機能、人工知能の応用例、その効果などは、他の電子機器の記載と適宜組み合わせることができる。

［０７４６］

以上、本実施の形態に示す構成、方法などは、少なくともその一部を、本明細書中に記載する他の実施の形態、他の実施例などと適宜組み合わせて実施することができる。

［符号の説明］

［０７４７］

１４：絶縁体、１５：導電体、１６：絶縁体、２０Ａ：トランジスタ、２０Ｂ：トランジスタ、２０Ｃ：トランジスタ、２０Ｄ：トランジスタ、２０Ｅ：トランジスタ、２０Ｆ：トランジスタ、２０：トランジスタ、２２Ａ：絶縁膜、２２：絶縁体、２３ａ：絶縁体、２３Ａ：絶縁膜、２３ｂ：絶縁体、２３ｆ：絶縁膜、２３：絶縁体、２４Ａ：絶縁膜、２４Ｂ：絶縁層、２４：絶縁体、３０Ａ：酸化膜、３０ａ：領域、３０ｂ：領域、３０ｃ：領域、３０：酸化物、４２ａ：導電体、４２Ａ：導電膜、４２ｂ：導電体、４２Ｂ：導電層、４２：導電体、５０Ａ：絶縁膜、５０：絶縁体、５２：絶縁体、５４：絶縁体、６０Ａ：導電膜、６０：導電体、７５：絶縁体、８０：絶縁体、８２：絶縁体、８３：絶縁体、９１：開口、１００：容量素子、１１０：導電体、１１２：導電体、１１５：導電体、１２０：導電体、１２５：導電体、１３０：絶縁体、１４０：導電体、１４２：絶縁体、１４５：絶縁体、１５０：絶縁体、１５２：絶縁体、１５３：導電体、１５４：絶縁体、１５６：絶縁体、２００ａ：トランジスタ、２００ｂ：トランジスタ、２００：トランジスタ、２０５ａ：導電体、２０５ｂ：導電体、２０５：導電体、２１０：絶縁体、２１２：絶縁体、２１４：絶縁体、２１６：絶縁体、２１７：絶縁体、２１８：導電体、２２２：絶縁体、２２３ａ：絶縁体、２２３Ａ：絶縁膜、２２３ｂ：絶縁体、２２３ｃ：絶縁体、２２３：絶縁体、２２４Ｂ：絶縁層、２２４：絶縁体、２３０Ａ：酸化膜、２３０ａ：領域、２３０ｂ：領域、２３０ｃ：領域、２３０：酸化物、２４０ａ：導電体、２４０ｂ：導電体、２４０：導電体、２４１ａ：絶縁体、２４１ｂ：絶縁体、２４１：絶縁体、２４２ａ：導電体、２４２Ａ：導電膜、２４２ｂ：導電体、２４２Ｂ：導電層、２４２ｃ：導電体、２４２：導電体、２４３ａ：酸化物、２４３ｂ：酸化物、２４３：酸化物、２４６ａ：導電体、２４６ｂ：導電体、２４６：導電体、２５０ａ：絶縁体、２５

０Ａ：絶縁膜、２５０ｂ：絶縁体、２５０：絶縁体、２５２Ａ：絶縁膜、２５２：絶縁体、２５４Ａ：絶縁膜、２５４：絶縁体、２６０ａ：導電体、２６０ｂ：導電体、２６０：導電体、２６５：封止部、２７１ａ：絶縁体、２７１Ａ：絶縁膜、２７１ｂ：絶縁体、２７１Ｂ：絶縁層、２７１ｃ：絶縁体、２７１：絶縁体、２７４：絶縁体、２７５：絶縁体、２８０：絶縁体、２８２：絶縁体、２８３：絶縁体、２８５：絶縁体、２９０：メモリデバイス、２９２ａ：容量デバイス、２９２ｂ：容量デバイス、２９２：容量デバイス、２９４ａ：導電体、２９４ｂ：導電体、２９４：導電体、３００：トランジスタ、３１１：基板、３１３：半導体領域、３１４ａ：低抵抗領域、３１４ｂ：低抵抗領域、３１５：絶縁体、３１６：導電体、３２０：絶縁体、３２２：絶縁体、３２４：絶縁体、３２６：絶縁体、３２８：導電体、３３０：導電体、３５０：絶縁体、３５２：絶縁体、３５４：絶縁体、３５６：導電体、４００：開口領域、５００：半導体装置、６００：記憶装置、６０１：記憶装置、６１０＿１：セルアレイ、６１０＿ｎ：セルアレイ、６１０：セルアレイ、７００：電子部品、７０２：プリント基板、７０４：実装基板、７１１：モールド、７１２：ランド、７１３：電極パッド、７１４：ワイヤ、７２０：記憶装置、７２１：駆動回路層、７２２：記憶回路層、７３０：電子部品、７３１：インターポーザ、７３２：パッケージ基板、７３３：電極、７３５：半導体装置、１００１：配線、１００２：配線、１００３：配線、１００４：配線、１００５：配線、１００６：配線、１１００：ＵＳＢメモリ、１１０１：筐体、１１０２：キャップ、１１０３：ＵＳＢコネクタ、１１０４：基板、１１０５：メモリチップ、１１０６：コントローラチップ、１１１０：ＳＤカード、１１１１：筐体、１１１２：コネクタ、１１１３：基板、１１１４：メモリチップ、１１１５：コントローラチップ、１１５０：ＳＳＤ、１１５１：筐体、１１５２：コネクタ、１１５３：基板、１１５４：メモリチップ、１１５５：メモリチップ、１１５６：コントローラチップ、１２００：チップ、１２０１：パッケージ基板、１２０２：バンプ、１２０３：マザーボード、１２０４：ＧＰＵモジュール、１２１１：ＣＰＵ、１２１２：ＧＰＵ、１２１３：アナログ演算部、１２１４：メモリコントローラ、１２１５：インターフェース、１２１６：ネットワーク回路、１２２１：ＤＲＡＭ、１２２２：フラッシュメモリ、１４００：記憶装置、１４１１：周辺回路、１４２０：行回路、１４３０：列回路、１４４０：出力回路、１４６０：コントロールロジック回路、１４７０：メモリセルアレイ、１４７１：メモリセル、１４７２：メモリセル、１４７３：メモリセル、１４７４：メモリセル、１４７５：メモリセル、１４７６：メモリセル、１４７７：メモリセル、１４７８：メモリセル、２７００：製造装置、２７０１：大気側基板供給室、２７０２：大気側基板搬送室、２７０３ａ：ロードロック室、２７０３ｂ：アンロードロック室、２７０４：搬送室、２７０６ａ：チャンバー、２７０６ｂ：チャンバー、２７０６ｃ：チャンバー、２７０６ｄ：チャンバー、２７６１：カセットポート、２７６２：アライメントポート、２７６３ａ：搬送ロボット、２７６３ｂ：搬送ロボット、２８０１：ガス供給源、２８０２：バルブ、２８０３：高周波発生器、２８０４：導波管、２８０５：モード変換器、２８０６：ガス管、２８０７：導波管、２８０８：スロットアンテナ板、２８０９：誘電体板、２８１０：高密度プラズマ、２８１１＿１：基板、２８１１＿２：基板、２８１１＿３：基板、２８１１＿ｎ：基板、２８１１＿ｎ－１：基板、２８１１＿ｎ－２：基板、２８１１：基板、２８１２：基板ホルダ、２８１３：加熱機構、２８１５：マッチングボックス、２８１６：高周波電源、２８１７：真空ポンプ、２８１８：バルブ、２８１９：排気口、２８２０：ランプ、２８２１：ガス供給源、２８２２：バルブ、２８２３：ガス導入口、２８２４：基板、２８２５：基板ホルダ、２８２６：加熱機構、２８２８：真空ポンプ、２８２９：バルブ、２８３０：排気口、２９００：マイクロ波処理装

置、２９０１：石英管、２９０２：基板ホルダ、２９０３：加熱手段、３３１０：ＣＰＵ、３３１１：ＣＰＵコア、３３１２：バックアップ回路、３３１３：ＰＭＵ、３３１４：フリップフロップ、３３１５：パワースイッチ、３３１６：パワースイッチ、３３１７：パワースイッチ、３３１８：レベルシフタ、３３１９Ａ：クロックバッファ回路、３３１９：スキャンフリップフロップ、３３７１：Ｌ１キャッシュメモリ装置、３３７２：Ｌ２キャッシュメモリ装置、３３７３：バスインターフェース部、５１００：情報端末、５１０１：筐体、５１０２：表示部、５２００：ノート型情報端末、５２０１：本体、５２０２：表示部、５２０３：キーボード、５３００：携帯ゲーム機、５３０１：筐体、５３０２：筐体、５３０３：筐体、５３０４：表示部、５３０５：接続部、５３０６：操作キー、５４００：据え置き型ゲーム機、５４０２：コントローラ、５５００：スーパーコンピュータ、５５０１：ラック、５５０２：計算機、５５０４：基板、５７０１：表示パネル、５７０２：表示パネル、５７０３：表示パネル、５７０４：表示パネル、５８００：電気冷凍冷蔵庫、５８０１：筐体、５８０２：冷蔵室用扉、５８０３：冷凍室用扉

請求の範囲

［請求項１］

第１の導電体と、

前記第１の導電体上の、第１の絶縁体と、

前記第１の絶縁体上の、第２の絶縁体と、

前記第２の絶縁体上の、第３の絶縁体、第４の絶縁体、及び第５の絶縁体と、

前記第３の絶縁体上、前記第４の絶縁体上、及び前記第５の絶縁体上の、酸化物と、

前記酸化物上の、第２の導電体、及び第３の導電体と、

前記第２の導電体上、及び前記第３の導電体上の、第６の絶縁体と、

前記第６の絶縁体上の、第７の絶縁体と、

前記酸化物上の、第８の絶縁体と、

前記第８の絶縁体上の、第９の絶縁体と、

前記第９の絶縁体上の、第４の導電体と、

前記第７の絶縁体上、前記第８の絶縁体上、前記第９の絶縁体上、及び前記第４の導電体上の、第１０の絶縁体と、

を有し、

前記第６の絶縁体は、前記第１の絶縁体の上面、前記酸化物の側面、前記第２の導電体の側面及び上面、並びに、前記第３の導電体の側面及び上面と接する領域を有し、

前記第１の導電体は、前記酸化物、および前記第４の導電体と重なるように配置され、

前記第３の絶縁体は、前記酸化物、および前記第４の導電体と重なるように配置され、

前記第４の絶縁体は、前記酸化物、および前記第２の導電体と重なるように配置され、

前記第５の絶縁体は、前記酸化物、および前記第３の導電体と重なるように配置され、

前記第８の絶縁体は、前記第３の絶縁体の側面、前記酸化物の側面、及び前記第７の絶縁体の側面のそれぞれと接し、

前記第８の絶縁体は、前記第９の絶縁体より膜厚が薄い領域を有し、

前記第３の絶縁体の上面は、前記第４の絶縁体の上面、及び前記第５の絶縁体の上面と高さが一致または概略一致する、

トランジスタ。

［請求項２］

請求項１において、

前記第４の導電体の上面は、前記第７の絶縁体の上面と高さが一致または概略一致する、

トランジスタ。

［請求項３］

請求項２において、

前記第４の導電体の上面は、前記第８の絶縁体の最上部、及び前記第９の絶縁体の最上部と高さが一致または概略一致する、

トランジスタ。

［請求項４］

請求項１乃至請求項３のいずれか一項において、

前記第８の絶縁体は、アルミニウムと、酸素と、を有し、

前記第８の絶縁体は、膜厚が１．０ｎｍ以上３．０ｎｍ以下の領域を有する、

トランジスタ。

［請求項５］

請求項１乃至請求項４のいずれか一項において、

前記第１の絶縁体、および前記第６の絶縁体のそれぞれは、シリコンと、窒素と、を有し、

前記第２の絶縁体、及び前記第１０の絶縁体のそれぞれは、アルミニウムと、酸素と、を有し、

前記第３の絶縁体、前記第７の絶縁体、及び前記第９の絶縁体のそれぞれは、シリコンと、酸素と、を有する、

トランジスタ。

［請求項６］

請求項１乃至請求項５のいずれか一項において、

前記第１０の絶縁体上の、第１１の絶縁体を有し、

前記第１１の絶縁体は、前記第１の絶縁体の上面、前記第６の絶縁体の側面、前記第７の絶縁体の側面、前記第１０の絶縁体の側面、及び前記第１０の絶縁体の上面と接し、

前記第１１の絶縁体は、シリコンと、窒素と、を有する、

トランジスタ。

［請求項７］

第１の絶縁体と、

前記第１の絶縁体上の、第２の絶縁体と、

前記第２の絶縁体上の、第３の絶縁体、第４の絶縁体、及び第５の絶縁体と、

前記第３の絶縁体上、前記第４の絶縁体上、及び前記第５の絶縁体上の、酸化物と、

前記酸化物上の、第１の導電体、及び第２の導電体と、

前記第１の導電体上、及び前記第２の導電体上の、第６の絶縁体と、

前記第６の絶縁体上の、第７の絶縁体と、

前記酸化物上の、第８の絶縁体と、

前記第８の絶縁体上の、第３の導電体と、

前記第７の絶縁体上、前記第８の絶縁体上、及び前記第３の導電体上の、第９の絶縁体と、

を有し、

前記第６の絶縁体は、前記第１の絶縁体の上面、前記酸化物の側面、前記第１の導電体の側面及び上面、並びに、前記第２の導電体の側面及び上面と接する領域を有し、

前記第３の絶縁体は、前記酸化物、および前記第３の導電体と重なるように配置され、

前記第４の絶縁体は、前記酸化物、および前記第１の導電体と重なるように配置され、

前記第５の絶縁体は、前記酸化物、および前記第２の導電体と重なるように配置され、

前記第８の絶縁体は、前記第３の絶縁体の側面、前記酸化物の側面、及び前記第７の絶縁体の側面のそれぞれと接し、

前記第３の絶縁体の上面は、前記第４の絶縁体の上面、及び前記第５の絶縁体の上面と高さが一致または概略一致する、

トランジスタ。

［請求項８］

請求項７において、

前記第３の導電体の上面は、前記第７の絶縁体の上面と高さが一致または概略一致する、

トランジスタ。

［請求項９］

請求項８において、

前記第３の導電体の上面は、前記第８の絶縁体の最上部と高さが一致または概略一致する、

トランジスタ。

［請求項１０］

請求項７乃至請求項９のいずれか一項において、

前記第１の絶縁体、および前記第６の絶縁体のそれぞれは、シリコンと、窒素と、を有し、

前記第２の絶縁体、及び前記第９の絶縁体のそれぞれは、アルミニウムと、酸素と、を有し、

前記第３の絶縁体、前記第７の絶縁体、及び前記第８の絶縁体のそれぞれは、シリコンと、酸素と、を有する、

トランジスタ。

［請求項１１］

請求項７乃至請求項１０のいずれか一項において、

前記第９の絶縁体上の、第１０の絶縁体を有し、

前記第１０の絶縁体は、前記第１の絶縁体の上面、前記第６の絶縁体の側面、前記第７の絶縁体の側面、前記第９の絶縁体の側面、及び前記第９の絶縁体の上面と接し、

前記第１０の絶縁体は、シリコンと、窒素と、を有する、

トランジスタ。

［請求項１２］

請求項１乃至請求項１１のいずれか一項において、

前記酸化物、前記第４の絶縁体、及び前記第５の絶縁体のそれぞれは、インジウムと、ガリウムと、亜鉛と、酸素と、を有し、

前記第４の絶縁体のインジウムに対するガリウムの原子数比は、前記酸化物のインジウムに対するガリウムの原子数比よりも大きい、

トランジスタ。

［請求項１３］

請求項１乃至請求項１２のいずれか一項において、

前記酸化物を二次イオン質量分析法にて測定した際に、前記酸化物中の水素濃度は、1×10^{19}ａｔｏｍｓ／ｃｍ^{3}未満である領域を有する、

トランジスタ。

図1A

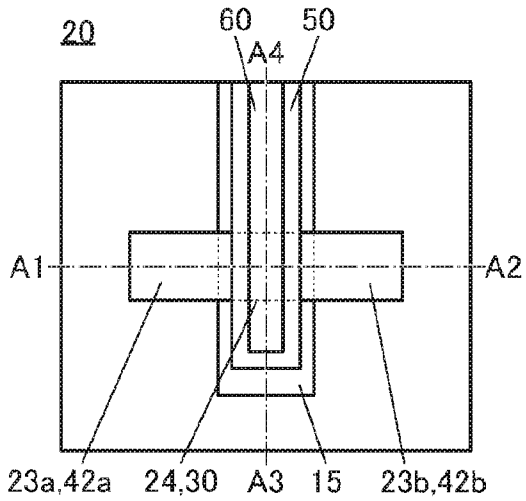

20
60
50
A4
A1
A2
23a,42a
24,30
A3
15
23b,42b

図1B

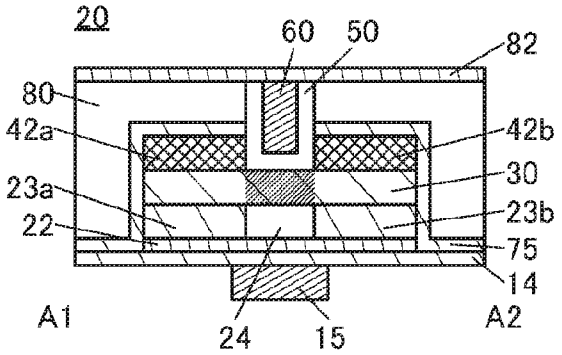

20
60
50
82
80
42a
42b
30
23a
23b
22
75
14
A1
A2
24
15

図1C

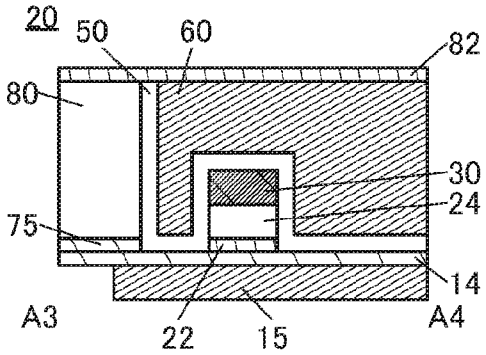

20
50
60
82
80
30
24
75
14
A3
A4
22
15

図2A

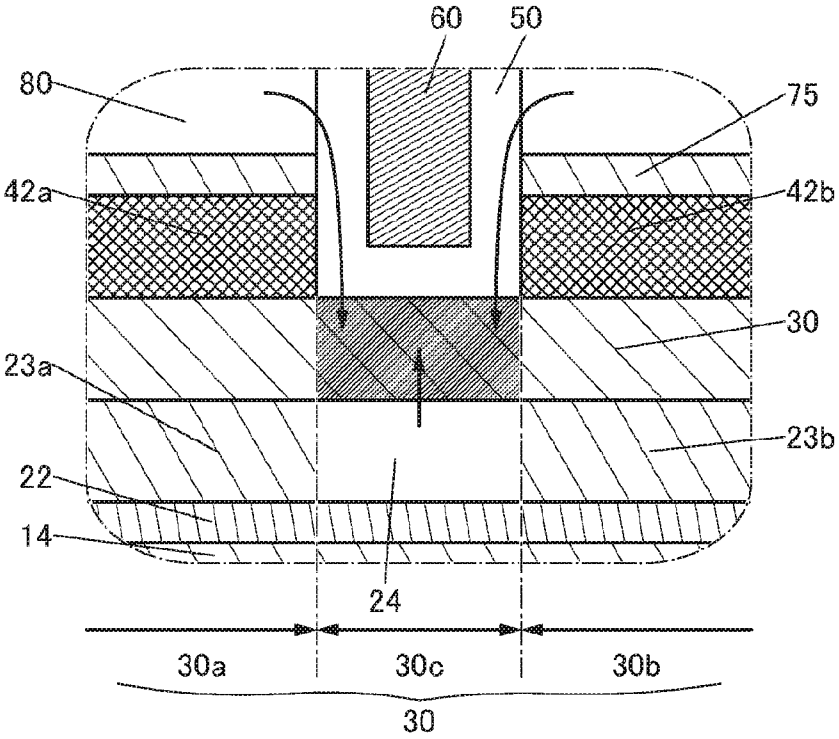

60
50
80
75
42a
42b
30
23a
23b
22
14
24
30a
30c
30b
30

図2B

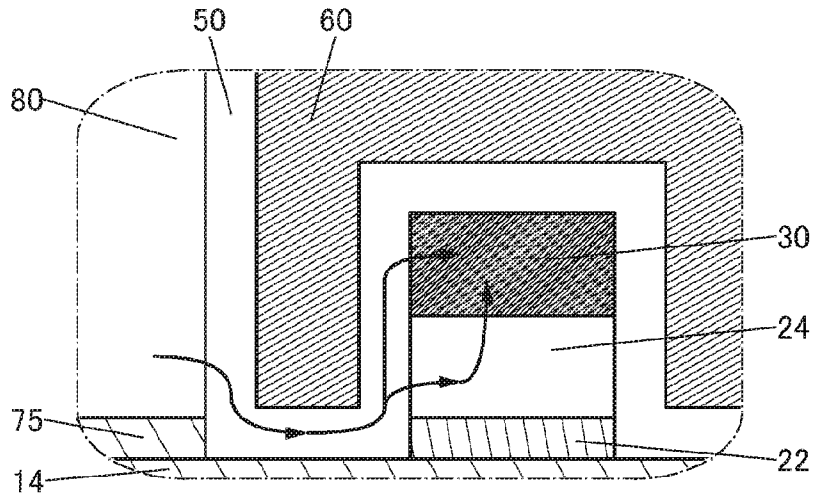

50
60
80
30
24
75
22
14

図3A

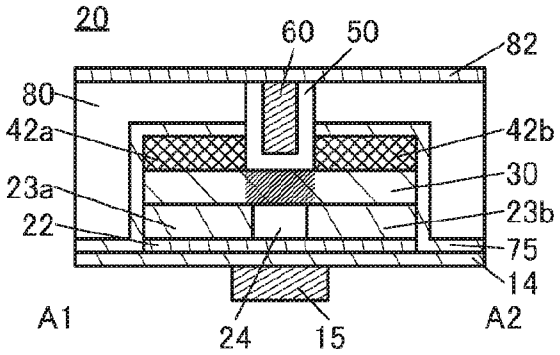


図3B

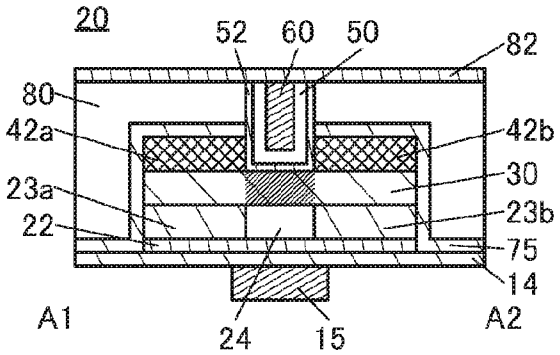


図3C

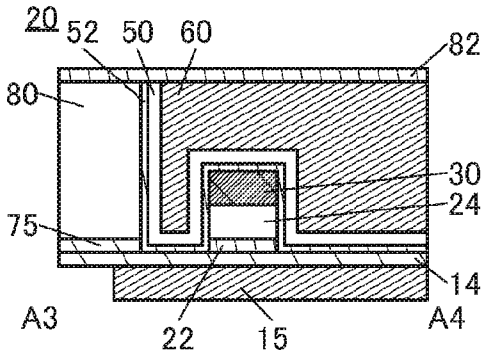


図3D

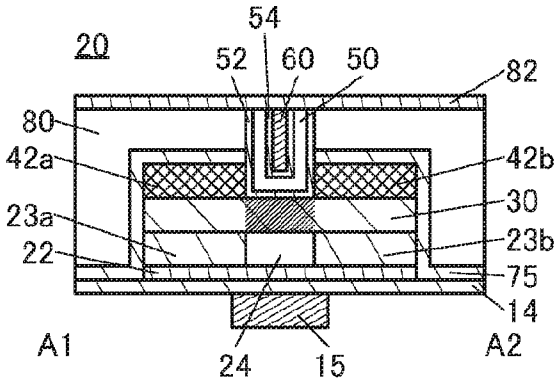


図3E

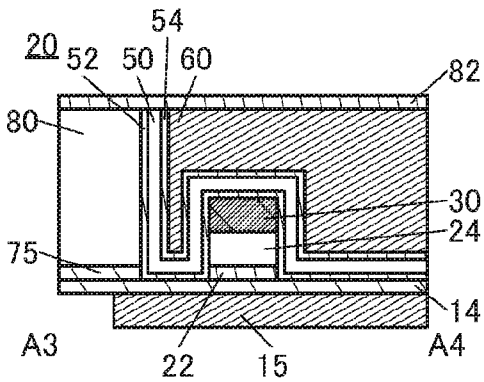


図4A

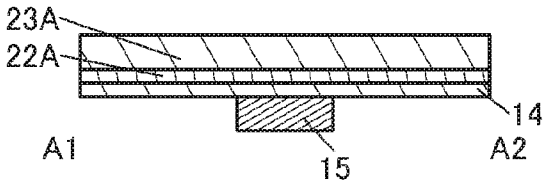


図4B

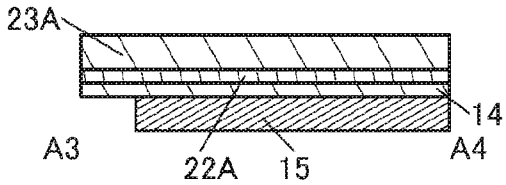


図4C

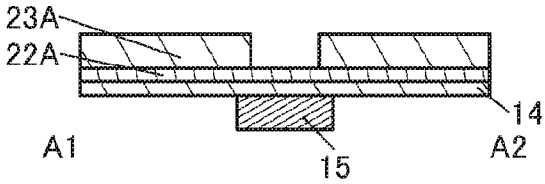


図4D

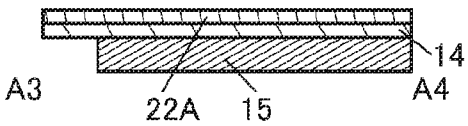


図4E

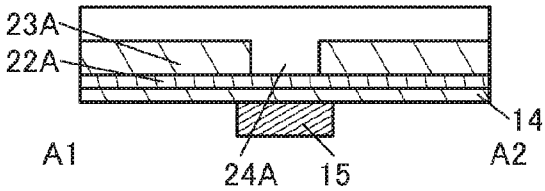


図4F

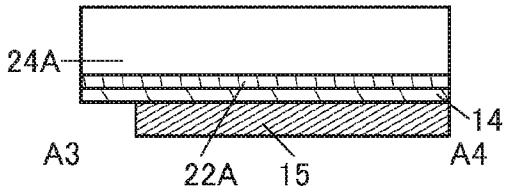


図4G

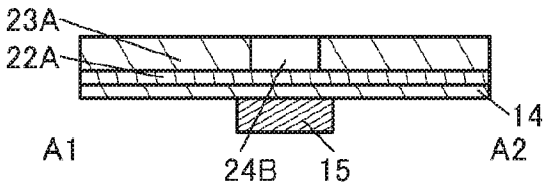


図4H

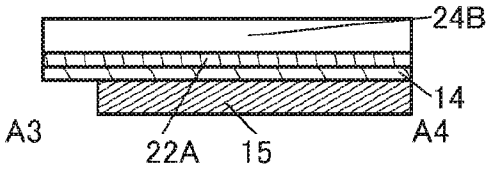


図4I

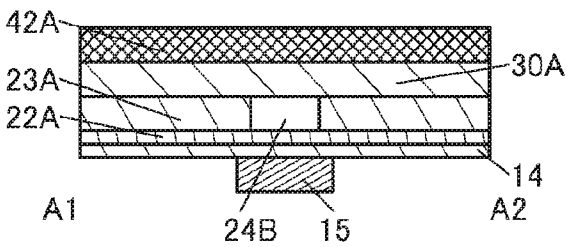


図4J

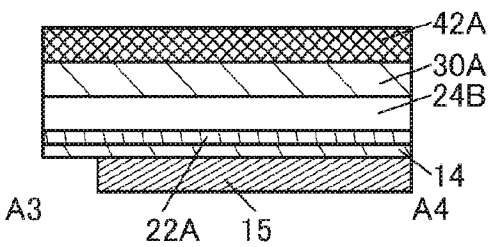


図5A

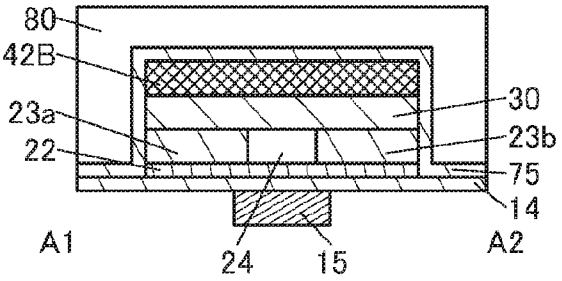


図5B

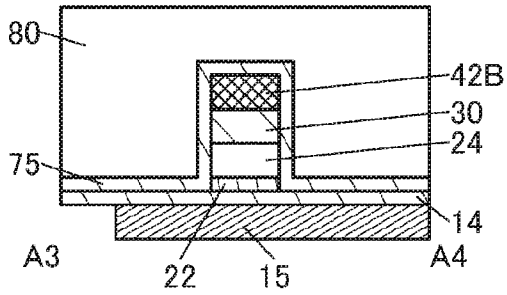


図5C

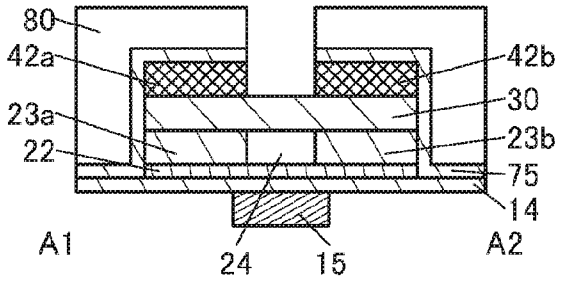


図5D

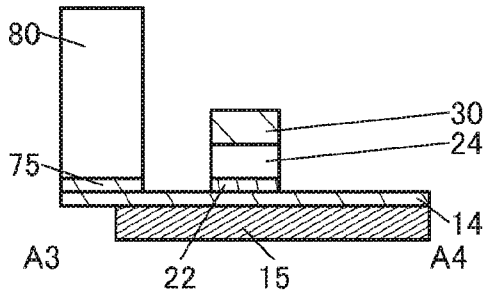


図5E

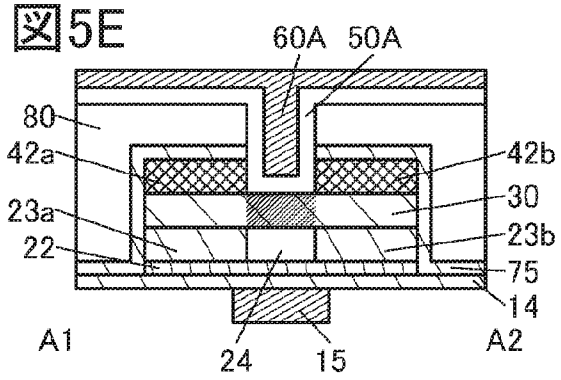


図5F

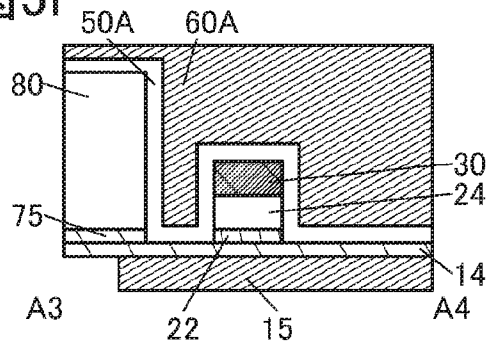


図5G

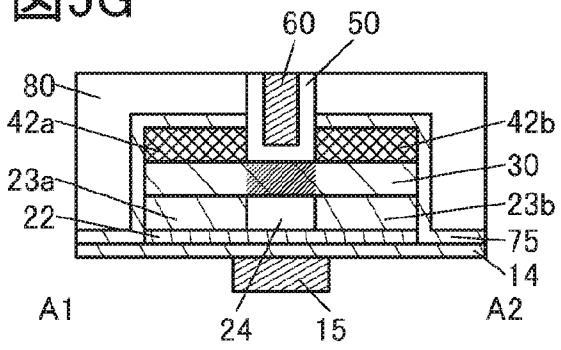


図5H

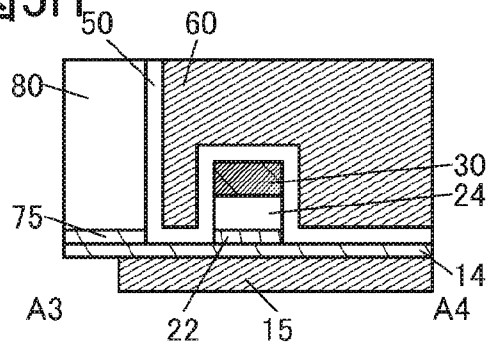


図6A

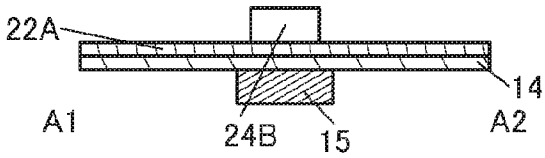


図6B

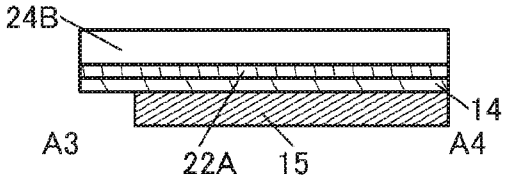


図6C

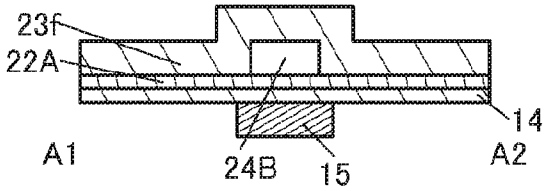


図6D

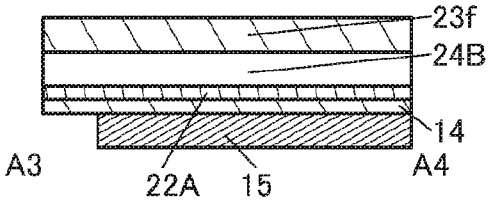


図6E

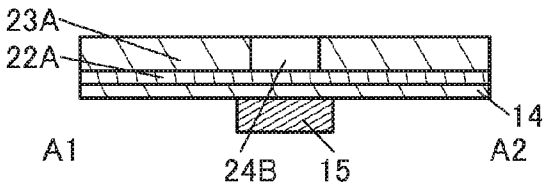


図6F

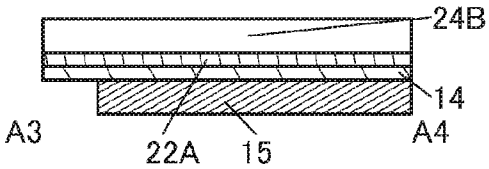


図7

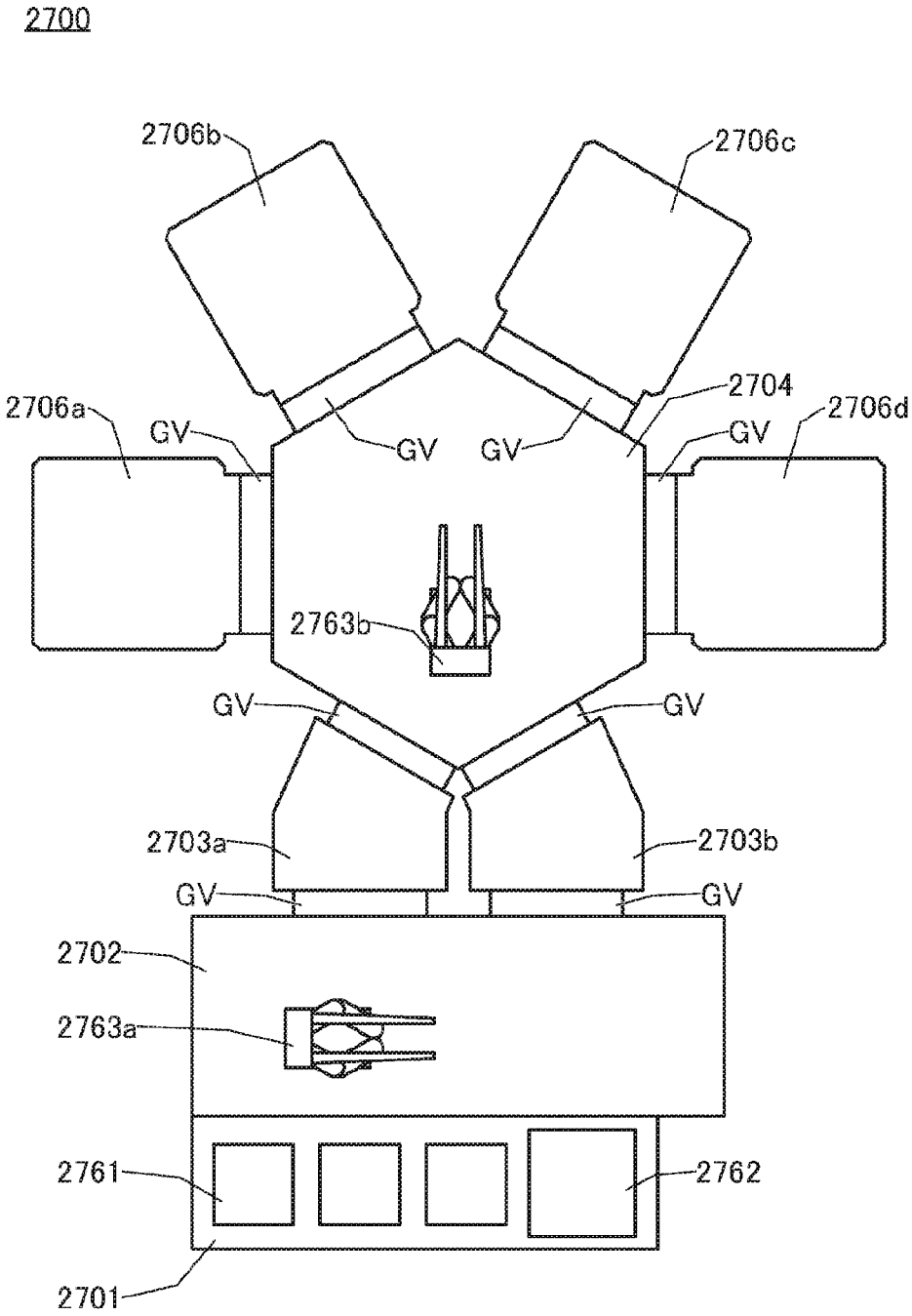

2700
2706b
2706c
2706a
GV
GV
GV
2704
GV
2706d
2763b
GV
GV
2703a
2703b
GV
GV
2702
2763a
2761
2762
2701

図8

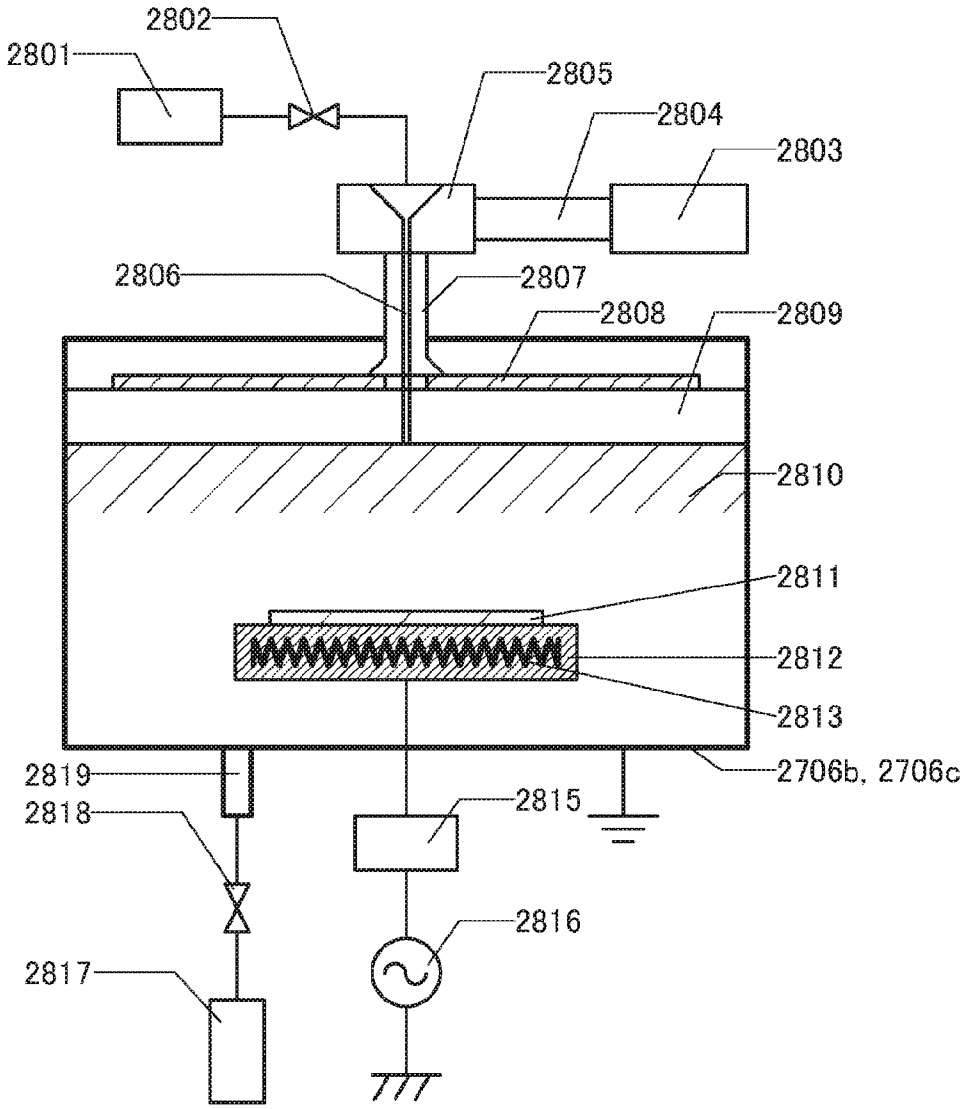

2802
2801
2805
2804
2803
2806
2807
2808
2809
2810
2811
2812
2813
2819
2706b, 2706c
2818
2815
2816
2817

図9

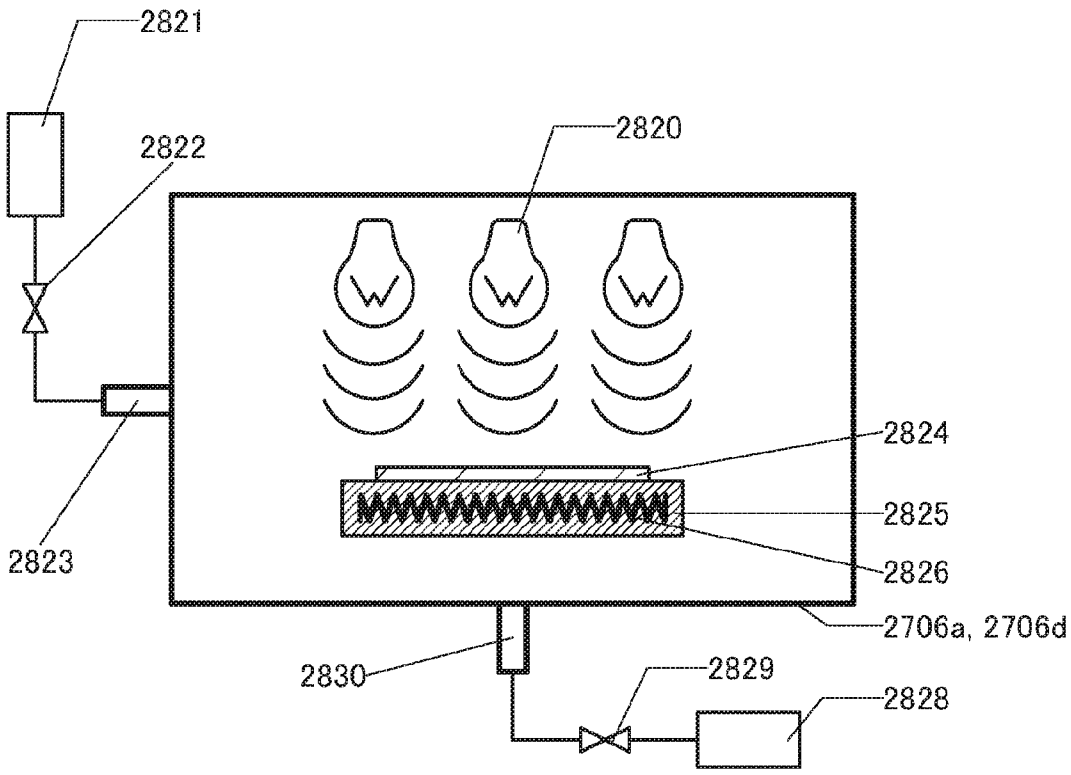

2821
2822
2820
2824
2825
2826
2823
2706a, 2706d
2830
2829
2828

図10

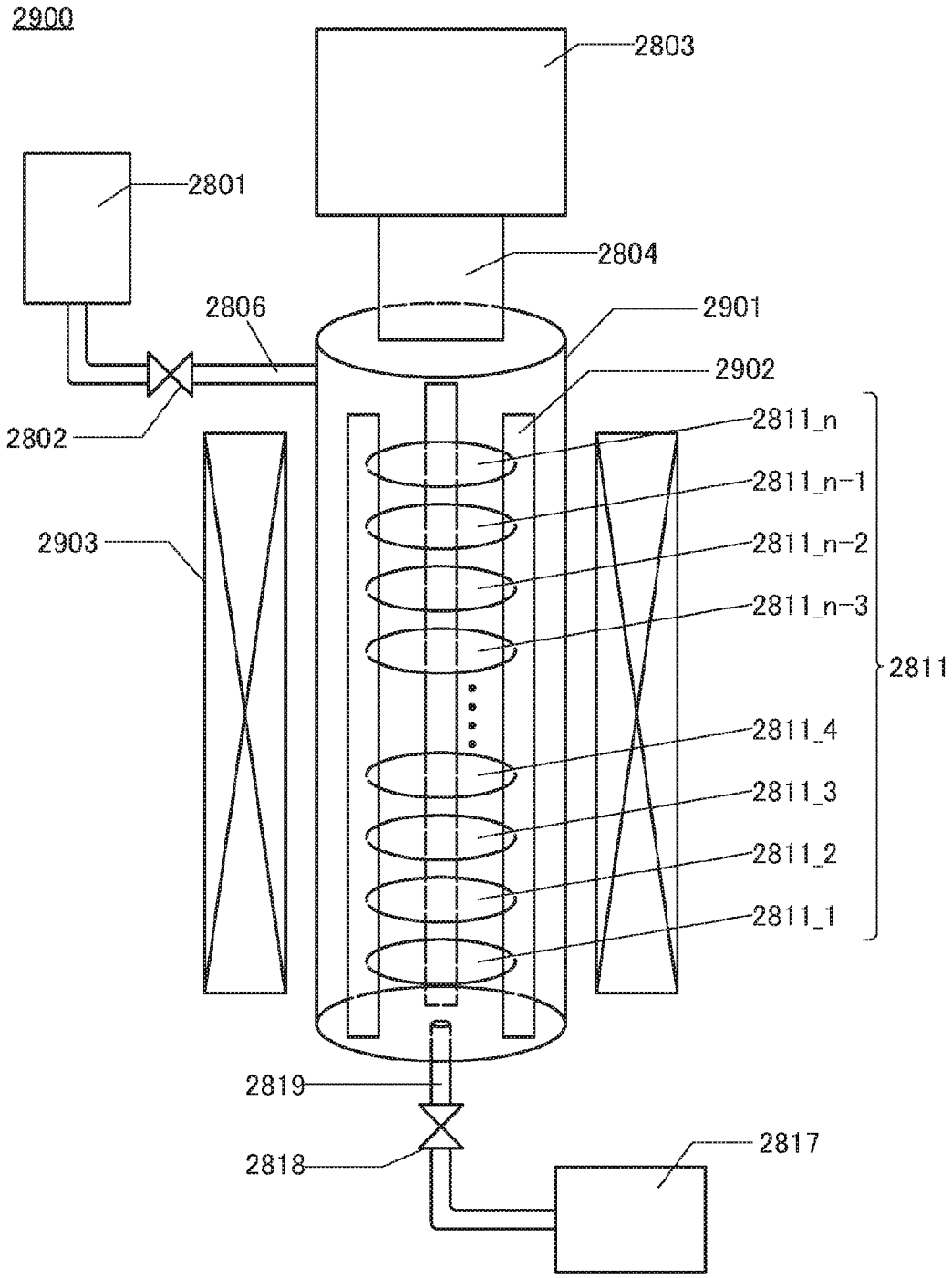

2900
2803
2801
2804
2806
2901
2902
2802
2811_n
2811_n-1
2811_n-2
2811_n-3
2903
2811
2811_4
2811_3
2811_2
2811_1
2819
2817
2818

図11A

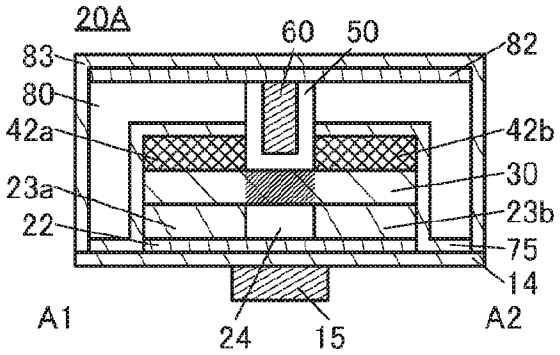


図11B

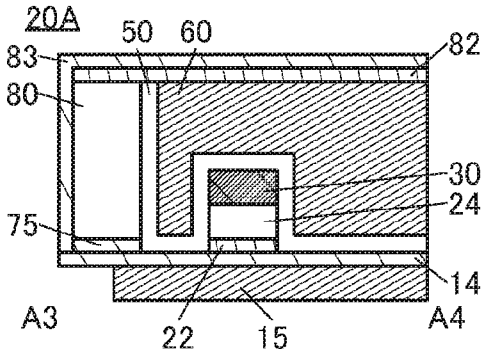


図11C

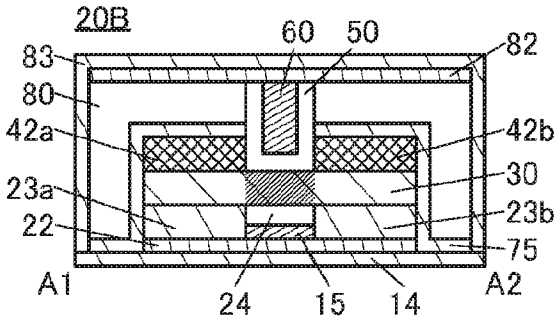


図11D

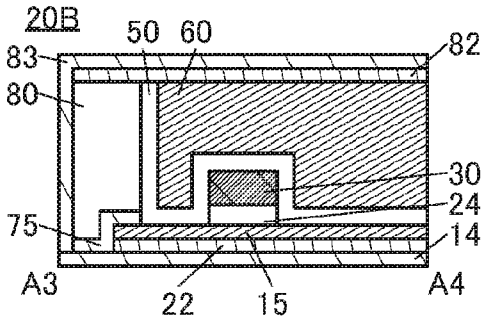


図12A

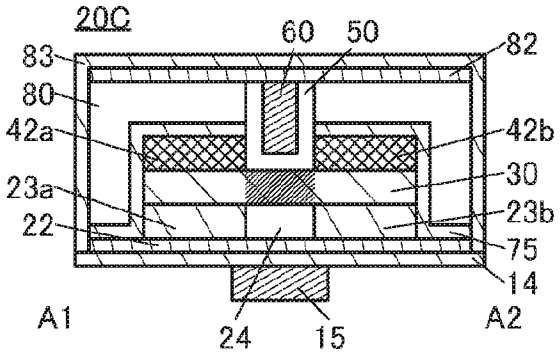


図12B

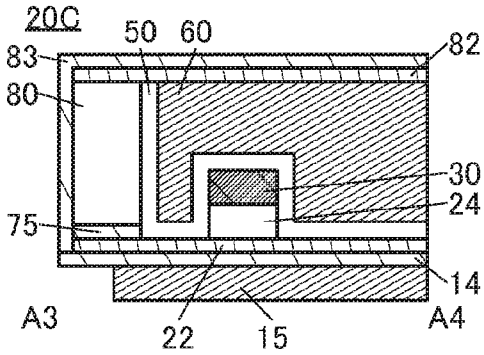


図12C

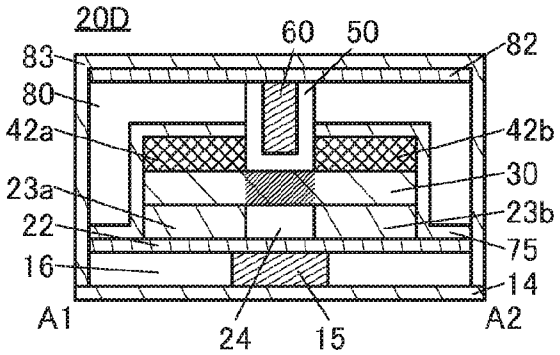


図12D

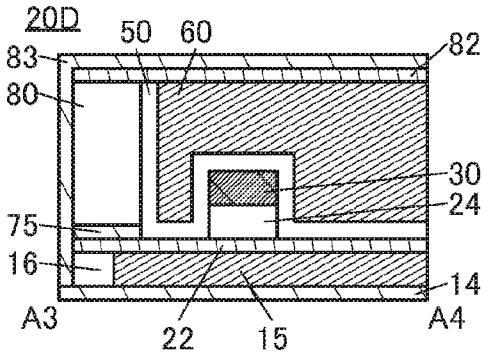


図13A

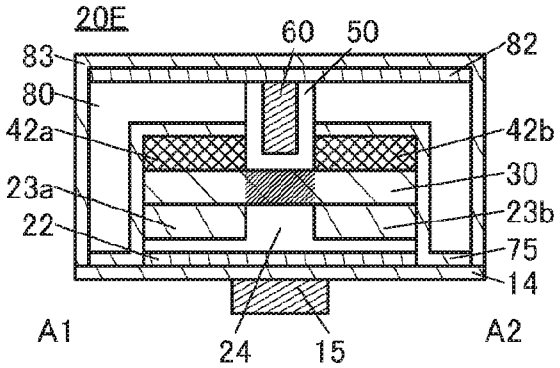


図13B

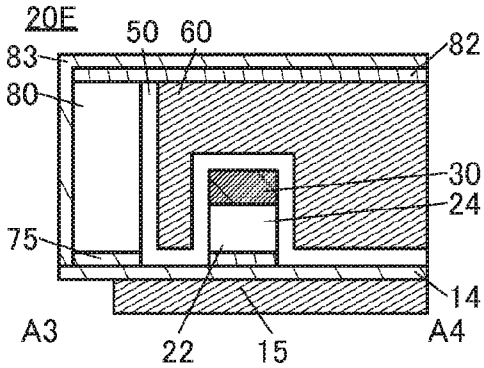


図13C

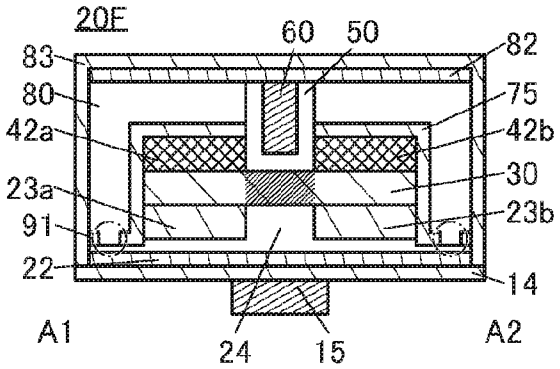


図13D

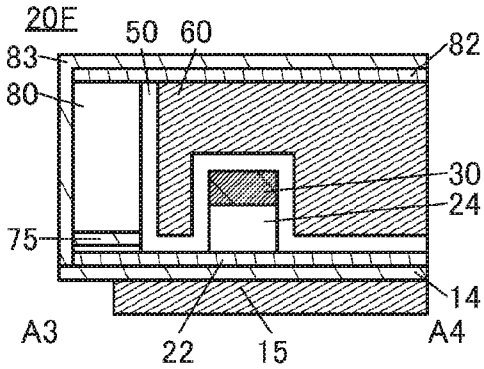


図14A

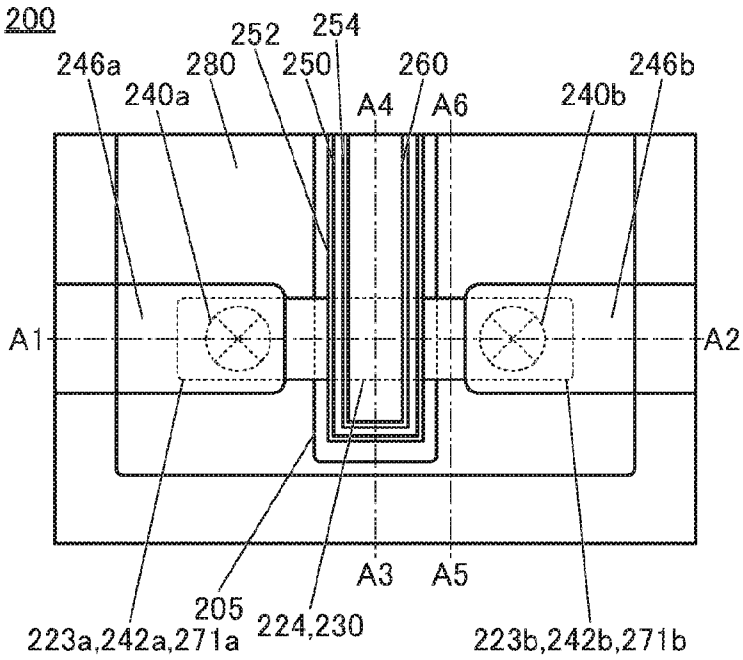


図14C

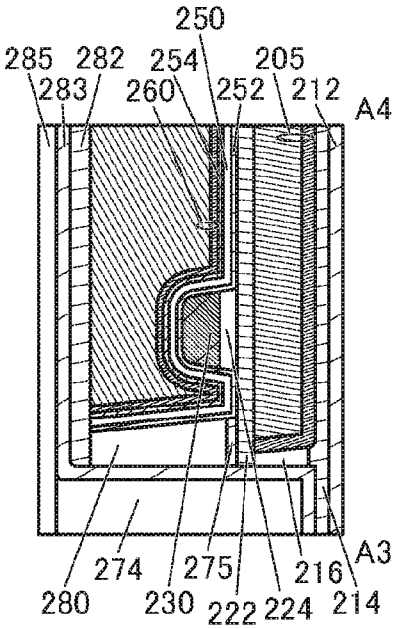


図14B

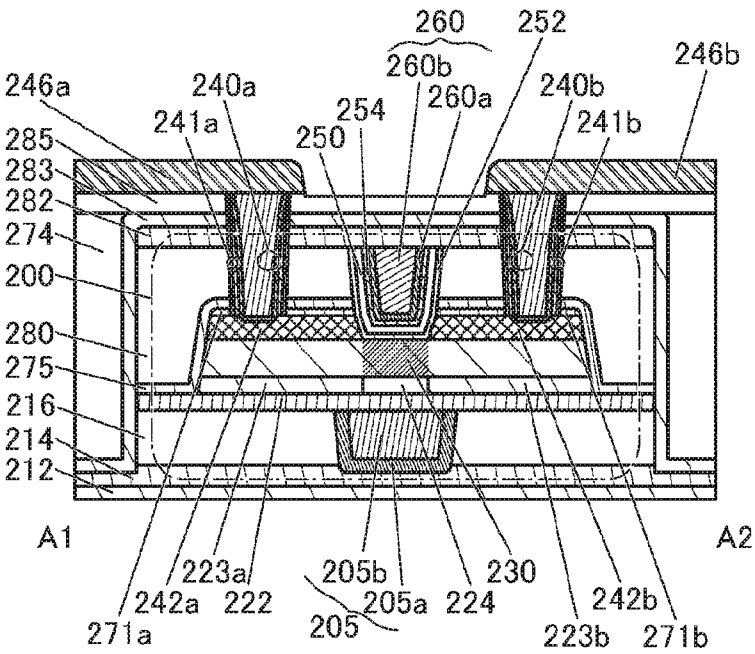


図14D

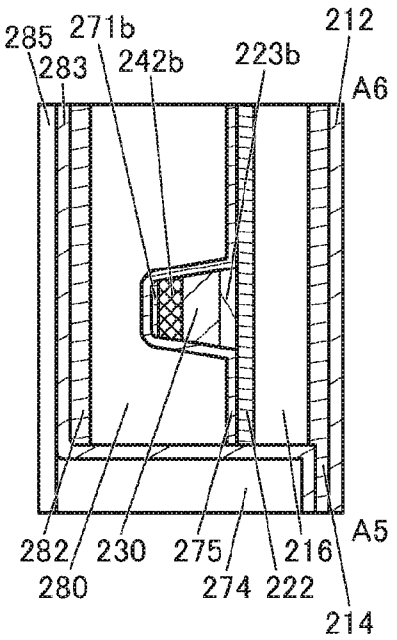


図15A

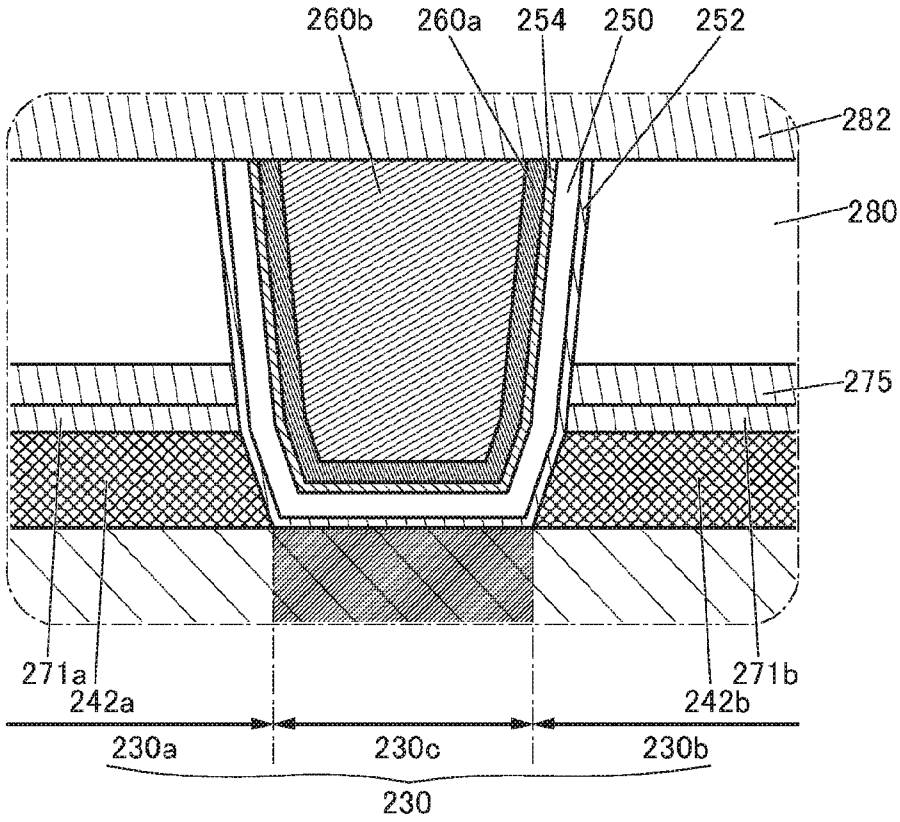

260b
260a
254
250
252
282
280
275
271a
242a
271b
242b
230a
230c
230b
230

図15B

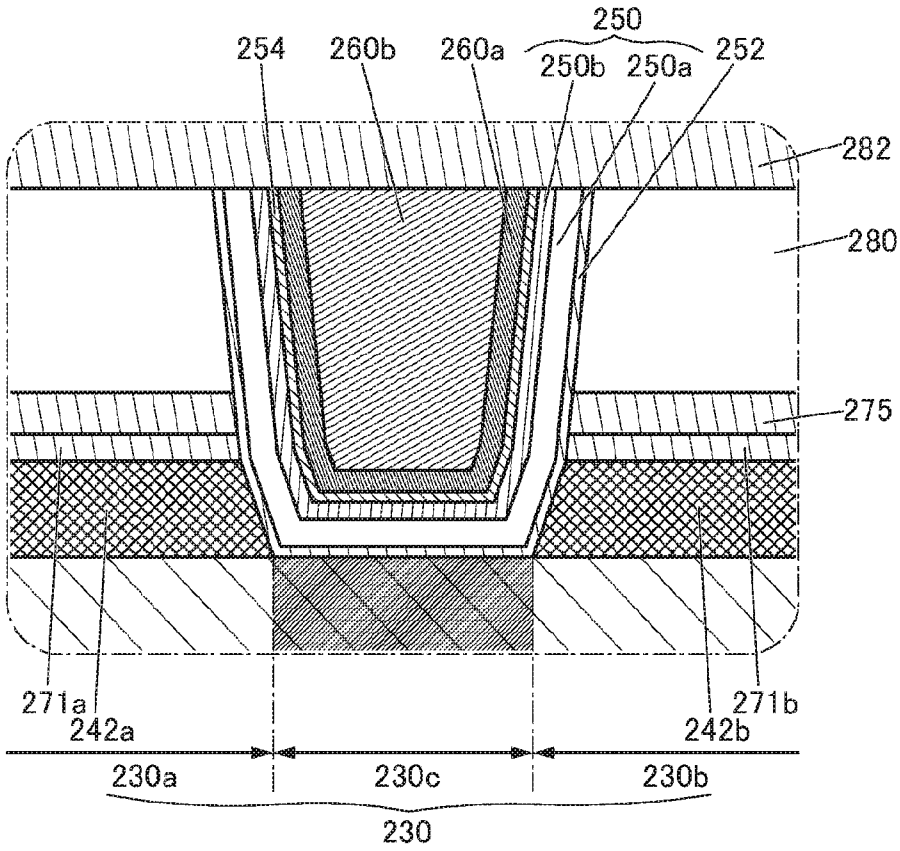

250
254
260b
260a
250b
250a
252
282
280
275
271a
242a
271b
242b
230a
230c
230b
230

図16A

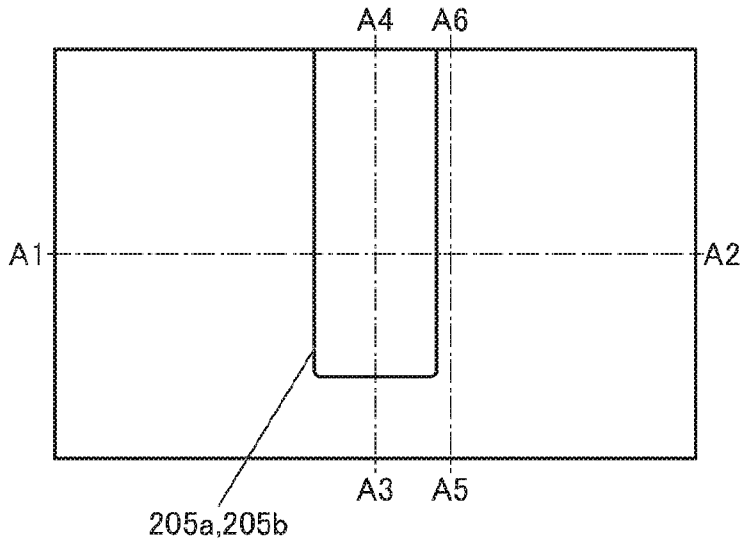


図16C

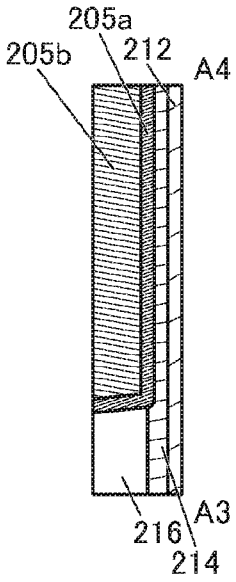


図16B

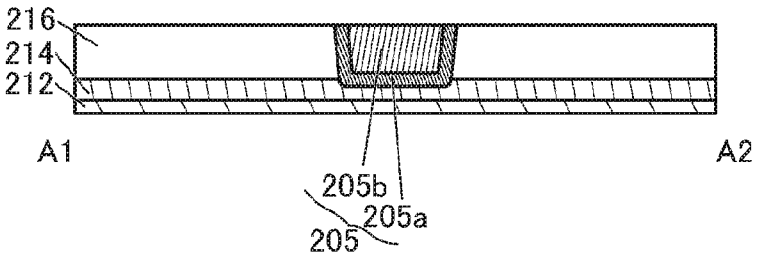


図16D

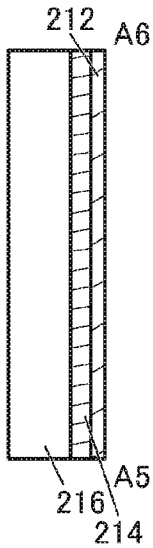


図17A

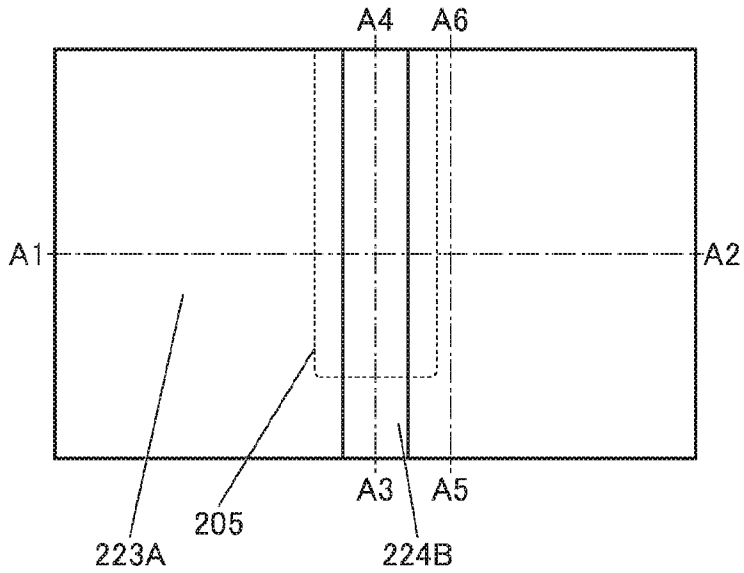


図17C

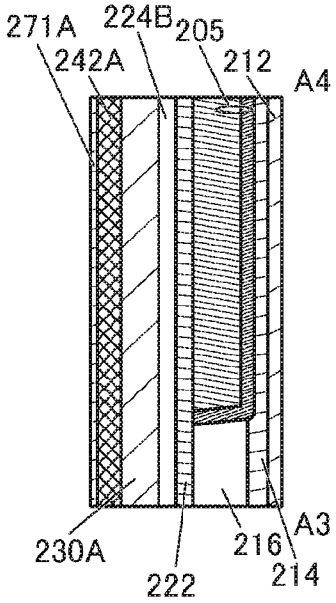


図17B

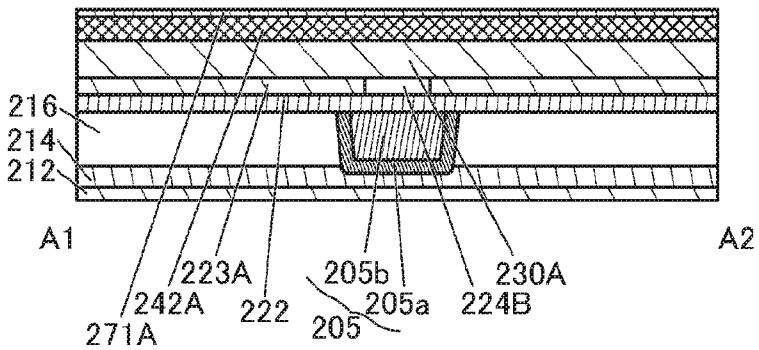


図17D

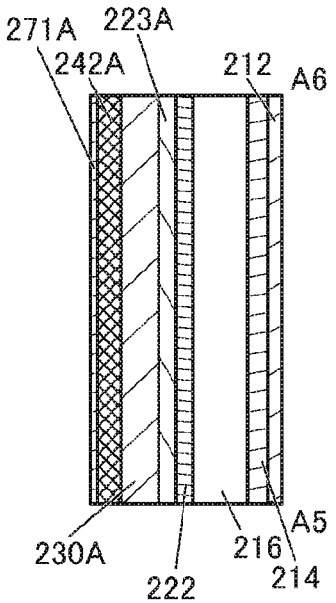


図18A

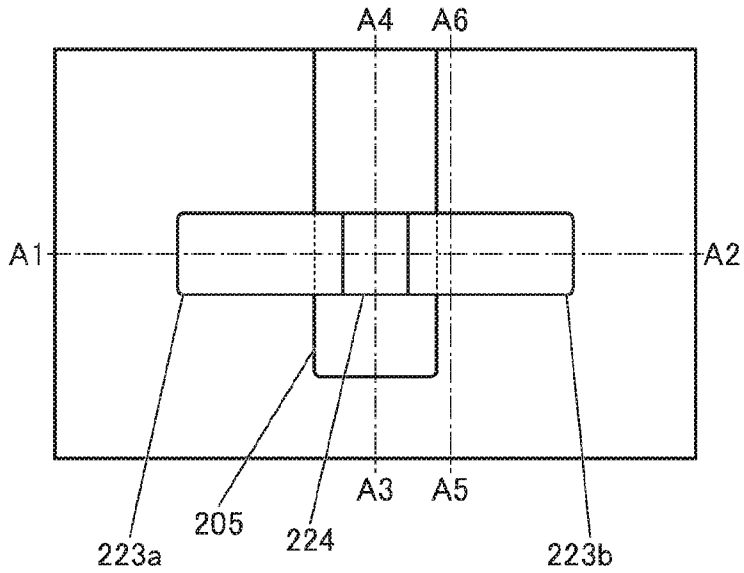


図18C

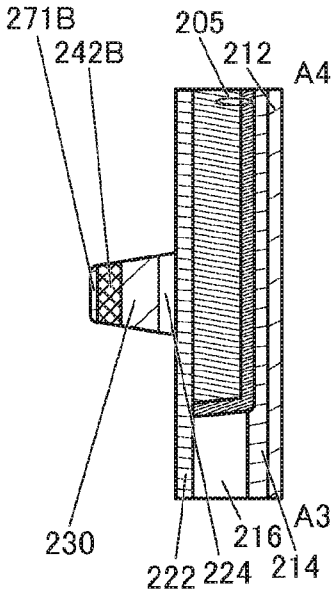


図18B

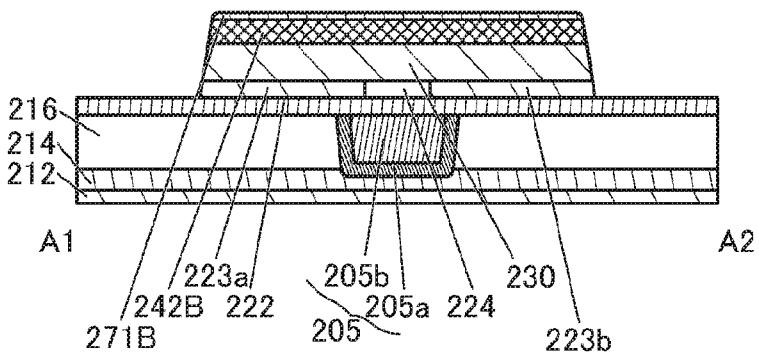


図18D

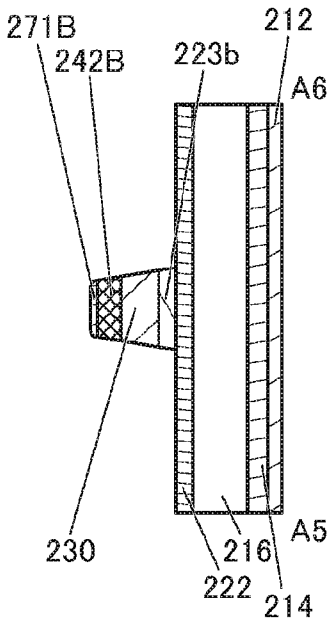


図19A

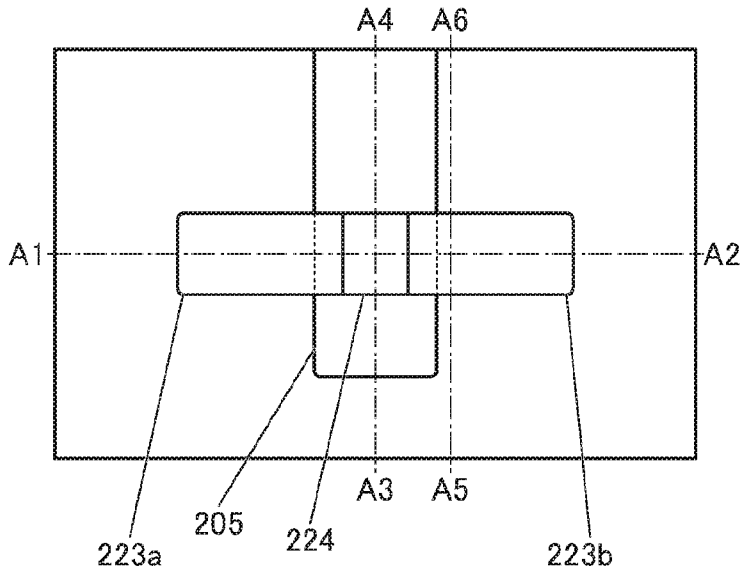


図19C

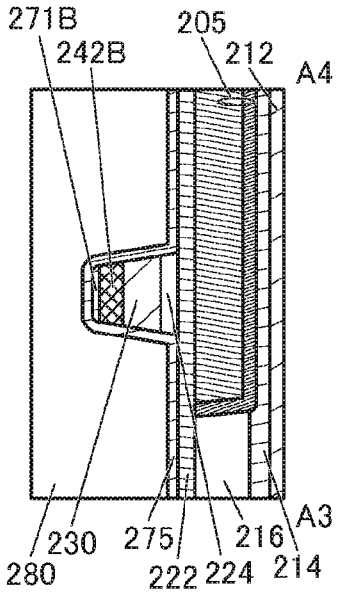


図19B

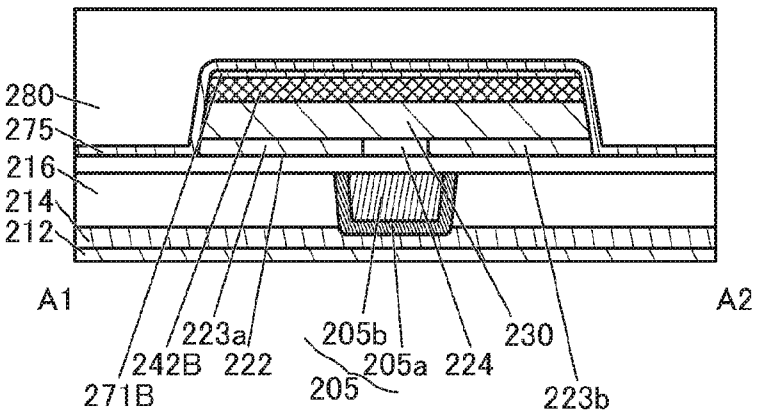


図19D

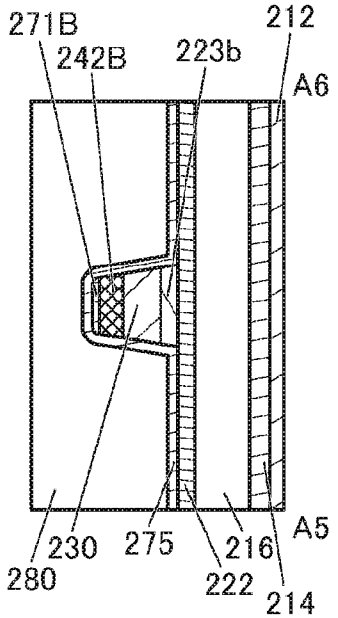


図20A

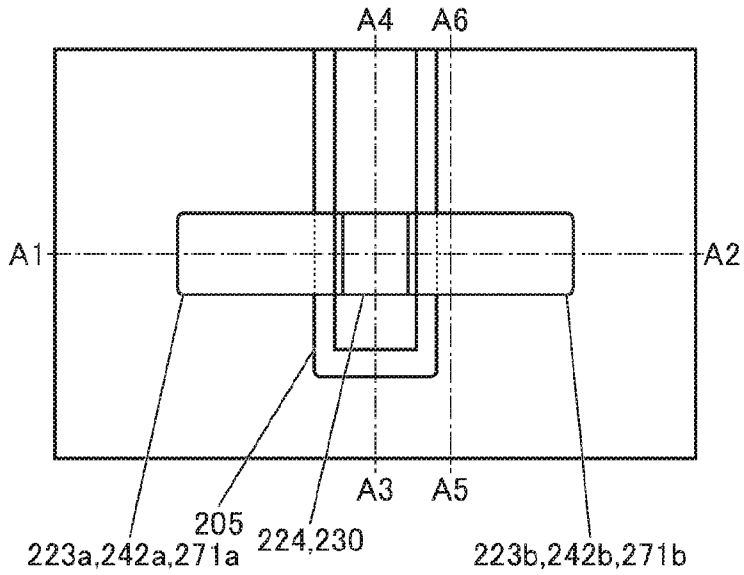


図20C

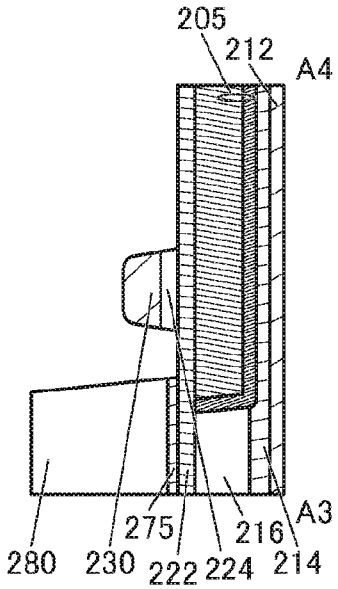


図20B

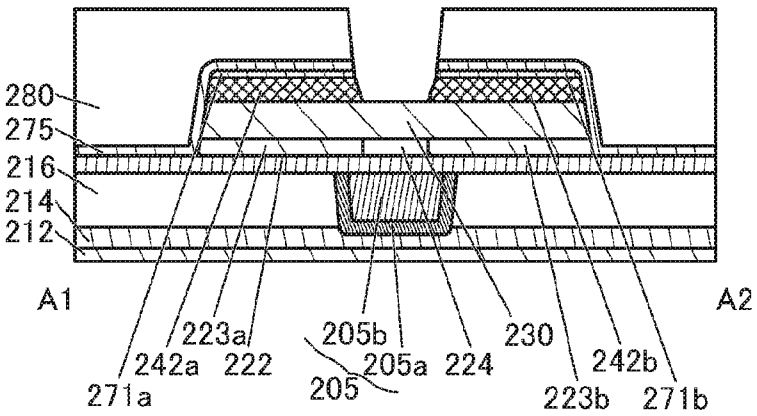


図20D

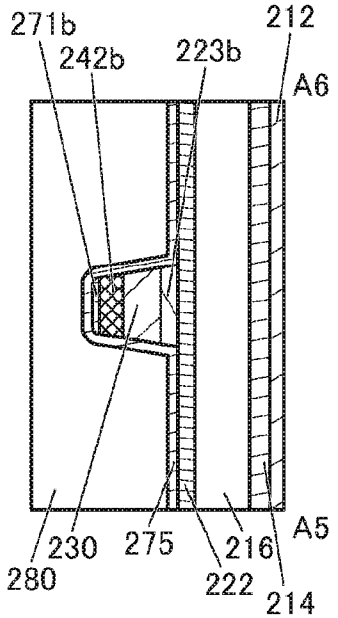


図21A

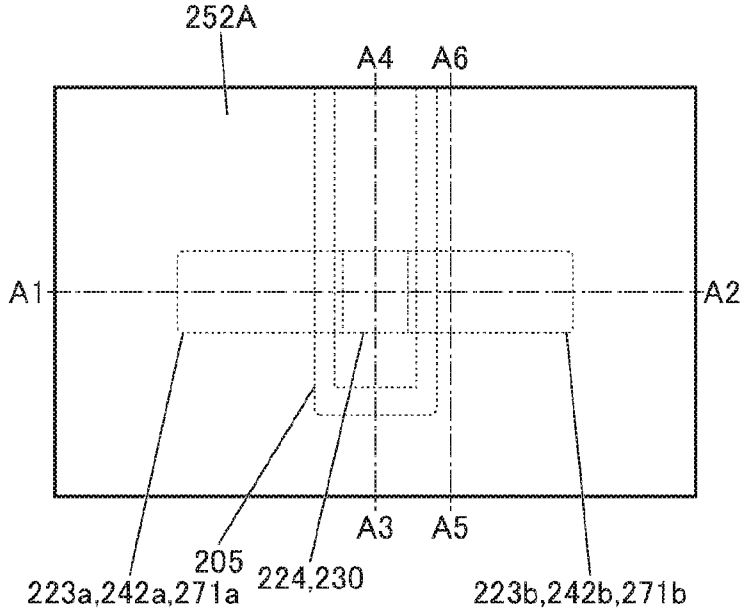


図21C

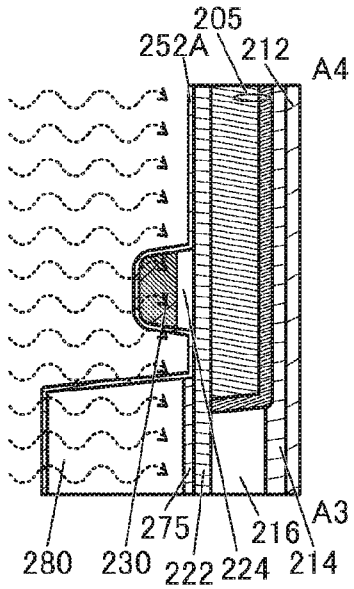


図21B

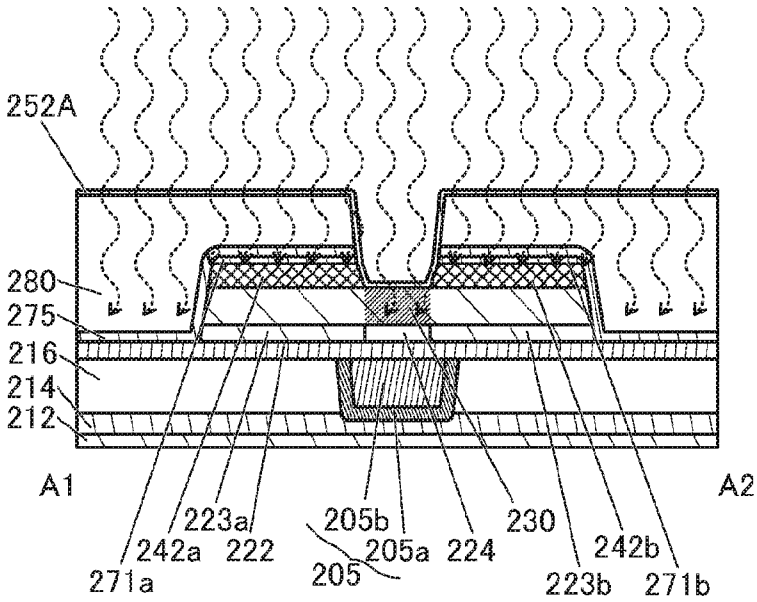


図21D

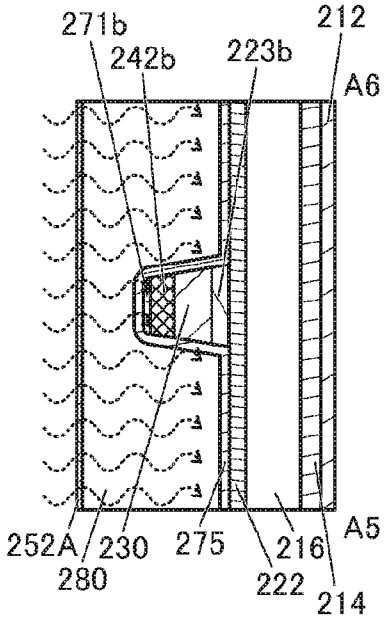


図22A

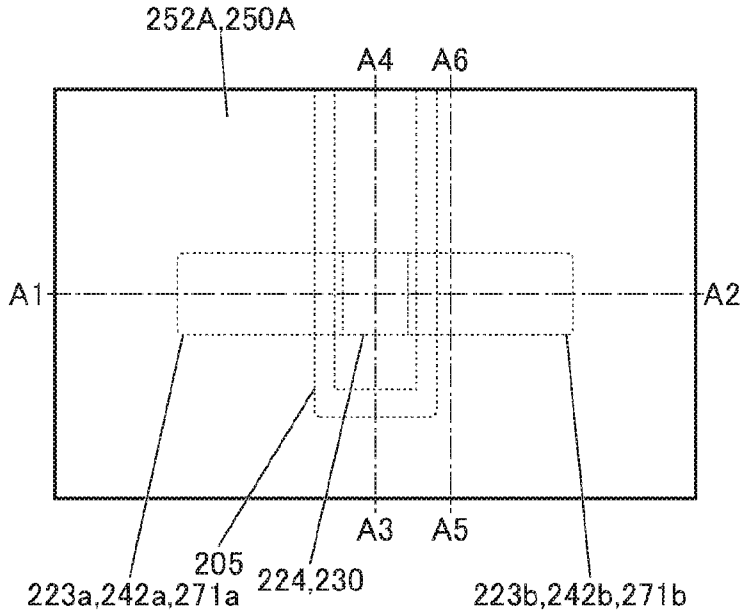


図22C

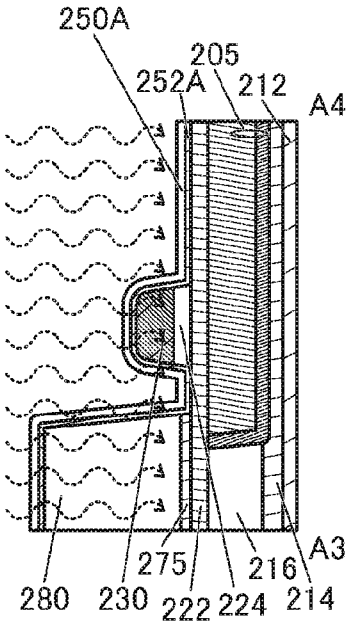


図22B

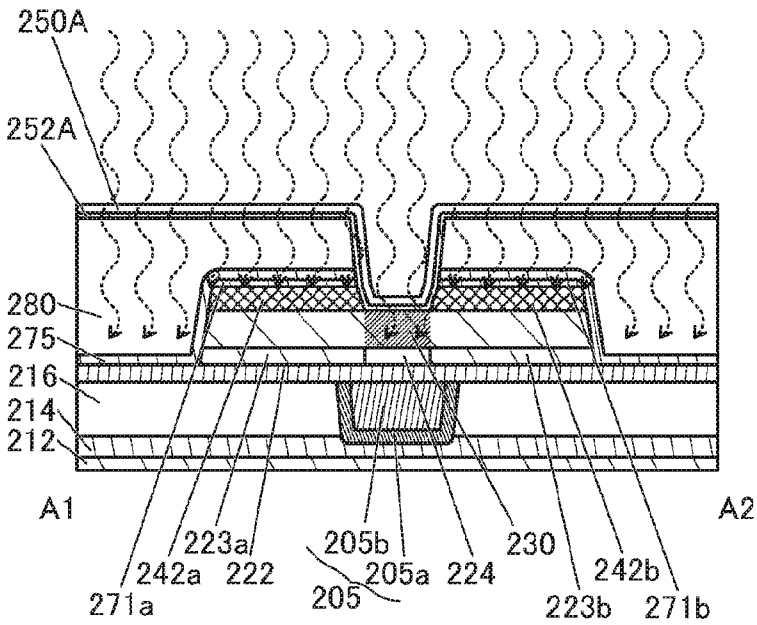


図22D

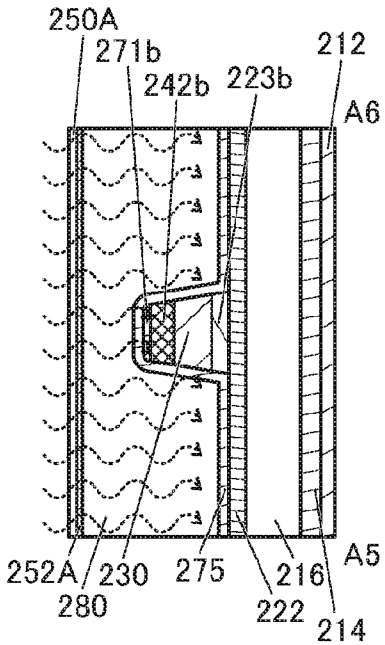


図23A

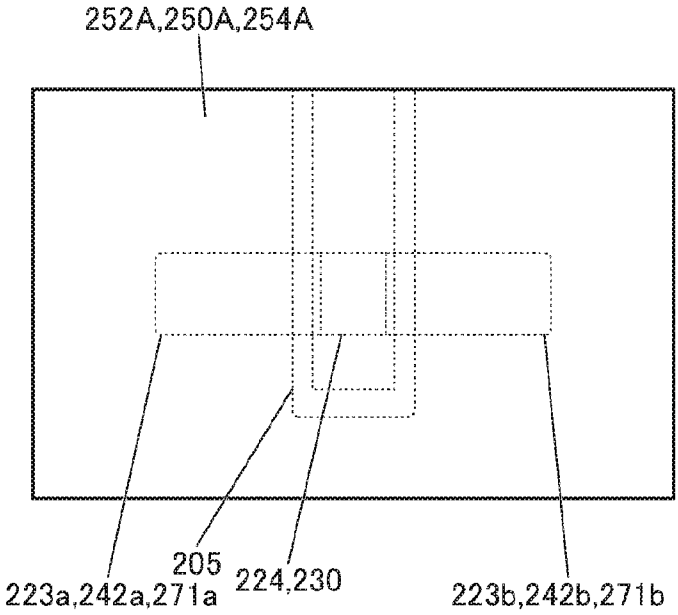


図23C

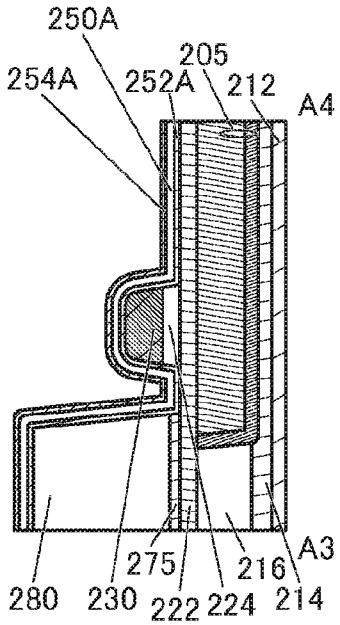


図23B

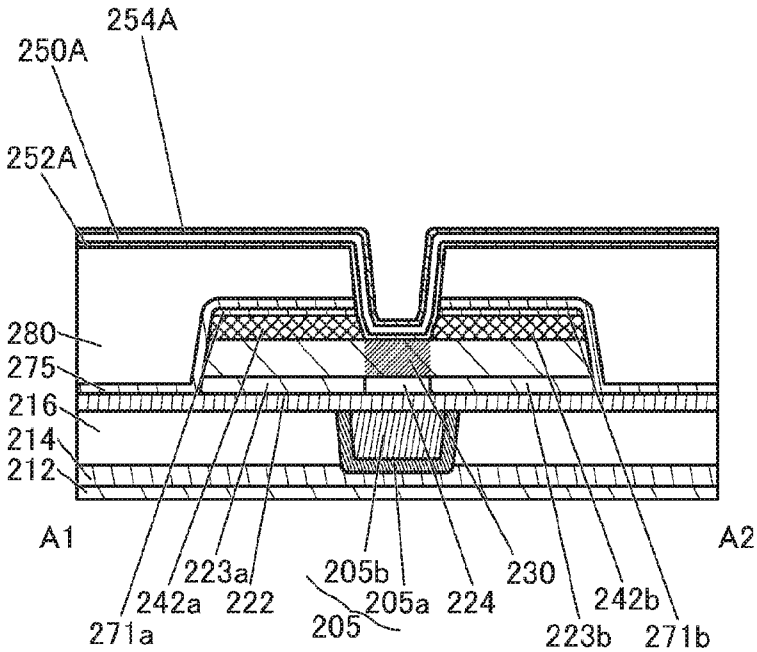


図23D

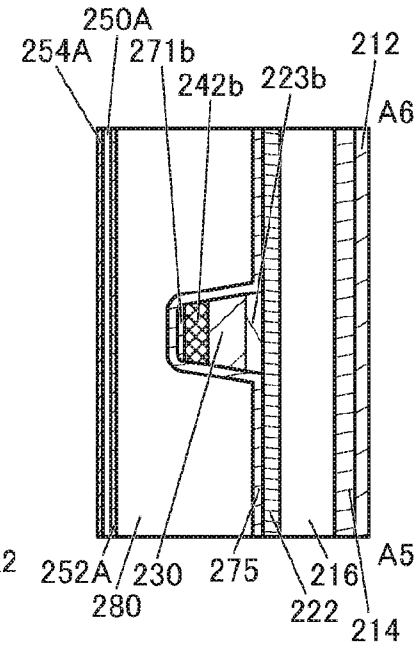


図24A

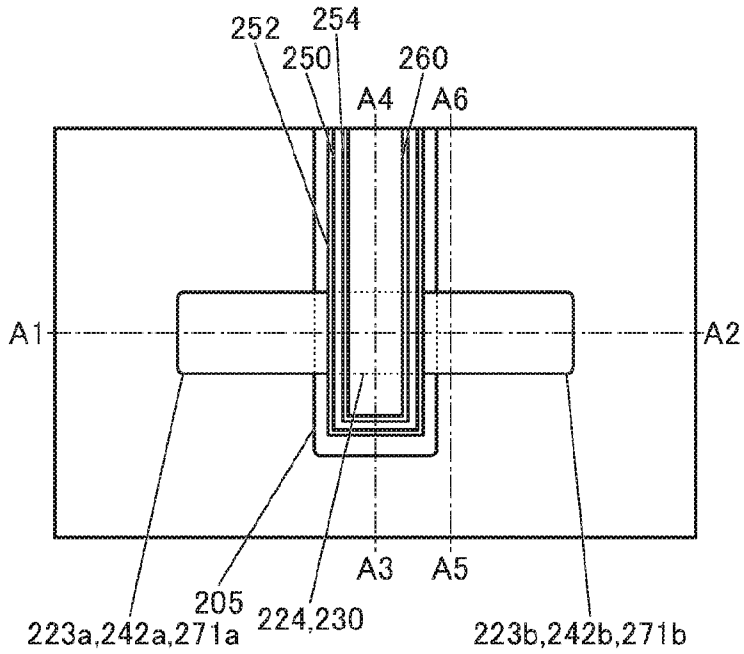


図24C

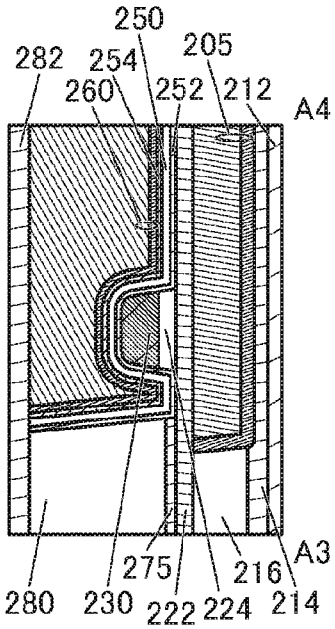


図24B

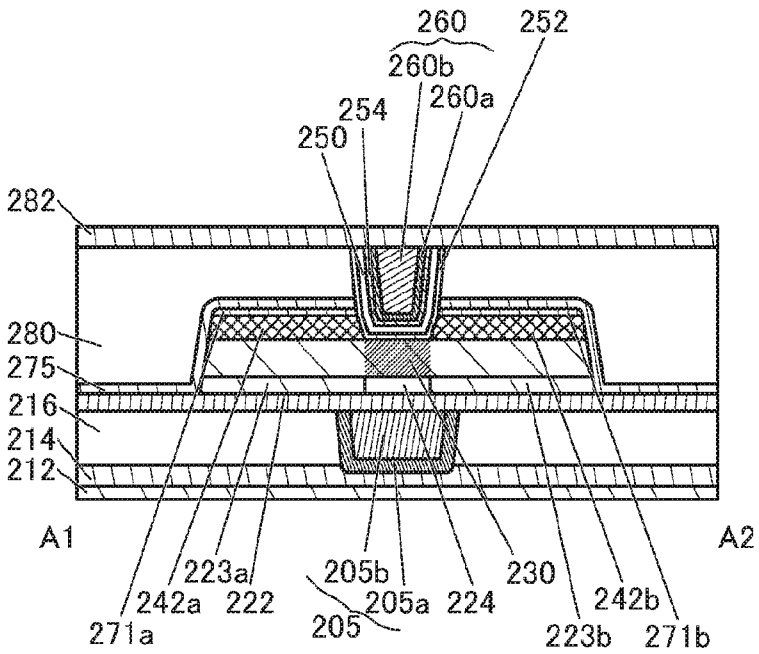


図24D

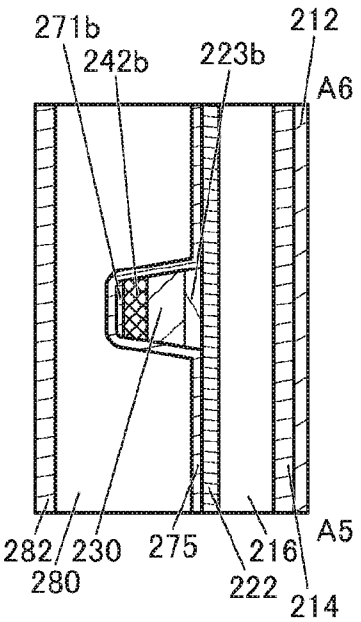


図25A

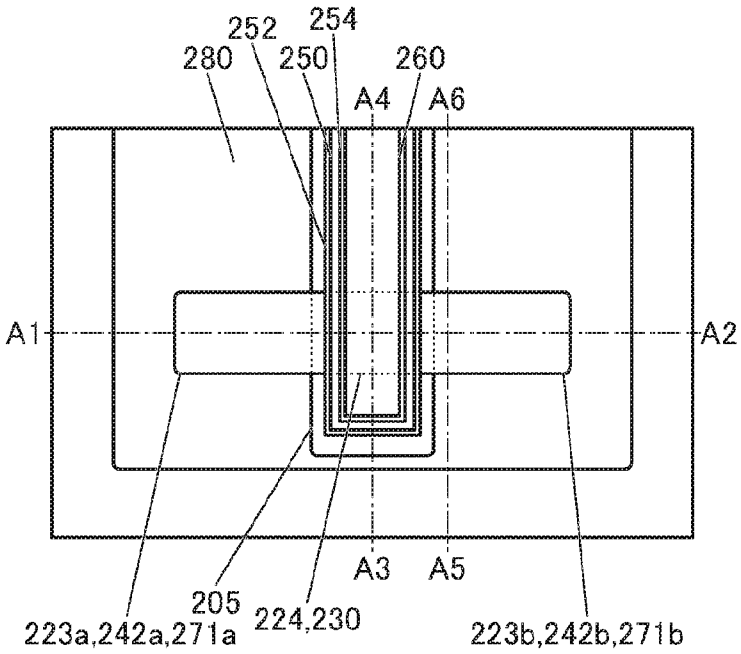


図25C

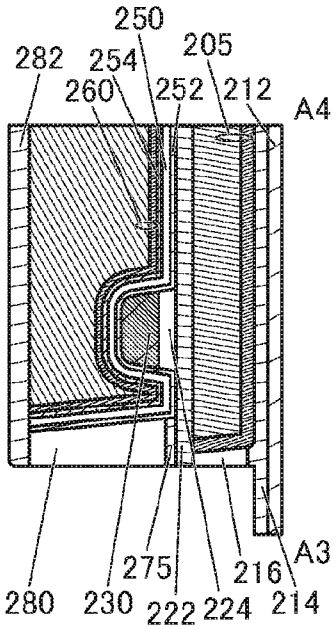


図25B

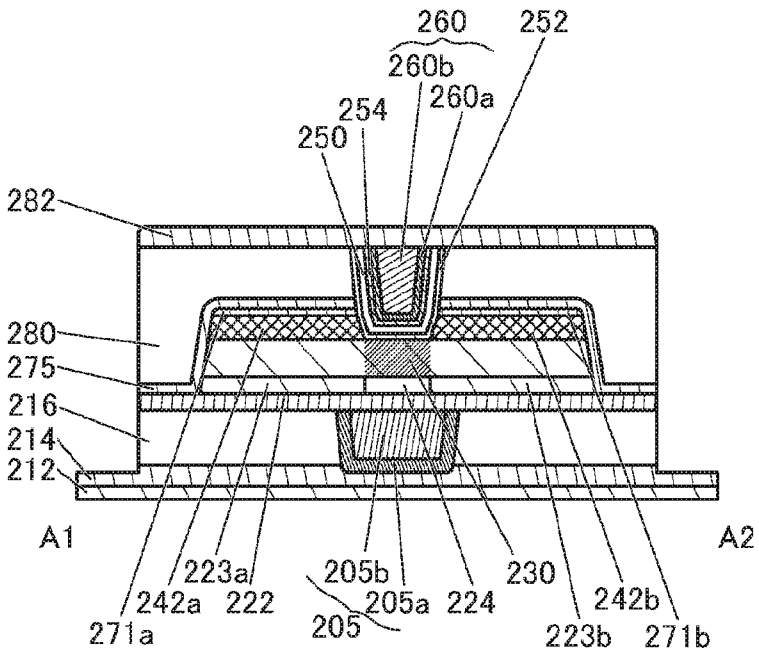


図25D

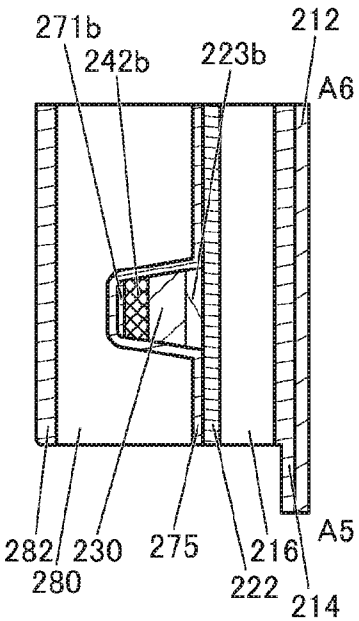


図26A

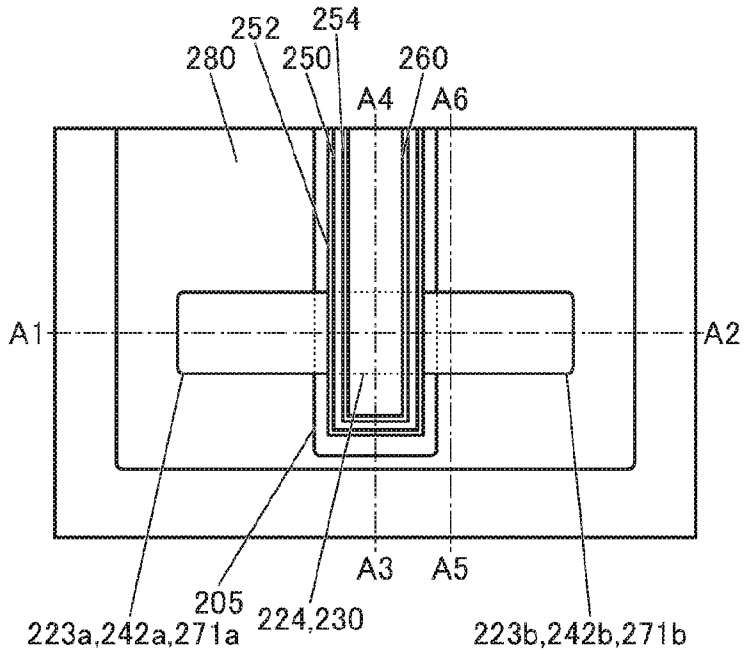


図26C

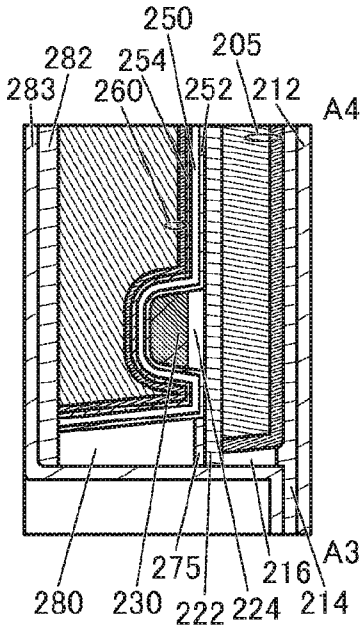


図26B

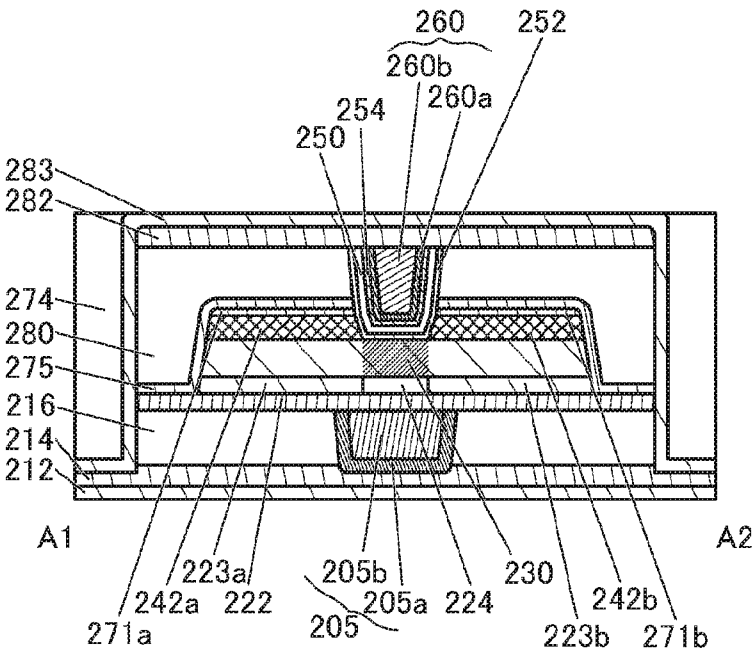


図26D

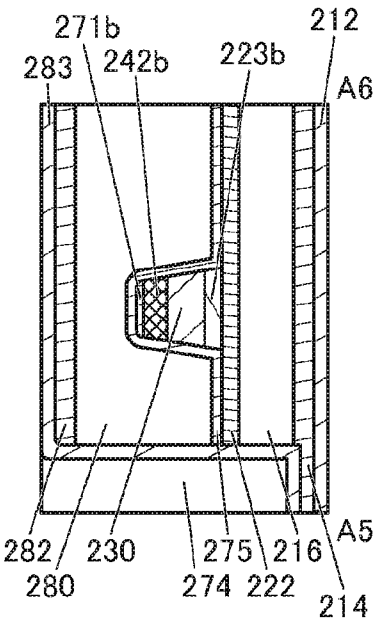


図27A

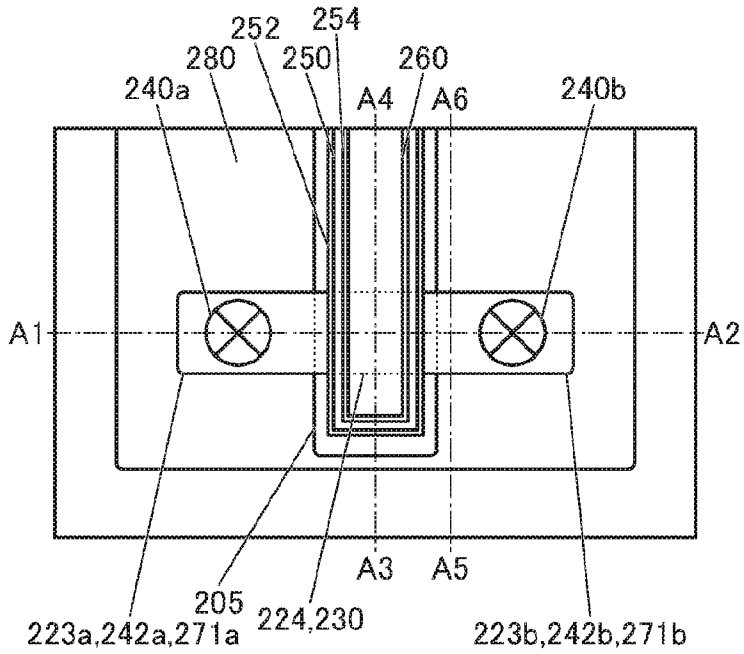


図27C

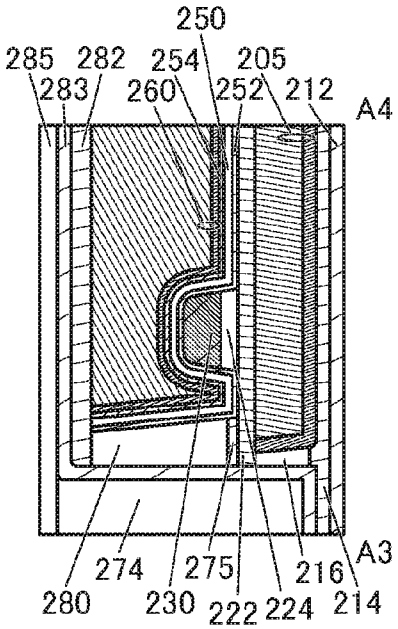


図27B

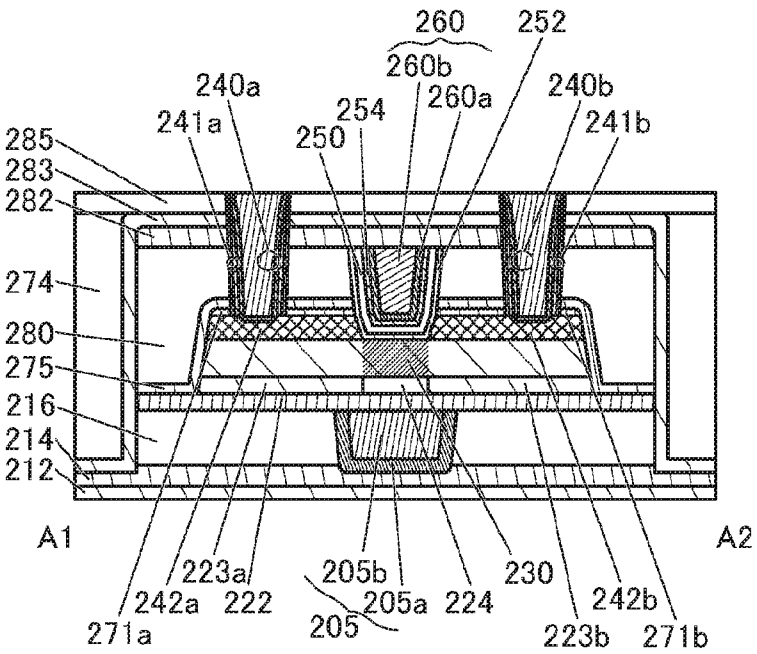


図27D

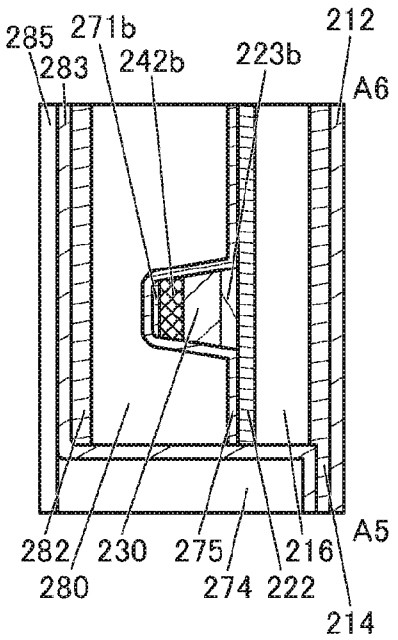


図28A

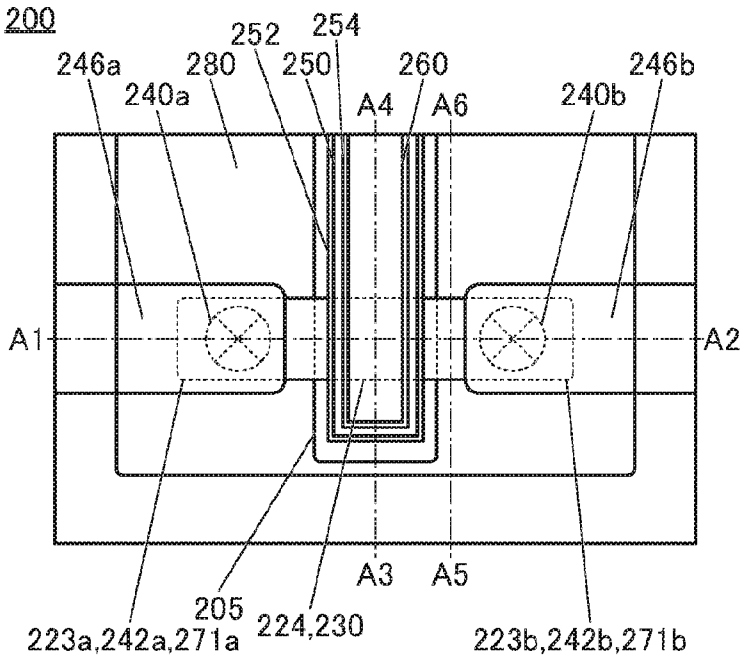


図28C

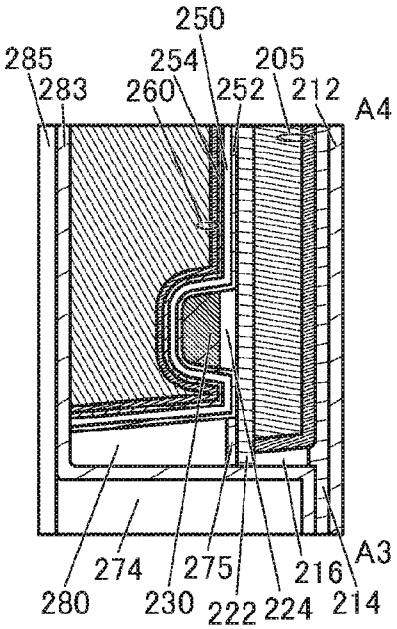


図28B

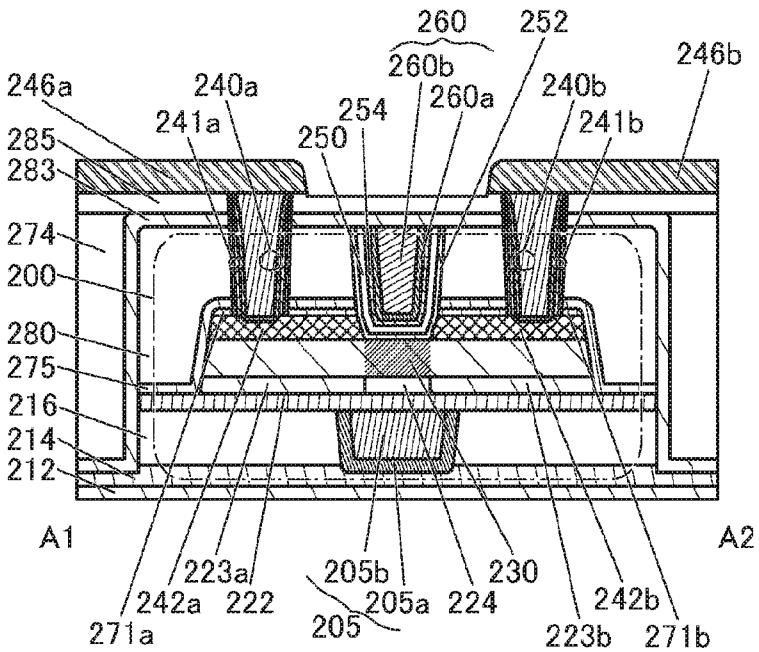


図28D

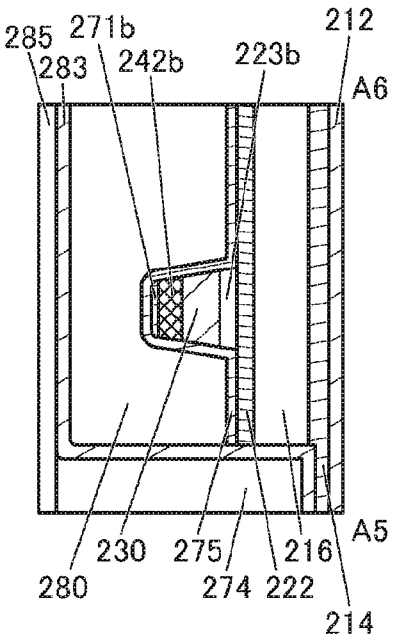


図29A

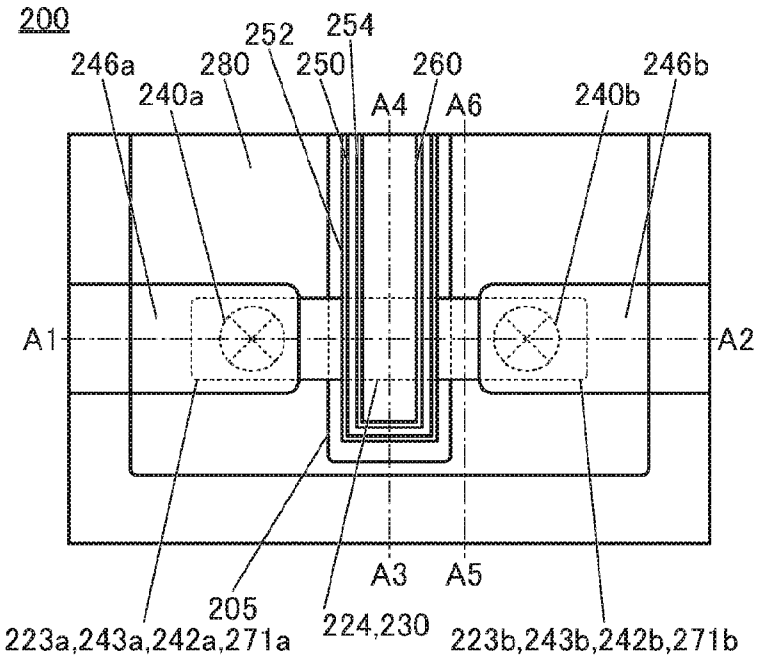


図29C

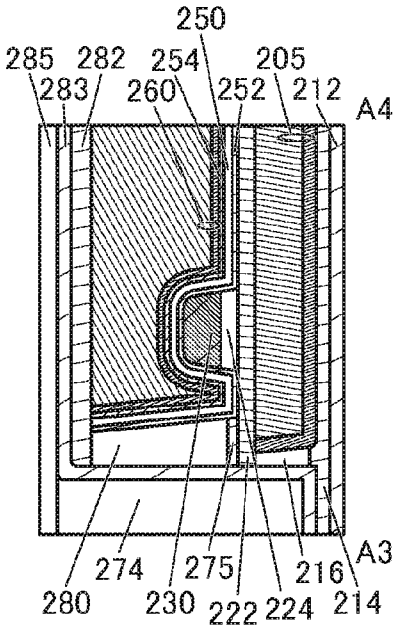


図29B

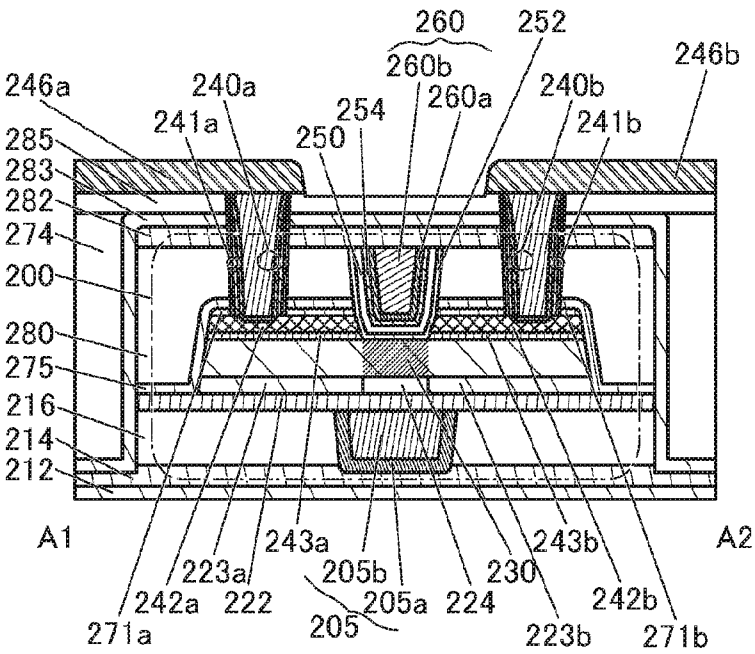


図29D

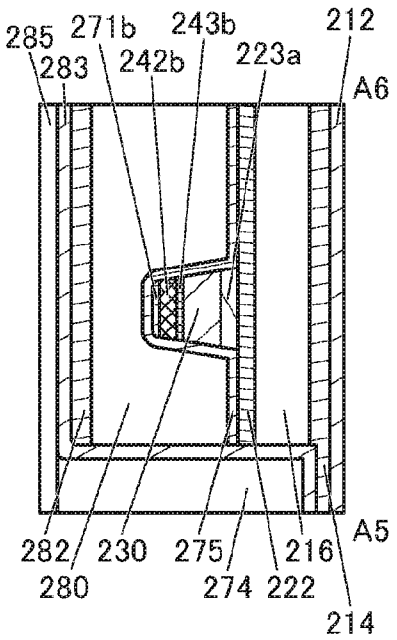


図30A

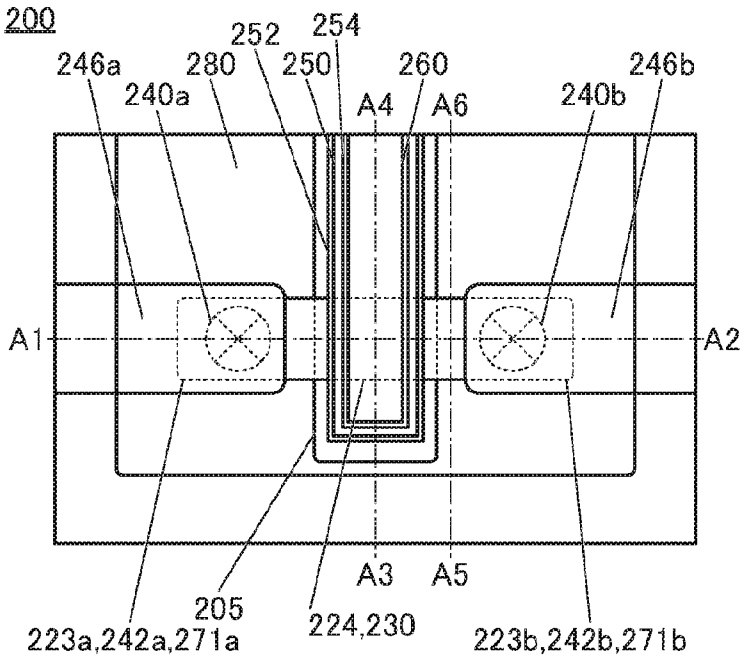


図30C

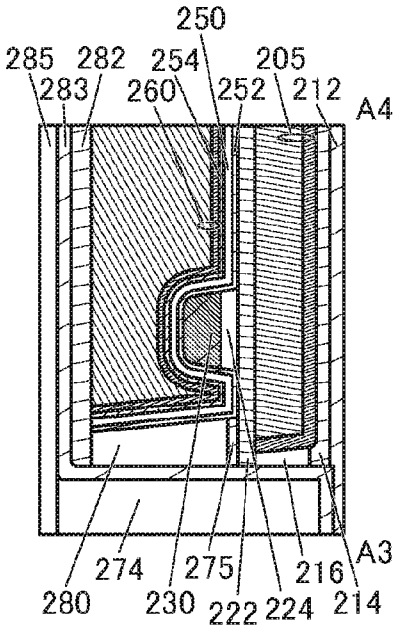


図30B

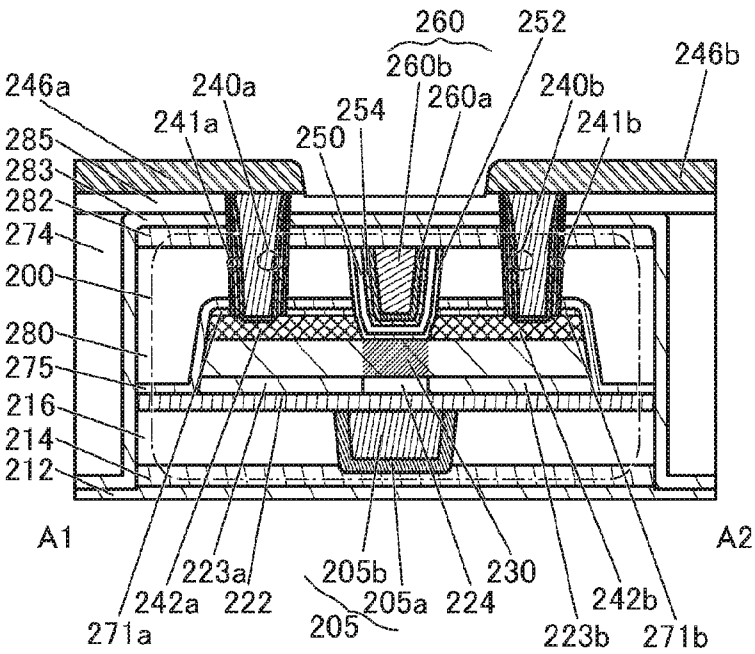


図30D

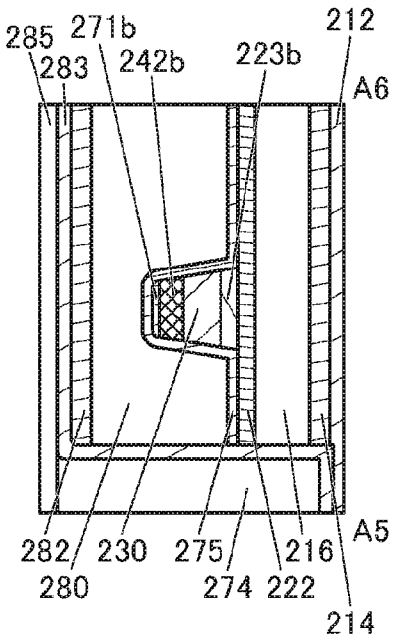


図31A

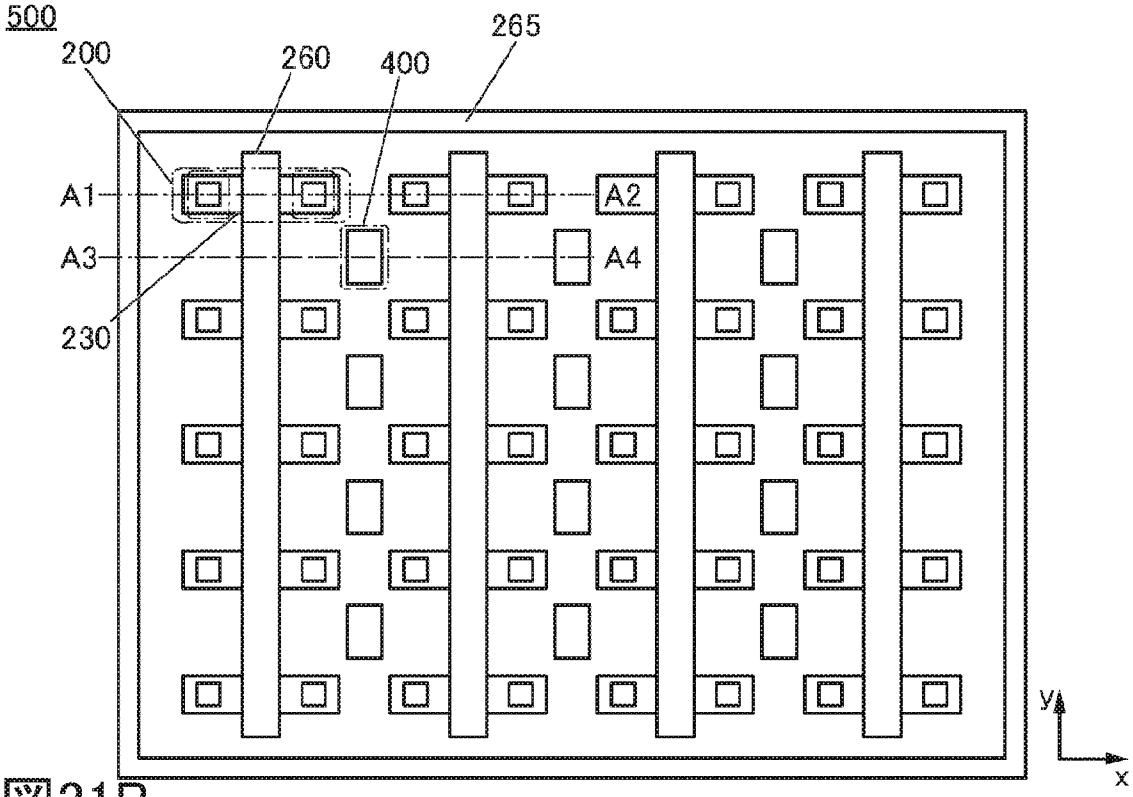


図31B

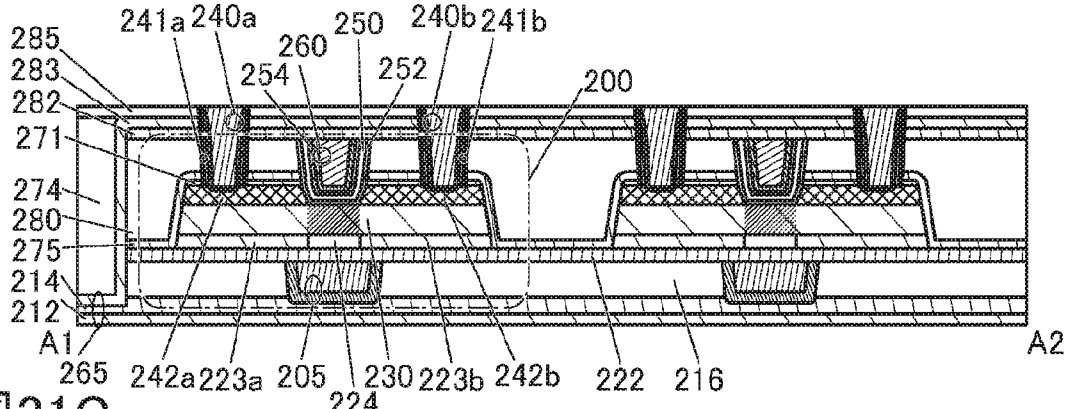


図31C

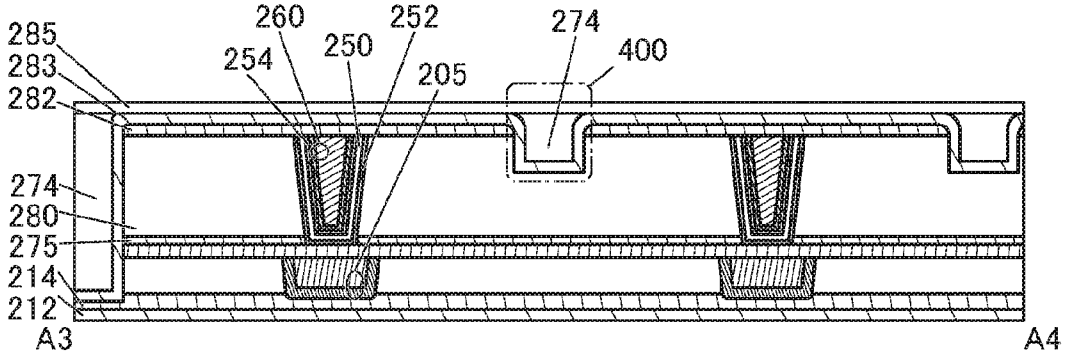


図32

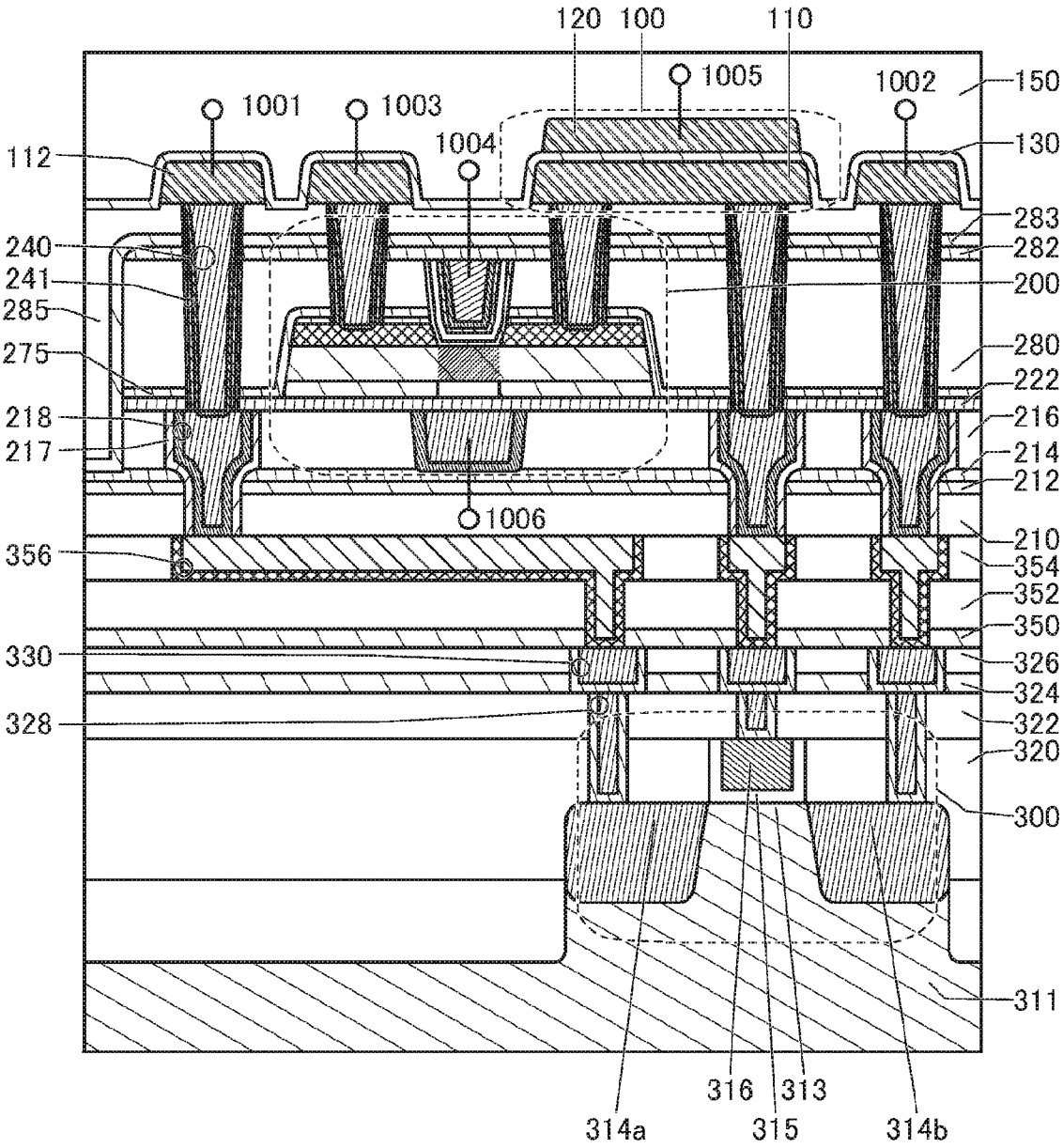

120
100
110
1005
1001
1003
1002
150
1004
130
112
283
240
282
241
200
285
280
275
222
218
216
217
214
212
1006
210
356
354
352
350
330
326
324
328
322
320
300
311
316
313
314a
315
314b

図33

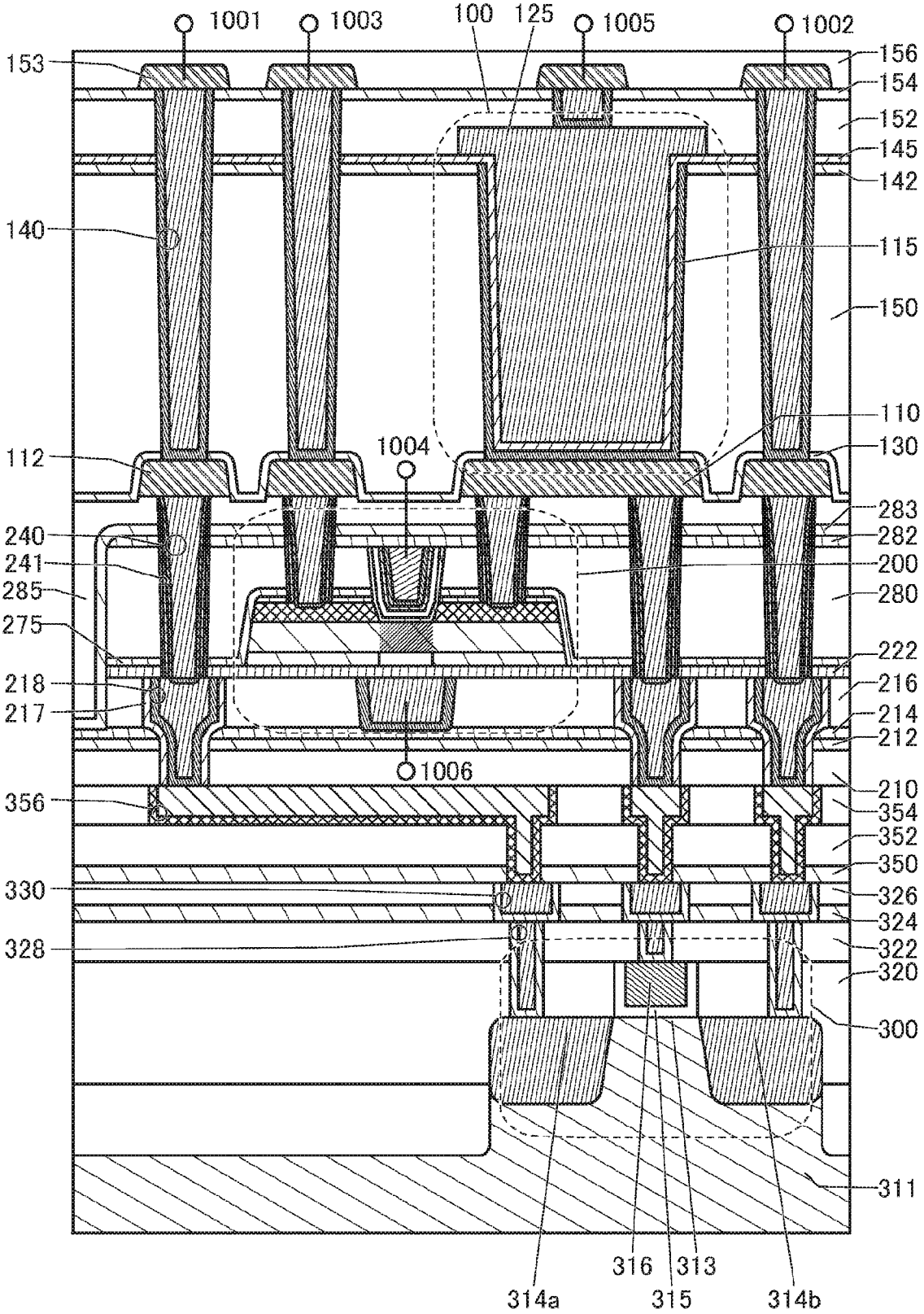
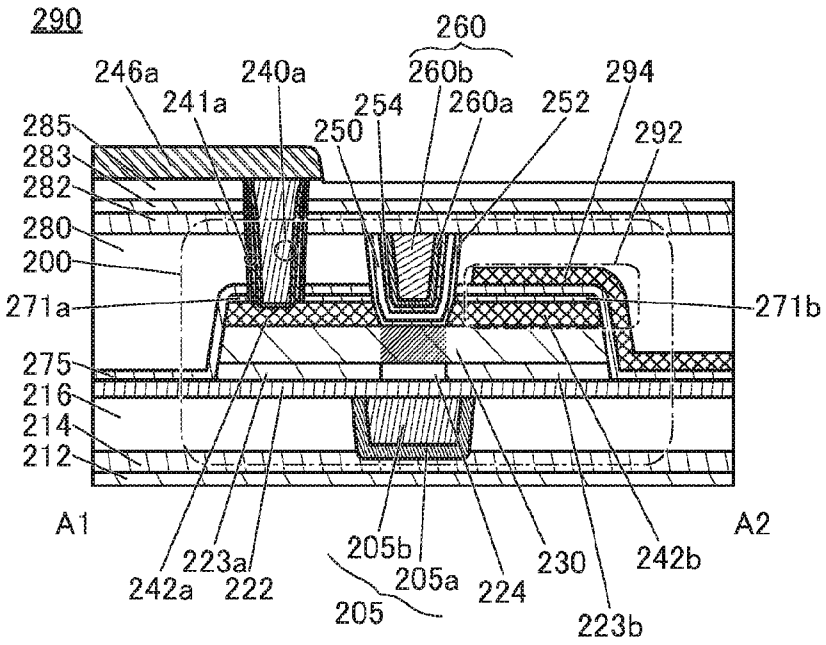

1001
1003
100
125
1005
1002
153
156
154
152
145
142
140
115
150
110
130
112
1004
283
282
240
241
200
285
280
275
222
218
216
217
214
212
1006
210
356
354
352
350
330
326
324
328
322
320
300
311
316
313
314a
315
314b

図34


290
260
246a
240a
260b
294
241a
254
260a
252
285
250
292
283
282
280
200
271a
271b
275
216
214
212
A1
A2
242a
223a
222
205b
205a
224
230
242b
205
223b

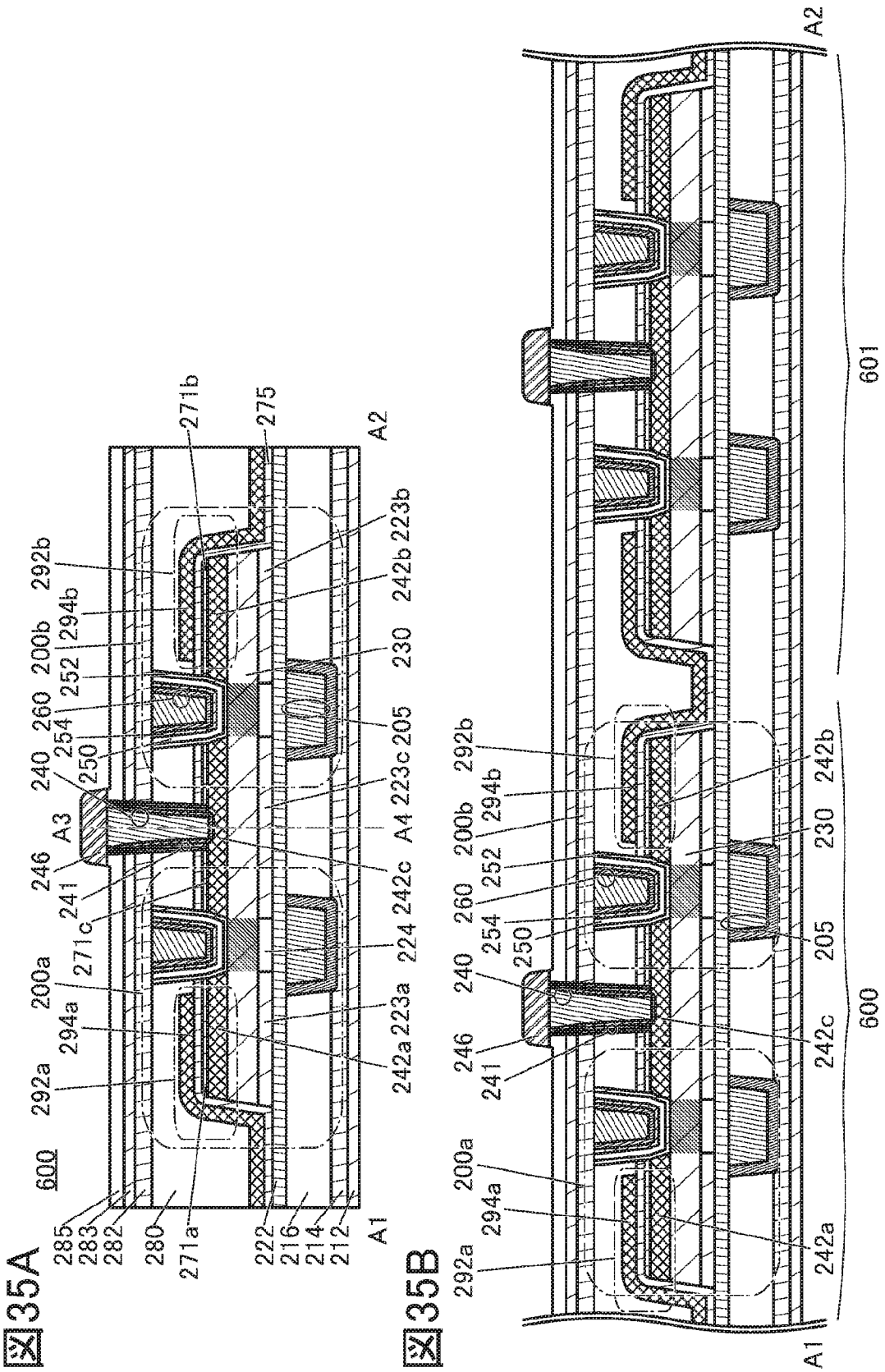

600
285
283
282
280
271a
222
216
214
212
A1
292a
294a
200a
271c
241
246
240
A3
254
250
260
252
200b
294b
292b
271b
275
A2
242a
223a
224
242c
A4
223c
205
230
242b
223b
601

図35A

図35B

図36

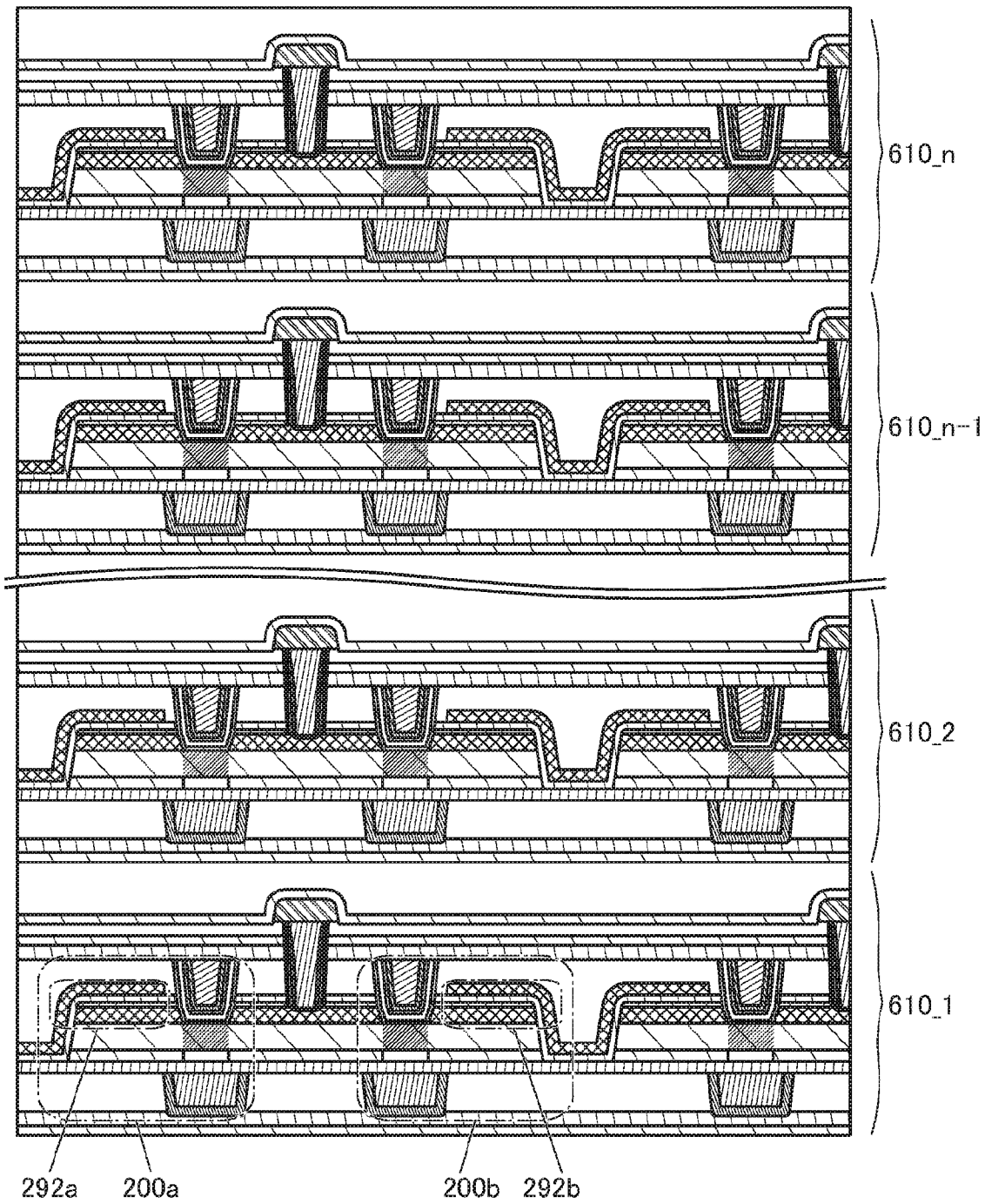


図37A

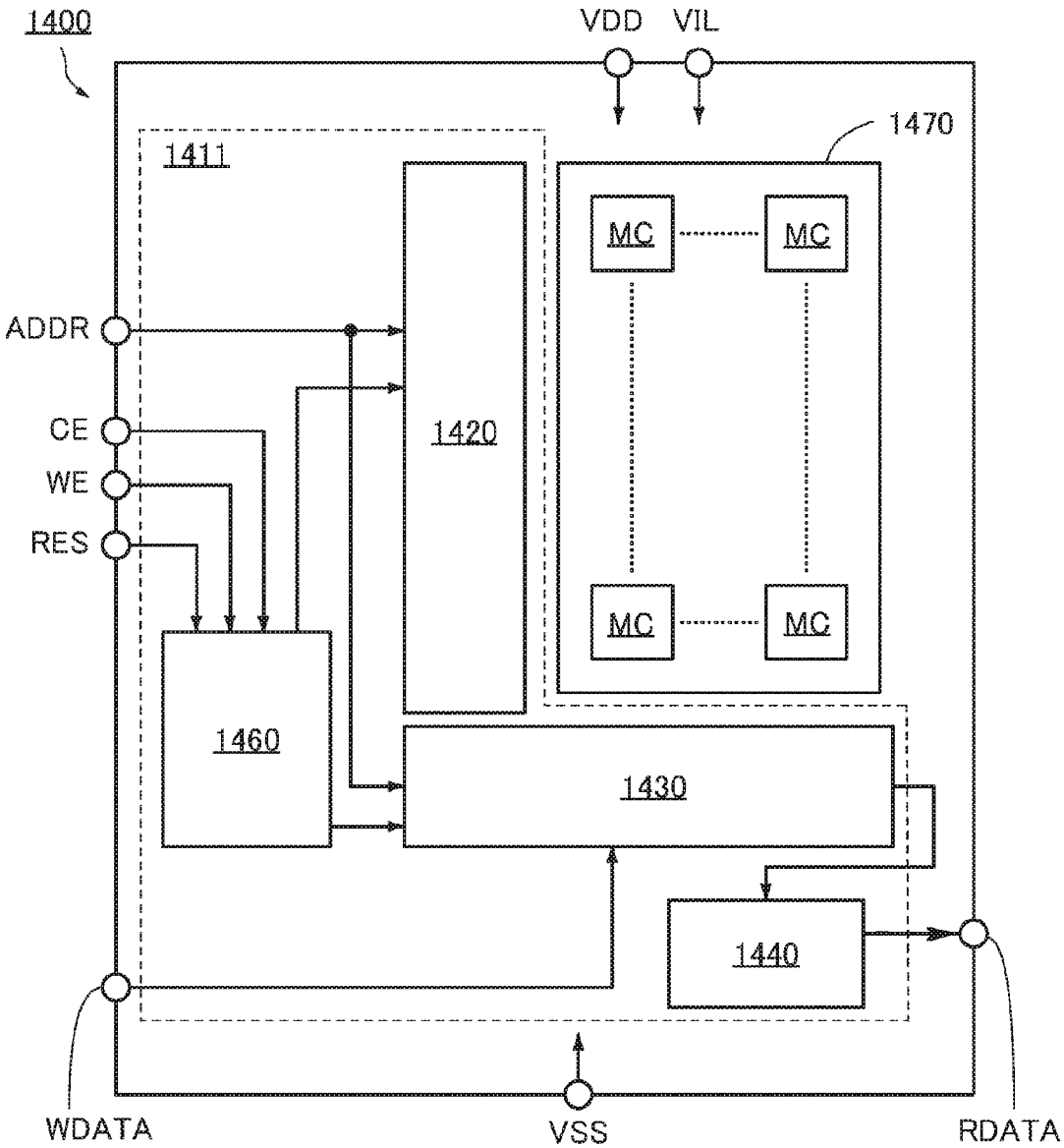

1400
VDD
VIL
1470
1411
MC
MC
MC
MC
ADDR
CE
WE
RES
1420
1460
1430
1440
WDATA
VSS
RDATA

図37B

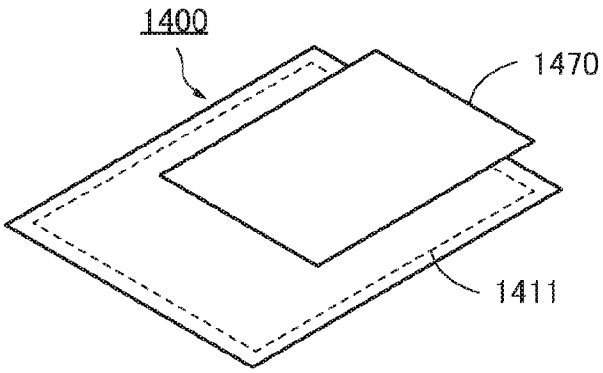

1400
1470
1411

図38A

1471

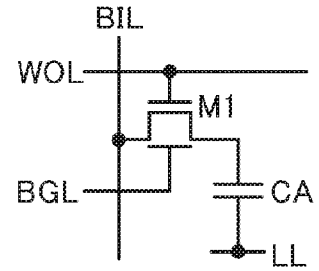


図38B

1472

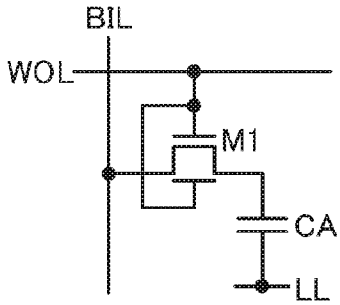


図38C

1473

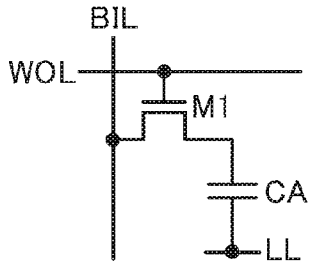


図38D

1474

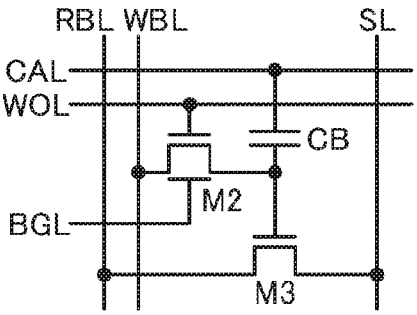


図38E

1475

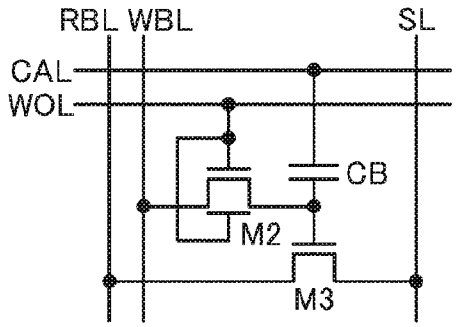


図38F

1476

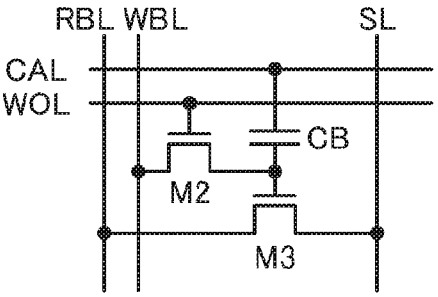


図38G

1477

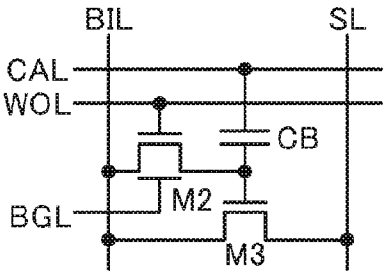


図38H

1478

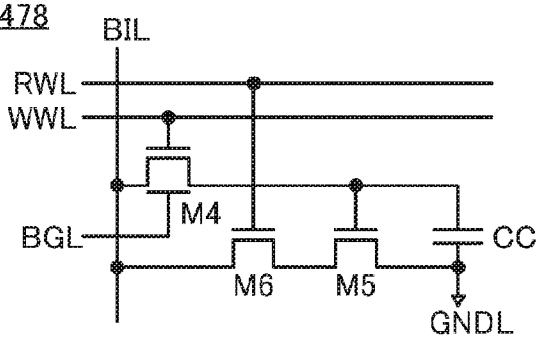


図39A

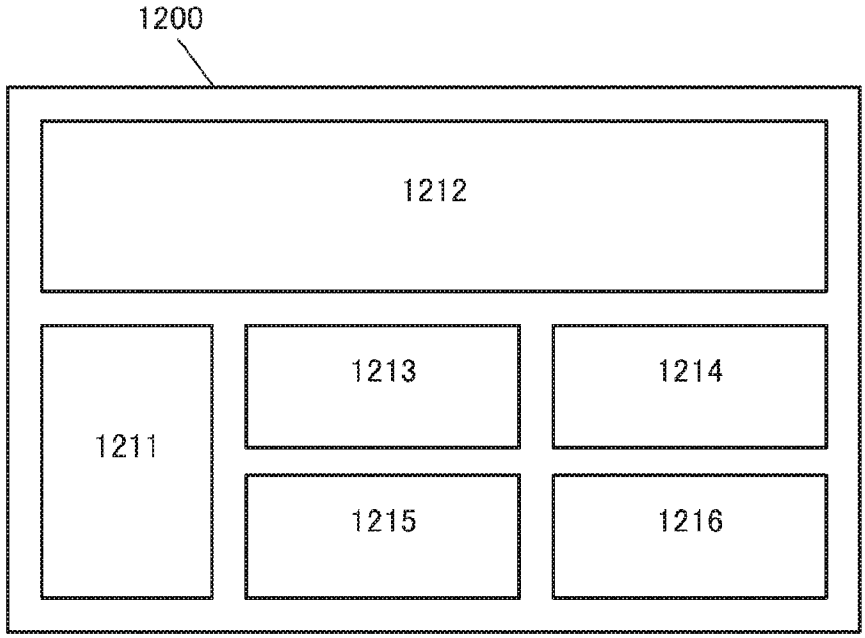

1200
1212
1211
1213
1214
1215
1216

図39B

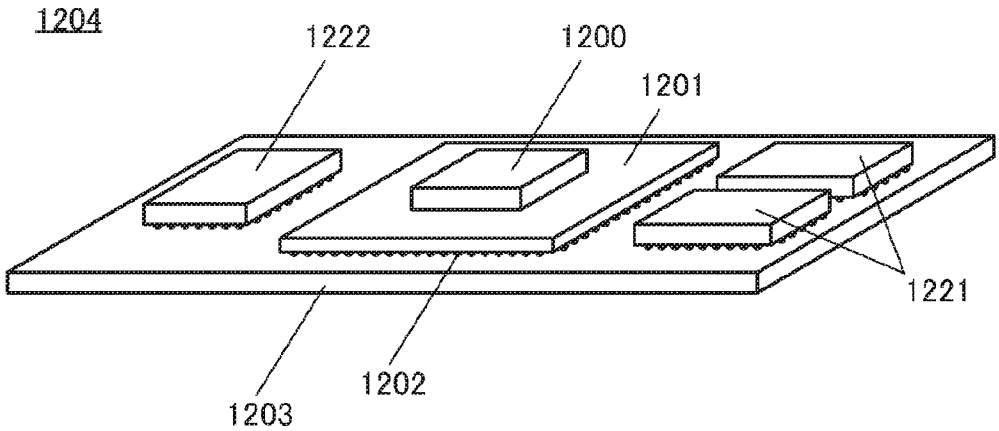

1204
1222
1200
1201
1221
1203
1202

図40

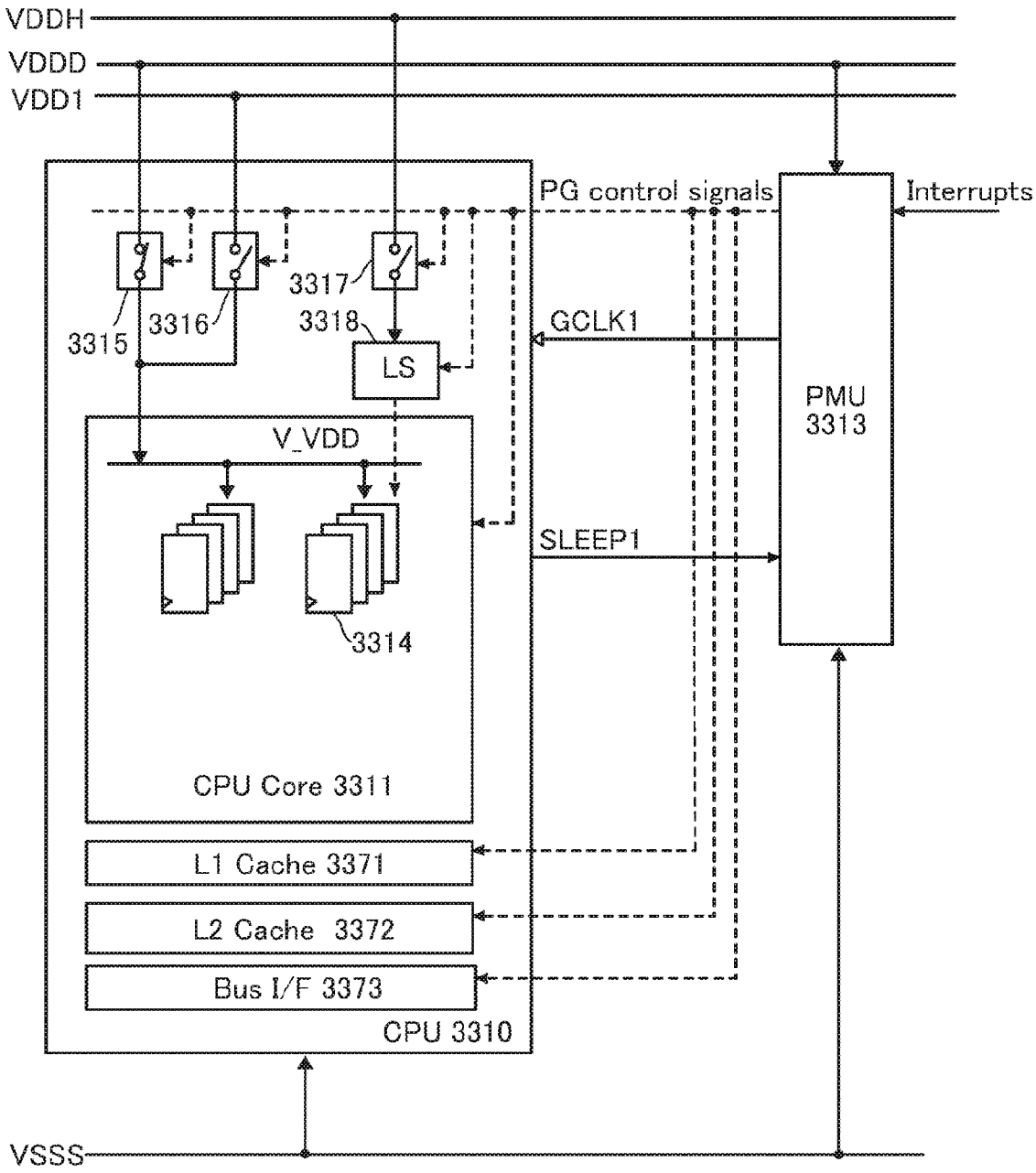

VDDH
VDDD
VDD1
PG control signals
Interrupts
3315
3316
3317
3318
LS
GCLK1
PMU
3313
V_VDD
SLEEP1
3314
CPU Core 3311
L1 Cache 3371
L2 Cache 3372
Bus I/F 3373
CPU 3310
VSSS

図41A

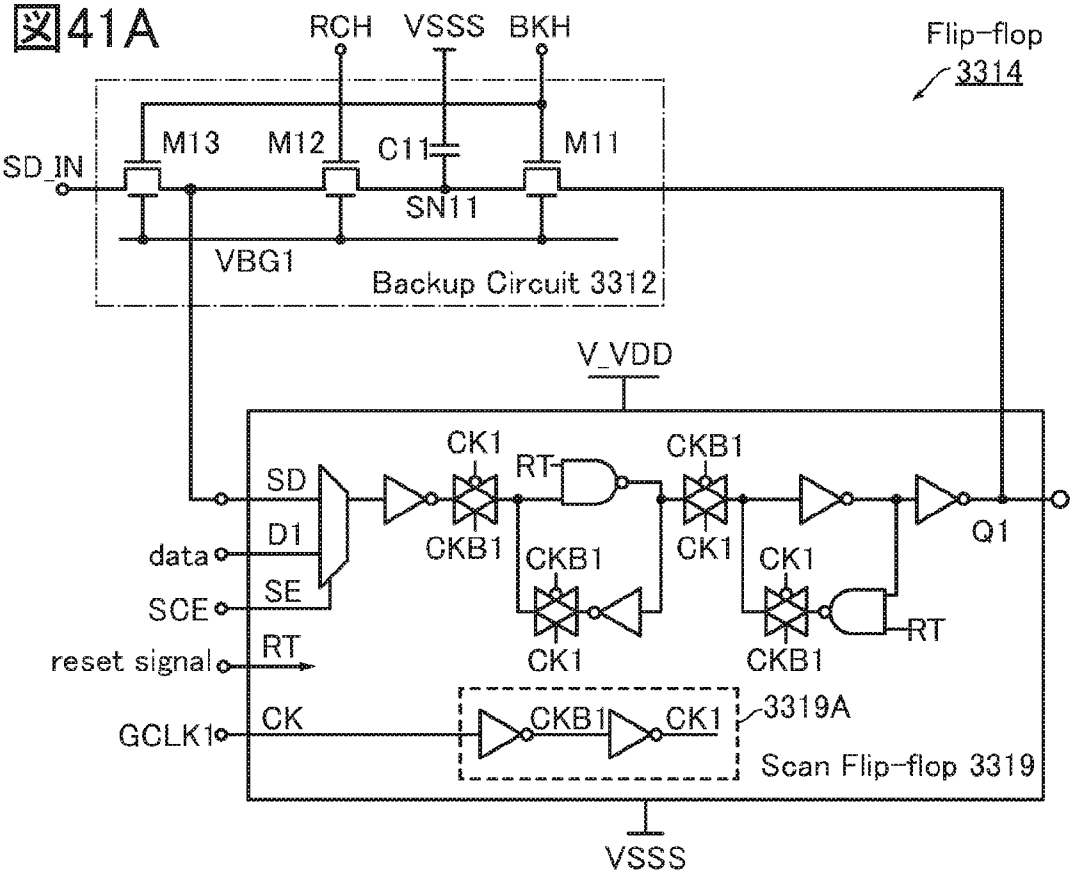

RCH
VSSS
BKH
Flip-flop
3314
SD_IN
M13
M12
C11
M11
SN11
VBG1
Backup Circuit 3312
V_VDD
CK1
RT
CKB1
SD
D1
data
SE
SCE
RT
reset signal
CK
GCLK1
CKB1
CK1
3319A
Scan Flip-flop 3319
Q1
VSSS

図41B

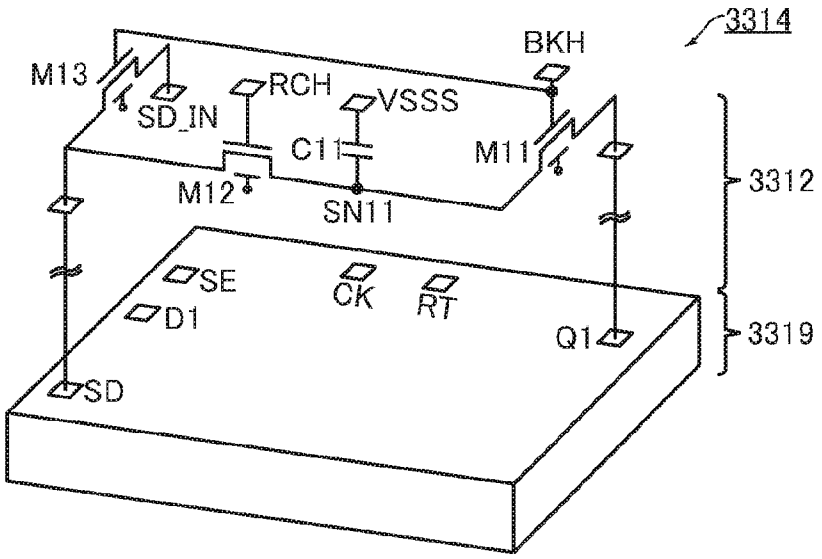

3314
BKH
M13
SD_IN
RCH
VSSS
C11
M11
M12
SN11
3312
SE
CK
RT
D1
Q1
3319
SD

図42

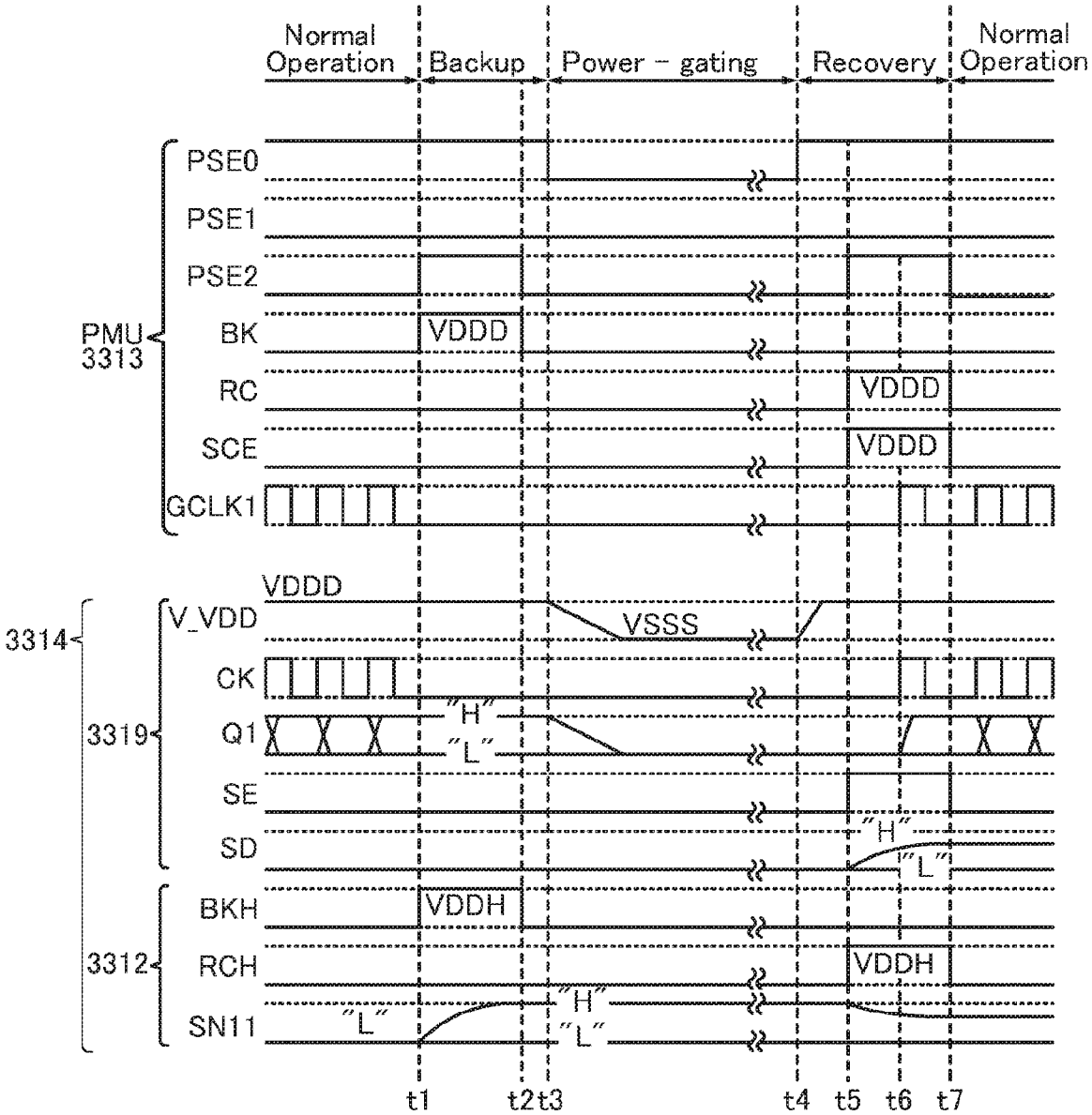

Normal Operation
Backup
Power – gating
Recovery
Normal Operation
PMU 3313
PSE0
PSE1
PSE2
BK
RC
SCE
GCLK1
VDDD
3314
V_VDD
VSSS
CK
3319
Q1
"H"
"L"
SE
SD
BKH
VDDH
3312
RCH
SN11
t1
t2
t3
t4
t5
t6
t7

図43A

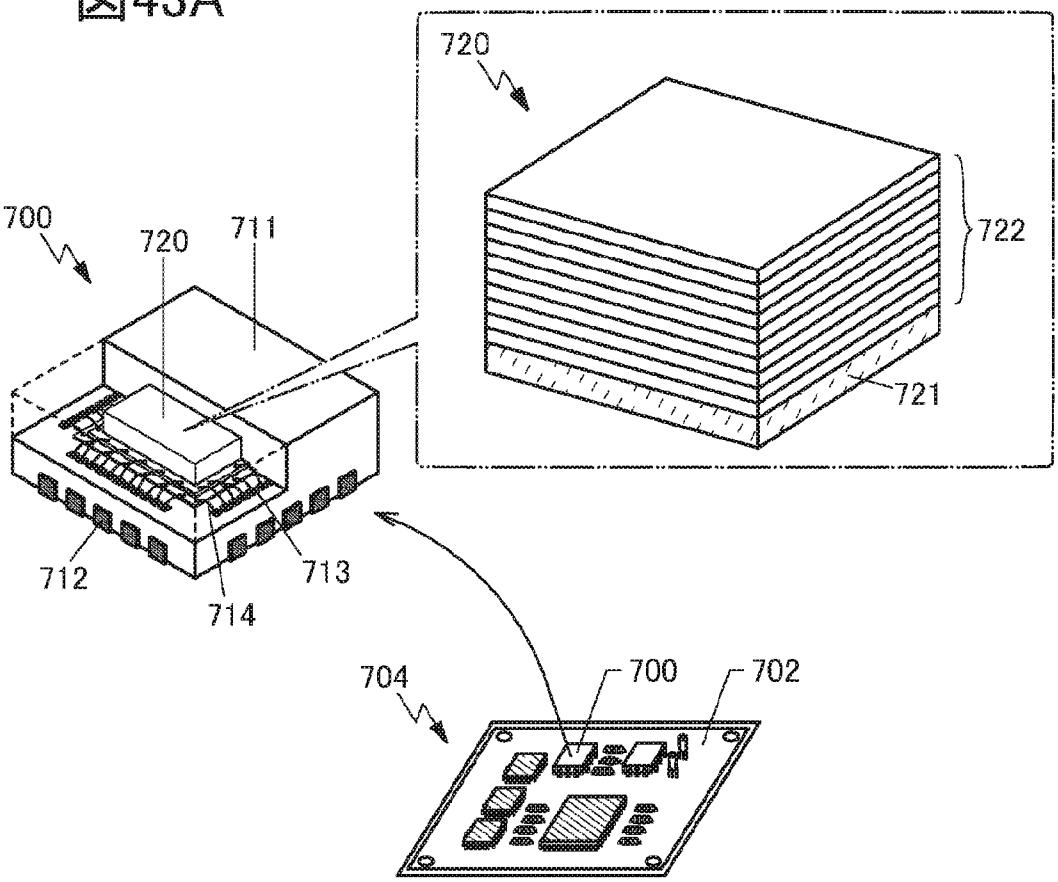

720
722
721
700
720
711
712
713
714
704
700
702

図43B

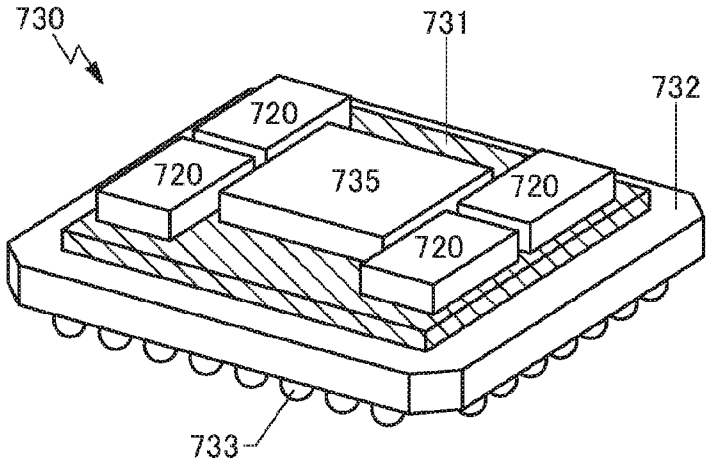

730
731
732
720
720
735
720
720
733

図44A

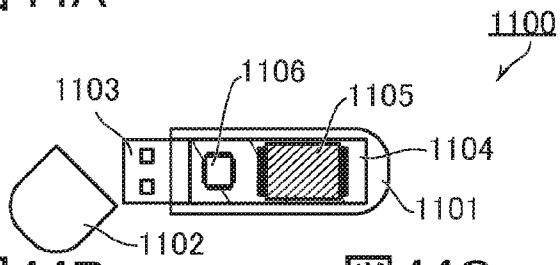


図44B

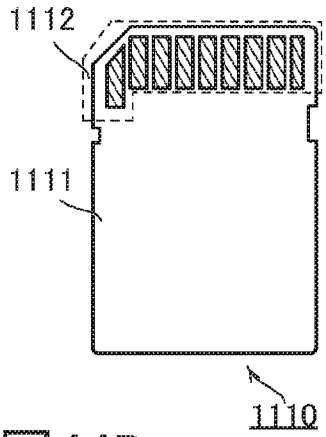


図44C

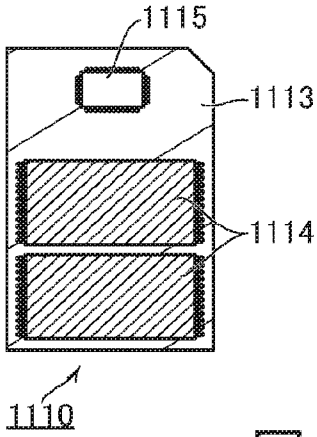


図44D

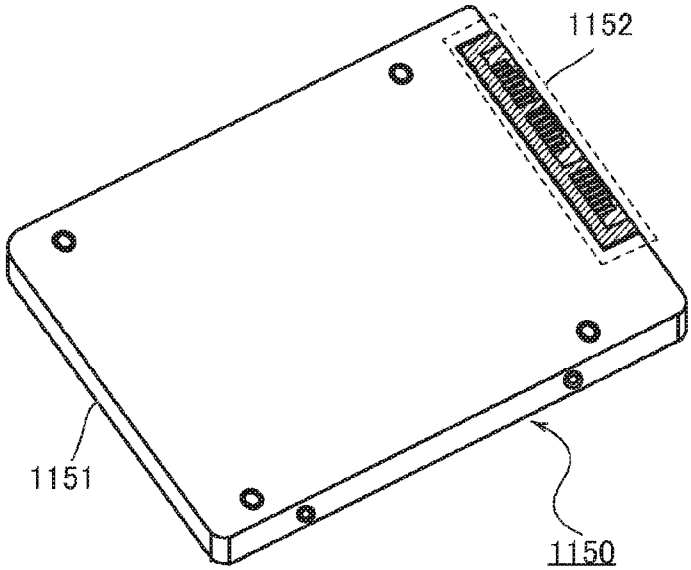


図44E

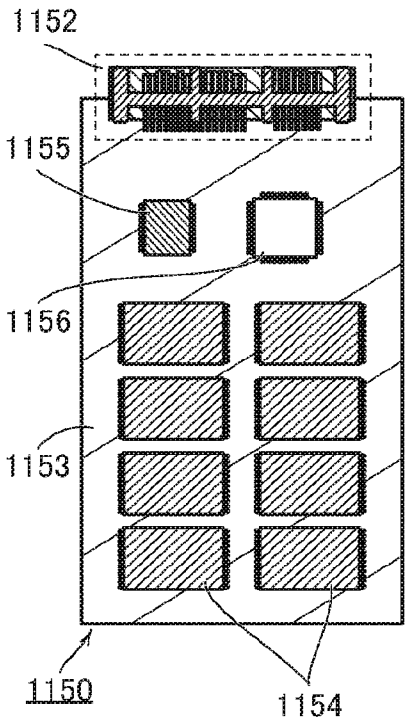


図45A

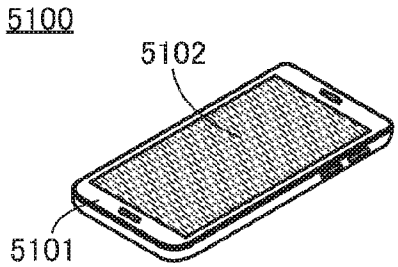


図45B

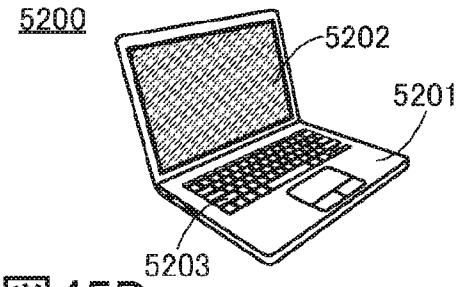


図45C

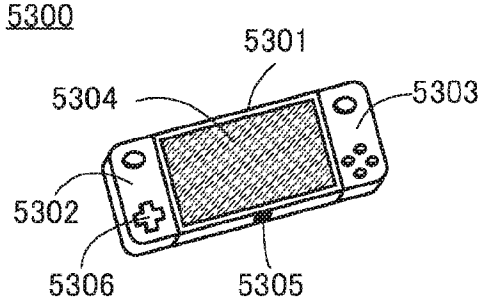


図45D

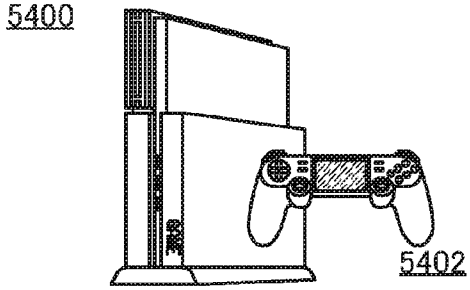


図45E

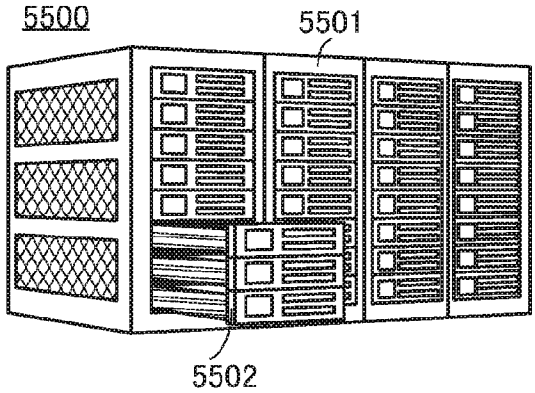


図45F

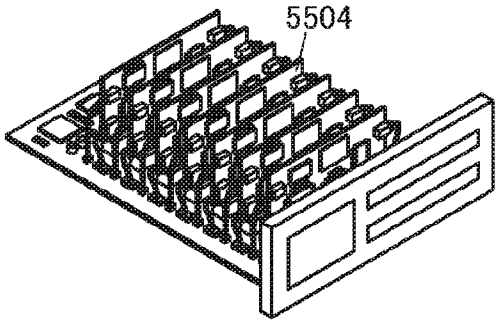


図45G

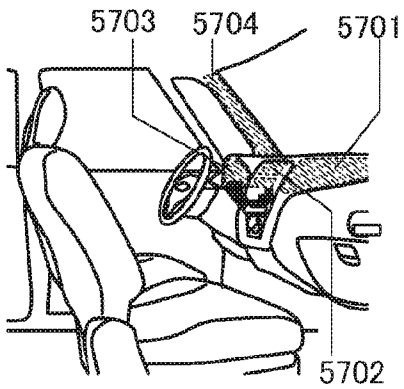
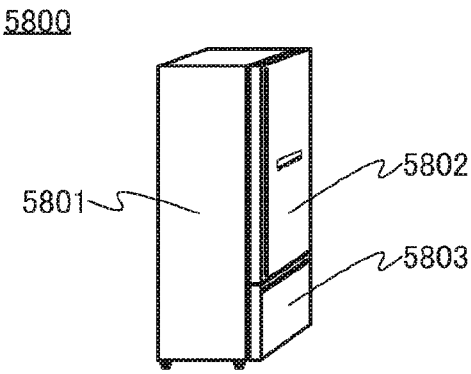


図45H



INTERNATIONAL SEARCH REPORT

International application No.
PCT/IB2022/055967

A. CLASSIFICATION OF SUBJECT MATTER

H01L 29/786(2006.01)i; ***H01L 21/336***(2006.01)i; ***H01L 21/8234***(2006.01)i; ***H01L 21/8242***(2006.01)i; ***H01L 27/06***(2006.01)i; ***H01L 27/088***(2006.01)i; ***H01L 27/108***(2006.01)i; ***H01L 27/1156***(2017.01)i
FI: H01L29/78 617S; H01L29/78 619A; H01L29/78 618B; H01L29/78 617N; H01L29/78 617K; H01L29/78 617T; H01L27/088 E; H01L27/06 102A; H01L27/088 331E; H01L27/108 321; H01L27/108 671Z; H01L27/1156

According to International Patent Classification (IPC) or to both national classification and IPC

B. FIELDS SEARCHED

Minimum documentation searched (classification system followed by classification symbols)

H01L29/786; H01L21/336; H01L21/8234; H01L21/8242; H01L27/06; H01L27/088; H01L27/108; H01L27/1156

Documentation searched other than minimum documentation to the extent that such documents are included in the fields searched

Published examined utility model applications of Japan 1922-1996
Published unexamined utility model applications of Japan 1971-2022
Registered utility model specifications of Japan 1996-2022
Published registered utility model applications of Japan 1994-2022

Electronic data base consulted during the international search (name of data base and, where practicable, search terms used)

C. DOCUMENTS CONSIDERED TO BE RELEVANT

Category*	Citation of document, with indication, where appropriate, of the relevant passages	Relevant to claim No.
Y	WO 2019/145814 A1 (SEMICONDUCTOR ENERGY LABORATORY CO., LTD.) 01 August 2019 (2019-08-01) paragraphs [0178]-[0225], [0348], fig. 10	1-3, 6-9, 11-13
A		4-5, 10
Y	JP 2021-057605 A (SEMICONDUCTOR ENERGY LABORATORY CO., LTD.) 08 April 2021 (2021-04-08) paragraphs [0197], [0440]-[0441]	1-3, 6-9, 11-13
A		4-5, 10
Y	JP 2021-040122 A (SEMICONDUCTOR ENERGY LABORATORY CO., LTD.) 11 March 2021 (2021-03-11) paragraphs [0247]-[0250], fig. 13	6, 11-13
A		1-5, 7-10

☑ Further documents are listed in the continuation of Box C. ☑ See patent family annex.

* Special categories of cited documents:
"A" document defining the general state of the art which is not considered to be of particular relevance
"E" earlier application or patent but published on or after the international filing date
"L" document which may throw doubts on priority claim(s) or which is cited to establish the publication date of another citation or other special reason (as specified)
"O" document referring to an oral disclosure, use, exhibition or other means
"P" document published prior to the international filing date but later than the priority date claimed
"T" later document published after the international filing date or priority date and not in conflict with the application but cited to understand the principle or theory underlying the invention
"X" document of particular relevance; the claimed invention cannot be considered novel or cannot be considered to involve an inventive step when the document is taken alone
"Y" document of particular relevance; the claimed invention cannot be considered to involve an inventive step when the document is combined with one or more other such documents, such combination being obvious to a person skilled in the art
"&" document member of the same patent family

Date of the actual completion of the international search	Date of mailing of the international search report
20 September 2022	**27 September 2022**
Name and mailing address of the ISA/JP **Japan Patent Office (ISA/JP)** **3-4-3 Kasumigaseki, Chiyoda-ku, Tokyo 100-8915** **Japan**	Authorized officer Telephone No.

INTERNATIONAL SEARCH REPORT

International application No.
PCT/IB2022/055967

C. DOCUMENTS CONSIDERED TO BE RELEVANT

Category*	Citation of document, with indication, where appropriate, of the relevant passages	Relevant to claim No.
A	JP 2020-047357 A (SEMICONDUCTOR ENERGY LABORATORY CO., LTD.) 26 March 2020 (2020-03-26)	1-13

INTERNATIONAL SEARCH REPORT
Information on patent family members

International application No.
PCT/IB2022/055967

Patent document cited in search report	Publication date (day/month/year)	Patent family member(s)	Publication date (day/month/year)
WO 2019/145814 A1	01 August 2019	US 2020/0342928 A1 paragraphs [0207]-[0254], [0377], fig. 10A-10C CN 111656512 A KR 10-2020-0110758 A	
JP 2021-057605 A	08 April 2021	US 2017/0179294 A1 paragraphs [0238], [0482]-[0483]	
JP 2021-040122 A	11 March 2021	US 2020/0388319 A1 paragraphs [0297]-[0302], fig. 13A-13C	
JP 2020-047357 A	26 March 2020	(Family: none)	

国際調査報告

国際出願番号
PCT/IB2022/055967

A. 発明の属する分野の分類（国際特許分類（ＩＰＣ））

H01L 29/786(2006.01)i; H01L 21/336(2006.01)i; H01L 21/8234(2006.01)i; H01L 21/8242(2006.01)i; H01L 27/06(2006.01)i; H01L 27/088(2006.01)i; H01L 27/108(2006.01)i; H01L 27/1156(2017.01)i
FI: H01L29/78 617S; H01L29/78 619A; H01L29/78 618B; H01L29/78 617N; H01L29/78 617K; H01L29/78 617T; H01L27/088 E; H01L27/06 102A; H01L27/088 331E; H01L27/108 321; H01L27/108 671Z; H01L27/1156

B. 調査を行った分野

調査を行った最小限資料（国際特許分類（ＩＰＣ））

H01L29/786; H01L21/336; H01L21/8234; H01L21/8242; H01L27/06; H01L27/088; H01L27/108; H01L27/1156

最小限資料以外の資料で調査を行った分野に含まれるもの

日本国実用新案公報	１９２２－１９９６年
日本国公開実用新案公報	１９７１－２０２２年
日本国実用新案登録公報	１９９６－２０２２年
日本国登録実用新案公報	１９９４－２０２２年

国際調査で使用した電子データベース（データベースの名称、調査に使用した用語）

C. 関連すると認められる文献

引用文献のカテゴリー*	引用文献名　及び一部の箇所が関連するときは、その関連する箇所の表示	関連する請求項の番号
Y	WO 2019/145814 A1 (株式会社半導体エネルギー研究所) 01.08.2019 (2019-08-01) 段落[0178]-[0225], [0348], 図10	1-3, 6-9, 11-13
A		4-5, 10
Y	JP 2021-057605 A (株式会社半導体エネルギー研究所) 08.04.2021 (2021-04-08) 段落[0197], [0440]-[0441]	1-3, 6-9, 11-13
A		4-5, 10
Y	JP 2021-040122 A (株式会社半導体エネルギー研究所) 11.03.2021 (2021-03-11) 段落[0247]-[0250], 図13	6, 11-13
A		1-5, 7-10
A	JP 2020-047357 A (株式会社半導体エネルギー研究所) 26.03.2020 (2020-03-26)	1-13

☐ Ｃ欄の続きにも文献が列挙されている。

☑ パテントファミリーに関する別紙を参照。

* 引用文献のカテゴリー
“A” 特に関連のある文献ではなく、一般的技術水準を示すもの
“E” 国際出願日前の出願または特許であるが、国際出願日以後に公表されたもの
“L” 優先権主張に疑義を提起する文献又は他の文献の発行日若しくは他の特別な理由を確立するために引用する文献（理由を付す）
“O” 口頭による開示、使用、展示等に言及する文献
“P” 国際出願日前で、かつ優先権の主張の基礎となる出願の日の後に公表された文献
“T” 国際出願日又は優先日後に公表された文献であって出願と抵触するものではなく、発明の原理又は理論の理解のために引用するもの
“X” 特に関連のある文献であって、当該文献のみで発明の新規性又は進歩性がないと考えられるもの
“Y” 特に関連のある文献であって、当該文献と他の１以上の文献との、当業者にとって自明である組合せによって進歩性がないと考えられるもの
“&” 同一パテントファミリー文献

国際調査を完了した日	国際調査報告の発送日
20.09.2022	27.09.2022

名称及びあて先
日本国特許庁(ISA/JP)
〒100-8915
日本国
東京都千代田区霞が関三丁目４番３号

権限のある職員（特許庁審査官）
石塚　健太郎 5F 4815

電話番号 03-3581-1101 内線 3516

国際調査報告
パテントファミリーに関する情報

国際出願番号
PCT/IB2022/055967

引用文献	公表日	パテントファミリー文献	公表日
WO 2019/145814 A1	01.08.2019	US 2020/0342928 A1 段落[0207]-[0254], [0377], 図10A-10C CN 111656512 A KR 10-2020-0110758 A	
JP 2021-057605 A	08.04.2021	US 2017/0179294 A1 段落[0238], [0482]-[0483]	
JP 2021-040122 A	11.03.2021	US 2020/0388319 A1 段落[0297]-[0302], 図13A-13C	
JP 2020-047357 A	26.03.2020	（ファミリーなし）	